



HAL
open science

ANTONY 2, place de l'Église, Hauts-de-Seine, Île-de-France. Rapport de diagnostic archéologique

Jean-François Modat, Séverine Gauduchon, Anicet Konopka

► **To cite this version:**

Jean-François Modat, Séverine Gauduchon, Anicet Konopka. ANTONY 2, place de l'Église, Hauts-de-Seine, Île-de-France. Rapport de diagnostic archéologique. Service archéologique interdépartemental Yvelines - Hauts-de-Seine. 2018. hal-03908813

HAL Id: hal-03908813

<https://hal.science/hal-03908813>

Submitted on 20 Dec 2022

HAL is a multi-disciplinary open access archive for the deposit and dissemination of scientific research documents, whether they are published or not. The documents may come from teaching and research institutions in France or abroad, or from public or private research centers.

L'archive ouverte pluridisciplinaire **HAL**, est destinée au dépôt et à la diffusion de documents scientifiques de niveau recherche, publiés ou non, émanant des établissements d'enseignement et de recherche français ou étrangers, des laboratoires publics ou privés.

RAPPORT DE DIAGNOSTIC



ANTONY

“2, place de l’Église”
(Hauts-de-Seine, Île-de-France)

Jean-François MODAT
(sous la responsabilité de)

en collaboration avec : Séverine Gauduchon et Anicet Konopka

Février 2018

Dates d’intervention sur le terrain : du 06/12/2017 au 14/12/2017

N° de prescription : 2017 - 310

N° INSEE de la commune : 92 002

N° projet SAI 78-92 : 2017.08.d

Établissement public interdépartemental Yvelines / Hauts-de-Seine
Service archéologique interdépartemental (SAI)

EPI 78/92 - 4, avenue Morane Saulnier 78140 Vélizy-Villacoublay - 01 39 07 78 70

SAI : Quartier le Pas du Lac - 2, avenue de Lunca 78180 Montigny-le-Bretonneux - 01 61 37 36 86



ÉTABLISSEMENT PUBLIC INTERDÉPARTEMENTAL
Yvelines • Hauts-de-Seine

Couverture : vue du diagnostic place de l'Église / de la tranchée 1 / d'une sépulture d'immature (Fait 2, tranchée 2) / de *l'umerus varus* observé sur l'humérus gauche de la sépulture Fait 4, tranchée 1.
Crédits : EPI 78-92 / SAI.

Sommaire

Première section : Fiches et notices

Fiche signalétique	p.	3
Mots-clés	p.	4
Générique de l'opération et moyens mis en oeuvre	p.	5
Notice scientifique	p.	6
Tableau récapitulatif des résultats	p.	7
Arrêté de prescription	p.	8
Projet d'intervention	p.	12
Arrêté de désignation	p.	14

Deuxième section : Résultats

I. Présentation de l'opération	p.	15
1. Contextes géographique et géologique	p.	15
1.1. Contexte géomorphologique		15
1.2. Contexte géologique		16
2. Contexte archéologique local	p.	16
2.1. La Préhistoire et la Protohistoire		16
2.2. L'Antiquité		16
2.3. Le Moyen Âge et l'Époque moderne		20
2.3.1. <i>L'église Saint-Saturnin et le lieu-dit Grand-Cimetière</i>		23
2.3.2. <i>Contexte ecclésiastique et seigneurial d'Antony</i>		26
2.4. Contexte archéologique des communes limitrophes d'Antony		29
3. Description de l'opération	p.	31
3.1. Déroulement et objectifs		31
3.2. Contraintes, stratégie et méthodes		32
3.3. Nature des découvertes		36
II. Résultats archéologiques	p.	37
1. Remarques préliminaires	p.	37
2. Le mobilier	p.	37
2.1. Étude du mobilier céramique		37
2.1.1. <i>L'Antiquité</i>		37
2.1.2. <i>Le haut Moyen Âge (VIII^e – IX^e s.)</i>		37
2.1.3. <i>Le Moyen Âge et le bas Moyen Âge (XII^e – XIV^e s.)</i>		38
2.1.4. <i>L'Époque moderne et la période contemporaine</i>		40
2.1.5. <i>Conclusion pour le mobilier céramique</i>		42
2.2. Étude du mobilier métallique		42
3. La tranchée 1	p.	42
3.1. Les sépultures		45
3.1.1. <i>Le Fait 1</i>		45
3.1.2. <i>Le Fait 2</i>		47
3.1.3. <i>Le Fait 3</i>		48
3.1.4. <i>Le Fait 4</i>		48
3.2. Le remblai contemporain		50
3.3. Conclusion pour la tranchée 1		51
4. La tranchée 2	p.	51
4.1. Les sépultures		51
4.1.1. <i>Le Fait 1</i>		52
4.1.2. <i>Le Fait 2</i>		59
4.1.3. <i>Le Fait 3</i>		60
4.1.4. <i>Le Fait 4</i>		62
4.1.5. <i>Le Fait 5</i>		62

4.1.6. <i>Le Fait 6</i>	62
4.1.7. <i>Le Fait 7</i>	62
4.1.8. <i>Le Fait 8</i>	62
4.2. Les niveaux de circulation	64
4.3. Les remblais	64
4.4. L'élément de bâti Fait 11	64
4.5. Conclusion pour la tranchée 2	64
5. La tranchée 3	p. 66
5.1. Les sépultures	66
5.1.1. <i>Le Fait 1</i>	71
5.1.2. <i>Le Fait 2</i>	71
5.2. Les remblais et comblements	71
5.3. Un massif de maçonnerie : le Fait 3	71
5.4. Conclusion pour la tranchée 3	74
III. Étude anthropologique	p. 76
1. Matériel et méthode	p. 76
1.1. Indice de conservation anatomique (ICA)	77
1.2. Indice de conservation du matériel dentaire (ICMD)	77
1.3. Estimation de l'âge au décès	77
1.4. Diagnose sexuelle	77
1.5. Estimation de la stature	77
1.6. Paléopathologies osseuses	78
1.7. Paléopathologies dentaires	79
1.7.1. <i>L'usure dentaire</i>	79
1.7.2. <i>Le tartre</i>	80
1.7.3. <i>Les lésions cariieuses</i>	80
1.7.4. <i>Les pathologies alvéolaires</i>	81
2. Résultats	p. 81
2.1. La tranchée 1	81
2.1.1. <i>Le niveau de remblai US 2004</i>	81
2.1.2. <i>La sépulture Fait 1</i>	81
2.1.3. <i>La sépulture Fait 2</i>	82
2.1.4. <i>La sépulture Fait 3</i>	82
2.1.5. <i>La sépulture Fait 4</i>	84
2.2. La tranchée 2	89
2.2.1. <i>Le niveau de circulation US 3007</i>	89
2.2.2. <i>Le niveau de remblai US 3010</i>	90
2.2.3. <i>Le niveau de remblai US 3006</i>	90
2.2.4. <i>La sépulture Fait 2</i>	90
2.3. La tranchée 3	94
3. Conclusion pour l'étude anthropologique	p. 94
IV. Synthèse générale	p. 99
Bibliographie	p. 103
Table des figures	p. 108

Troisième section : Annexes

A - Inventaire des faits	p. 110
B - Inventaire des US	p. 111
C - Inventaire des céramiques	p. 142
D - Inventaire d'autres mobiliers	p. 143
E - Inventaires des documents photographiques	p. 145
F - Inventaire de la documentation graphique	p. 152
G - Inventaire de la documentation écrite	p. 153

Fiche signalétique

Numéro d'opération Patriarche : 10 648

Numéro de projet SAI 78-92 : 2017.08.d

Identité du site

Département : Hauts-de-Seine (92)	Commune : Antony	Code INSEE : 92 002
Lieu-dit / adresse : Église Saint-Saturnin - 2, place de l'Église		
Cadastre (année) : 2016	Sections et parcelles : AJ 41-42 et NC.	
Coordonnées RGF 93 (au centre de l'emprise) : X = 1 648 322		Y = 8 172 796
Altitude moyenne : 62 m NGF		
Propriétaires des terrains : ville d'Antony		
Protection juridique : inscription au titre des monuments historiques par arrêté du 19 octobre 1928		

Opération archéologique

Arrêté de prescription n° 2017 - 310	du : 26/05/2017
Arrêté de désignation n° 2017 - 640	du : 22/11/2017
Responsable désigné : Jean-François MODAT	
Organisme de rattachement : Service archéologique interdépartemental Yvelines/Hauts-de-Seine (SAI 78-92)	
Maître d'ouvrage des travaux : ville d'Antony	
Nature de l'aménagement : reprise des réseaux et drainage	
Surface du projet d'aménagement : 2 200 m ²	
Dates d'intervention sur le terrain : du 06/12/2017 au 14/12/2017	
Surface accessible : 110 m ²	
Surface diagnostiquée : 20,5 % de la surface accessible	

Résultats

Problématique de la recherche : mise en évidence de la présence ou de l'absence de vestiges archéologiques. Dans l'éventualité de présence de vestiges, l'opération devra caractériser les dits vestiges : état de conservation, profondeur d'enfouissement, épaisseur des niveaux archéologiques, densité, attribution chronologique, surface concernée. Les situations topographique et géologique sont favorables à la présence d'occupations humaines de toutes périodes et de toutes natures. La bibliographie sur la commune mentionne la présence de vestiges du Néolithique (fosse polylobée), de la Protohistoire (fosse laténienne), de mobilier épars de l'Antiquité (II^e-IV^e s.), d'inhumations médiévales et d'un domaine seigneurial aux époques médiévale et moderne. Le projet d'aménagement est situé sur la place de l'église *Saint-Saturnin* d'Antony, le long du mur pignon accueillant le portail de l'édifice et sur la voie d'accès à la maison paroissiale Sainte-Claire.

Cette opération vise à affiner l'extension du cimetière paroissial, attesté par différents travaux d'aménagement et opérations archéologiques, ainsi que la puissance du niveau sépulcral. Le projet se situe également en bordure de la rue de l'Église qui matérialiserait, selon certains auteurs, le tracé d'une voie reliant Paris à Orléans durant l'Antiquité.

Nature des vestiges :

- mobilier épars de l'Antiquité ;
- niveau de circulation médiéval / moderne ;
- sépultures à inhumation médiévales ;
- fondations de structures bâties contemporaines.

Hauteur moyenne des terres stériles : 50 cm

Lieu de dépôt temporaire du mobilier archéologique : Service archéologique interdépartemental Yvelines/Hauts-de-Seine (SAI 78-92)

Composition du rapport

Nombre de volumes : 1	Nbre de pages : 153	Nbre de figures : 80	Nbre d'annexes : 7 (44 pages)
-----------------------	---------------------	----------------------	-------------------------------

Mots-clés

Chronologie

- Paléolithique
 - inférieur
 - moyen
 - supérieur
- Mésolithique et Épipaléolithique
- Néolithique
 - ancien
 - moyen
 - récent
- Chalcolithique
- Protohistoire
 - Âge du Bronze
 - ancien
 - moyen
 - récent
 - Âge du Fer
 - Hallstatt (premier âge du Fer)
 - La Tène (second âge du Fer)

- Antiquité romaine (gallo-romain)
 - République romaine
 - Empire romain
 - Haut-Empire (jusqu'en 284)
 - Bas-Empire (de 285 à 476)
- Époque médiévale
 - haut Moyen Âge
 - Moyen Âge
 - bas Moyen Âge
- Temps modernes
- Époque contemporaine
 - Ère industrielle

Sujets et thèmes

- | | |
|---|--|
| <input type="checkbox"/> Édifice public | <input type="checkbox"/> Artisanat alimentaire |
| <input checked="" type="checkbox"/> Édifice religieux | <input type="checkbox"/> Argile : atelier |
| <input type="checkbox"/> Édifice militaire | <input type="checkbox"/> Atelier métallurgique |
| <input type="checkbox"/> Bâtiment | <input type="checkbox"/> Artisanat |
| <input checked="" type="checkbox"/> Structure funéraire | <input type="checkbox"/> Autre : |
| <input type="checkbox"/> Voirie | |
| <input type="checkbox"/> Hydraulique | |
| <input type="checkbox"/> Habitat rural | |
| <input type="checkbox"/> <i>Villa</i> | |
| <input type="checkbox"/> Bâtiment agricole | |
| <input type="checkbox"/> Structure agraire | |
| <input type="checkbox"/> Urbanisme | |
| <input type="checkbox"/> Maison | |
| <input checked="" type="checkbox"/> Structure urbaine | |
| <input type="checkbox"/> Foyer | |
| <input type="checkbox"/> Fossé | |
| <input checked="" type="checkbox"/> Sépulture | |
| <input type="checkbox"/> Grotte | |
| <input type="checkbox"/> Abri | |
| <input type="checkbox"/> Mégalithe | |

Mobilier

- Industrie lithique
- Industrie osseuse
- Céramique
- Restes végétaux
- Faune
- Flore
- Objet métallique
- Arme
- Outil
- Parure
- Habillement
- Trésor
- Monnaie
- Verre
- Mosaïque
- Peinture
- Sculpture
- Inscription
- Autre :

Études

- Géologie
- Datation
- Anthropologie
- Paléontologie
- Zoologie
- Botanique
- Palynologie
- Macrorestes
- An. de céramique
- An. de métaux
- Acq. de données
- Numismatique
- Conservation
- Restauration
- Autre :

Générique de l'opération et moyens mis en oeuvre

Intervenants scientifiques :

- pour la DRAC Île-de-France / SRA : E. Jacquot (Conservateur en chef du patrimoine) ;
 - pour l'Établissement public interdépartemental Yvelines/Hauts-de-Seine / Service archéologique : J.-F. Modat, en collaboration avec : S. Gauduchon et A. Konopka.

Intervenants administratifs :

- pour la DRAC Île-de-France / SRA : S. Deschamps (Conservateur régional) et B. Triboulot (Ingénieur d'études) ;
 - pour l'Établissement public interdépartemental Yvelines/Hauts-de-Seine / Service archéologique : G. Debout (Chef de service).

Aménageur : ville d'Antony

Mode de financement : subvention

Équipe opérationnelle :

Temps (en jours-hommes) : **Préparation/Terrain :** 25 **Post-fouille :** 46

Responsable d'opération : Jean-François Modat

Archéologues : Caroline Bustos, Nicolas Girault, Anicet Konopka et Jean-François Modat

Logisticien : Jean-Philippe Deux

Topographe : Guillaume Encelot

Techniciens lavage et inventaire : Maxime Brugellis, Caroline Bustos, Jean-Philippe Deux, Anicet Konopka, Caroline Kuhar-Siffert, Jean-François Modat, Cécile Olive et Silvia Païn

Techniciens DAO : Gautier Broux, Caroline Bustos, Anicet Konopka et Jean-François Modat

Technicien PAO : Sandrine Lefèvre

Photographes : Caroline Bustos, Nicolas Girault, Anicet Konopka, Jean-François Modat et Chloé Thorel

Régisseur du mobilier : Caroline Kuhar-Siffert

Restauratrice d'objets archéologiques : Silvia Païn

Intervenants techniques :

Entreprise GeoSat pour les investigations complémentaires : géolocalisation non intrusive des réseaux, marquage au sol, plan de synthèse.

Entreprise Sotravia pour la sécurisation des tranchées de diagnostic et préparation des sols : pose de 72 mètres linéaires de clôtures opaques mobiles, dépose de 20 m² de pavés.

Entreprise Alain Javault pour le terrassement mécanique : 1 mini-pelle sur chenilles (avec godets de curage d'1,20 m et 0,50 m) pendant 2 jours.

Abréviations des noms utilisées dans le texte :

Gautier Broux (G. B.), Guillaume Encelot (G. E.), Séverine Gauduchon (S. G.), Anicet Konopka (A. K.) et Jean-François Modat (J.-F. M.).

Nous remercions Edouard Jacquot et Marie-Alice Virilouvet du service régional de l'Archéologie d'Île-de-France pour leur recherche documentaire et pour l'accès à la documentation scientifique. Nous tenons à remercier M. Frédéric Boursier, médecin légiste du centre hospitalier de Pontoise, pour ses observations et sa contribution au diagnostic paléopathologique des squelettes collectés.

Nos pensées vont également à l'ensemble des intervenants de cette opération, notamment celles et ceux qui ont bravé les intempéries durant la semaine de la disparition prématurée de Jean-Philippe Smet. En sa mémoire, son nom de scène a été attribué à un des squelettes découvert et prélevé durant cette intervention.

Notice scientifique

Département : **Hauts-de-Seine (92)**

Commune : **Antony**

Lieu-dit / Adresse : **Église Saint-Saturnin - 2, place de l'Église**

N° arrêté de prescription : **2017 - 310**

Responsable de l'opération : **Jean-François MODAT**

Résumé des principaux résultats de l'opération :

Du 6 au 14 décembre 2017, le Service archéologique interdépartemental Yvelines - Hauts-de-Seine est intervenu pour la réalisation d'un diagnostic archéologique préalable au projet de reprise de réseaux et de drainage, sur la place de l'église *Saint-Saturnin* d'Antony (Hauts-de-Seine), par la société Sotravia.

Cette opération a permis d'explorer la partie occidentale du cimetière paroissial grâce à l'ouverture de trois tranchées contiguës au mur pignon de l'église. 110 m² de surface accessible ont ainsi pu être testés sur les 2 200 m² d'emprise prescrite.

Situés en moyenne sous 35 cm de terres stériles, des vestiges d'époque antique, médiévale, moderne et contemporaine ont été mis au jour lors de cette opération. 161 artefacts ont été récoltés, dont un faible corpus de mobilier céramique constituant un ensemble très fragmentaire daté entre le Haut-Empire et l'Époque moderne.

La céramique antique est erratique, sans structure associée, et correspond au bruit de fond d'une occupation diffuse et non caractérisable. L'hypothétique présence d'un axe antique reliant Paris à Chartres jouxtant la rue de l'Église n'a pas été confirmée par cette intervention.

Si la céramique collectée correspond majoritairement à une occupation datée du second Moyen Âge (XI^e - XIV^e s.), une présence ténue durant la période carolingienne est également attestée par la découverte de tessons peints carolingiens (VIII^e - IX^e s.).

Sous des couches de remblais, un niveau sépulcral a été mis en évidence dans les trois tranchées du diagnostic. Renseignant sur l'extension du cimetière, le recrutement et le traitement des défunts, ces structures funéraires ont été conservées entre 0,70 et 0,80 m sous le niveau de circulation actuel. Il s'agit de quatorze sépultures à inhumation orientées ouest-est, creusées dans une argile limoneuse ocre orangée, compacte et homogène, contenant de petits éléments de meulière et de très rares inclusions de charbons de bois (bioturbation racinaire). Des squelettes d'immatures et d'adultes ont été dégagés et une densité plus importante de sépultures est observée à proximité de l'église, avec la présence de recoupements.

Deux éléments de maçonnerie ont été partiellement dégagés dans les coupes stratigraphiques des tranchées 2 et 3. Ces faits semblent correspondre à des murs arasés constitués de blocs calcaires bruts, pluridécimétriques et liés à du sable beige orangé, apparaissant à 0,25 m sous la place-parvis. Ces vestiges d'élévation pourraient correspondre aux constructions et réaménagements que la place de l'église a connu au cours des XIX^e et XX^e s.

Tableau récapitulatif des résultats

Chronologie	Structures	Mobilier	Interprétation
Antiquité	<i>néant</i>	- céramique - TCA	- mobilier erratique
Moyen Âge	- sol - fosses	- céramique - faune - os - TCA	- sépultures à inhumation
Époque moderne	<i>néant</i>	- céramique - TCA	- niveau de circulation - remblai - mobilier erratique
Époque contemporaine	- fondations de murs	- verre	- mur - remblai

Arrêté de prescription



PRÉFET DE LA RÉGION D'ÎLE-DE-FRANCE

Direction régionale
des affaires culturelles d'Île-de-France

Affaire suivie par : Edouard JACQUOT
Service régional de l'archéologie
Tél. : 01 56 06 51 55
Fax : 01 56 06 52 01
Mél : edouard.jacquot@culture.gouv.fr
Réf. SRA : SD/EJ/ [2017-1501] 2017 n° 2370
Votre dossier réf.: DG/SK.17-044

Etablissement public interdépartemental
Yvelines - Hauts-de-Seine
Service archéologique interdépartemental 78-92
Le Pas du Lac
2, av. de Lunca
78180 Montigny-le-Bretonneux

Arrêté n° : 2017-310

Paris, le 26/05/2017

Pièce(s) jointe(s) : arrêté

Réf. dossier : Hauts-de-Seine - 92160 Antony - Eglise Saint-Saturnin - 2 place de l'Eglise

J'ai l'honneur de vous notifier l'arrêté ci-joint portant prescription de diagnostic archéologique sur des terrains situés à 92160 Antony, Eglise Saint-Saturnin - 2 place de l'Eglise.

En application de l'article L. 523-4 du code du patrimoine, vous disposez de 14 jours à compter de la réception de cette notification pour me faire connaître votre décision de réaliser ou non cette opération.

A défaut de la notification de votre décision dans ce délai, vous êtes réputé avoir renoncé à exercer cette faculté.

Pour le Préfet de la région Île-de-France, Préfet de Paris
et par délégation, la Directrice régionale des affaires culturelles
et par subdélégation, le Conservateur régional de l'archéologie
d'Île-de-France


Stéphane Deschamps



RÉPUBLIQUE FRANÇAISE
PRÉFET DE LA RÉGION D'ÎLE-DE-FRANCE

Arrêté n° 2017-310 du 26/05/2017
portant prescription d'un diagnostic d'archéologie préventive.

Le préfet de région,

VU le code du patrimoine et notamment son livre V ;

VU l'arrêté du 16 septembre 2004 portant définition des normes d'identification, d'inventaire, de classement et de conditionnement de la documentation scientifique et du mobilier issu des diagnostics et fouilles archéologiques ;

VU l'arrêté du 27 septembre 2004 portant définition des normes de contenu et de présentation des rapports d'opérations archéologiques ;

VU l'arrêté préfectoral n° IDF 2017-04-21-016 du 21 avril 2017 accordant délégation de signature à Madame Nicole DA COSTA, Directrice régionale des affaires culturelles, pour la mise en oeuvre des dispositions relatives à l'archéologie préventive ;

VU l'arrêté préfectoral n° 2017-044 du 24 avril 2017 portant subdélégation de signature à Monsieur Stéphane DESCHAMPS, Conservateur régional de l'archéologie, et à Monsieur Jean-Marc GOUEDO son adjoint ;

VU le dossier adressé, référence DG/SK.17-044, concernant des terrains situés à 92160 Antony, Eglise Saint-Saturnin - 2 place de l'Eglise, par VILLE D'ANTONY permettant d'établir les emprises du projet et de calculer les superficies soumises à diagnostic ; reçu à la Direction régionale des affaires culturelles - service régional de l'archéologie le [2017-1501] ;

CONSIDERANT que, en raison de leur nature (reprise des réseaux et drainage), les travaux envisagés sont susceptibles d'affecter des éléments du patrimoine archéologique ;

CONSIDERANT qu'il est nécessaire de mettre en évidence et de caractériser la nature, l'étendue et le degré de conservation des vestiges archéologiques éventuellement présents afin de déterminer le type de mesures dont ils doivent faire l'objet ;

ARRETE

Article 1 - Un diagnostic archéologique sera réalisé sur le terrain faisant l'objet des aménagements, ouvrages ou travaux susvisés, sis en :

Région : Ile-de-France / Département : Hauts-de-Seine / Commune : Antony

Adresse : Eglise Saint-Saturnin - 2 place de l'Eglise

Cadastre : AJ 41-42 et NC

L'emprise soumise au diagnostic, d'une superficie de 2200 m², est figurée sur le document graphique annexé au présent arrêté.

Le diagnostic archéologique comprend, outre une phase d'exploration du terrain, une phase d'étude qui s'achève par la remise du rapport sur les résultats obtenus.

Article 2 - Le diagnostic sera réalisé sous la maîtrise d'ouvrage de l'Institut National de Recherches Archéologiques Préventives ou du service archéologique de collectivité territorialement compétent, agréé au titre de l'article L. 522-8 du code du patrimoine (Etablissement public interdépartemental Yvelines - Hauts-de-Seine - Service archéologique interdépartemental 78-92). Les conditions de sa réalisation seront fixées contractuellement en application des articles R. 523-30 à R. 523-32 du code du patrimoine susvisé. Le demandeur devra s'assurer que les terrains sont en état d'être diagnostiqués. Entre autre, il devra avoir préalablement réglé les questions d'accessibilité et de sécurité et obtenu les autorisations du ou des propriétaires et ayant-droits.

Préalablement au démarrage sur le terrain de l'opération de diagnostic, le responsable scientifique désigné prendra contact avec l'agent du Service régional de l'archéologie chargé du suivi de cette opération, afin d'établir un premier bilan de la documentation existante sur l'environnement géologique, historique et archéologique.

Il sera exécuté conformément au projet d'opération élaboré par le maître d'ouvrage désigné pour réaliser le diagnostic archéologique sur la base des objectifs scientifiques et des principes méthodologiques définis par le présent arrêté.

Article 3 - Objectifs scientifiques : mise en évidence de la présence ou de l'absence de vestiges archéologiques (sépultures, structures, éléments de bâti, niveaux d'occupation, de construction, de démolition, etc). Dans l'éventualité de présence de vestiges, l'opération devra caractériser lesdits vestiges : état de conservation, profondeur d'enfouissement, épaisseur des niveaux archéologiques, densité, attribution chronologique, surface concernée.

Article 4 - Principes méthodologiques : réalisation de tranchées d'évaluation ou de sondages ponctuels, adaptés à la morphologie et à la topographie du terrain, avec élargissements localisés autour des vestiges structurés. La surface ouverte en sondage doit être au minimum égale à 10 % de l'emprise du projet. Un quart des structures mises au jour doit être testé au minimum. Une étude documentaire sera réalisée préalablement au démarrage sur le terrain. L'opération de diagnostic pourra en partie accompagner les travaux préparatoires aux interventions monuments historiques afin de mutualiser les contraintes de chantier.

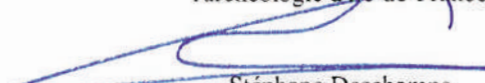
Article 5 - Le responsable scientifique du diagnostic doit justifier des qualifications suivantes : médiéviste en contexte urbain.

Article 6 - La Directrice régionale des affaires culturelles est chargée de l'exécution du présent arrêté, qui sera notifié à VILLE D'ANTONY et au(x) maître(s) d'ouvrage nommé(s) à l'article 2 du présent arrêté.

Paris, le 26/05/2017

Pour le Préfet de la région Île-de-France, Préfet de Paris
et par délégation, la Directrice régionale des affaires
culturelles

et par subdélégation, le Conservateur régional de
l'archéologie d'Ile-de-France


Stéphane Deschamps

Original : INRAP Direction Centre/Ile-de-France - Immeuble Les Diamants, bat. B - 41, rue Delizy - 93692 Pantin cedex
Service archéologique de collectivité agréé (Etablissement public interdépartemental Yvelines - Hauts-de-Seine - Service archéologique interdépartemental 78-92 - Le Pas du Lac - 2, av. de Lunca - 78180 Montigny-le-Bretonneux)
Copies : VILLE D'ANTONY - Direction Générale des Services Techniques - Service bâtiment - Madame Caroline SAMMUT - Place de l'hôtel de ville - BP 60086 - 92161 ANTONY Cédex

Département :
HAUTS DE SEINE SUD

Commune :
ANTONY

Section : AJ
Feuille : 000 AJ 01

Échelle d'origine : 1/500
Échelle d'édition : 1/500

Date d'édition : 26/05/2017
(fuseau horaire de Paris)

Coordonnées en projection : RGF93CC49
©2016 Ministère de l'Economie et des
Finances

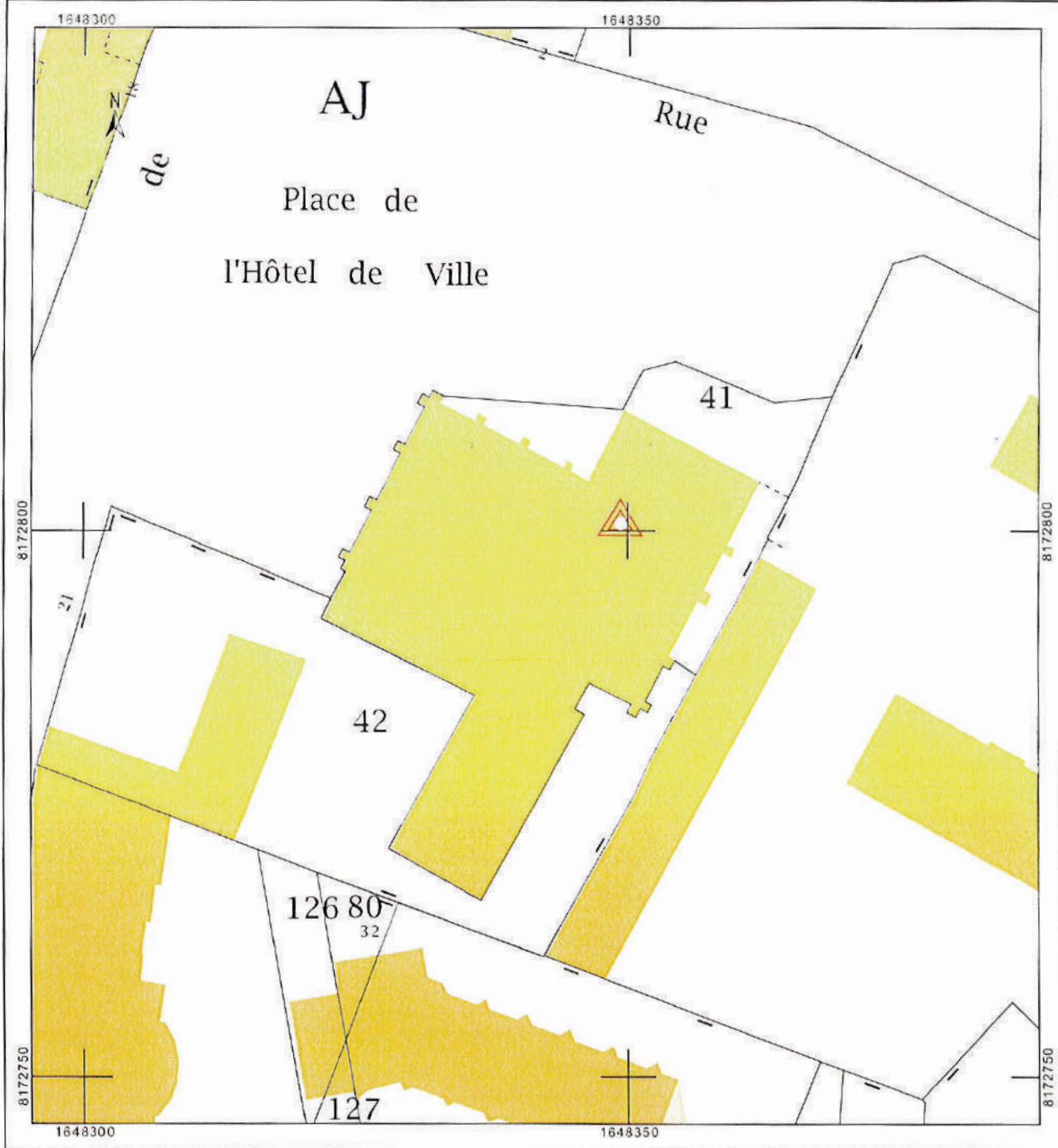
DIRECTION GÉNÉRALE DES FINANCES PUBLIQUES

EXTRAIT DU PLAN CADASTRAL

Le plan visualisé sur cet extrait est géré
par le centre des impôts foncier suivant :
CDIF de SEVRES
8, Avenue de l'Europe 92311
92311 SEVRES CEDEX
tél. 01-41-14-64-99 - fax
cdif.sevres@dgif.finances.gouv.fr

Cet extrait de plan vous est délivré par :

cadastre.gouv.fr



Projet d'intervention



PROJET D'INTERVENTION

Service archéologique
interdépartemental
Yvelines / Hauts-de-Seine

Réf. SAI : 2017.08.d

Date d'envoi du projet : octobre 2017

IDENTIFICATION DE L'OPÉRATION

Commune : Antony (92160)

Projet : Église Saint-Saturnin

Lieu-dit : Église Saint-Saturnin

Réf. Cadastre : Section AJ ; parcelles 41-42 et NC.

Emprise de la zone à diagnostiquer : 2 200 m².

N° et date de l'arrêté de prescription : 2017-310 ; 26-05-2017.

PROBLÉMATIQUE SCIENTIFIQUE

Mise en évidence de la présence ou de l'absence de vestiges archéologiques. Dans l'éventualité de présence de vestiges, l'opération devra caractériser les dits vestiges : état de conservation, profondeur d'enfouissement, épaisseur des niveaux archéologiques, densité, attribution chronologique, surface concernée. Le projet d'aménagement est implanté à proximité immédiate de l'église Saint-Saturnin autour de laquelle des aménagements et mobilier archéologique à caractère funéraire ont déjà été documentés.

CONTRAINTES

Le parvis de l'église Saint-Saturnin est couvert de pavés qu'il convient de déposer en amont du démarrage de l'opération.

MÉTHODES ET TECHNIQUES ENVISAGÉES

- La surface ouverte devra représenter au moins 10% de l'emprise du projet.
- Le diagnostic sera réalisé à l'aide d'une pelle mécanique (6t) munie d'un godet lisse de 1,20 m de large travaillant en rétroaction.
- Il est envisagé la réalisation de 3 sondages (3 x 2 m) répartis le long des 53 m linéaires du futur réseau, couvrant ainsi près de 17% de son tracé.
- Les réseaux en réfection ne feraient, quant à eux, l'objet d'aucun traitement particulier lors de l'opération de diagnostic.

MOYENS PRÉVUS

- Moyens humains

Préparation :
2 archéologues
1 topographe

Terrain :
3 archéologues
1 topographe
1 anthropologue
1 photographe
1 restaurateur

Étude :
3 archéologues
1 topographe
1 anthropologue
1 restaurateur
1 régisseur de collections

- Moyens techniques et logistiques

Préparation :
1 véhicule

Terrain :
2 véhicules
Cantonnement
1 pelle mécanique (6t)

Étude :
1 véhicule

DÉLAIS DE RÉALISATION

Préparation : 4 jours

Terrain : 10 jours

Étude : 42 jours


Durée totale de l'opération : 56 jours ouvrés

Date prévisionnelle du début de la phase terrain : 27 novembre 2017

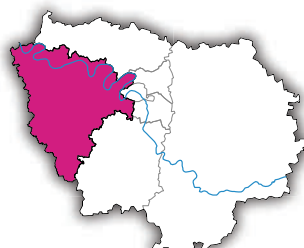

Date prévisionnelle de rendu du rapport d'opération : 8 février 2018

PJ : plan de la zone d'intervention.





ANTONY (Hauts-de-Seine)
Église Saint-Saturnin
 Arrêté n° 2017-310 du 26-05-2017

Diagnostic archéologique
Plan de la zone d'intervention
 au 20-10-2017

LÉGENDE

<p><i>EXISTANT :</i></p> <ul style="list-style-type: none"> — Réseau EP existant — Réseau EU existant □ Regard existant 	<p><i>PROJET :</i></p> <ul style="list-style-type: none"> — Réseau EP à reprendre — Réseau EP à créer — Réseau EU à créer - - Drain à créer □ Regard à créer 	<ul style="list-style-type: none"> — Fourreaux TPC □ Chambre de tirage □ Chambre
---	--	---

OPÉRATION ARCHÉOLOGIQUE :

41 Parcelle cadastrale	◇ Sondage géotechnique	▨ Tranchée prévisionnelle du diagnostic
 Bâti	□ Emprise prescrite (2 200 m ²)	

Arrêté de désignation



ARRIVÉE
SERVICE ARCHEOLOGIQUE
30 NOV. 2017
INTERDEPARTEMENTAL 78-92

Décision n° 2017-640 Du 22 novembre 2017
portant désignation du responsable scientifique d'un diagnostic d'archéologie préventive

Le Préfet de région ;

Vu le code du patrimoine et notamment ses articles L.522-1 et R.522-1 ;

Vu l'arrêté n° IDF-2017-06-19-008 du 19 juin 2017 portant délégation de signature à Madame Nicole DA COSTA, Directrice régionale des affaires culturelles d'Île-de-France ;

Vu l'arrêté n° 2017-64 du 20 juillet 2017 portant subdélégation de signature à Monsieur Stéphane DESCHAMPS, Conservateur régional de l'archéologie, et à Jean-Marc GOUEDO son adjoint ;

Vu l'arrêté n° 2017-310 du 26 mai 2017 portant prescription d'un diagnostic d'archéologie préventive (ANTONY, HAUTS-DE-SEINE, Eglise Saint-Saturnin - 2 place de l'Église) ;

Vu la notification du 21 juin 2017 d'attribution du diagnostic à un opérateur d'archéologie préventive.

ARRÊTE

Article 1 - Monsieur Jean-François MODAT est désigné(e) responsable scientifique du diagnostic prescrit par l'arrêté du 26 mai 2017 susvisé. L'opération est enregistrée sous le code : 10646

Article 2 - La Directrice régionale des affaires culturelles est chargé(e) de l'exécution du présent arrêté, qui sera notifié à : MAIRIE D'ANTONY, Monsieur Jean-François MODAT, Service archéologique interdépartemental Yvelines - Hauts-de-Seine.

Fait à PARIS, le 22 novembre 2017

Pour le Préfet de Région, Préfet de Paris
et par délégation, la Directrice régionale des affaires culturelles
et par subdélégation,
Le Conservateur régional de l'archéologie

Stéphane DESCHAMPS

I . Présentation de l'opération (Jean-François Modat)

(DAO : G. E., S. G., A. K. et J.-F. M. ; photographies : C. B., A. K. et J.-F. M.)

Le projet de reprise des réseaux électriques et de drainage (pluvial et eaux usées) par la ville d'Antony sous la place de l'église *Saint-Saturnin*, a été confié à l'entreprise de travaux et de viabilité Sotravia, à Arpajon (Essonne), et a motivé la prescription d'un diagnostic archéologique par le service régional de l'Archéologie d'Île-de-France. La réalisation de cette opération a été confiée au Service archéologique interdépartemental Yvelines - Hauts-de-Seine et s'est déroulée du 6 au 14 décembre 2017.

1. Contextes géographique et géologique

1.1. Contexte géomorphologique

Le département des Hauts-de-Seine forme un croissant à l'ouest de Paris dont les pointes atteignent la Plaine Saint-Denis au nord et la Bièvre au sud (**fig. 1**). Ce territoire est principalement modelé par les méandres très accentués de la Seine, induits par la présence de deux plateaux occupant le centre et le sud du département. Ces derniers sont séparés par la vallée du ru de Marivel, située entre Chaville et Sèvres.

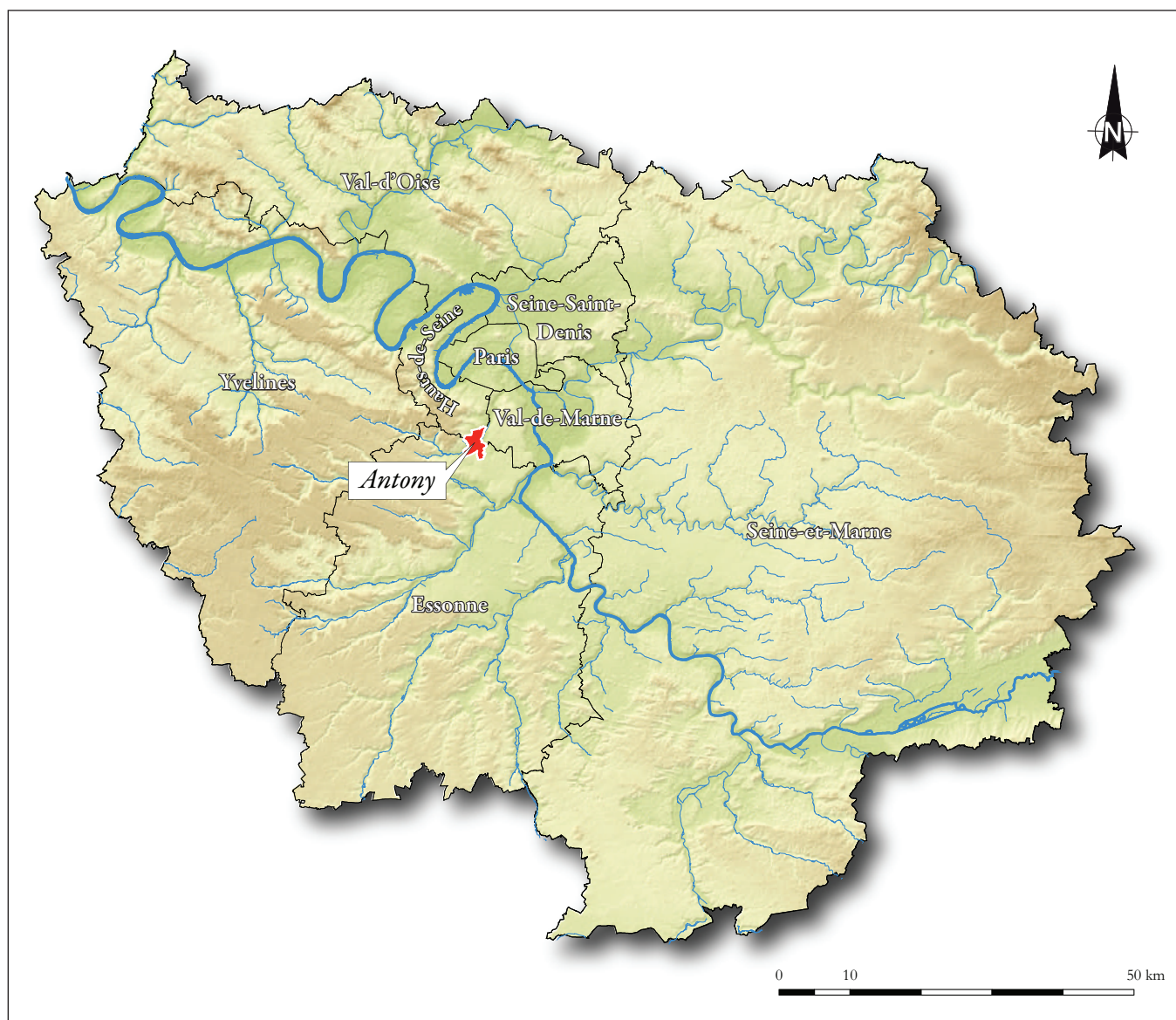


Fig. 1 : localisation de la commune d'Antony en Île-de-France sur fond de modèle numérique de terrain (SRTM 4.1®).

Dans la partie nord du département, la Seine a façonné des méandres à la topographie peu prononcée. L'altitude moyenne y oscille entre 25 et 40 m. Seuls une butte-témoin, le Mont-Valérien à Suresnes (162 m d'altitude) et les coteaux des plateaux sud à Rueil-Malmaison se détachent de la plaine alluviale et dessinent un relief à la déclivité plus marquée.

Dans le sud du département la topographie du secteur est plus contrastée. La Bièvre, un affluent de la Seine, s'y développe mais l'urbanisation excessive tend à enfouir progressivement cette rivière. Les plateaux s'élèvent à 223 m d'altitude et forment la majeure partie du relief. Les différents cours d'eau y ont creusé des vallées formant des axes de passage naturels vers le sud et le sud-ouest : vallées de la Bièvre, de Sèvres, de Meudon et de Garches. La vallée de la Bièvre a fait l'objet de plusieurs études géographiques et d'un important mémoire traitant de ses aspects archéologiques principalement sur le territoire départemental du Val-de-Marne (**Berthier, 2005**), englobant ces communes limitrophes dont Antony.

La parcelle concernée par l'intervention est située sur le flanc est du coteau du plateau de Verrières (170 m NGF), à une altitude de 62,10 m NGF.

1.2. Contexte géologique

Les strates géologiques présentes dans le département appartiennent au Bassin parisien. Ces dernières se sont déposées entre le Crétacé supérieur et l'Oligocène. Ces différentes formations sédimentaires – craie à silex, marne et argile, calcaire et sables – apportent ainsi de nombreuses ressources naturelles facilement exploitables. Au Néogène, des argiles à meulière se sont formées sur les plateaux et sont recouvertes durant le Pléistocène et l'Holocène par des limons de plateaux pouvant atteindre 14 m d'épaisseur. C'est également au Quaternaire que des alluvions se sont déposées en niveaux épais dans toute la plaine. Au sud du département, entre Meudon et Antony, à une altitude maximale à Meudon (175 m NGF), se trouve un plateau calcaire daté du Bartonien supérieur (**fig. 2**). Exploité principalement par les carrières de Châtillon, de Bagneux et de Clamart, celles-ci ont alimenté les chantiers de construction parisiens depuis le Moyen Âge. La présence de niveaux crayeux a également donné lieu à leur extraction pour la fabrication de chaux et du blanc de Meudon. Les niveaux argileux chargés en kaolin ont favorisé l'installation de manufactures de céramique entre la seconde moitié

du XVIII^e siècle et le début du XX^e siècle.

Les formations rencontrées lors de l'opération sont constituées de limons dits "des plateaux". Ce terme générique englobe deux formations distinctes que sont les limons des plateaux proprement dits et le lœss. Leur mise en place, à l'Eocène et à l'Oligocène, est postérieure au façonnage topographique actuel. Elles recouvrent toutes les formations antérieures. Leur épaisseur est généralement comprise entre 0 et 3 m et celle-ci peut localement atteindre entre 5 et 7 m. Généralement situés sur les plateaux, les limons des plateaux peuvent se rencontrer sur les flancs de coteau à la faveur de colluvionnements. Le lœss, quant à lui, se rencontre principalement sur les versants est et nord-est des plateaux du département (**fig. 3**). Au niveau de l'église *Saint-Saturnin*, les limons des plateaux perçus possèdent une texture sablo-argileuse de couleur brun rougeâtre. Ils se développent sur une épaisseur de 0,20 m et recouvrent une formation de lœss. De texture pulvérulente et de couleur jaune-claire, le lœss a été documenté sur au moins 0,40 m. En conclusion, les colluvions issues de formations argileuses et peu argileuses sont présentes sur Antony et possèdent une épaisseur d'au moins 0,60 m.

2. Contexte archéologique local

2.1. La Préhistoire et la Protohistoire (A. K.)

Rares sont les vestiges datés de la Préhistoire et aucun indice d'occupation protohistorique n'a été détecté sur la commune d'Antony.

Lors du diagnostic réalisé en avril 2010 au parc de Tourvoie (cf. *infra*), sis au 4 avenue du parc des Sports à Antony, quelques tessons et une fosse d'extraction polylobée contenant du mobilier néolithique ont été découverts dans des colluvions de la Bièvre (**Viand, Labat, 2010a**).

2.2. L'Antiquité (S. G.)

À l'exception d'une fouille menée par l'AFAN, en 1991, les investigations archéologiques sur la commune sont très récentes. Depuis 2010, cinq opérations de diagnostic et une opération de suivi de travaux ont été prescrites. Celles-ci ont apporté peu d'informations sur l'occupation du territoire durant l'Antiquité. Pourtant, l'origine du nom de la

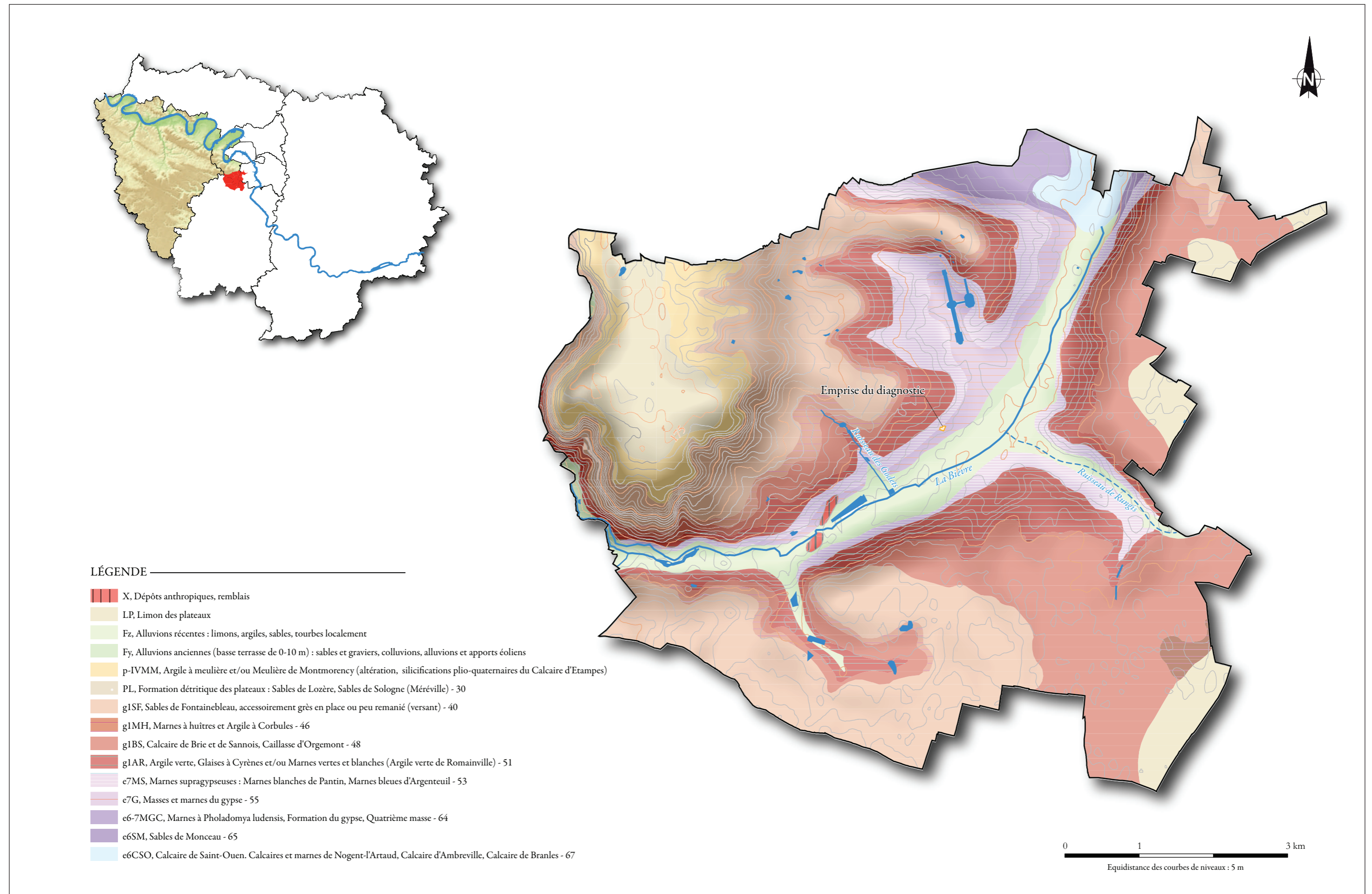


Fig. 2 : localisation du diagnostic sur un extrait de la carte géologique harmonisée ©BRGM 2004, sur fond de modèle numérique d'ombrage, d'après le RGE ALTI® version 2.0.

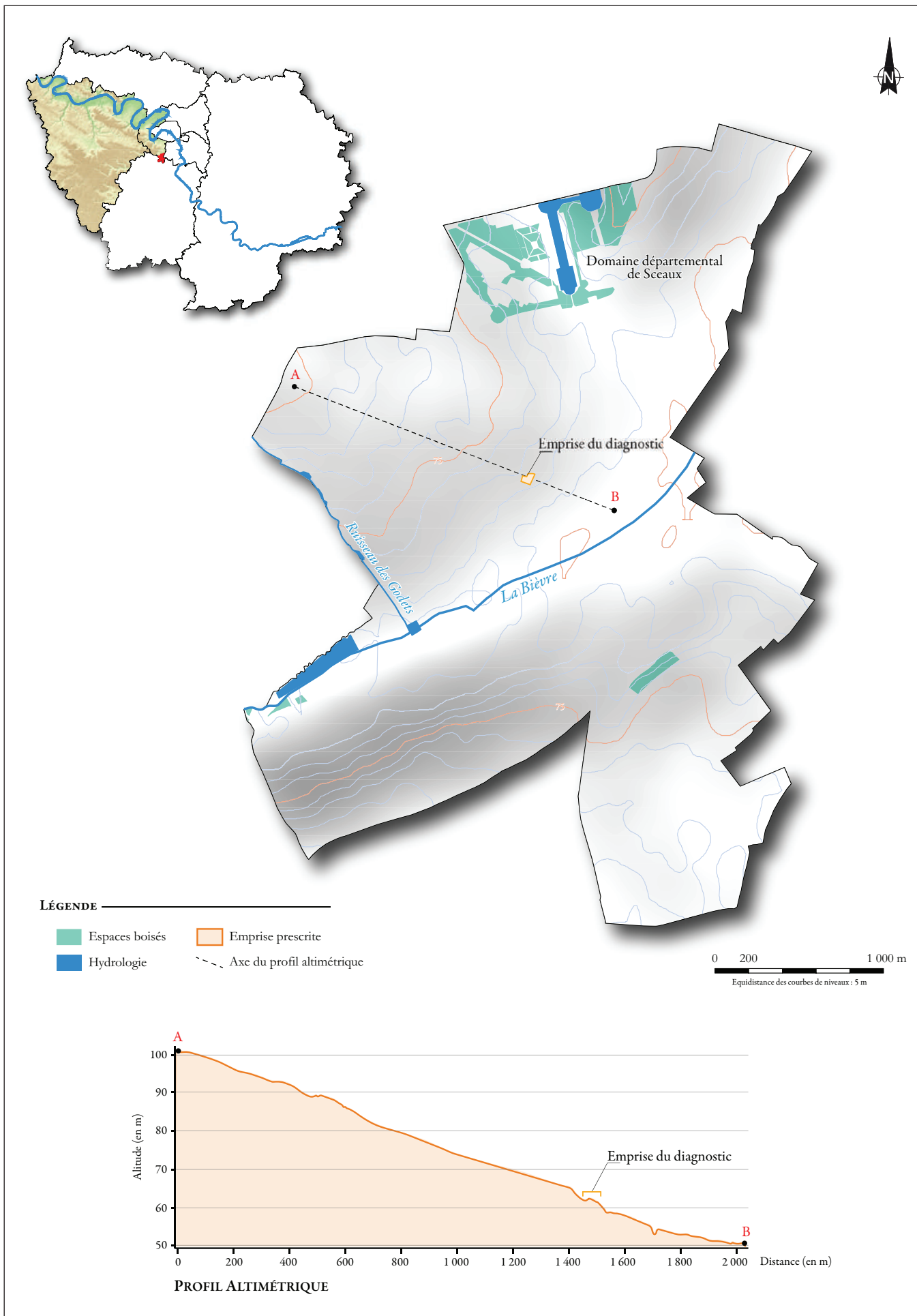


Fig. 3 : topographie des environs de l'emprise diagnostiquée et profil altimétrique du coteau nord de la vallée de la Bièvre (©Institut national de l'information géographique et forestière).

commune d'Antony remonterait à l'époque gallo-romaine. Elle tirerait son nom du *fundus Antoniacus*, implanté au III^e ou VI^e siècle de notre ère, dont les limites demeurent inconnues (Royer, 1954, p. 3 ; Roblin, 1971, p. 285-287).

Si pour l'heure aucune occupation n'a été identifiée sur le territoire de la commune, les recherches ont apporté quelques données intéressantes.

Les deux diagnostics réalisés en fond de vallée, en bordure de la Bièvre, ont révélé des environnements impropres à l'installation humaine durant l'Antiquité (fig. 4, n° 1 et 2). En effet, à l'angle de l'avenue de la Division Leclerc et de l'avenue du 11 Novembre, le milieu était marécageux (Legriél, 2012, p. 10). Aux 80-96, rue Adolphe Pajeaud, le secteur était en proie à des crues (Labat, Viand, 2013).

Deux autres opérations distantes d'environ 200 m, réalisées au parc de Tourvoie et au collège René Descartes, ont permis d'explorer près de 3 hectares du versant méridional dominant le ru de Rungis (cf. fig. 4, n° 3 et 4). Les observations stratigraphiques et l'état de conservation des structures archéologiques identifiées indiquent une forte érosion du versant aux périodes historiques (Viand, 2010, p. 15-18 ; Drwila, 2015, p. 30-36). Seuls quelques indices de site antique ont été mis en évidence au cours des investigations au collège René Descartes. Il s'agit de quatre fragments de tegula (636 g) et deux d'imbrex (112 g), d'un fond de pot en céramique à pâte grise lustrée et d'un fragment de céramique "craquelée bleutée" caractéristiques des II^e et III^e siècles, ainsi qu'une monnaie en alliage cuivreux du IV^e siècle. Le mobilier gallo-romain exhumé provient des colluvions holocènes. Il est associé à du mobilier néolithique et protohistorique. Ces artefacts suggèrent la présence d'un site érodé, certainement plus haut sur le versant (Drwila, 2015, p. 30 et p. 41).

Trois autres interventions archéologiques ont eu lieu sur les coteaux occidentaux de la vallée de la Bièvre (cf. fig. 4, n° 5 à 7). Le diagnostic prescrit à la Croix de Berny a permis d'évaluer le potentiel archéologique sur une emprise de 2,3 ha (Viand, Labat, 2010) tandis que la fouille à l'institution Sainte-Marie et le suivi de travaux sur le parvis de l'église Saint-Saturnin ont concerné des surfaces très réduites : 300 m² et 1 m² (Verdin, 1991 ; Modat, 2016). Ces trois interventions n'ont mis en évidence aucun indice de site antique et traduisent une véritable absence d'occupation au moins pour l'une d'entre elles.

Par ailleurs, la voie antique Paris-Orléans traverserait la commune, mais son parcours reste encore abscons. L'une des hypothèses proposées correspondrait au tracé de l'ancienne RN20 avec le franchissement de la Bièvre au pont d'Antony (cf. fig. 4, A ; Roblin, 1971, p. 98-99). Deux diagnostics archéologiques réalisés en bordure orientale de celle-ci n'ont révélé ni voie, ni aménagements périphériques (cf. fig. 4, n° 1 et 5 ; Viand, Labat, 2010, p. 23-24 ; Legriél, 2012, p. 22-26). Une autre hypothèse suggérerait son passage avenue Léon Blum, rue de l'Église, rue du Moulin, pour franchir la Bièvre au pont aux Ânes (rue Prosper Legouté) ou au pont de Pierre (cf. fig. 4, B ; Fontaine, 1987, p. 18). Par ailleurs, la voie chartraine se détacherait de l'avenue Léon Blum, rue de Châtenay, et se poursuivrait avenue François Molé (*ibid.*).

Malgré la présence de mobilier céramique antique, ce diagnostic jouxtant la rue de l'Église n'a malheureusement pu confirmer cette hypothèse.

2.3. Le Moyen Âge et l'Époque moderne (A. K.)

Le nombre restreint d'opérations réalisées sur le territoire ne donne qu'un aperçu très limité des occupations médiévales et modernes d'Antony. On remarque tout de même que les investigations archéologiques menées au XIX^e siècle et à partir des années 1980-1990 permettent d'envisager un fort potentiel archéologique pour cette période.

Plus récemment, Antony a fait l'objet de six diagnostics, une fouille de sauvetage et une surveillance de travaux. Deux opérations ont été effectuées dans le secteur de Tourvoie et proche du ru de Rungis : le parc de Tourvoie et le collège René Descartes à la limite avec la commune de Fresnes (fig. 5, n° 1 et 2) (Drwila, 2015 ; Labat, Viand, 2010a). Seule la deuxième opération a livré deux fossés datés entre le Moyen Âge et la période contemporaine.

En bordure de la Bièvre, deux opérations ont été réalisées : angle de l'avenue de la Division Leclerc et avenue du 11 novembre ainsi que rue Adolphe Pajeaud (cf. fig. 5, n° 3 et 4). La première opération a livré dans les alluvions de la Bièvre un tesson décoré de flammules daté du XIII^e siècle (Legriél, 2012), tandis que la seconde a permis de collecter quelques restes de faune sans aucun mobilier datant. Cependant, la stratigraphie révèle une occupation antérieure aux colluvions ayant nivelé le terrain, dont

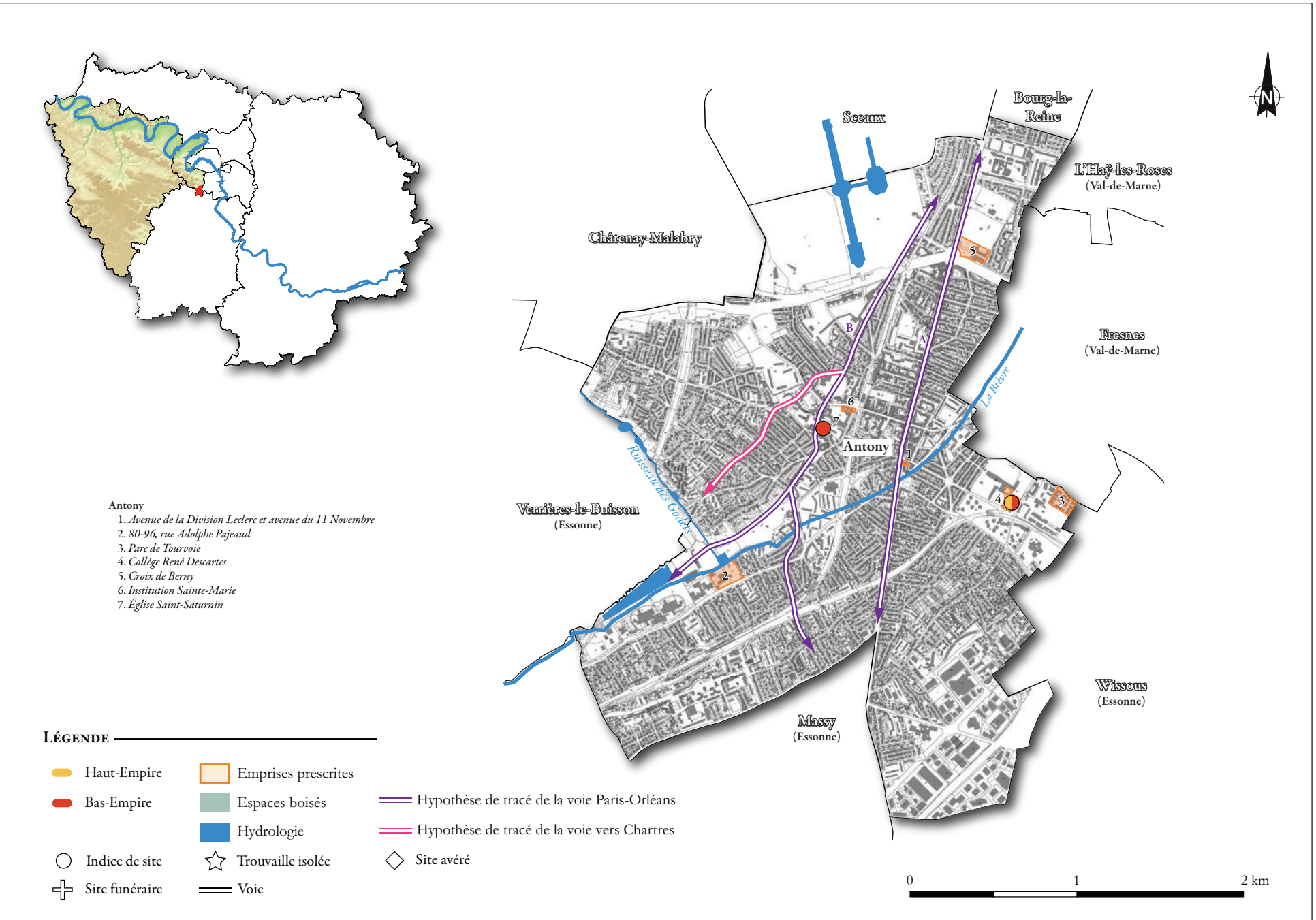
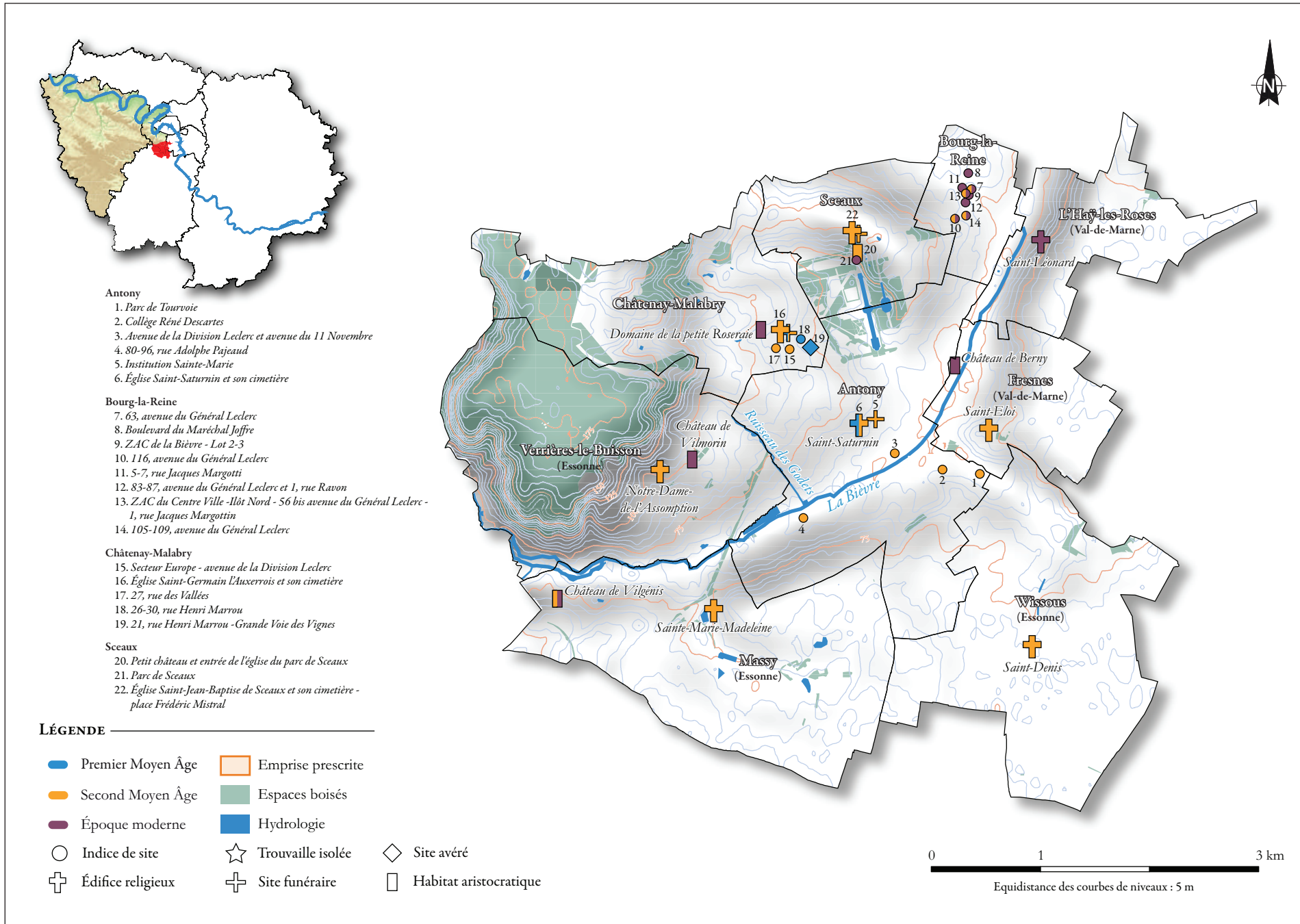


Fig. 4 : carte de répartition des sites de l'Antiquité sur la commune d'Antony et hypothèses de tracé des voies antiques (d'après Roblin, 1971 et Fontaine, 1987), (©Établissement public interdépartemental Yvelines/Hauts-de-Seine, carte archéologique, 2017).

Fig. 5 : carte de répartition des opérations archéologiques réalisées sur la commune d'Antony et des sites du Moyen Âge et de l'Époque moderne dans les alentours de l'emprise diagnostiquée (©Établissement public interdépartemental Yvelines/Hauts-de-Seine, carte archéologique, 2017).



la présence peut être due à une importante activité humaine (Labat, Viand, 2013).

Une fouille de sauvetage réalisée à l'institut Sainte-Marie (cf. fig. 5, n° 6) et une surveillance de travaux en bordure de l'église Saint-Saturnin (cf. fig. 5, n° 7) attestent la présence de nombreuses inhumations du bas Moyen Âge dans le périmètre immédiat de l'édifice (Verdin, 1991 ; Modat, 2016).

Enfin, notons la présence de structures contemporaines observées sur le site de la Croix de Berny (Viand, Labat, 2010b).

2.3.1. L'église Saint-Saturnin et le lieu-dit Grand-Cymetière

Les différentes opérations archéologiques ont révélé des indices d'occupations du Moyen Âge concentrés uniquement autour du noyau formé par l'église et le cimetière paroissial. L'absence de données n'exclut pas une occupation durant le haut Moyen Âge si on considère que la fondation d'une église nécessite la présence d'une population suffisamment conséquente pour justifier cet acte (Bournon, 1896, p. 8).

En 1848, le parvis de l'église a été dégagé lors de travaux de réaménagement afin d'y installer une place publique (fig. 6). Plusieurs sépultures avec des sarcophages en plâtre, découvertes en 1852, ont été décrites par l'abbé Enjalvin, puis étudiées par un érudit local, Paul Perrachon¹ (Perrachon, 1930, p. 936). Il est précisé que l'église est "entourée d'un ancien cimetière" qui semble être abandonné en 1820 en raison de son exigüité², conformément à la loi du 23 prairial an XII (12 juin 1804). Certaines sépultures ont livré du mobilier céramique : "les plus grands avaient tout au plus la capacité d'un litre, étaient extrêmement minces, sans vernis et sans couvercle. Les plus grands avaient à l'extérieur des lignes rouges tracées obliquement de haut en bas, sans harmonie connue" (Abbé Enjalvin, 1852,

p. 72-73). À cette occasion, des ossements semblent avoir été déplacés dans le nouveau cimetière mais d'autres restent encore sur place au fond des fosses.

Au XIX^e siècle, le vieux cimetière devient peu à peu un "dépôt d'immondices" et M. Chenailles, curé d'Antony, propose alors de clore le terrain de l'ancien cimetière afin d'y installer un jardin curial.

En 1932, une cinquantaine de sépultures ont été découvertes par des ouvriers lors de travaux réalisés rue Maurice Labrousse, à environ 150 mètres au nord-est de l'église (Verdin, 1991) (cf. fig. 6).

Lors de travaux entamés en 1981, des éléments de tour lanterne d'une chapelle ont été dégagés. L'agrandissement de l'institution Sainte-Marie a entraîné quelques travaux durant lesquels plusieurs sépultures ont été trouvées. Ces dernières sont datées par un ensemble de céramiques à usage funéraire, notamment des coquemars utilisés ou réutilisés comme encensoirs (panses percées sur pâte cuite) dont certains présentent un décor de flammules (Verdin, 1991).

Une surveillance de travaux réalisée en 1990 par M. Syren, au nord-ouest de l'église, a permis d'observer quelques sépultures et des tessons de céramiques à usage funéraire, *a priori* datés du XIII^e siècle (fig. 7).

L'opération menée par l'AFAN sur 200 m² dans l'institution Sainte-Marie, en 1991, a pour but de documenter le secteur portant la toponymie Grand Cymetière (cf. fig. 6). Elle a permis d'identifier 54 sépultures en pleine terre et de recueillir des fragments de céramiques funéraires. Ces dernières sont essentiellement concentrées dans la partie ouest de l'emprise (Verdin, 1991, p. 5).

Le mobilier archéologique date ces ensembles entre le milieu du XIII^e et le milieu du XIV^e siècle. Il s'agit de pichets et coquemars, pour certains décorés de flammules rouges, ainsi que de plusieurs objets métalliques datés de la même période (fig. 8). Des sépultures à inhumation en pleine terre d'individus adultes et immatures ont également été découvertes à cette occasion (fig. 9).

En 2016, à la demande du service régional de l'Archéologie, l'église a fait l'objet d'une nouvelle surveillance de travaux pour la réalisation d'un sondage géotechnique (cf. fig. 6). La fenêtre d'1 m² ouverte au pied du mur gouttereau nord a fait apparaître les fondations du bas-côté nord de l'église

¹ Paul Perrachon (1884-1951) est l'un des principaux historiens d'Antony, auteur d'une monumentale étude sur *Anthoigny et sa tour d'Argent* en neuf volumes dactylographiés. Pour accompagner son texte, il a constitué une solide documentation photographique faite de cartes postales, mais aussi de clichés qu'il a lui-même réalisés dans les années 1920-1930. Une partie de cette documentation a été réunie en 1992 par son fils René Perrachon, lui-même fin connaisseur du vieil Antony, en un album intitulé "Antony" (<http://www.ville-antony.fr/archives-numerisees>, consulté le 04/12/2017).

² Le nouveau cimetière s'installe au nord, sur la plaine qui domine Antony. Il est ensuite agrandi en 1848.

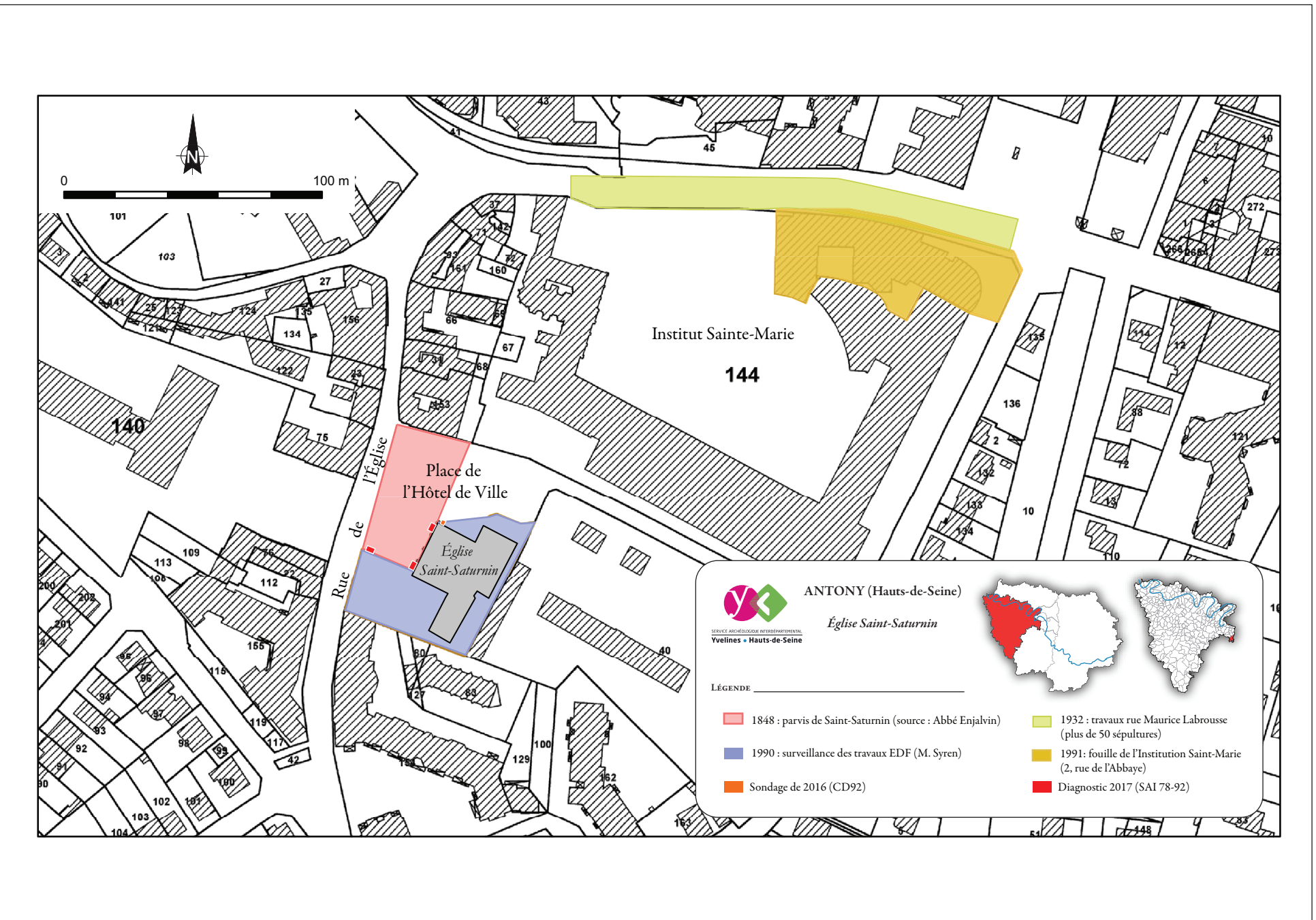


Fig. 6 : emprise des travaux et opérations archéologiques réalisées près de l'église Saint-Saturnin d'Antony (©Établissement public interdépartemental Yvelines/Hauts-de-Seine, carte archéologique, 2017).



Fig. 7 : vues des restes osseux humains mis au jour lors des travaux réalisés près de l'église *Saint-Saturnin* d'Antony en 1990 (clichés : ville d'Antony, 15 mai 1990).

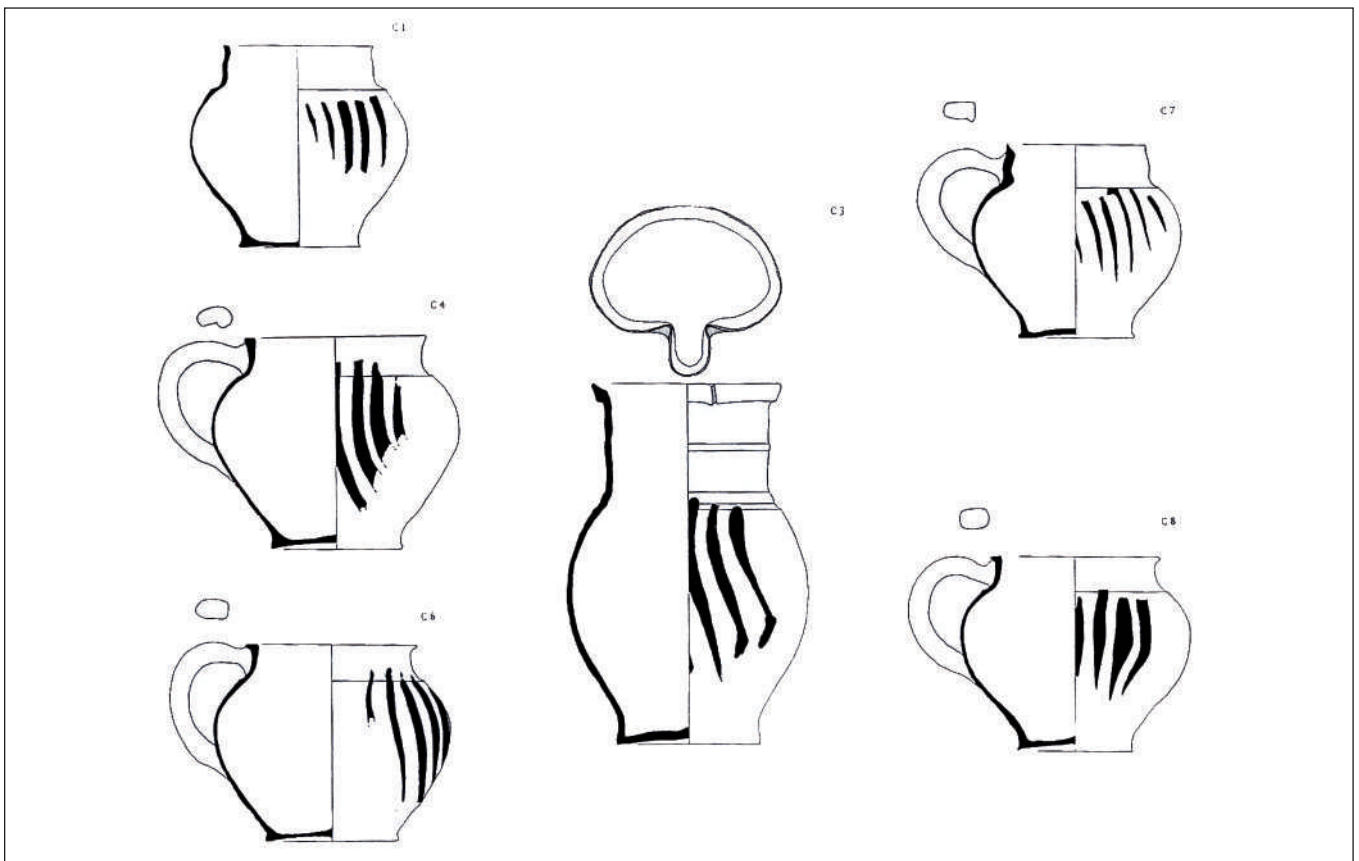


Fig. 8 : mobilier céramique mis au jour lors de la fouille de sauvetage réalisée en 1991 par l'AFAN à l'institution *Sainte-Marie*, sise au 2, rue de l'Abbaye à Antony (Verdin, 1991).



Fig. 9 : sépultures à inhumation en pleine terre découvertes lors de la fouille de sauvetage réalisée en 1991 par l'AFAN à l'institution *Sainte-Marie* sise au 2, rue de l'abbaye à Antony (Verdin, 1991).

et les limons sur lesquels elle repose. Un sarcophage maçonné contenant un individu adulte a également été mis au jour. L'architecture funéraire a permis d'avancer un terminus *ante quem* des X^e-XII^e siècles (Modat, 2016, p. 33) (fig. 10).

2.3.2. Contexte ecclésiastique et seigneurial d'Antony

Le nom d'Antony évolue dans le temps ; il est orthographié successivement dans les documents *Antaniacum*, Antogny, Anthoigny/Antoigny et enfin Antony. L'attractivité d'Antony s'explique par sa situation géographique sur l'axe Paris-Orléans³ et Paris-Chartres⁴ (Fontaine, 1987). Les données actuelles ne révèlent pas d'indices d'occupation mérovingienne sur ce secteur.

La plus ancienne mention de la ville pour le Moyen Âge date de 829, lors d'une confirmation de donation royale par Louis le Pieux à l'abbaye parisienne de Saint-Germain-des-Près, fondée en 543 (Burnon, 1896, p. 8), dans un diplôme impérial carolingien : *Antoniacum cum ipsa capella* (Antony – le domaine d'*Antonius* – avec sa propre chapelle)

(Modat, 2016, p. 25 ; Drwila, 2015, p. 22). Le domaine est alors l'une des possessions de l'abbaye, comme nous l'enseigne le polyptyque rédigé par l'abbé Irminon⁵. On apprend dans ce texte qu'à l'origine Chatenay, Berny, Massy, Wissous et Verrières formaient un ensemble de dépendances appartenant à l'abbaye parisienne (Anger, 1906-1909, p. 253-266). La présence d'une église est envisageable avant cette date, peut-être même antérieure au VIII^e siècle (Roblin, 1971, p. 285). On retrouve également la mention d'Antony dans un diplôme de Charles le Chauve en 872.

Dans les dernières années du X^e siècle et au début du XI^e siècle, le roi Robert le Pieux (972-1031) doit intervenir juridiquement à plusieurs reprises concernant le domaine d'Antony. M. de La Motte-Collas précise dans son étude sur les possessions territoriales de l'abbaye de Saint-Germain que c'est durant le règne du roi Robert que les revendications

³ Le nom de la ville d'Orléans est orthographié *Genabum* ou *Aurelianum* durant l'Antiquité (territoire des Carnutes).

⁴ Oppidum gaulois *Autricum*, territoire des Carnutes dont la ville de Chartres tire son nom actuel.

⁵ Polyptyque de l'abbé Irminon, éd. Benjamin GUERARD, Paris, 1836-1844, 2 vol. in-4°, Polyptyque de l'abbaye de Saint-Germain-des-Près, rédigé au temps de l'abbé Irminon et publiée A. LONGNON, Paris, 1886-1895, 2 vol. in-8°.



Fig. 10 : sarcophage maçonné au fond du sondage (à gauche) contenant le squelette d'un individu adulte (à droite), mis au jour lors de la surveillance de travaux réalisée en 2016 à la demande de la ville d'Antony (Modat, 2016).

des petits seigneurs se firent plus fortes (de La Motte-Collas, 1957, p. 66). Ainsi, il est question d'un certain Pépinel Garin (Guérin), vicaire qui voulut usurper les droits de l'abbaye. Entre 1027 et 1031, plusieurs chartes de Robert le Pieux rédigées à la demande de l'abbé Guillaume, puis l'abbé Adrauld, restituent et clarifient les droits de l'abbaye sur son domaine, notamment en ce qui concerne la voirie.

En 1152, il est question d'un différend entre le domaine et le seigneur Étienne de Massy concernant le bois d'Antony qui finalement sera confirmé comme possession de l'abbaye suite à un "Jugement de Dieu". Vers 1168, l'abbé Geoffroy, Hugues de Monceaux, fait renoncer définitivement aux droits prétendus Jean de Macy (probablement fils d'Étienne), en présence du roi Louis VII le Jeune (Lebeuf, 1883-1893, p. 535). Plusieurs domaines sont signalés dans la charte et Antony apparaît comme le chef-lieu de ces derniers (Abbé Enjalvin, 1852, p. 45) :

- *villa Osii* – village de Wissous ;
- *villa Gres* – village ou moulin de Grez ;
- *viltalMalues* – village de Massy ;
- *villa Vedrarius* – village de Verrières ;
- *villa Belonis* ou *Boldinis* - village de Villaines.

L'abbé Enjalvin indique que l'origine du nom de Massy pourrait venir du latin *Malalues*. Cette terminologie pourrait attester la présence d'une léproserie dans ce village (Abbé Enjalvin, 1852, p. 44-45).

En 1177, une bulle du pape Alexandre III (1159-1181) fait de la chapelle une paroisse avec un curé séculier indépendant de l'abbaye (*Ecclesia de Antoniaco*), toutefois il reste nommé et entretenu par cette dernière (Fontaine, 1985, p. 26). Antony

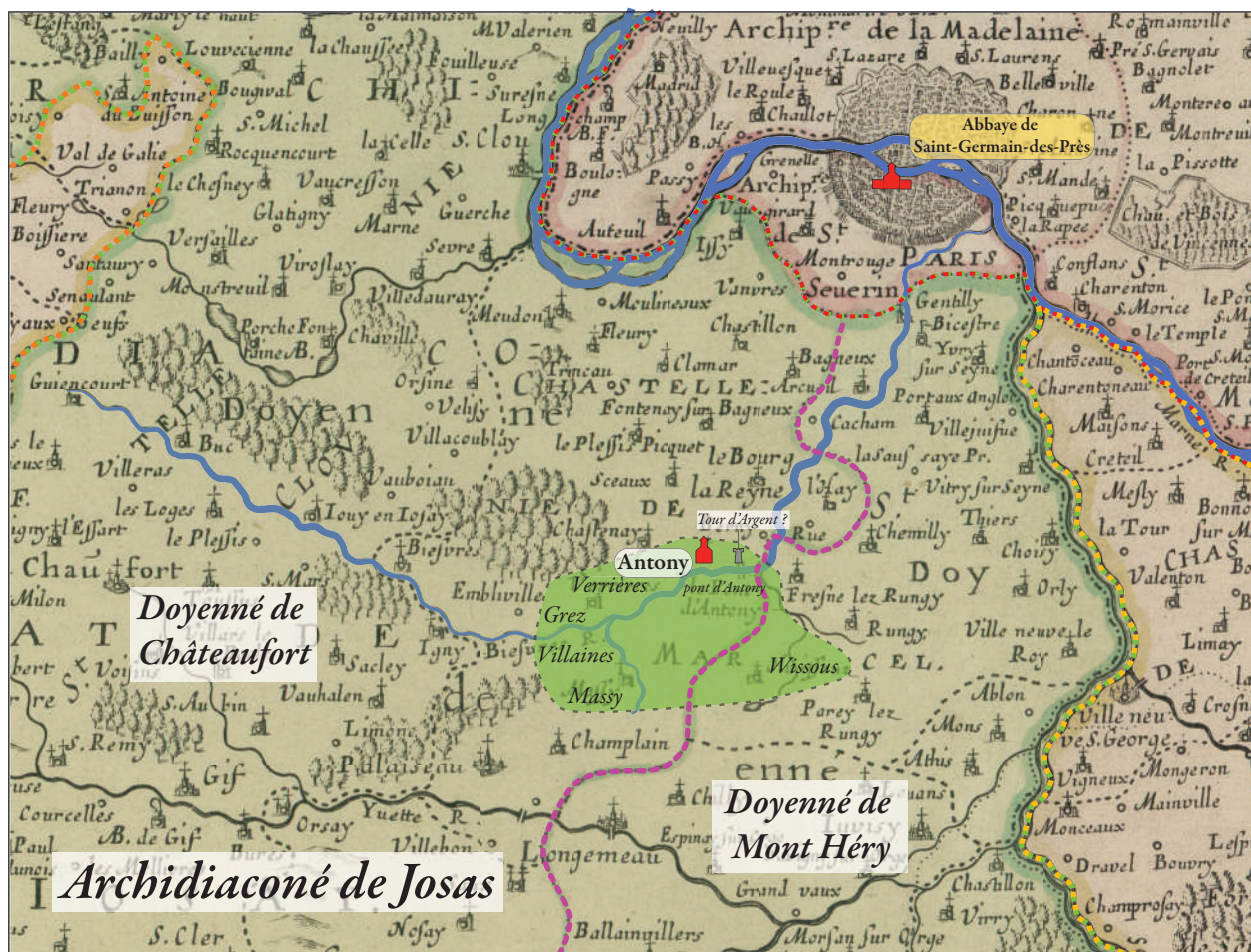
est situé dans le doyenné de Châteaufort et appartient à l'abbaye de Saint-Germain-des-Prés (fig. 11).

En 1248, la population d'Antony est affranchie du servage par l'abbé Thomas de Mauléon contre de nombreuses contreparties comme la dîme, les banalités et le devoir de gîte entre autres (Anger, 1906-1909, p. 272-275). On remarque qu'à cette période Antony garde un certain contrôle du secteur car les domaines limitrophes sont encore obligés de venir utiliser le moulin et le pressoir avec les taxations qui en découlent. À défaut, la population s'exposait à des amendes.

On observe un hiatus dans la documentation concernant le XIV^e siècle, conséquence certaine de la guerre de Cent Ans. Selon Burdon, c'est à ce moment-là que l'église *Saint-Saturnin* est reconstruite une première fois, comme en témoignent le chœur et la tour de pierre de style flamboyant (Burdon, 1896, p. 9).

En 1408, les habitants d'Antony et les "bonnes gens" de Châtenay-les-Antony s'accordent concernant le droit de pâturage dans tous les bois de l'abbaye entre Igny et Châtenay et entre Bâgneux et Bonnelière.

En mars 1423, le roi d'Angleterre Henri VI (devenu roi de France) distribue la cour d'Antoigny, ayant appartenu à Alexandre le Boursier, à son écuyer Hugues de Saubertier.



Diocese, prevosté, et eslection de Paris. Le diocese est divisé en archipretrés, ou doyens ruraux. la prevosté en balliages, ou prevostés subalternes, et l'eslection en chastellenies / par N. Sanson d'Abbeville

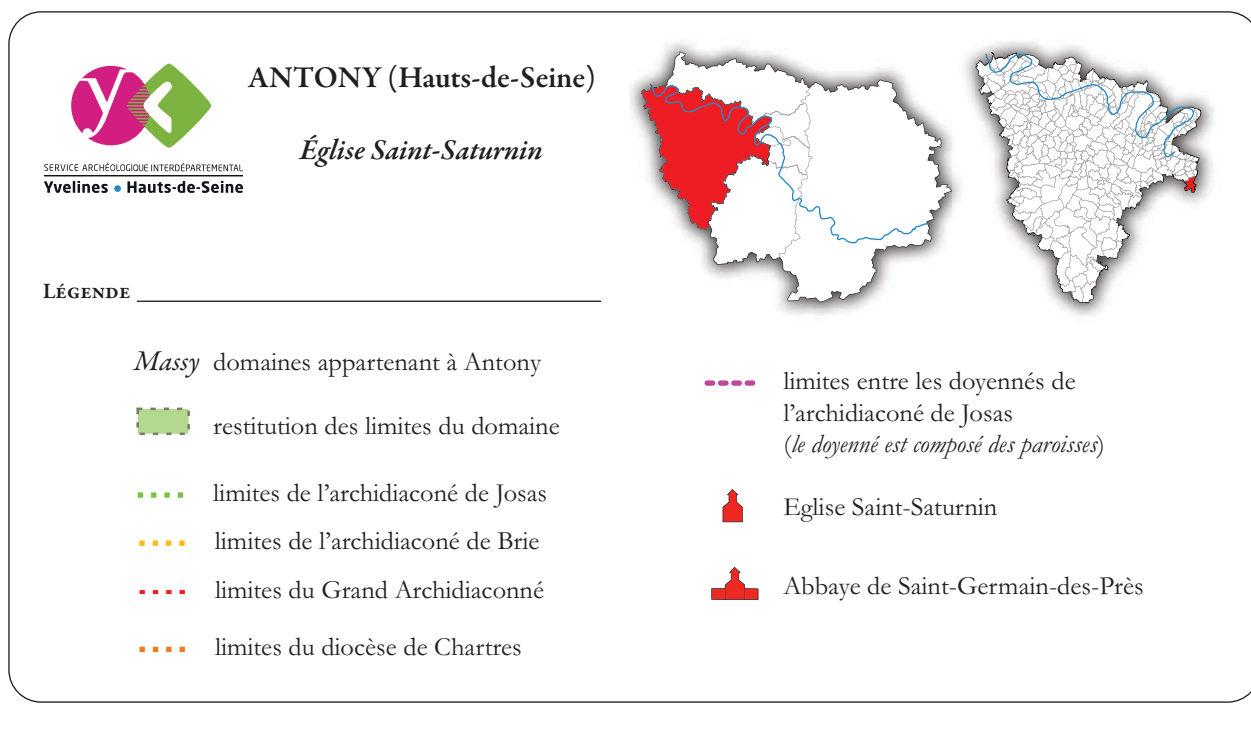


Fig. 11 : découpage de l'archidiaconé de Josas pour le secteur d'Antony, d'après Nicolas Sanson (1600-1667), auteur, et Abraham Peyrounin (1620-1666), graveur. Source Gallica : <http://gallica.bnf.fr/ark:/12148/btv1b8592367m/f1.item.r=doynn%C3%A9%20paris.zoom>.

En avril 1511, une plainte des marguilliers contre Antoine Le Moyne, maître fondeur de l'artillerie de France, concerne une mauvaise refonte de cloches. Selon Burdon, une partie de l'église est reprise, notamment au niveau de la nef (**Burdon, 1896**, p. 10).

En 1545, François I^{er} (1515-1547) autorise la tenue d'une foire deux fois par an, le premier jeudi après la Pentecôte et le 25 novembre, à la Sainte-Catherine, ainsi qu'un marché tous les jeudis.

En 1562, les guerres de religions entraînent d'importantes destructions d'édifices, notamment les pressoirs et la ferme (**Lebeuf, 1883-1893**).

Le 28 janvier 1649, durant la Fronde, est fait mention d'un affrontement entre les troupes royales et celles des princes coalisés contre Mazarin, dont le chef est le cardinal de Retz.

On ignore si une école fut véritablement fondée en 1553, mais les archives font mention d'un mécène, Jean Feydeau, qui, grâce à sa rente de 350 livres, fonde en 1711 un chapelain destiné à l'instruction gratuite d'enfants pauvres. À la même période est fondée la fabrique de cire rue Chartraine, démantelée à la fin du XIX^e siècle (Burdon cite une description de ce qui semble être la fabrique vers 1789).

Le domaine perdure jusqu'à la Révolution, date à laquelle les biens sont vendus comme biens nationaux et le bâtiment de la ferme est vendu à un particulier puis démoli durant la première moitié du XIX^e siècle (**Drwila, 2015**, p. 22).

À partir du XVIII^e siècle, la création au nord d'un axe Paris-Versailles redynamise le secteur (**Fontaine, 1987**).

Dans la partie septentrionale d'Antony et les environs du parc de Berny, sur les communes de Fresnes et Antony, s'est développé le domaine de Tourvoie, avec un "castel" implanté dans un vallon. Ce domaine appartient en 1580 à Étienne Charles, président des Enquêtes (**Viand, Labat, 2010a**, p. 15). Le castel est vendu en 1745, pour 60 000 livres, par Louis de Bourbon, comte de Clermont et abbé de Saint-Germain-des-Prés, afin d'y loger sa maîtresse la danseuse Elizabeth Leduc (cf. plan terrier de 1771, in **Viand, Labat, 2010a**, p. 23). À la mort de cette dernière, le domaine de Tourvoie est acquis d'abord par Dideron, docteur en médecine de la faculté de Paris puis par la famille Derblay. C'est à partir de 1826 que les lieux accueillent une fabrique

de colle puis une fabrique de ciment et, enfin, une briqueterie à vapeur (**Viand, Labat, 2010b**, p. 15). Le château disparaît en 1897.

2.4. Contexte archéologique des communes limitrophes d'Antony

□ Bourg-la-Reine (Hauts-de-Seine)

Bourg-la-Reine est une "Villeneuve" créée au XII^e siècle sur l'axe Paris-Orléans et dont le développement semble continu.

Quelques découvertes de mobilier épars sont à noter concernant la période néolithique, l'Antiquité et le Moyen Âge, notamment la découverte d'une plaque-boucle de ceinture de la période mérovingienne. La RN20 emprunte probablement l'axe de la voie antique (**Drwila, 2005a**). La paroisse est fondée au XII^e siècle et l'église est datée du XIII^e siècle, d'après une étude des éléments lapidaires (**Bulard, 1999**).

Les investigations archéologiques récentes sont concentrées le long de l'avenue du Général Leclerc et dans les parcelles avoisinantes.

Quelques indices laissent apparaître le développement d'un habitat du bas Moyen Âge avec des fosses, fossés et murs découverts au 63 *avenue du Général Leclerc* et *boulevard Maréchal Joffre* (**Drwila, 2005a et 2005b**) (cf. **fig. 5 n° 7 et 8**). Un découpage parcellaire médiéval semble avoir été fossilisé dans le paysage urbain sous forme de parcelles en lanières perçues lors du diagnostic *ZAC de la Bièvre – îlots 2 et 3* (**Talin d'Eyzac, 2006**) (cf. **fig. 5 n° 9**).

Les traces modernes et contemporaines sont plus importantes, avec une présence d'éléments sur l'ensemble des opérations archéologiques à Bourg-la-Reine. Pour la période contemporaine, on note la mise au jour de la plus ancienne faïencerie de la commune, fondée en 1772, au 116 *avenue du Général Leclerc* (**Drwila, 1999 et 2000**) (cf. **fig. 5 n° 10**).

Les opérations d'archéologie préventive ont mis au jour des vestiges des périodes moderne et contemporaine témoignant d'une occupation continue du secteur entre le XIII^e siècle et aujourd'hui. En outre, des traces d'occupations (bâti et mobilier) des Époques moderne et contemporaine sont retrouvées lors des opérations 5-7 *rue Jacques Margotti*, 83-87, *avenue du Général Leclerc* et 1, *rue Ravon* (**Labat et Viand, 2006**) (cf. **fig. 5 n° 11 et 12**).

□ Châtenay-Malabry (Hauts-de-Seine)

La commune de Châtenay-Malabry est un village médiéval cité dans les textes dès le IX^e siècle. Tout comme dans le cas d'Antony, la paroisse est créée au XI^e siècle et appartient à Notre-Dame de Paris.

Les abords du bourg médiéval ne semblent pas être aménagés avant le XX^e siècle d'après les données du diagnostic réalisé dans le *secteur Europe/avenue de la Division Leclerc* (**Drwila, 2014**, p. 29) (**cf. fig. 5 n° 15**).

À l'emplacement du lieu-dit *Le Grand-Cimetière*, une nécropole mérovingienne a été observée dans la première moitié du XVIII^e siècle, avec une série de sarcophages en plâtre coulés sur place. On note une possible réutilisation de la nécropole entre le XII^e et le XIII^e siècle (**cf. fig. 5 n° 16**). Le mobilier mérovingien découvert se compose uniquement d'une plaque-boucle (**Abert, 2005**, p. 33). Parmi les indices trouvés, plusieurs sépultures proches de l'église sont datées entre les XII^e et XIII^e siècles, dans des sarcophages, cette fois-ci moulés (*ibid.*, p. 33).

Le diagnostic situé au *27 rue des Vallées* a livré quelques traces d'une occupation antique dans les colluvions, un fond de parcelle d'un habitat médiéval (puits et mur d'enclos), un dépotoir du XVI^e siècle et des traces d'habitat contemporain (**Renel, 2010**) (**cf. fig. 5 n° 17**). L'exception d'un tessou de céramique caractéristique des productions franciliennes du XIII^e siècle, le reste du mobilier est daté du XIV^e siècle. Les terrains semblent abandonnés à la fin du Moyen Âge au profit de grands domaines fonciers.

À l'occasion d'un diagnostic réalisé en 2007 par l'INRAP, *21 rue Henri Marrou* (**Peixoto, 2007**), un fossé parcellaire a été dégagé. La structure est large d'1,80 m et conservée sur 0,70 m. Seul un élément datant, un fragment de tuile plate permet de l'attribuer à l'époque médiévale ou, plus vraisemblablement, moderne (**cf. fig. 5 n° 18**). Les autres structures maçonnées sont à rapprocher de bâtiments construits dans la deuxième moitié du XIX^e siècle.

Le diagnostic effectué par le SAD 92, *26-30 rue Henri Marrou* (**Viand, 2011**) a révélé des rares traces de périodes anciennes qui sont fortement érodées (**cf. fig. 5 n° 19**). Seul, le mobilier présent indique la présence d'une occupation à proximité. Deux structures fossoyées ont été mises au jour. Il s'agit de deux fossés, orienté nord-ouest/sud-est pour le premier et nord/sud pour le second. Le mobilier

céramique retrouvé en contexte permet de le situer entre la fin du Bas-Empire et le début du Moyen Âge. Plusieurs fragments de maçonnerie ont été mis au jour sur la parcelle, dont l'une des structures pourrait correspondre à la fontaine Sainte-Catherine. De cet aménagement subsiste par ailleurs la trace dans le mur de clôture de la parcelle, le long de la rue du même nom. La fontaine est représentée dans le cadastre en 1842 et elle semble être abandonnée et comblée dans le milieu du XIX^e siècle.

□ Sceaux (Hauts-de-Seine)

Le secteur du parc de Sceaux a fait l'objet de plusieurs opérations (**cf. fig. 5 n° 20 et 21**). Il n'y a pas de traces clairement identifiées pour le haut Moyen Âge sur cette commune. On note la mention dans la carte archéologique d'une structure quadrangulaire (probablement un fond de cabane) dans les environs de l'église du parc de Sceaux observée en 1996 par S. Talin d'Eyzac et C. David (**Abert, 2005**) (**cf. fig. 5 n° 20**).

Une fouille du bassin du Petit Château documente les aménagements du jardin du parc de Sceaux datant de la période contemporaine (bassin, pierrée et mur de soutènement) (**Talin d'Eyzac, 1997**). Des prospections géophysiques dans la cour d'honneur du château de Sceaux, en 2008, ont mis en évidence une série d'anomalies sous les niveaux de l'actuel parc sans pour autant donner plus d'informations (identification et datation) (**David, 2008**).

L'église *Saint-Jean-Baptiste* de Sceaux, située place Frédéric Mistral, a fait l'objet d'un diagnostic en 2015. L'édifice est évoqué dans une lettre d'Eudes de Sully en 1203, mais les recherches de terrain ont surtout révélé des modifications de l'édifice durant la seconde moitié du XV^e siècle (**Viré, 2015**, p. 73) (**cf. fig. 5 n° 22**).

Les archives font mention de deux maisons seigneuriales à Sceaux de la fin du Moyen Âge et du début de l'Époque moderne : "*Le grand Ceaux*" à l'emplacement de l'actuel château et "*Le Petit Ceaux*" (petit château) qui est aujourd'hui un lieu d'exposition temporaire du Département (*ibid.*, p. 28).

□ Verrières-le-Buisson (Essonne)

Verrières-le-Buisson est une commune drainée par la Bièvre et citée dans le polyptyque d'Irminon. Verrières avait pour toponymie *Verdrariae* (**Leboeuf, 1757**, p. 346). La fondation de la paroisse par le pape

Alexandre III date de 1177 (*ibid.*, 1757).

On note le classement aux Monuments historiques du gisement préhistorique au lieu-dit *le Buisson de Verrières* ; *le Terrier* (mobilier paléolithique et néolithique), ainsi que l'inscription à l'inventaire supplémentaire des Monuments historiques de l'église *Notre-Dame de l'Assomption*, dont certaines parties datent du XII^e et du XIV^e siècle et, enfin, le château de Vilmoron de l'Époque moderne (XVII^e siècle) (**cf. fig. 5**).

□ Massy (Essonne)

La limite entre Massy et Wissous semble reprendre le tracé d'une voie antique Paris-Orléans. À hauteur de Massy, un diverticule se détache de cette voie en direction de Chartres. La commune a livré à plusieurs endroits des traces d'occupations du Bas-Empire (habitat, céramique, mobilier métallique, monnaies, etc.). La période médiévale n'apparaît pas, bien que la commune soit citée comme dépendance de l'abbaye de Saint-Germain-des-Près au IX^e siècle dans le polyptyque d'Irminon. Celui-ci signale également la présence d'une église. Il s'agit peut-être de l'église du XIII^e siècle, *Sainte-Marie-Madelaine*, classée au titre des Monuments historiques (**cf. fig. 5**). On note également le château de Vilgénis, de l'Époque moderne, inscrit aux Monuments historiques, qui est à l'emplacement d'un ancien château médiéval du pays de Hurepoix, implanté *a priori* sur une ancienne *villa* gallo-romaine : la *villa Johannis* (**cf. fig. 5**).

□ Wissous (Essonne)

La limite entre Wissous et Massy semble reprendre le tracé d'une voie antique Paris-Orléans (elle suivant probablement le tracé de l'actuel RN20). La commune a surtout livré des vestiges de ce qui pourrait être l'ancien aqueduc qui alimentait Lutèce (observations au début du XX^e siècle par la Commission du vieux Paris et par J. Legriel en 2002). Des traces d'occupation du Bas-Empire sont mentionnées dans la carte archéologique. On remarque l'église *Saint-Denis*, du XII^e siècle, classée Monument historique (**cf. fig. 5**).

□ L'Haÿ-les-Roses (Val-de-Marne)

L'église *Saint-Léonard* compte de nombreuses phases de construction (**cf. fig. 5**). Elle est notamment reconstruite dans le premier quart du XVI^e siècle et consacrée en 1523 par l'évêque François de Poncher (**Leboeuf, 1757**). En 1635 est construite la chapelle formant le bras sud du

transept, puis le chœur est allongé en 1650. Dans la première moitié du XIX^e siècle, d'importants travaux sont menés dans le style néo-gothique par l'architecte Billaud : construction du clocher et du bas-côté sud, rhabillage de la façade. L'église est endommagée par les combats de 1870 puis restaurée à l'identique. Après la Seconde Guerre mondiale, l'église est desservie par une communauté bénédictine. Face à la croissance de la population, le chœur et le transept sont détruits en 1972 et remplacés par une halle en béton armé et charpente de bois apparente, par l'architecte Bahon.

□ Fresnes (Val-de-Marne)

L'église paroissiale *Saint-Eloi* a été construite dans la seconde moitié du XII^e siècle, de la travée, il ne subsiste plus que la partie centrale du chœur. Les autres parties de l'église furent détruites au XVI^e siècle, comme en témoigne une pierre commémorative située sur l'élévation sud. L'édifice a subi de nombreuses modifications durant le XIX^e siècle. Le château de Berny est un pavillon du XVII^e siècle, inscrit au titre des Monuments historiques, actuellement incorporé dans un autre immeuble (**cf. fig. 5**).

3. Description de l'opération

3.1. Déroulement et objectifs

La phase de terrain a débuté le 6 décembre et s'est achevée le 14 décembre 2017, soit une durée totale de 7 jours représentant 18,5 jours-hommes. L'équipe de fouille était constituée de trois archéologues et d'un topographe. Le diagnostic a été réalisé au moyen d'une mini-pelle mécanique sur chenilles munies de godets lisses de curage d'1,20 m et de 0,50 m, travaillant en rétroaction par intermittence durant 2 jours.

La phase de post-fouille et d'études s'est déroulée du 14 décembre 2017 au 27 février 2018. Elle a mobilisé treize agents, principalement affectés au traitement du mobilier (lavage, inventaire, restauration) et des données brutes acquises sur le terrain. L'équivalent de 46 jours-hommes a été nécessaire à la finalisation des études et du présent rapport.

L'opération visait à mettre en évidence la présence ou l'absence de vestiges archéologiques sur les 2 200 m² concernés par le projet. Dans l'éventualité de la présence de vestiges, le diagnostic devait

permettre de caractériser leur état de conservation, leur profondeur d'enfouissement, leur densité et leur attribution chrono-culturelle. Il devait également fournir des précisions sur l'épaisseur des niveaux archéologiques et sur l'extension approximative des ensembles reconnus.

Les situations topographique et géologique étaient favorables à la présence d'occupations humaines de toutes périodes et de toutes natures.

3.2. Contraintes, stratégie et méthodes

□ *Contraintes*

Le projet de reprise des réseaux et de drainage (pluvial et eaux usées) se situe sous la place de l'église *Saint-Saturnin* d'Antony, le long du mur pignon accueillant le portail de l'édifice et sur la voie d'accès à la maison paroissiale Sainte-Claire. Compte tenu de l'emprise prescrite, seule la surface impactée par ce projet a été diagnostiquée, soit une surface de 110 m². De plus l'emplacement des tranchées a été déterminé en fonction des nombreuses contraintes liées au contexte urbain.

Afin de connaître la nature et la géolocalisation des réseaux présents dans l'emprise des travaux, des investigations complémentaires ont été réalisées par l'entreprise GeoSat, en amont de notre inter-

vention : géolocalisation non intrusive des réseaux, marquage au sol et réalisation d'un plan de synthèse. Tous les réseaux étaient actifs au moment de l'ouverture des tranchées et des distances de sécurité réglementaires ont été respectées lors de l'ouverture mécanique des tranchées et de la fouille manuelle.

La tranchée 1 (TR1), d'une superficie au sol de 6,5 m², a fait apparaître le réseau électrique pour l'éclairage urbain, ainsi que le pluvial en béton concerné par le projet de réfection (**fig. 12**). La tranchée 2 (TR2), la plus grande avec ses 9 m² au sol, a mis à nu un autre tronçon du réseau d'évacuation d'eau. Les 7 m² de la tranchée 3 (TR3) ont dégagé la nappe de réseau électrique de l'éclairage urbain.

En raison de l'importante fréquentation de la place de l'Église, l'entreprise Sotravia, maître d'œuvre de la ville d'Antony pour rénover les réseaux, est intervenue pour la sécurisation des espaces et la préparation des sols. Ainsi, 72 m linéaires de clôtures opaques mobiles ont été posés pour sécuriser l'emplacement des ouvertures, et 20 m² de pavés autobloquants ont été déposés avant le début de l'opération (**fig. 13**).

Les accès à l'église et à la maison paroissiale Sainte-Claire ont été constamment maintenus pour les



Fig. 13 : vue des espaces diagnostiqués sécurisés à l'aide des clôtures opaques mobiles.

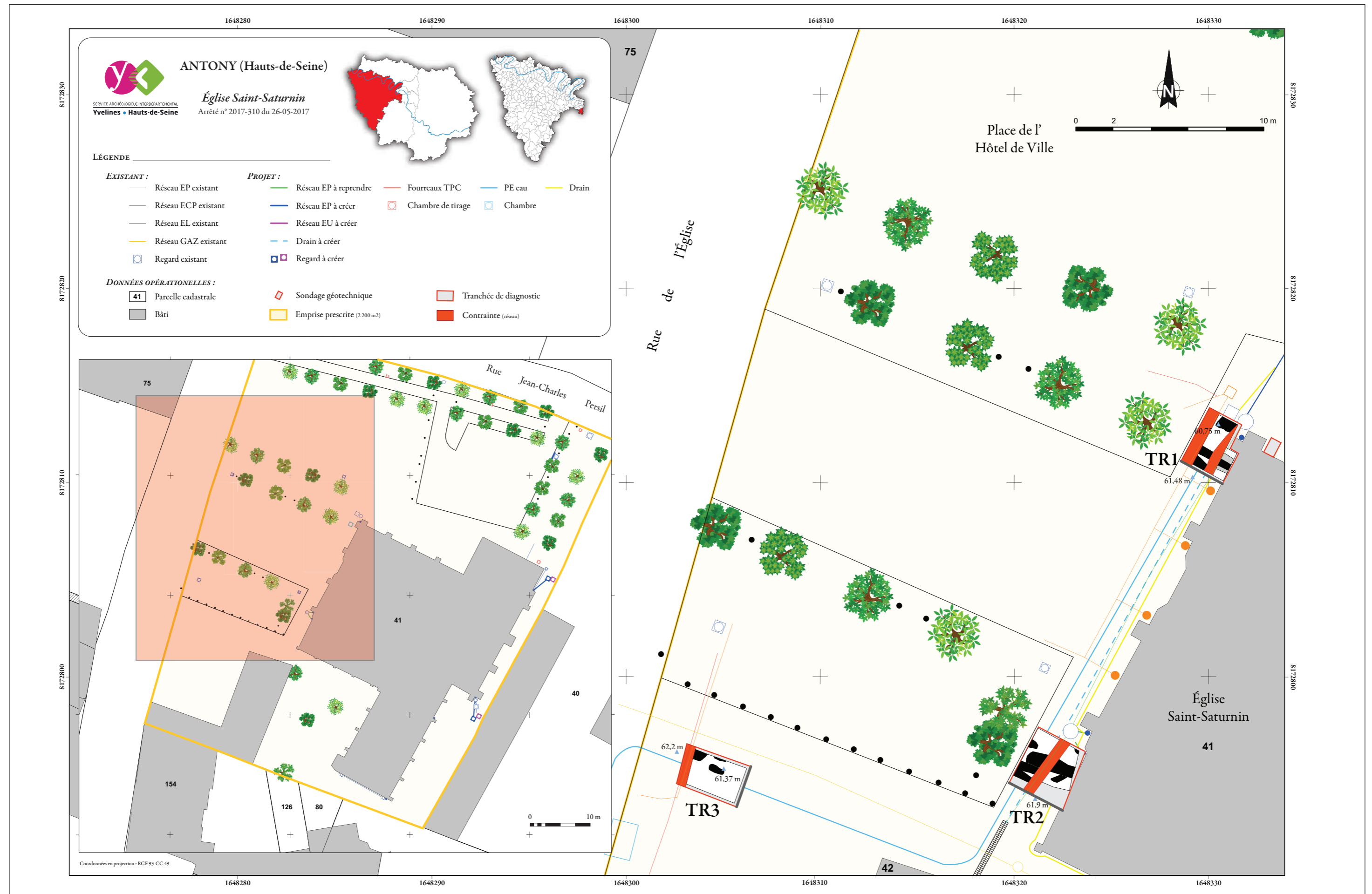


Fig. 12 : plan général de la zone d'intervention.

besoins des paroissiens.

Enfin, il est à noter que les conditions climatiques ont été particulièrement difficiles durant la phase de terrain, où pluie et vent violent ont perturbé le bon déroulement de l'opération (**fig. 14**).

□ *Stratégie et méthodes*

Les contraintes liées au mobilier et à l'éclairage urbains ont grandement contribué à déterminer la localisation des tranchées de diagnostic (**cf. fig. 12**). Placées sur le tracé du pluvial géolocalisé, deux d'entre elles ont été implantées parallèlement au mur-façade ouest de l'église, dans les espaces où les réseaux sont les moins denses. La dernière est située dans la voie d'accès menant à la maison paroissiale, afin de connaître l'extension du cimetière paroissial et éventuellement de mettre au jour des éléments pouvant confirmer l'hypothèse d'une voie antique reprenant le tracé de la rue de l'Église.

Au total, 3 tranchées de 2 m de large par 3 m de longueur ont été réalisées en respectant le schéma élaboré dans le projet scientifique d'intervention. Ces ouvertures couvrent une superficie de 22,5 m², soit environ 20,5 % de la surface accessible. Pour des raisons de sécurité, la profondeur des tranchées

n'a pas excédé 1,30 m. Les sépultures ont été rencontrées entre 0,40 et 1,10 m sous le sol actuel et les formations limono-argileuses accueillant le niveau sépulcral ont été ponctuellement sondées afin d'atteindre les limons sous-jacents et de réaliser de coupes stratigraphiques.

La position des tranchées, des structures archéologiques et des coupes a fait l'objet d'un relevé tridimensionnel au tachéomètre laser. De manière générale, les principales structures repérées et testées ont été relevées au 1/20^e. L'ensemble des mesures a été pris selon le système de coordonnées RGF 93-CC49. Les altitudes ont été relevées en NGF.

À la suite des travaux de terrain, les objets archéologiques ont été triés par matériau puis par numéro de tranchée, de fait et d'unité stratigraphique. Une fois lavé, le mobilier a été conditionné dans des sachets en polyéthylène et rangé dans des caisses gerbables normes Europe (dimensions : 40 x 30 x 11,8 cm). Les métaux ont été traités à part et conditionnés dans des boîtes hermétiques dotées d'un sachet déshydratant.

L'ensemble du mobilier a été enregistré sur une base



Fig. 14 : eau pluviale stagnante dans la tranchée 1.

de données *FileMaker Pro*. Chaque objet ou lot d'objets possède un numéro d'inventaire unique composé du code opération, du numéro de tranchée, du numéro de fait et d'un numéro d'objet (exemple : ASS.2021.2). Chaque boîte possède également un numéro de boîte et un numéro d'étagère pour permettre de les localiser facilement dans les magasins de stockage.

3.3. Nature des découvertes

Quelques ensembles archéologiques diachroniques plus ou moins structurés ont été identifiés au cours de l'intervention. Ont notamment été distingués :

- des témoins matériels épars attribués à l'Antiquité ;
- du mobilier céramique épars attribué au premier Moyen Âge ;
- quatorze sépultures à inhumation du second Moyen Âge ;
- un niveau de sol moderne présentant des traces de rubéfaction ;
- des fondations de murs arasés à l'Époque contemporaine.

II . Résultats archéologiques (Jean-François Modat)

(DAO : G. B., S. G., A. K. et J.-F. M. ; photographies : C. B., A. K. et J.-F. M.)

1. Remarques préliminaires

L'opération réalisée sur la place de l'église *Saint-Saturnin* a fait l'objet de trois tranchées de diagnostic archéologique. Ces dernières ont permis la mise au jour de plusieurs sépultures, de niveaux de circulation, de remblais et de maçonneries arasées fortement perturbées par des réseaux contemporains (électrique, eaux pluviales et usées). Les études de mobilier céramique et métallique sont présentées au préalable afin d'amorcer les premiers repères chronologiques d'occupation du site. Les faits sont ensuite décrits individuellement par tranchée et par nature, en précisant leurs positions stratigraphiques et le mobilier archéologique associé.

2. Le mobilier

Les artefacts datés de l'Antiquité, du Moyen Âge et de l'Époque moderne, exceptés les restes osseux humains, représentent près de 161 fragments de céramique, de faune, d'éléments métalliques, pour un poids total de 16,9 kg.

2.1. Étude du mobilier céramique (A. K.)

La place de l'église *Saint-Saturnin* à Antony a fait l'objet d'un diagnostic qui a permis de mettre au jour une petite quantité de mobilier. Dix-neuf unités stratigraphiques ont livré des restes de céramique pour un total de 129 tessons (788 g). L'ensemble est très fragmentaire, toutefois plusieurs périodes ont pu être mises en évidence, comprises entre

l'Antiquité et l'Époque moderne.

La répartition de la céramique par périodes chronologiques montre une très faible part de mobilier antique (2 %) et une plus forte représentation du mobilier du Moyen Âge (85 %). Les contextes ont livré des éléments de l'époque carolingienne VIII^e - IX^e s. (9 %), du Moyen Âge XII^e - XIII^e s. (14 %), et enfin une part plus importante du bas Moyen Âge, XIII^e - XIV^e s. (62 %) (fig. 15 et 16).

Ce mobilier céramique se répartit quantitativement par période, par tranchée et par unité stratigraphique (fig. 17).

2.1.1. L'Antiquité

Hormis un tesson de *Terra nigra* et un bord de sigillée tardive, aucune autre trace tangible pour la période antique n'a été identifiée lors de cette opération. Le fragment de sigillée ASS.3013.4 est très petit et mal conservé. Il s'agit probablement d'un fragment de coupe hémisphérique de type Chenet 320 (fig. 18), dont la forme est caractéristique du Bas-Empire (Brulet *et al.*, 2010, p. 216).

2.1.2. Le haut Moyen Âge (VIII^e - IX^e s.)

Au total, quatre unités stratigraphiques ont livré du mobilier attribué à l'époque carolingienne (cf. fig. 17). La moitié de ces contextes sont des remblais supérieurs et l'autre moitié correspond à des comblements de sépultures (TR1, fait 1 et TR2, fait 2).

Décompte du mobilier céramique	Datation	Nb de restes	%	Poids en g.	%
Antiquité	—	2	2	7	0,9
Haut Moyen Âge (carolingien)	VIII ^e - IX ^e s.	11	9	55	6,9
Moyen Âge	XII ^e - XIII ^e s.	17	14	42	5,3
Bas Moyen Âge	XIII ^e - XIV ^e s.	74	62	540	68
Époque moderne et contemporaine	XV ^e - XIX ^e s.	14	12	140	17,6
Indéterminé	—	2	2	4	1,3
Total	VIII^e - XIX^e s.	120	100	788	100

Fig. 15 : décompte du mobilier céramique par période chronologique.

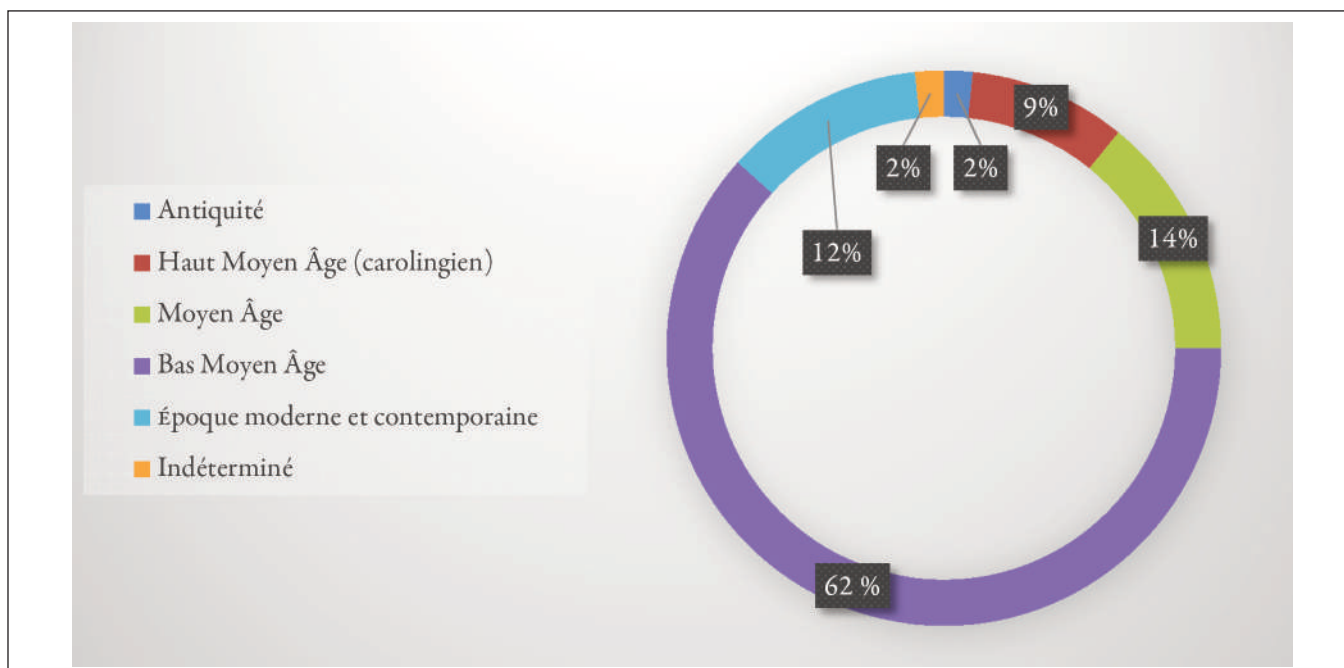


Fig. 16 : représentation du mobilier céramique par période chronologique (exprimée en %).

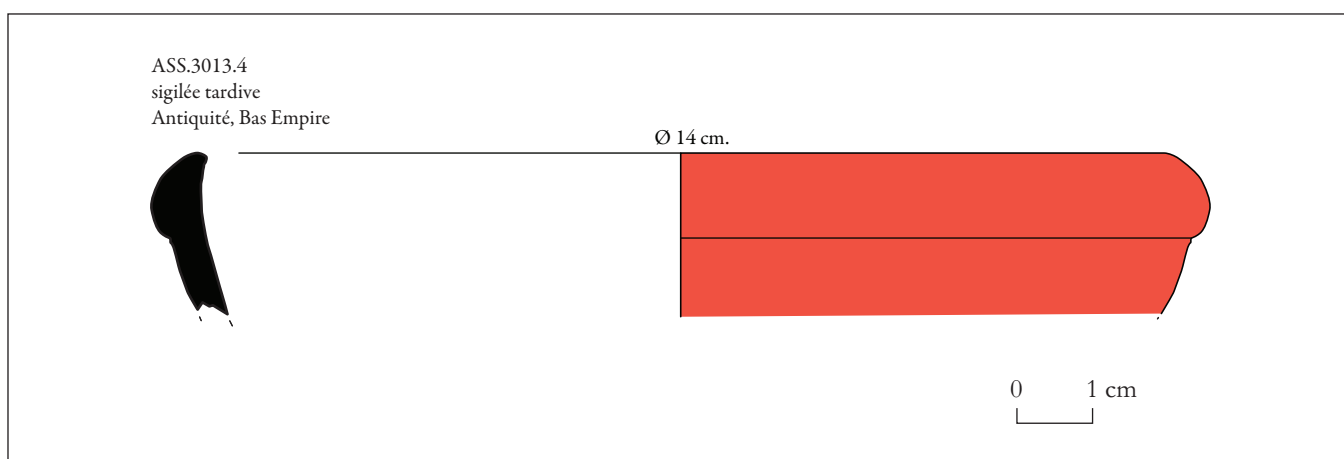


Fig. 18 : dessin du mobilier céramique de l'Antiquité.

Le mobilier est constitué uniquement de 11 restes, dont 10 tessons de panse et 1 fragment de fond. Les productions observées sont caractéristiques de la période, majoritairement des pâtes granuleuses avec de petites et moyennes inclusions de quartz. Les couleurs des pâtes vont du beige-orangé au gris clair avec une fracture feuilletée. Un premier type de décor a été identifié, comportant des traces de peinture ocre-rouge sur un fond et un tesson de panse. Enfin, notons la présence de deux tessons identifiables comme des pâtes fines, peintes et polies. Ces productions émergent durant le VIII^e siècle et perdurent jusqu'au X^e siècle (Lefèvre, 2006). De qualité supérieure, cette catégorie de céramiques est généralement destinée au service de table (Lefèvre et Mahé, 2004).

Ces quelques tessons attesteraient la présence d'une occupation carolingienne sur ou à proximité de

notre diagnostic, sans pour autant pouvoir la caractériser.

2.1.3. Le Moyen Âge et le bas Moyen Âge (XII^e - XIV^e s.)

Le mobilier daté du Moyen Âge (XII^e - XIII^e s.) concerne huit unités stratigraphiques tandis que dix autres unités contiennent des restes caractéristiques du bas Moyen Âge (XIII^e - XIV^e s.). Ces deux périodes ont livré respectivement 17 et 74 tessons pour un poids de 42 g et 520 g (cf. fig. 17). Cet ensemble est composé de 11 bords et 7 tessons de fond.

Pour le Moyen Âge, les productions sont très majoritairement sableuses, hormis un tesson à pâte

Tranchée	N° US	N° d'inventaire	Période chronologique	Début	Fin	Nb individus	Nbre de frags	Poids en g.	Description
1	2018	ASS.2018.1	Antiquité				1	2	1 panse (Terra Nigra ?) très mal conservé.
2	3013	ASS.3013.4	Antiquité / Bas-Empire				1	5	bord, sigillée tardive (Chenet 320 ?).
1	2004	ASS.2004.7	Haut Moyen Âge / carolingien	VIII ^e s.	début IX ^e s.		2	19	2 panses à pâte semi-granuleuse.
1	2017	ASS.2017.1	Haut Moyen Âge / carolingien	VIII ^e s.	IX ^e s.		4	18	2 granuleuses, 1 sableuse grossière, 1 fine, peinte et polie.
2	3015	ASS.3015.1	Haut Moyen Âge / carolingien	fin VIII ^e s.	IX ^e s.		2	4	2 panses pâte granuleuse (1 décor peint ?).
3	4004	ASS.4004.7	Haut Moyen Âge / carolingien	fin VIII ^e s.	IX ^e s.		3	14	1 fond (traces de décor peint), 1 fine, peinte et lissé, 1 sableuse dense.
1	2004	ASS.2004.9	Moyen Âge	XII ^e s.	début XIV ^e s.		2	10	2 panses à pâte sableuse.
2	3009	ASS.3009.1	Moyen Âge	XII ^e s.	XIII ^e s.		6	12	3 panses (décors flammules).
2	3010	ASS.3010.3	Moyen Âge	XII ^e s.	XIII ^e s.		2	2	2 panses, pâte sableuse (flammules).
2	3013	ASS.3013.5	Moyen Âge	fin XII ^e /XIII ^e	XIV ^e s. ?		2	4	2 panses à pâte sableuse.
2	3017	ASS.3017.1	Moyen Âge	XII ^e s.	XIII ^e s.		1	2	1 panse à pâte sableuse.
3	4010	ASS.4010.4	Moyen Âge	début XII ^e s. ?	début XII ^e s.	1	2	10	1 fragment de bord à pâte sableuse, 1 panse à pâte semi-granuleuse ou grossière.
3	4018	ASS.4018.2	Moyen Âge	XII ^e s.	XIII ^e s.		1	1	1 panse à pâte sableuse (trace de décor peint, flammules).
3	4022	ASS.4022.1	Moyen Âge	XI ^e s.	XIII ^e s.		1	1	1 petit fragment de panse à pâte grossière.
1	2004	ASS.2004.8	Bas Moyen Âge	XIII ^e s.	XIV ^e s.	1	1	2	1 bord très fragmentaire.
1	2010	ASS.2010.1	Bas Moyen Âge	XIII ^e s.	milieu XIV ^e s.	1	1	6	1 bord de coquemar avec un décor peint (flammules).
1	2010	ASS.2010.2	Bas Moyen Âge	XIII ^e s.	milieu XIV ^e s.		1	3	1 panse pâte sableuse.
1	2011	ASS.2011.2	Bas Moyen Âge	XIII ^e s.	milieu XIV ^e s.	1	1	6	1 bord très fragmentaire, pâte sableuse.
2	3007	ASS.3007.5	Bas Moyen Âge	XIII ^e s.	milieu XIV ^e s.		19	79	16 panses (11 flammulées 1 glaçuré avec pastille digitée), 2 fonds, 1 anse avec une glaçure vert pâle.
2	3009	ASS.3009.2	Bas Moyen Âge	fin XIII ^e s.	XIV ^e s.		1	3	1 tesson de panse à pâte sableuse avec un décor de bandeau (céramique dite "très
2	3010	ASS.3010.4	Bas Moyen Âge	XIII ^e s.	milieu XIV ^e s.		4	15	1 fond et 5 panses à pâte sableuse.
2	3010	ASS.3010.5	Bas Moyen Âge	XIII ^e s.	début XIV ^e s.	1	1	3	1 bord très fragmentaire (oule ?) et 5 panses dont 4 à pâte sableuse et 1 à pâte semi-granuleuse. (3 tessons peints, flammules ou flammes).
2	3015	ASS.3015.2	Bas Moyen Âge	XIII ^e s.	XIV ^e s.		1	6	1 panse pâte sableuse dense avec un frag. de décor peint.
2	3025	ASS.3025.5	Bas Moyen Âge	XIII ^e s.	début XIV ^e s.	3	24	280	3 bords dont un avec un départ d'anse (coquemar, pichet et cruche ?). 5 fonds, 2 frag. d'anse, 14 panses. (Risque d'interférence avec l'US 3032). 6 tessons avec décors flammulée et 4 avec glaçure vert pâle. (Risque d'interférence avec l'US 3032).
2	3025	ASS.3025.6	Bas Moyen Âge	XIII ^e s.	début XIV ^e s.	1	1	45	1 bord de marmite avec décor digitée (trace de décor peint)
2	3025	ASS.3025.7	Bas Moyen Âge	fin XII ^e s.	milieu XIII ^e s.	1	1	5	1 bord d'une oule à bandeau.
2	3025	ASS.3025.8	Bas Moyen Âge	XIII ^e s.	début XIV ^e s.		3	13	3 panses à pâtes sableuses (décors peints et traces de glaçures).
3	4009	ASS.4009.2	Bas Moyen Âge	XIII ^e s.	milieu XIV ^e s.		4	15	4 panses dont 3 avec décor peint et 1 glaçuré.
3	4010	ASS.4010.3	Bas Moyen Âge	XIII ^e s.	XIV ^e s.		10	56	1 bord à pâte sableuse glaçure jaune/marron (tasse polylobée), 1 anse à pâte sableuse glaçure verte, 8 panses à pâtes sableuses sont 5 avec décors peint (flammules) et 3 glaçuré.
3	4020	ASS.4020.1	Bas Moyen Âge	XIII ^e s.	XIV ^e s.		1	3	1 panse à pâte sableuse glaçuré (jaune)
2	3007	ASS.3007.6	Moyen Âge ou Moderne	XIV ^e s.	XVI ^e s.		2	8	2 grès, gris clair fins.
2	3025	ASS.3025.9	Moyen Âge ou Moderne	XIV ^e s.	XVI ^e s.		1	4	1 grès, gris clair fins.
3	4004	ASS.4004.6	Moyen Âge ou Moderne	XIV ^e s.	XVI ^e s.		3	13	2 grès, 1 panse à pâte sableuse.
2	3004	ASS.3004.7	Époque moderne	XV ^e s.	XVI ^e s.		4	18	1 grès, 2 sableuse dense.
2	3004	ASS.3004.8	Époque moderne ou contemporain	XVI ^e s. ?	XIX ^e s.		1	8	1 tesson de verre.
2	3007	ASS.3007.4	Époque moderne	XV ^e s.	XVII ^e s.	1	3	89	bord, bassin, glaçure verte int. et ext.
1	2004	ASS.2004.10	Indéterminé				1	3	1 fragment de fond très mal conservé. Époque moderne ?
2	3010	ASS.3010.6	Indéterminé				1	1	panse très mal conservé.
Total			VIII^e – XIX^e s.			11	129	788	

Fig. 17 : décompte total du mobilier céramique.

grossière (avec des inclusions plus importantes). Deux fragments présentent des décors peints de types "flammes" et "flammules" ; ces derniers sont effectués à l'aide d'un pinceau multiple (Guadagnin, 2007, p. 271). Ce type de décor apparaît durant la seconde moitié du XI^e siècle et est très courant entre les XII^e et XIII^e siècles. Elles sont caractéristiques des centres de production de la vallée de l'Ysieux et plus généralement de l'Île-de-

France. Il s'agit d'une technique de décoration bien connue et décrite, notamment dans l'étude typochronologique concernant les ateliers de Fosses et de Lassy (*ibid.*).

Concernant le bas Moyen Âge, les productions sont essentiellement des pâtes claires – beige à beige clair – et sableuses, mais avec une densité plus élevée

et une fracture plus nette. Comme pour la phase précédente, deux types de décor ont été observés. Il s'agit de décors peints et de glaçure. En tout, 22 fragments ont reçu un décor peint de type "flam-mules" et 11 tessons présentent une glaçure externe allant du jaune au vert clair.

Au total, 10 individus ont été inventoriés. L'étude des bords a permis d'identifier essentiellement des formes fermées, à l'exception d'un fragment d'une tasse polylobée décorée d'une glaçure jaune foncé (ASS.4010.3). Parmi les formes, nous observons deux pots, ASS.2010.1 et ASS.3025.6 (**fig. 19, n° 1 et 3**). La première est un coquemar à lèvres triangulaire, dont la panse a reçu un décor dit de "flam-mules". La seconde forme est vraisemblablement une marmite à lèvres en bandeau, avec en applique un décor digité sur le bord et le col. Pour deux autres formes, on observe la présence d'un décor peint de couleur ocre. Des oules à bandeau, comme les tessons ASS.3025.7 (**cf. fig. 19, n° 2 et fig. 20**) et probablement ASS.3010.5, sont identifiés comme des récipients culinaires, destinés à la cuisson ou au stockage des aliments (**Nicourt, 1986**).

Enfin, un fragment de panse se distingue avec une glaçure verte et un décor de pastille, provenant d'un pichet ou d'une cruche. Cet élément est à rapprocher des productions du XIV^e siècle dites "très décorées" de Poissy (**Ravoire, 2009**). Ces dernières ont pu être caractérisées grâce à la découverte de rejets d'un atelier de potier situé à Poissy, sur la *place de la République* (**Leclerc et al., 1992**).

La faiblesse du corpus permet uniquement de préciser que cet ensemble est caractéristique des productions du XIII^e siècle, voire du début du XIV^e siècle.

2.1.4. L'Époque moderne et la période contemporaine

En tout, cinq unités stratigraphiques comportent des éléments datés entre le Moyen Âge et l'Époque moderne, excepté un tesson de verre de bouteille de la période contemporaine (**cf. fig. 17**). Au total, 14 tessons ont été rattachés à cette période, pour un poids total de 140 g.

Cet ensemble se compose de céramiques à pâte sableuse dense (3 tessons) et de grès (6 tessons). Ces



Fig. 20 : col de marmite décoré, daté du milieu du XIII^e - début XIV^e s. (tesson ASS 3025.7).

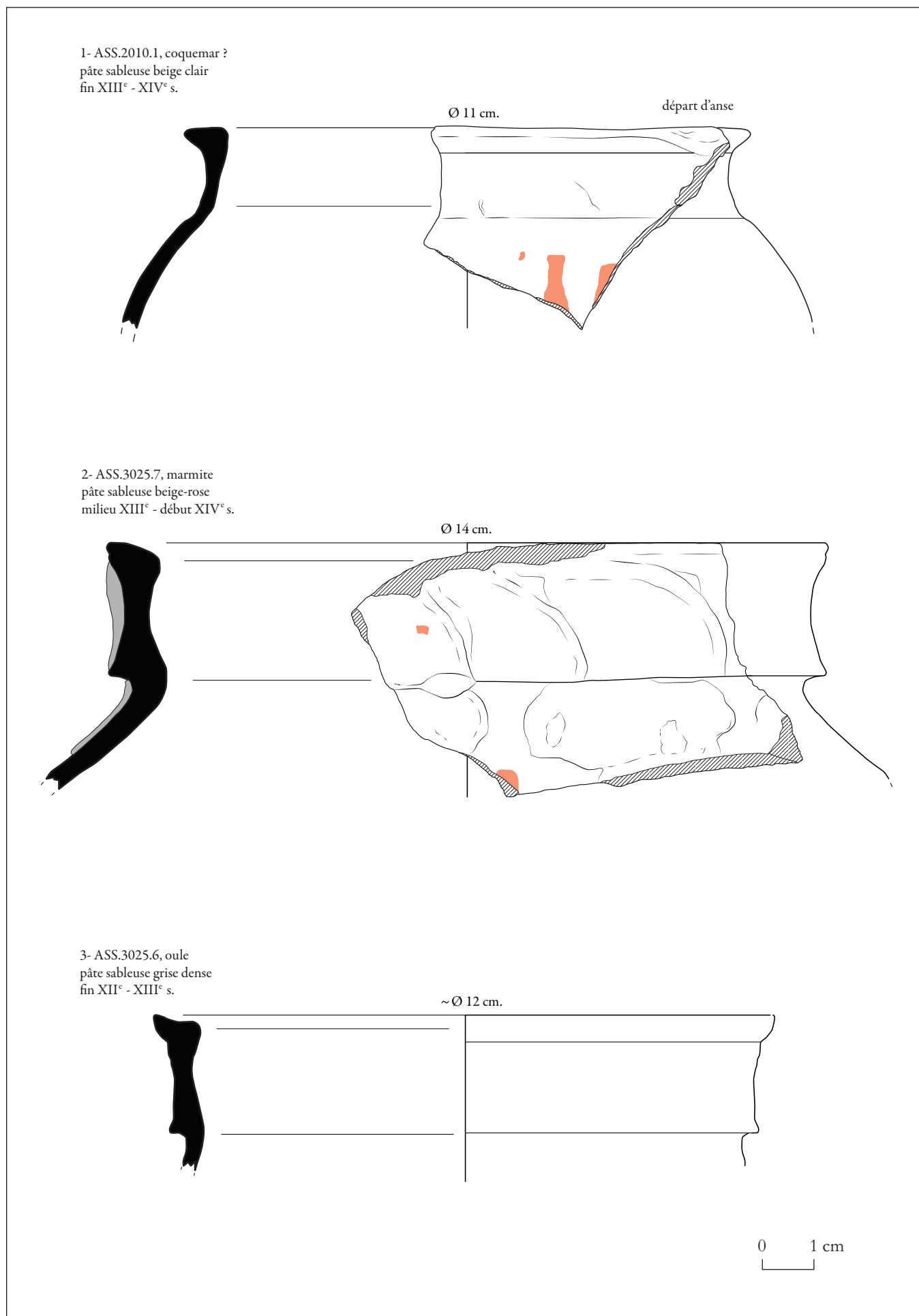


Fig. 19 : dessin du mobilier céramique du Moyen Âge.

derniers sont fins et gris clair, pouvant être rapprochés, avec précaution, des productions du Beauvaisis. Enfin, un bord mal conservé est apparenté à un bassin à pâte sableuse beige, avec une glaçure externe et interne verte (ASS.3007.4). Son utilisation dans un contexte culinaire semble privilégiée, toutefois son utilisation dans un contexte hygiénique n'est pas à exclure (Ravoire, 2006).

2.1.5. Conclusion pour le mobilier céramique

Pour conclure, la faiblesse du corpus ne permet pas de caractériser véritablement cette occupation. Une présence dans le secteur durant la période carolingienne est envisageable, même si la majorité des éléments semble plutôt correspondre au Moyen Âge, en particulier à partir du XIII^e siècle. Aucun caractère particulier n'a été observé dans le mobilier à l'exception des tessons peints carolingiens.

2.2. Étude du mobilier métallique (J.-F. M.)

Le mobilier métallique collecté durant cette opération est indigent. Seuls 7 éléments en fer et un objet en alliage cuivreux ont été découverts.

Les fragments ferreux sont au nombre de 7 : deux clous en fer à tête et section carrées (h = 4,8 cm ; sect. = 1 cm) en tranchée 1, un clou en fer de section carrée (h = 6,4 cm ; sect. = 1,2 cm) et quatre fragments indéterminés en tranchée 3.

L'élément en alliage cuivreux est un dé à coudre (h = 2,3 cm ; diam. = 2 cm) dont la morphologie semble contemporaine (fig. 21). Il s'agit d'un dé fermé à poinçonnage circulaire. Le métal dans lequel il est réalisé est un alliage cuivreux sur lequel sont visibles des zones plus grises (phénomène post-dépositionnel ou corrosion). Le contour est couvert de petites dépressions estampées circulaires et alignées verticalement. Elles sont destinées à caler le sommet de l'aiguille à coudre. L'entrée du dé possède une fine rainure située à 0,2 cm du bord inférieur. Aucune datation ne peut être avancée pour cet élément.

3. La tranchée 1

L'implantation de la tranchée 1 est située à l'angle nord-ouest du mur pignon de la nef (fig. 22). Elle devait permettre de retrouver les éléments mis en évidence près du mur gouttereau nord, identifié lors



Fig. 21 : dé à coudre ASS.4004.1 découvert en tranchée 3.

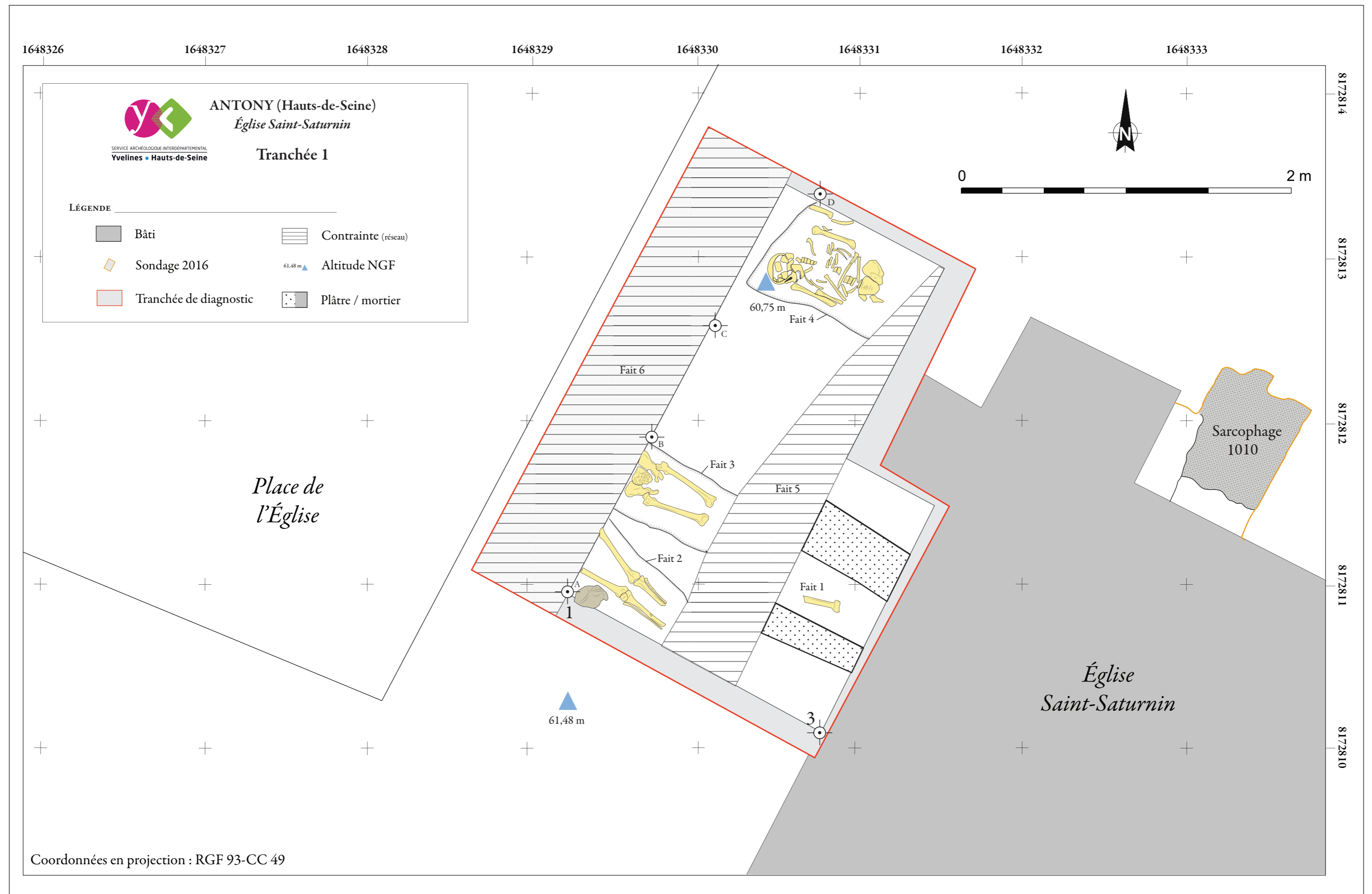


Fig. 22 : plan des structures mises au jour en tranchée 1 et sarcophage maçonné découvert lors du sondage géotechnique.

de la surveillance du sondage géotechnique réalisé en 2016 (Modat, 2016).

La tranche 1 a une superficie au sol de 6 m² et la profondeur atteinte s'élève à 1,04 m par rapport au niveau actuel de circulation (fig. 23 et 24). Des remblais et des sépultures à inhumation y ont été mis en évidence entre des réseaux d'eau et d'électricité.

3.1. Les sépultures

Quatre sépultures à inhumation (Faits 1, 2, 3 et 4), orientées nord-ouest – sud-est, ont été mises en évidence en tranchée 1. Apparaissant à une profondeur variant entre 60,76 m et 60,64 m NGF et ont été creusées dans un limon argileux beige orangé, compact et homogène, contenant des fragments épars de meulière centimétriques (US 2013). Cette couche accueillant le niveau sépulcral repose sur l'US 2022, un limon beige clair (carbonaté ?), compact et hétérogène, avec quelques petites poches de limon brun et de très rares inclusions de charbons de bois (bioturbations racinaires).

3.1.1. Le Fait 1

Le Fait 1 correspond à une sépulture à inhumation en sarcophage apparaissant à 0,29 m sous le niveau actuel de circulation, et située stratigraphiquement sous la nef (fig. 25). Elle est recoupée au nord par l'aménagement du réseau d'eau (Fait 5) et dans sa partie supérieure par l'aménagement de la place-parvis à la fin du XX^e siècle.

Les parties conservées et visibles (L = 0,53 x l = 0,72 m) laissent apparaître un sarcophage de forme légèrement trapézoïdale (US 2009). Composé de mortier et de blocs de meulière blanc à rose (L = 0,18 x l = 0,10 x h = 0,09 m), les deux parois verticales larges de 0,13 m s'appuient contre le creusement de la fosse. Le fond est plat et peu épais (0,02 à 0,05 m) et présente de nombreuses bioturbations racinaires.

Le comblement du sarcophage (US 2010) est un limon gris à gris clair, meuble et hétérogène, contenant de nombreuses inclusions de fragments calcaires et de plâtre, quelques graviers calcaires



Fig. 23 : vue oblique de la tranchée 1.

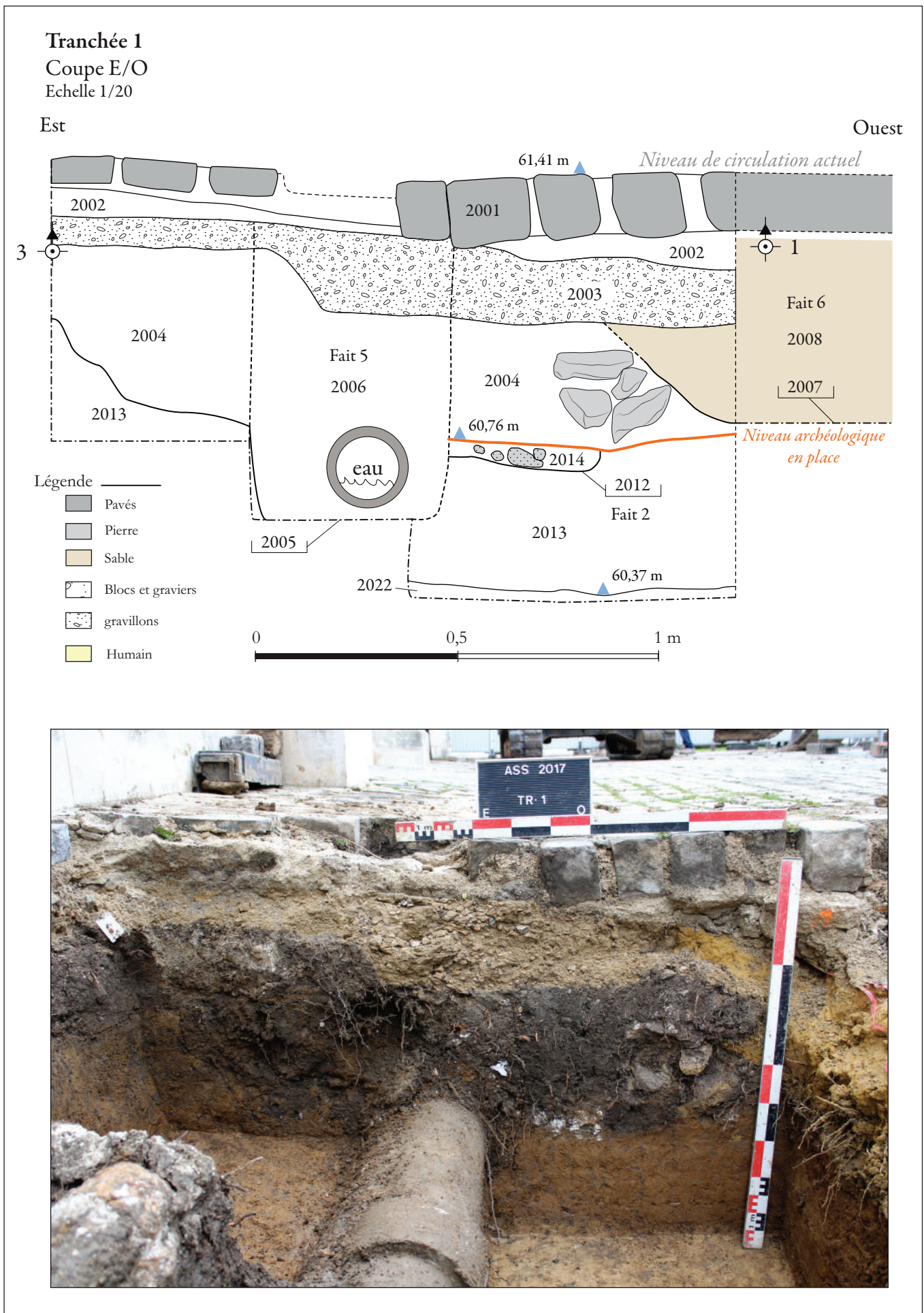


Fig. 24 : relevé stratigraphique et vue oblique de la berme sud de la tranchée 1.



Fig. 25 : vue oblique de la sépulture en sarcophage Fait 1, tranchée 1.

centimétriques et, ponctuellement, un sable beige (**fig. 26**). De la terre cuite architecturale, de la céramique du bas Moyen Âge et des ossements épars de plusieurs individus y ont été collectés, dont 1 adulte et 2 immatures (cf. chapitre 3).

Cette sépulture a été mise en place avant la reconstruction de la nef, détruite lors de la guerre de Cent Ans, à fin du XV^e siècle ou au début du XVI^e siècle. La consécration de la nouvelle nef a lieu le 1^{er} juillet 1601 en la présence de Monseigneur Coquelet, évêque de Digne et ancien curé d'Antony (**Perrachon, 1930**). La découverte d'un bord très fragmentaire de céramique à pâte sableuse du XIII^e siècle au milieu XIV^e siècle dans le comblement de la sépulture permettrait de la dater du bas Moyen Âge.

3.1.2. Le Fait 2

Ce fait correspond à une sépulture recoupée au nord et au sud par les réseaux contemporains Faits 5 et 6 (**fig 27**). Découverte à 0,51 m sous le niveau de

circulation actuel, la fosse (US 2012) est conservée sur une longueur de 0,66 m, une largeur comprise entre 0,42 m (bassin) et 0,25 m (pieds) et une profondeur variant entre 0,03 et 0,14 m. Le creusement dessine une fosse très étroite, oblongue à parois convergentes et à fond plat.

Le comblement, l'US 2014, est un limon argileux brun-gris, meuble et homogène, avec des inclusions d'éclats calcaires centimétriques, des fragments de mortier et de nombreuses bioturbations racinaires. Un bloc de meulière (L = 0,45 m) observé dans la coupe sud de la tranchée 1 pourrait participer à l'architecture funéraire de cette sépulture.

Le squelette US 2015, en bon état de conservation, est un sujet adulte reposant la tête à l'ouest en décubitus dorsal sur le fond de la fosse en léger pendage ouest-est, les membres inférieurs en extension et non joints (**fig. 28**).

La connexion un peu lâche observée au niveau des



Fig. 26 : vue zénithale de la sépulture en sarcophage Fait 1, tranchée 1.

coxaux et la position anatomique de la patella droite permettent d'interpréter un colmatage assez rapide de l'espace de décomposition.

En l'absence de mobilier datant, la position stratigraphique de cette sépulture la daterait de la période médiévale et/ou moderne sans autre précision possible.

3.1.3. Le Fait 3

Comme pour le Fait 2, cette sépulture apparue à 0,56 m sous le niveau actuel de circulation, a été fortement impactée par les réseaux Faits 5 et 6 (cf. fig. 27). La fosse, conservée sur une longueur de 0,59 m, une largeur de 0,49 m et une profondeur variant entre 0,03 et 0,10 m, présente une orientation légèrement différente que celle du Fait 2.

Le creusement de la fosse est large et oblong. Les parois sont parallèles, plus ou moins régulières et le fond plat (cf. fig. 28).

Le comblement (US 2017) est caractérisé par un limon argileux gris foncé, meuble et homogène, contenant des poches de limon beige orangé, des inclusions d'éclats calcaires centimétriques et de nombreuses bioturbations racinaires. Des tessons de céramique du haut Moyen Âge y ont été collectés.

Le squelette US 2016, en bon état de conservation, est un sujet adulte reposant la tête à l'ouest en décubitus dorsal sur le fond de la fosse, les membres inférieurs en extension, les genoux non joints.

La connexion stricte observée au niveau des articulations et la position anatomique de la patella droite laisse envisager un colmatage rapide, voire immédiat, de l'espace de décomposition.

La présence de 4 tessons de céramique carolingiens (2 granuleuses, 1 sableuse grossière, 1 fine peinte et polie) dans le sédiment de comblement donne un *terminus post quem* des VIII^e - IX^e siècles à cette sépulture.

3.1.4. Le Fait 4

Cette sépulture est apparue à 0,70 m sous le niveau actuel de circulation, à l'angle nord-ouest formés par les contreforts de la nef de l'église *Saint-Saturnin*. Il est à noter que les jours d'intempéries ont particulièrement perturbé la fouille de cette sépulture, comme en témoigne l'état du squelette sur la photographie fig. 29.



Fig. 27 : vue zénithale des sépultures Faits 2 et 3 en tranchée 1.

Le creusement de la fosse sépulcrale, l'US 2019, orientée nord-ouest/sud-est, a une longueur conservée de 0,80 m, une largeur de 0,45 m et une profondeur comprise entre 0,08 et 0,13 m. L'aménagement du réseau d'eau pluviale (Fait 5) a détruit la partie orientale de cette sépulture (**fig. 30**). Les parois sont nettes et semblent parallèles et assez irrégulières, le fond est concave et accuse un pendage ouest-est.

Le comblement de cette fosse (US 2020) est composé d'un limon argileux gris foncé, peu compact et homogène, contenant de rares pierres calcaires centimétriques, du silex et de nombreuses bioturbations racinaires. On observe également la présence d'ossements humains épars provenant d'un autre individu.

Le sujet inhumé de cette sépulture (US 2021), en bon état de conservation, est un adulte reposant la tête à l'ouest en décubitus dorsal sur le fond de la fosse, les bras fléchis. La main gauche est placée sur

l'abdomen, la droite, dont le coude est fléchi à plus de 140°, a sa face palmaire qui repose sur le thorax. Seule la partie supérieure du squelette, du crâne au bassin, a pu être observée. Un effet de paroi (surélévation ?) est perceptible au niveau du crâne qui semble avoir basculé vers la droite, entraînant une dislocation des 5^e et 6^e vertèbres cervicales et une translation de la mandibule vers la gauche. Les faces d'apparition des clavicules et des scapulas et la compression transversale observée au niveau de la ceinture scapulaire témoignent d'un autre effet de paroi dû à la concavité du fond de fosse.

Les vertèbres thoraciques et lombaires sont en connexion et apparaissent sur leur face antérieure ; d'autres dislocations y sont observables. L'ouverture partielle des coxaux, la mise à plat complète du gril costal et le mouvement à l'intérieur de quelques os (manubrium sternal, radius,

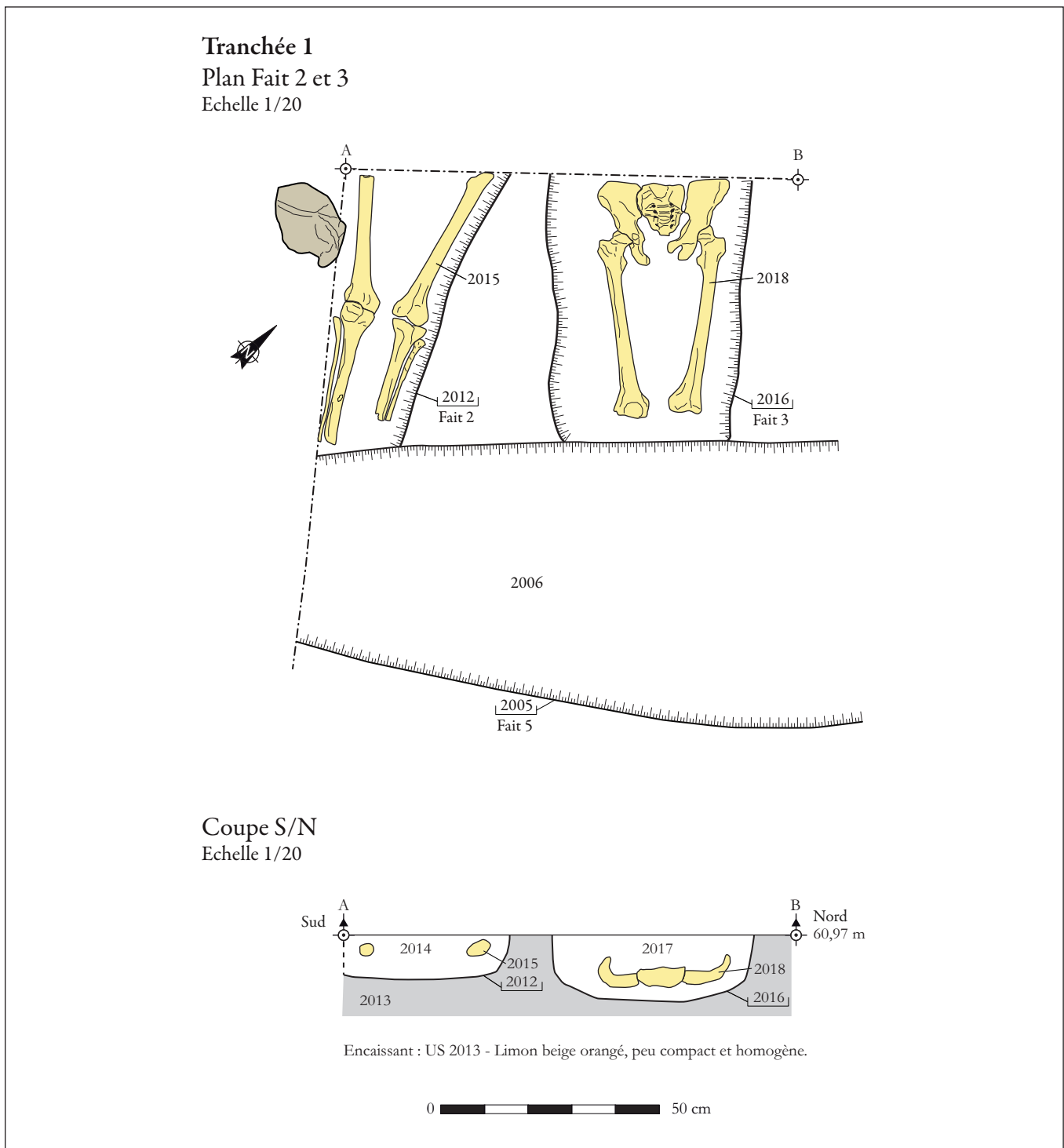


Fig. 28 : relevé en plan et en coupe des sépultures Faits 2 et 3 en tranchée 1.

phalanges des mains) sont à la faveur d'une décomposition du corps en espace vide et à colmatage sédimentaire différé.

En l'absence de mobilier datant, la position stratigraphique de cette sépulture la daterait de la période médiévale ou moderne sans autre précision possible.

3.2. Le remblai contemporain

Un remblai, l'US 2004, apparaît à 0,38 m sous le niveau de circulation actuel. D'une épaisseur comprise entre 0,35 et 0,50 m, il est caractérisé par

du limon très argileux gris-brun foncé, peu compact et très hétérogène, avec quelques blocs et pierres centimétriques en calcaire et grès, des petits charbons de bois, des fragments de TCA, des os humains remaniés et de nombreuses bioturbations racinaires.

Contenant à la fois des tessons de céramique du haut Moyen Âge et de l'Époque moderne, ce remblai correspond vraisemblablement aux aménagements



Fig. 29 : vue zénithale de la sépulture Fait 4 en tranchée 1.

réalisés sur la place-parvis aux XIX^e et XX^e siècles. Il a été ensuite perturbé par l'aménagement des réseaux électrique et d'eau pluviale (Faits 5 et 6) à des périodes plus récentes.

3.3. Conclusion pour la tranchée 1

Située sous un remblai contemporain, la couche sépulcrale apparaît à 0,65 m sous le niveau actuel de circulation, à une altitude de 60,76 m NGF. Observées sur une épaisseur de 0,20 m, deux architectures funéraires ont pu être identifiées : des inhumations en pleine terre et un sarcophage en mortier. La densité des sépultures n'est pas importante et aucun recoupement n'a été constaté.

L'analyse taphonomique indique que les décompositions des corps se sont effectuées à la fois en espace vide avec un colmatage plus ou moins rapide de la fosse.

Le mobilier céramique a permis de dater l'utilisation de ce secteur du cimetière entre les VIII^e - IX^e s. et les XIII^e s. - milieu XIV^e s (fig. 31).

4. La tranchée 2

Cette tranchée a été implantée à l'aplomb du mur ouest du bâtiment contemporain servant d'accueil pour l'église (US 3034), constitué de blocs de grès pluricentimétriques (L = 25 x 1 = 15 cm). Elle a permis de mettre en évidence l'extension septentrionale de l'espace sépulcral et de comprendre la stratigraphie d'occupation de ce secteur (fig. 32).

D'une superficie au sol de 9 m², la profondeur maximale atteinte s'élève à 1,38 m au-dessous du niveau actuel de circulation (fig. 33). Des remblais, un niveau de circulation et des sépultures à inhumation ont été mis en évidence et un autre tronçon du réseau d'évacuation d'eau pluviale a été mis à nu (Fait 9).

4.1. Les sépultures

Huit sépultures à inhumation (Faits 1 à 8), orientées nord-ouest/sud-est, ont été mises au jour en tranchée 2.

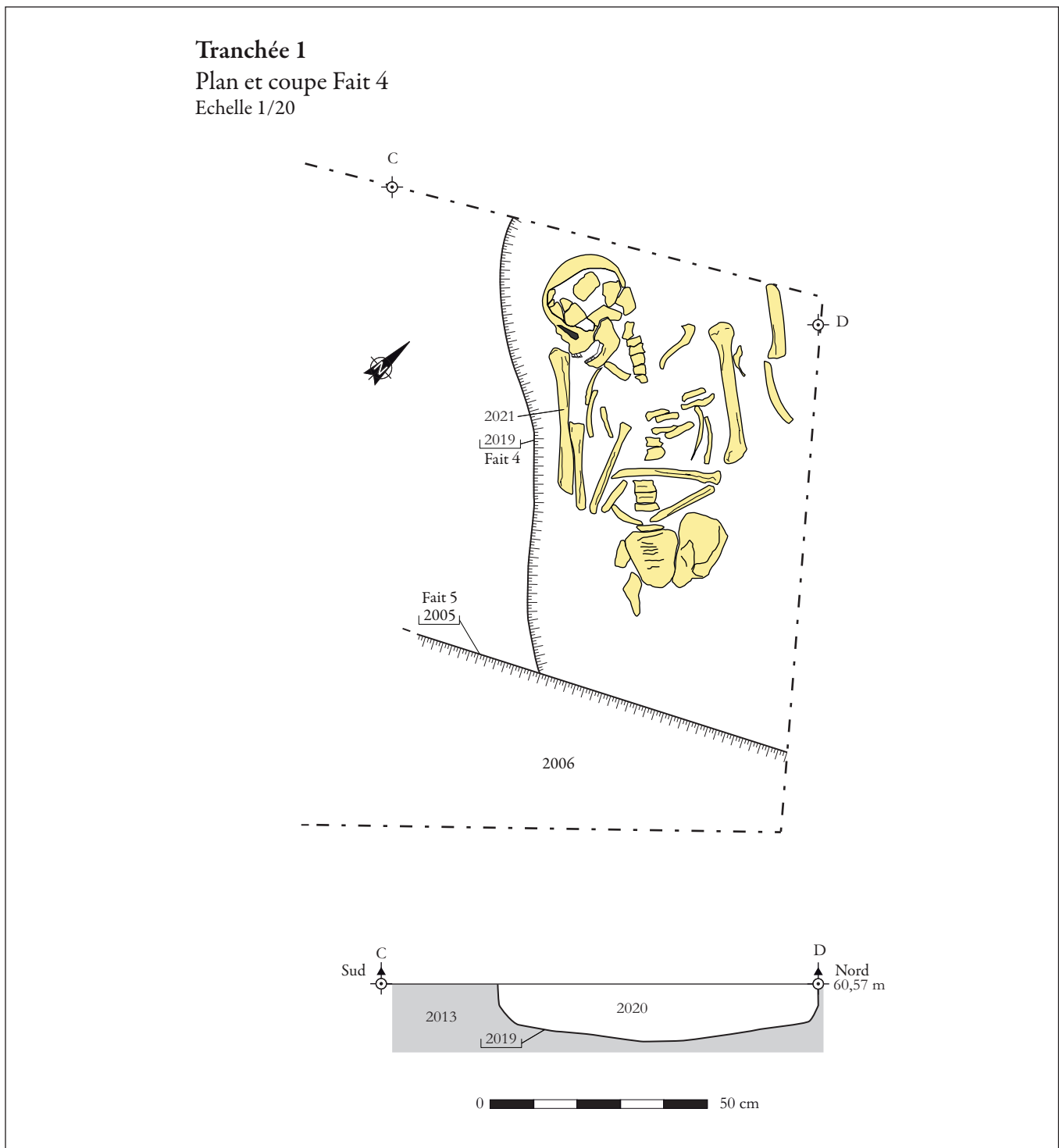


Fig. 30 : relevé en plan et en coupe de la sépulture Fait 4 en tranchée 1.

Apparaissant à une profondeur variant entre 61,33 m et 61,21 m NGF, elles ont été creusées dans un limon argileux beige orangé, compact et homogène, contenant des fragments épars de meulière centimétriques (US 3011) (**fig. 34**). Cette couche accueillant le niveau sépulcral repose sur l'US 3046, un limon beige clair (carbonaté ?), compact et hétérogène, avec quelques petites poches de limon brun et de très rares inclusions de charbons de bois (bioturbations racinaires).

4.1.1. Le Fait 1

Cette sépulture est apparue en fond de tranchée, à 0,95 m sous le niveau actuel de circulation (**fig. 35 et 36**).

Le creusement de la fosse sépulcrale, l'US 3012, orientée nord-ouest/sud-est, a une longueur conservée de 0,80 m, une largeur de 0,40 m et une profondeur 0,35 m. Les parois sont nettes, obliques

Tranchée 1

Diagramme stratigraphique

XXX Couche (dépôt)

XXX Négatif

XXX Altération

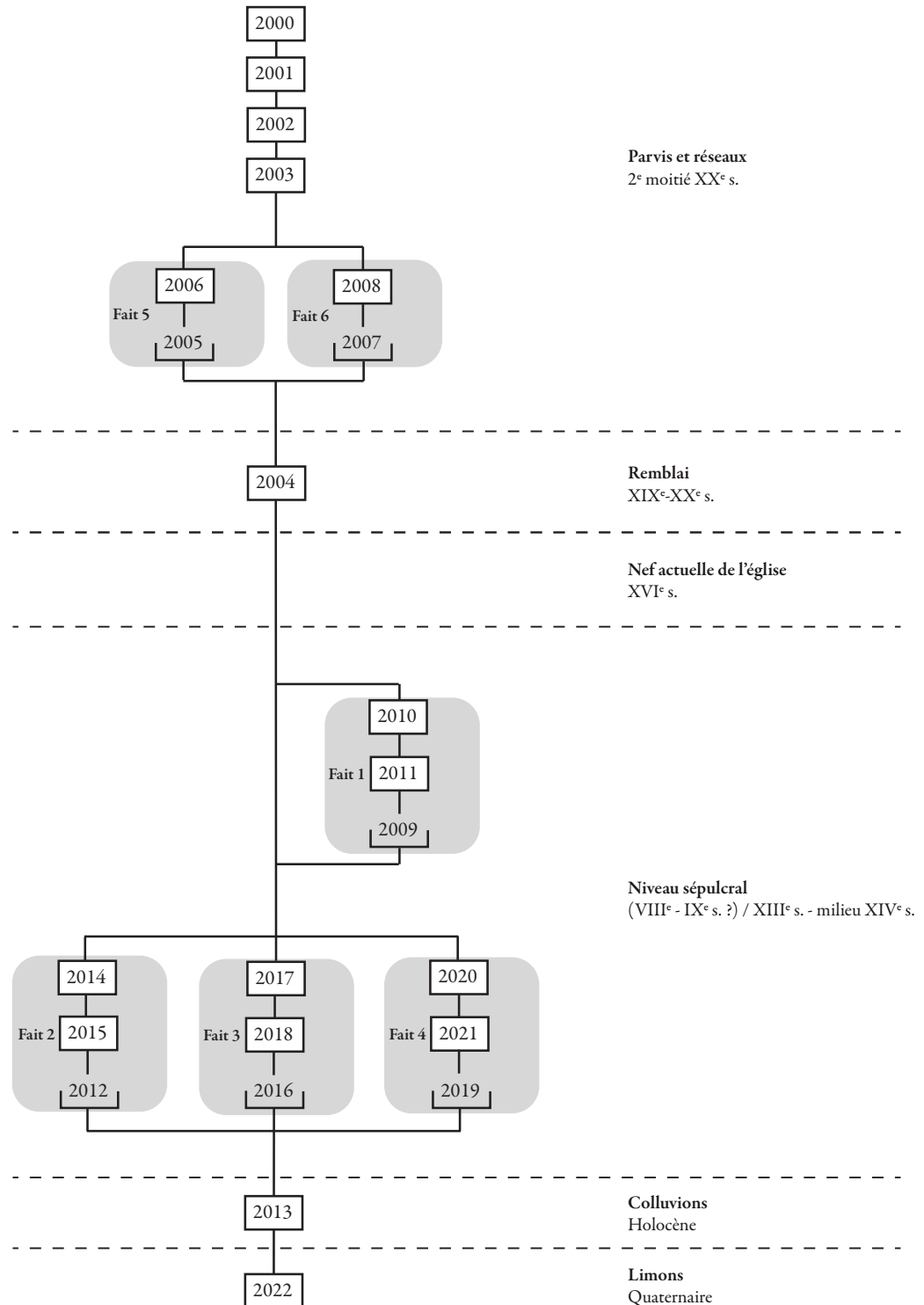


Fig. 31 : diagramme stratigraphique de la tranchée 1.

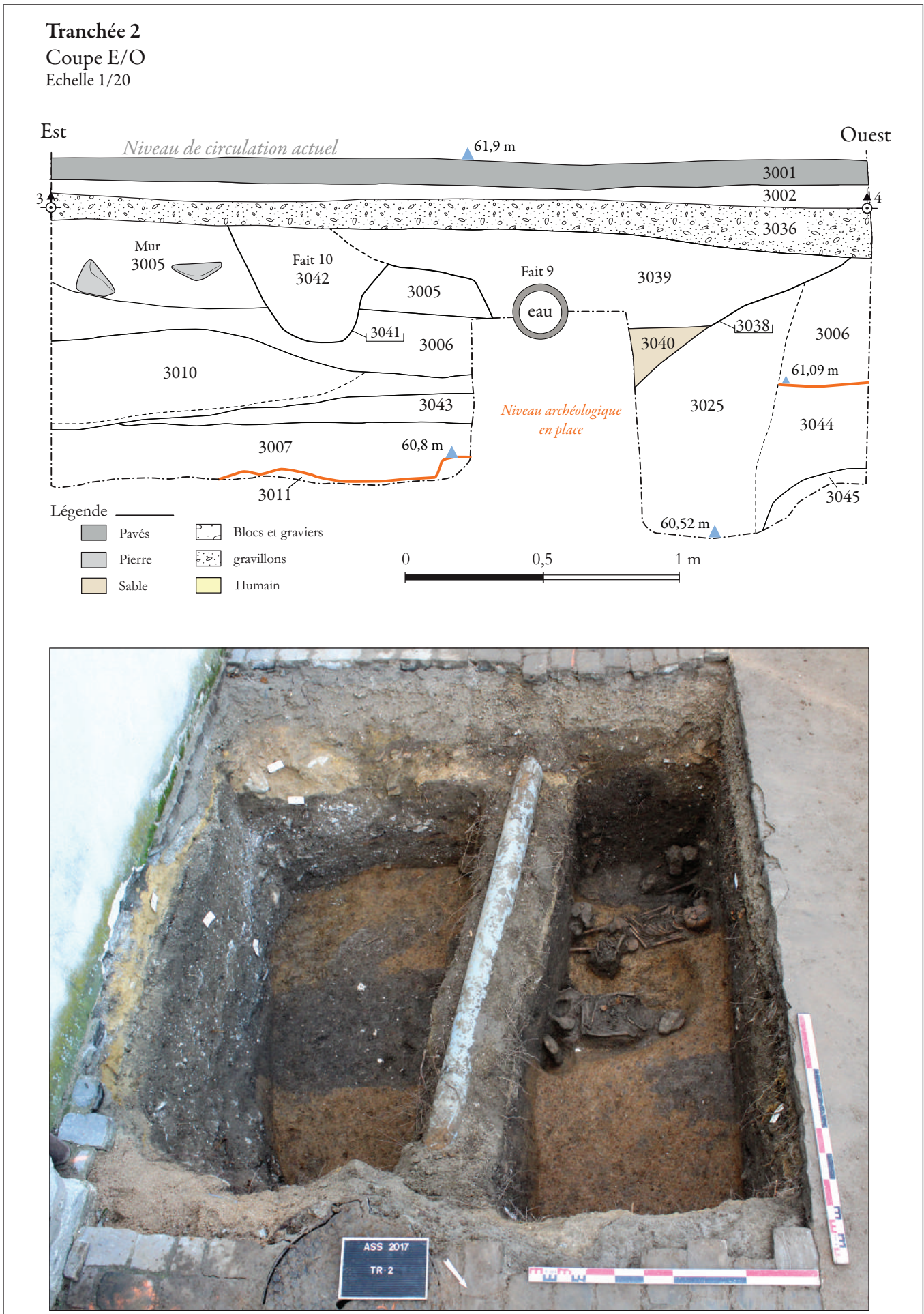




Fig. 32 : plan des structures mises au jour en tranchée 2.

Tranchée 2
Coupe S/N
Echelle 1/20

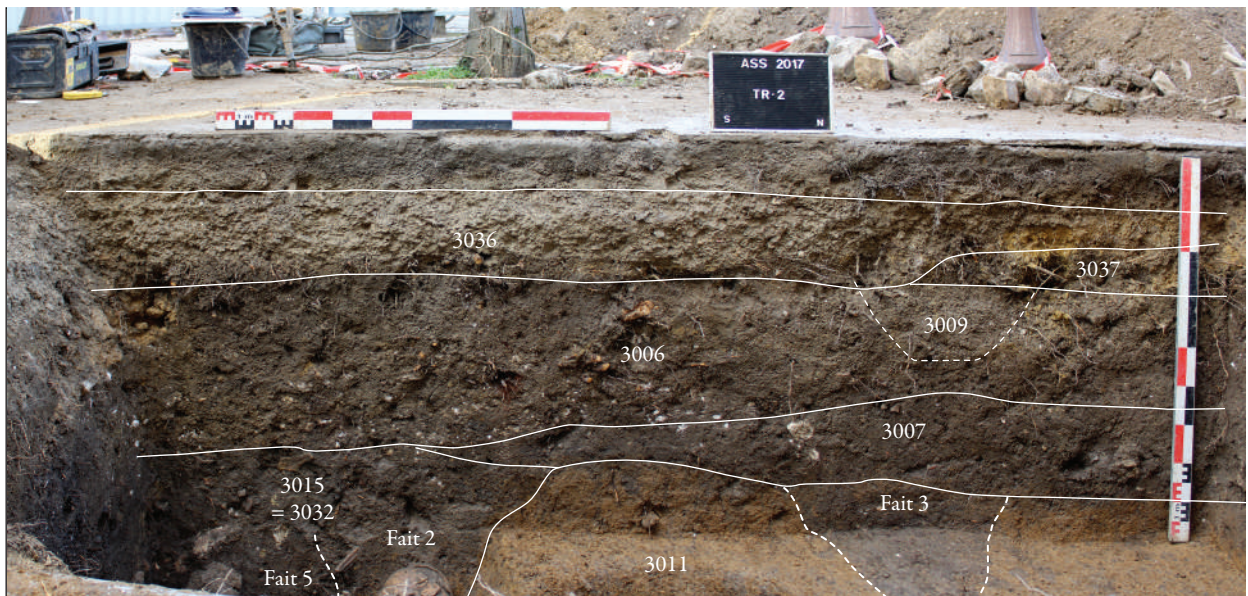
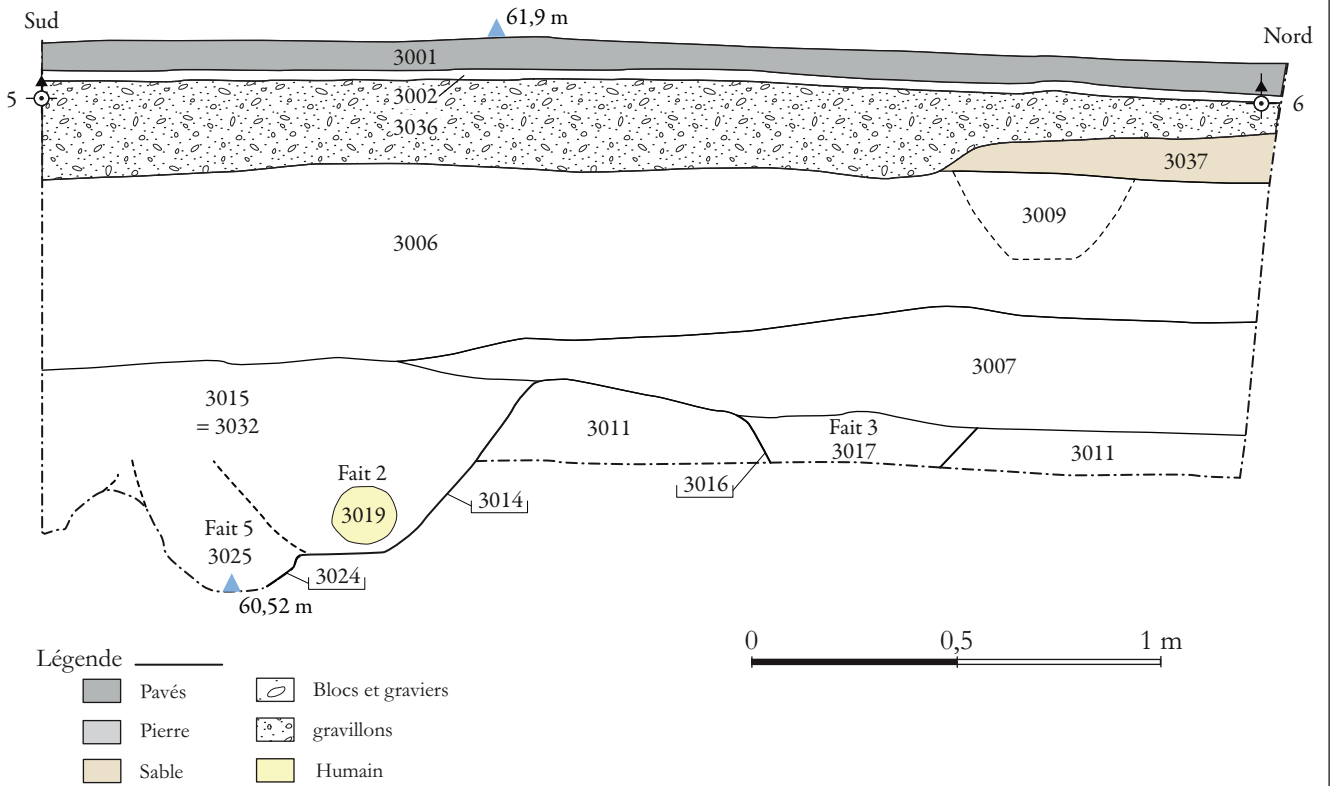


Fig. 34 : relevé stratigraphique et vue oblique de la berme ouest de la tranchée 2.



Fig. 35 : vue zénithale de la sépulture Fait 1 en tranchée 2.

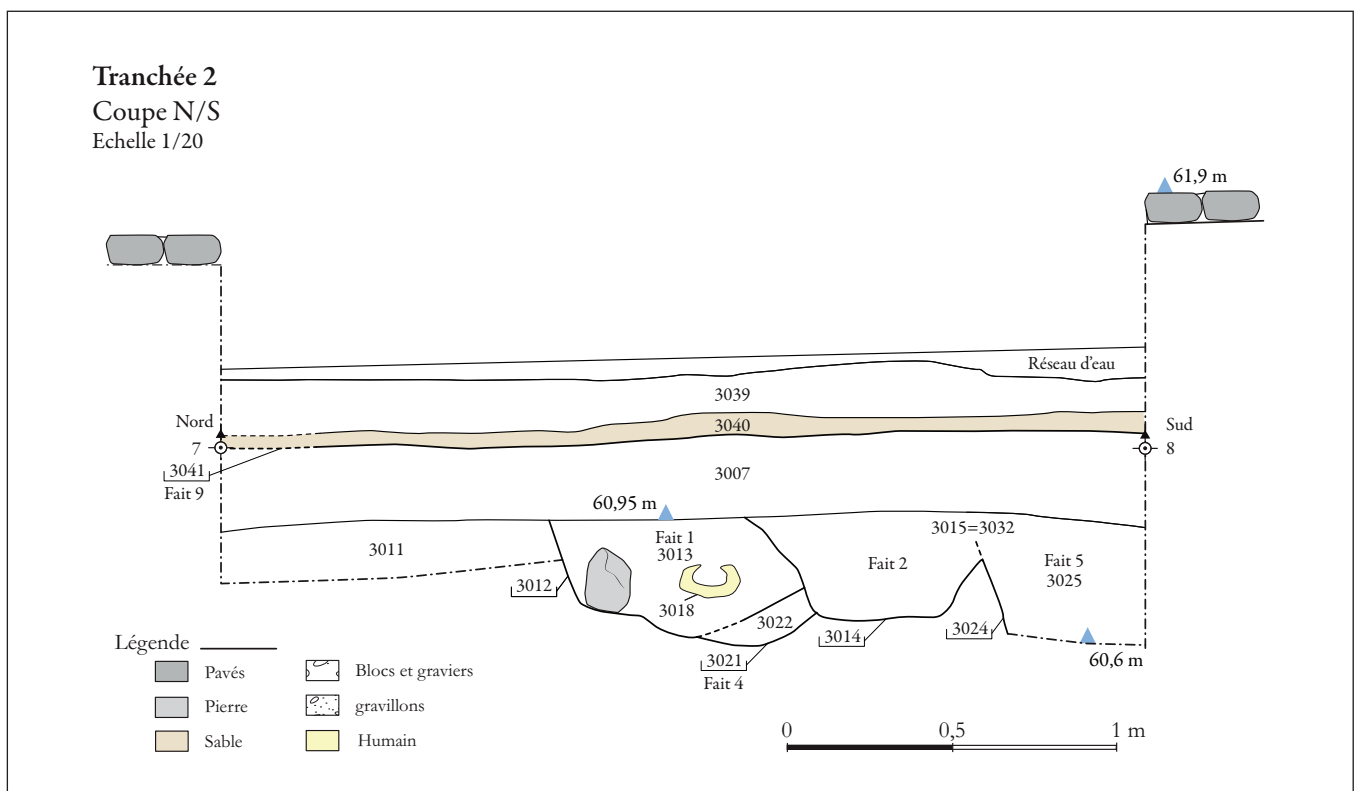


Fig. 36 : relevé en coupe de la sépulture Fait 1 en tranchée 2.

et irrégulières, le fond de la fosse semble concave. Deux blocs de calcaire bruts ($L = 0,40 \times l = 0,30 \times h = 0,10$ m) sont disposés au niveau de la tête comme calage. Le creusement de la tombe recoupe une sépulture antérieure (Fait 4). Cet ensemble est perturbé par l'installation d'une sépulture plus récente (Fait 2).

Le comblement de cette fosse (US 3013) est composé de limon légèrement argileux gris foncé à gris clair, avec des inclusions de petits gravillons calcaires et quelques charbons de bois et fragments de TCA. On observe également la présence des ossements humains épars provenant du sujet du Fait 4 (fig. 37).

L'individu inhumé dans cette sépulture (US 3018), en mauvais état de conservation, est un sujet adulte reposant la tête à l'ouest en décubitus dorsal sur le fond de la fosse, les bras fléchis à 90°. La main gauche est placée entre l'abdomen et le coxal droit, la main droite repose sur le coude gauche. La partie du squelette visible n'a pas été prélevée.

D'un point de vue taphonomique, les liaisons articulaires sont assez strictes et les coxaux ne se sont pas ouverts. Ces observations permettent d'avancer l'hypothèse d'une décomposition du corps en espace colmaté.

Un bord de sigillée tardive (Chenet 320) du Bas-Empire et 2 tessons de panse à pâte sableuse, datés de la fin XII^e - XIV^e s. ont été découverts dans le comblement de cette sépulture.

4.1.2. Le Fait 2

Cette sépulture est apparue en fond de tranchée, à 0,90 m sous le niveau de circulation actuel, au sud du Fait 1 qu'elle a partiellement entamée (cf. fig. 36 et fig. 38).

Le creusement de la fosse sépulcrale, l'US 3014, orientée nord-ouest/sud-est, a une longueur conservée de 0,95 m, une largeur de 0,60 m et une profondeur de 0,40 m. La fosse est oblongue à parois obliques et à fond plat.

Le comblement de cette fosse (US 3015) est composé de limon légèrement argileux gris à gris foncé,



Fig. 37 : vue oblique de la sépulture Fait 1 en tranchée 2.



Fig. 38 : vue zénithale de la sépulture Fait 2 en tranchée 2.

peu compact et homogène, avec quelques inclusions calcaires et des charbons de bois. On observe également la présence d'os humains épars provenant d'un autre individu.

Le sujet inhumé dans cette sépulture (US 3019), en assez bon état de conservation, est un immature reposant la tête à l'ouest en décubitus dorsal sur le fond de la fosse, les bras fléchis à 90°. La main gauche est placée sur le coxal droit, la main droite sur le gril costal droit (fig. 39). Ce sujet a été prélevé pour étude (cf. chapitre 3).

Un effet de paroi (surélévation ?) est perceptible au niveau du crâne, qui semble avoir basculé vers l'avant. On observe la mise à plat complète des coxaux et du gril costal, et le mouvement de quelques os à l'intérieur du corps (manubrium sternal) à la faveur d'une décomposition du corps en espace vide et à colmatage sédimentaire différé.

Deux tessons de panse à pâte granuleuse datés entre la fin du VIII^e s. et le IX^e s. ainsi qu'un tesson de panse à pâte sableuse dense et un fragment de décor peint datant des XIII^e - XIV^e s. ont été découverts dans le comblement de cette sépulture.

4.1.3. Le Fait 3

Cette sépulture est apparue à 1,02 m sous le niveau actuel de circulation, dans la coupe ouest, au nord du Fait 1.

La fosse sépulcrale US 3016, orientée nord-ouest/sud-est, a une longueur de 0,44 m et une largeur de 0,39 m (cf. fig. 39 et fig. 40). Le comblement de cette fosse, l'US 3017, est composé d'un limon légèrement argileux gris à gris foncé, peu compact et homogène, avec quelques inclusions calcaires et des charbons de bois.

Le sujet inhumé dans cette sépulture (US 3020) n'a pas été dégagé lors du diagnostic. D'après les observations de terrain, il pourrait s'agir d'un immature. En l'absence de mobilier datant, la position stratigraphique de cette sépulture la daterait de la période médiévale et/ou moderne sans autre précision possible.

Un tesson de panse à pâte sableuse datant des XII^e - XIII^e s. a été découvert dans le comblement de cette sépulture.

Tranchée 2
 Plan et coupe Fait 1 à 5
 Echelle 1/20

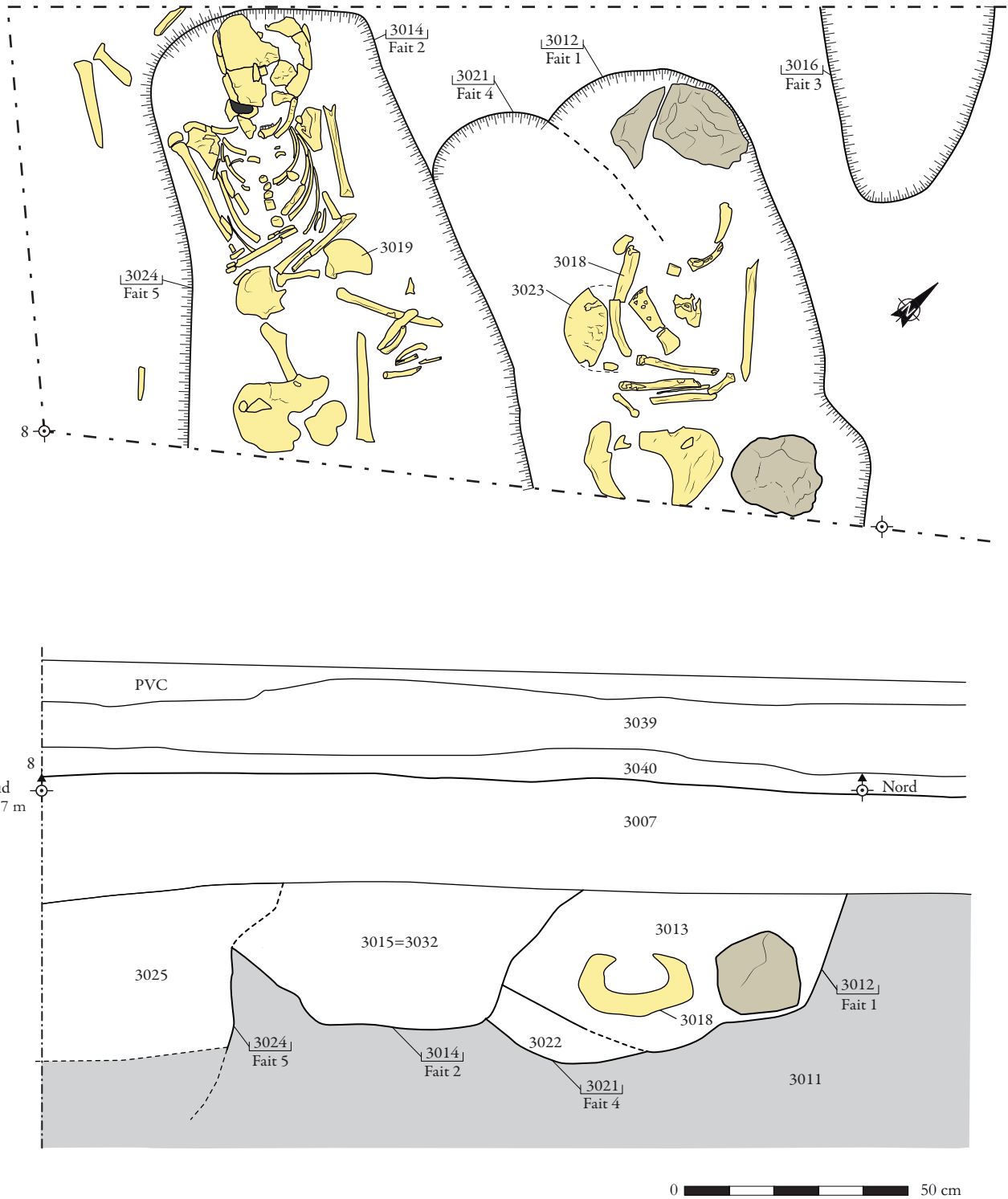


Fig. 39 : relevé en plan et stratigraphique des sépultures Faits 1 à 5 en tranchée 2.



Fig. 40 : vue zénithale de la sépulture Fait 3 en tranchée 2.

4.1.4. Le Fait 4

Il s'agit d'une sépulture fortement perturbée par le creusement du Fait 1 et du Fait 2 (cf. fig. 37). Découverte à 1,10 m sous le niveau actuel de circulation, elle s'engage dans la berme centrale où repose le tuyau d'évacuation d'eau de pluie (Fait 9).

Fouillé au quart, le comblement (US 3022) se caractérise par un limon argileux gris foncé, peu compact et homogène, avec de nombreuses inclusions de charbons de bois. Ses dimensions ($L = 0,64 \times l = 0,40$ m) sont incomplètes et le squelette US 3023 de la sépulture du Fait 4 est partiellement visible. Le crâne placé sous le squelette du Fait 1 semble correspondre à un sujet adulte.

4.1.5. Le Fait 5

Le Fait 5 est une sépulture découverte à 1,19 m sous le niveau actuel de circulation, fouillée au quart également. Le creusement de la fosse sépulcrale (US 3024) présente des relations stratigraphiques illisibles avec les sépultures antérieures. Les dimensions observables sont 0,90 m de longueur pour 0,45 m de largeur.

Le comblement, US 3025 (= 3044), est caractérisé par un limon sableux brun foncé, très meuble et homogène, avec des petites poches de limon argileux beige clair, de nombreuses inclusions de gravillons calcaires, quelques blocs calcaires et des bioturbations racinaires. Il est à noter qu'une autre couche de

comblement, l'US 3045, a été identifiée sans la traverser entièrement. Elle se compose d'argile limoneuse brun-beige, très compacte et homogène, avec quelques inclusions centimétriques de calcaire et de rares petits charbons de bois.

De la terre cuite architecturale, du mortier et de la céramique datée de la fin du XII^e et du début du XIV^e s. y ont été collectés (coquemar à décor flammulé, pichet et probablement une cruche).

4.1.6. Le Fait 6

Le Fait 6 est une sépulture apparue à la même altimétrie que le Fait 5, à 1,19 m sous le niveau de circulation actuel (fig. 41). Non fouillée, son comblement (US 3027) a été observé en surface sur une longueur de 1,10 m et une largeur de 0,74 m. Il est composé d'un limon argileux brun-gris, relativement compact et hétérogène, contenant des poches de limon beige très hétérogène et des inclusions de calcaire centimétriques.

Cette fosse pourrait correspondre au squelette de l'individu adulte remanié par le creusement de la sépulture Fait 4.

4.1.7. Le Fait 7

Il s'agit d'une sépulture découverte à 1,15 m sous le niveau actuel de circulation. N'ayant pas fait l'objet d'une fouille manuelle, son creusement (US 3028) est long de 0,80 m sur une largeur de 0,34 m.

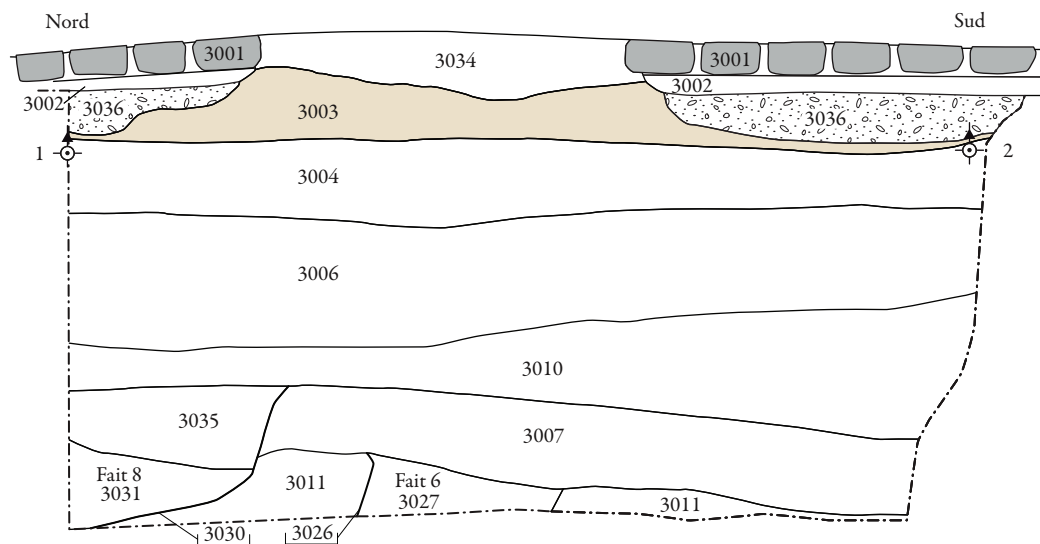
La couche de comblement US 3029 est un limon argileux gris clair, peu compact et hétérogène, avec de nombreuses inclusions beige clair et des micro-charbons. Les os repérés en surface n'ont pas été prélevés et semblent appartenir à un immature.

4.1.8. Le Fait 8

Découverte à 1,15 m sous le niveau actuel de circulation, cette sépulture, dont l'orientation est indéterminée, n'a pas été fouillée. Située dans l'angle nord-est de la tranchée 2, son creusement (US 3030) n'a été que partiellement dégagé durant le décapage mécanique ($L = 0,16$ m x $l = 0,13$ m pour la partie visible) (cf. fig. 41).

Son comblement inférieur (US 3031) est un limon argileux brun-gris foncé, peu compact et hétérogène, contenant de petits nodules de limon argileux brun clair, quelques inclusions de pierres calcaires centimétriques, de rares silex et de rares micro-charbons.

Tranchée 2
 Coupe N/S
 Echelle 1/20



Légende

- | | |
|--|---|
|  Pavés |  Blocs et graviers |
|  Pierre |  gravillons |
|  Sable |  Humain |

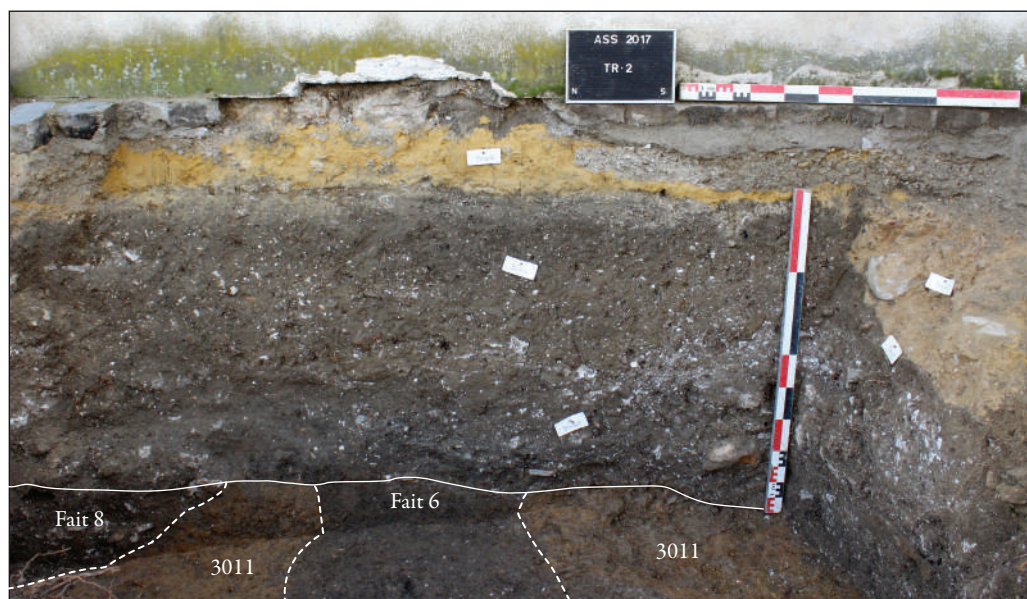


Fig. 41 : relevé en coupe et vue zénithale de la sépulture Fait 6 en tranchée 2.

Le comblement supérieur, l'US 3035, se caractérise par un limon argileux brun-gris foncé, compact et homogène, avec de nombreuses pierres calcaires pluricentimétriques et des éclats de silex.

4.2. Les niveaux de circulation

L'US 3007 correspond à un niveau de circulation constitué de limon argileux gris foncé, très compact et hétérogène, contenant des fragments de mortier de chaux, des éclats de silex, des fragments de terre cuite architecturale, des blocs calcaires et de grès ainsi que des petits nodules calcaires (cf. fig. 34). Ce niveau de circulation serait vraisemblablement moderne au vu du mobilier céramique collecté, situé entre les XIII^e et XVII^e siècles.

Le second, l'US 3043, a été observé à 0,80 m du niveau de circulation actuel, reposant sur le remblai précédent (cf. fig. 33). Composé de limon argileux brun, compact et très hétérogène, contenant de la terre rubéfiée, des inclusions de charbons épars et quelques éclats calcaires, aucun mobilier n'a été détecté dans ce niveau.

4.3. Les remblais

Un remblai, l'US 3032, dont les limites sont peu marquées, s'installe au sommet des sépultures Faits 1 et 2 (cf. fig. 34). Une équivalence, l'US 3015, lui a été attribuée. Il est caractérisé par un limon légèrement argileux gris à gris foncé, peu compact et homogène, avec quelques inclusions calcaires et des charbons de bois. De la terre cuite architecturale (tuiles rondes), du mortier, de la faune et de la céramique y ont été prélevés. Le mobilier céramique, daté entre les VIII^e et XIV^e siècles, situerait chronologiquement ce remblai du bas Moyen Âge.

L'US 3006, situé juste au-dessus, est un remblai constitué de limon très argileux brun foncé, peu compact et hétérogène, avec beaucoup de charbons de bois, quelques nodules calcaires et des bioturbations racinaires (cf. fig. 33 et 34). De nombreux ossements humains y ont été découverts (US 3009 et 3033) et sa mise en place s'est probablement réalisée à l'Époque moderne.

Une couche de terre végétale (US 3004), observée dans la coupe est, est constituée de limon sableux gris foncé, peu compact et hétérogène, de rares pierres calcaires décimétriques et quelques micro-

charbons. De la terre cuite architecturale, des fragments d'ardoise, des blocs calcaires bruts, du plâtre, de la céramique et des ossements humains y ont été découverts. Cette couche peut être datée de la période moderne ou contemporaine.

4.4. L'élément de bâti Fait 11

Observé dans l'angle sud-est de la tranchée 2, à 0,26 m sous le niveau de circulation actuel (US 3000), des blocs calcaires bruts pluridécimétriques, liés à du sable beige orangé semblent correspondre à un mur ou un muret dérasé (US 3005) (cf. fig. 33 et 41). Sa tranchée de fondation, l'US 3008, présente un creusement à parois verticales et à fond plat. Au vu de sa position stratigraphique et en l'absence de vestiges mobiliers, cet élément bâti pourrait correspondre à l'ancien mur de clôture nord du presbytère encore en élévation à la fin du XVIII^e s (fig. 42).

Ce mur a été perturbé par le Fait 10, un réseau ou à un caniveau récent dont le creusement évasé et à fond en cuvette (US 3041), comblé par un limon sablo-argileux brun foncé, peu compact et hétérogène, enrobant des inclusions de mortier beige, quelques éléments en calcaire et grès, et de rares fragments de terre cuite architecturale.

4.5. Conclusion pour la tranchée 2

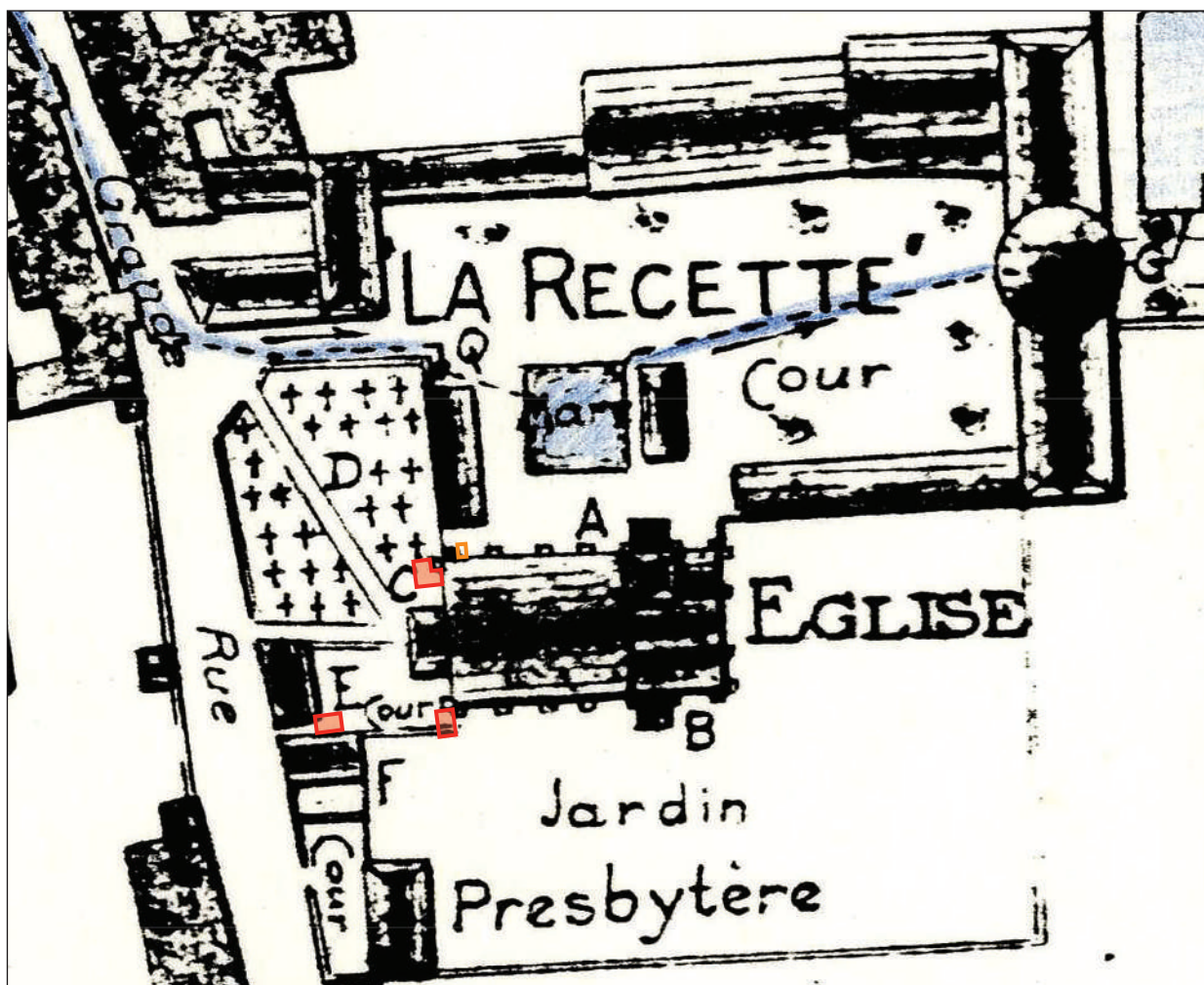
Située sous plusieurs remblais, fondation de mur et niveau de circulation allant du bas Moyen Âge à l'Époque contemporaine, la couche sépulcrale apparaît à 0,60 m sous le niveau actuel de circulation, à une altitude de 61,33 m NGF.

Observée sur une épaisseur de 0,55 m, huit sépultures à inhumation orientées nord-ouest/sud-est (Faits 1 à 8) ont été mises au jour en tranchée 2. L'architecture funéraire est simple avec des fosses creusées dans un limon argileux beige orangé, compact et homogène, contenant des fragments épars de meulière centimétriques, où le corps est placé en décubitus dorsal, la tête à l'ouest.

La décomposition des corps s'est opérée en espace vide avec un colmatage sédimentaire légèrement différé.

La densité des sépultures est plus importante dans ce secteur qu'en tranchée 1 et présente de nombreux recoupements. Le recrutement est également plus large avec la présence d'individus immatures et adultes.

La couche sépulcrale repose sur un niveau



Extrait du plan *Antony. Plan du «Village» à la fin du XVIII^e siècle*, Archives communales d'Antony, 3046 P.
 En rouge, localisation des tranchées du diagnostic, en orange celle du suivi de travaux du sondage géotechnique.

Fig. 42 : vue en coupe du mur arasé en tranchée 2 et plan du village à la fin du XVIII^e s.

géologique, l'US 3046, un limon très argileux et peu plastique beige-blanc, compact, massif et homogène (fig. 43).

Le mobilier céramique a permis de dater l'utilisation de ce secteur du cimetière entre le XIII^e et le XIV^e s. (fig. 44).

5. La tranchée 3

Implantée plus à l'ouest près de la rue de l'Église, sur le tracé du projet de réfection du réseau d'eau, cette tranchée de 7 m² d'emprise au sol a permis de mettre en évidence l'extension occidentale de l'espace sépulcral et d'observer la stratigraphie d'occupation entre l'axe de communication et l'église (fig. 45).

La profondeur maximale atteinte est d'1,25 m au-dessous du niveau actuel de circulation (fig. 46).

Des remblais, un massif de maçonnerie, un niveau de circulation et deux sépultures à inhumation forment le corpus de structures archéologiques mis au jour dans cette tranchée.

Malgré les investigations complémentaires, la nappe de réseau électrique de l'éclairage urbain est apparue à l'ouest de la tranchée.

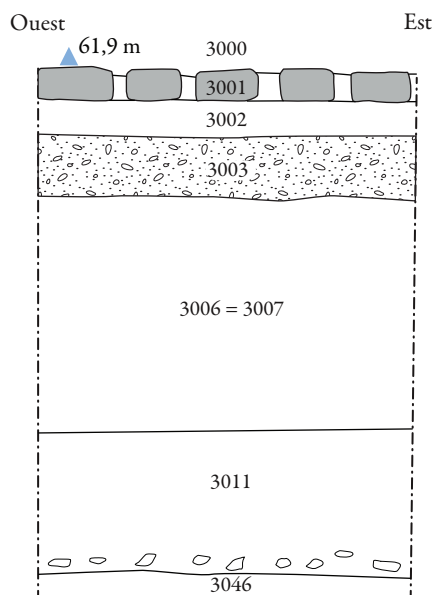
5.1. Les sépultures

Deux sépultures à inhumation (Faits 1 et 2), orientées nord-ouest/sud-est, ont ainsi été mises au jour dans cette tranchée (fig. 47). Observées à une altitude moyenne de 61,40 m NGF, à 0,75 m de profondeur, elles ont été creusées dans un limon argileux beige, compact et homogène, contenant des fragments de meulière centimétriques (US 4008).



Fig. 46 : vue oblique de la tranchée 3.

Tranchée 2
 Coupe S/N
 Echelle 1/20



Légende

- | | | | |
|---|--------|---|-------------------|
|  | Pavés |  | Blocs et graviers |
|  | Pierre |  | gravillons |
|  | Sable |  | Humain |

0 0,5 1 m


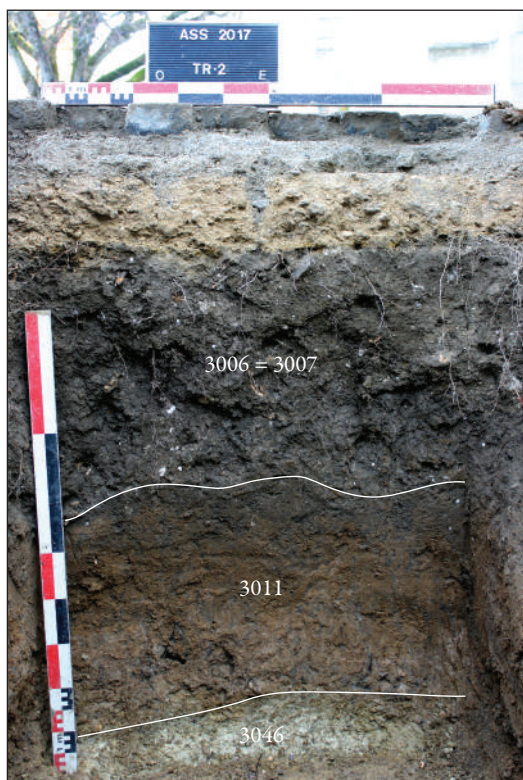



Fig. 43 : vue en coupe et relevé stratigraphique de la coupe nord en tranchée 2.

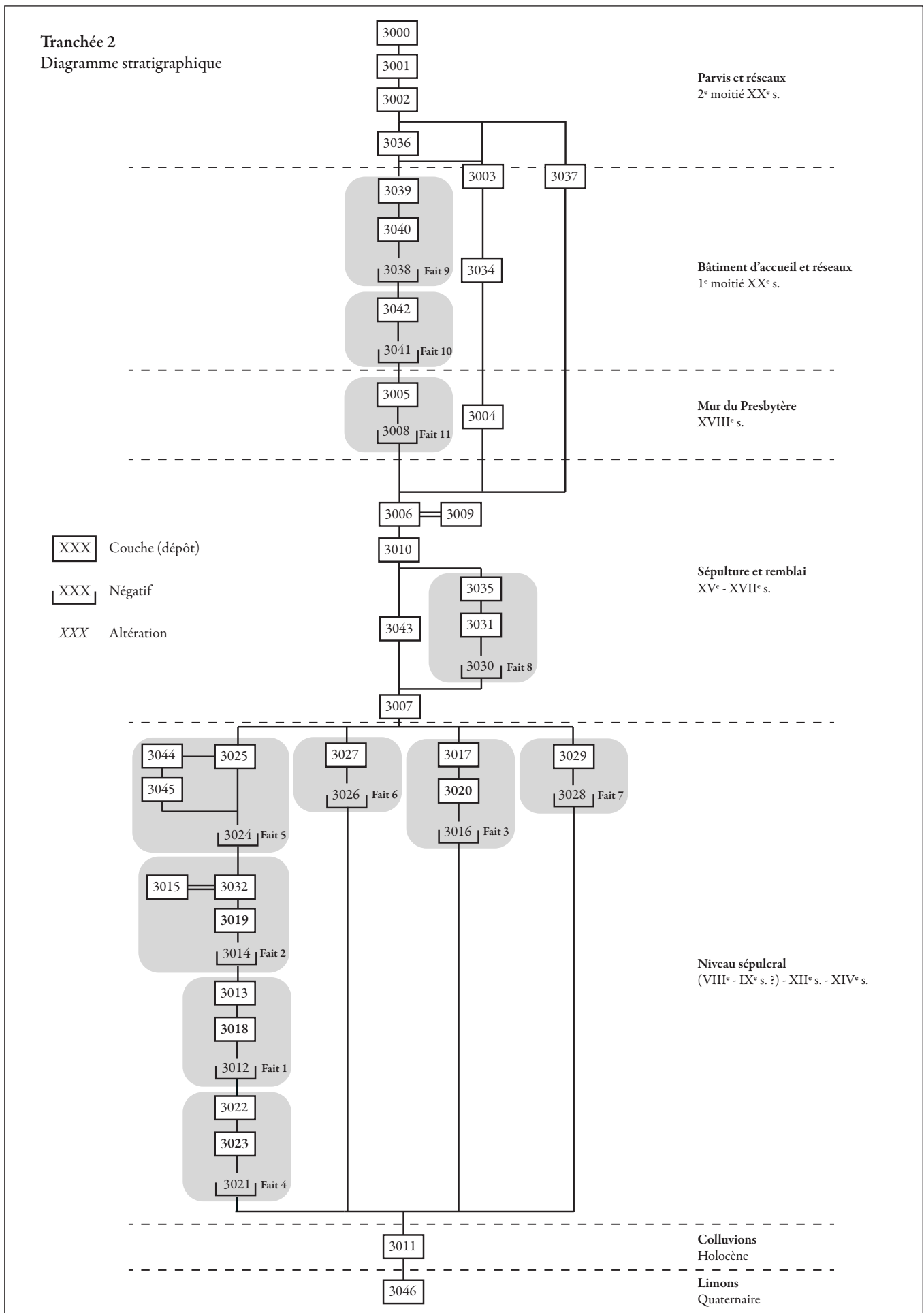


Fig. 44 : diagramme stratigraphique de la tranchée 2.

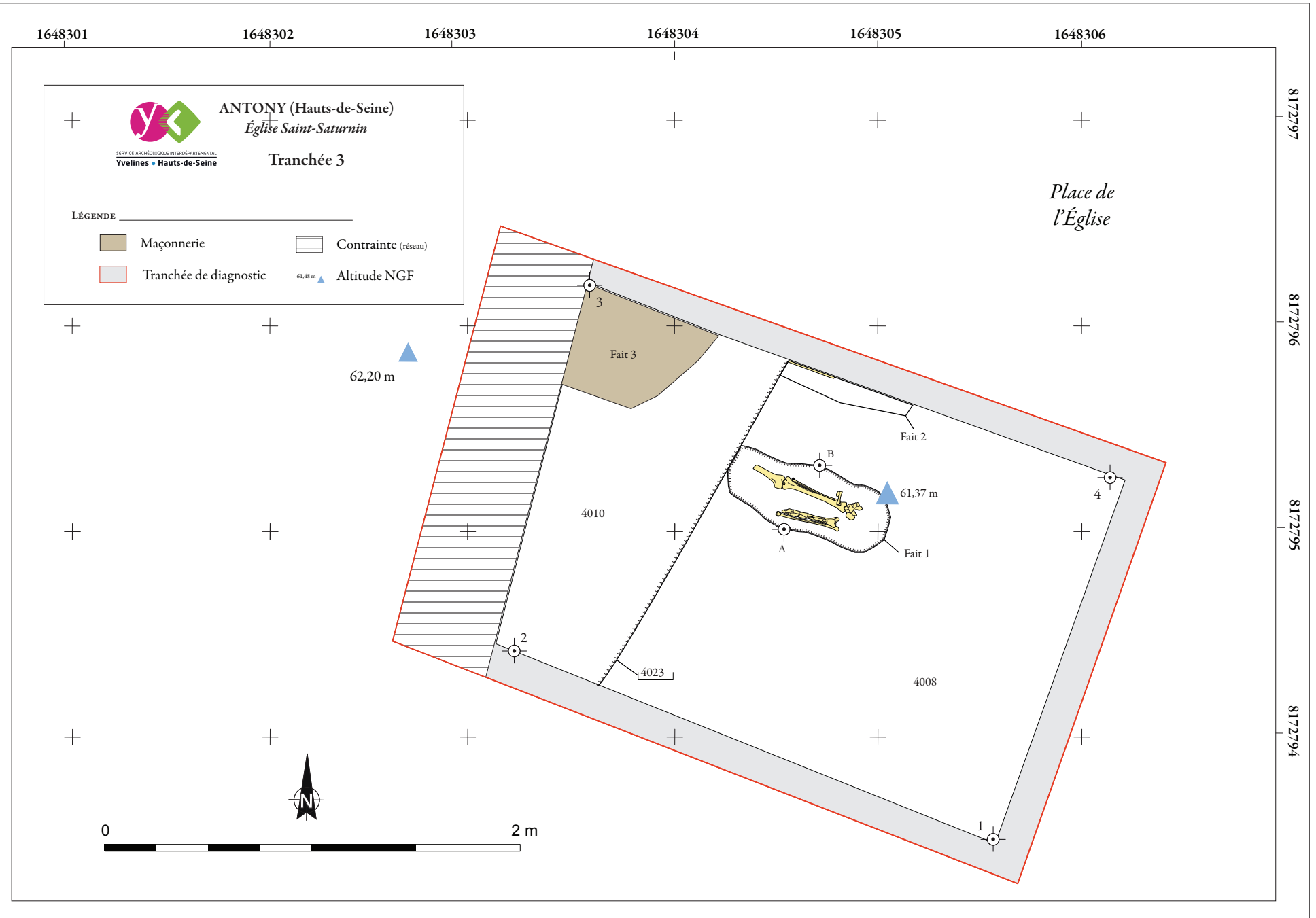


Fig. 45 : plan des structures mises au jour en tranchée 3.

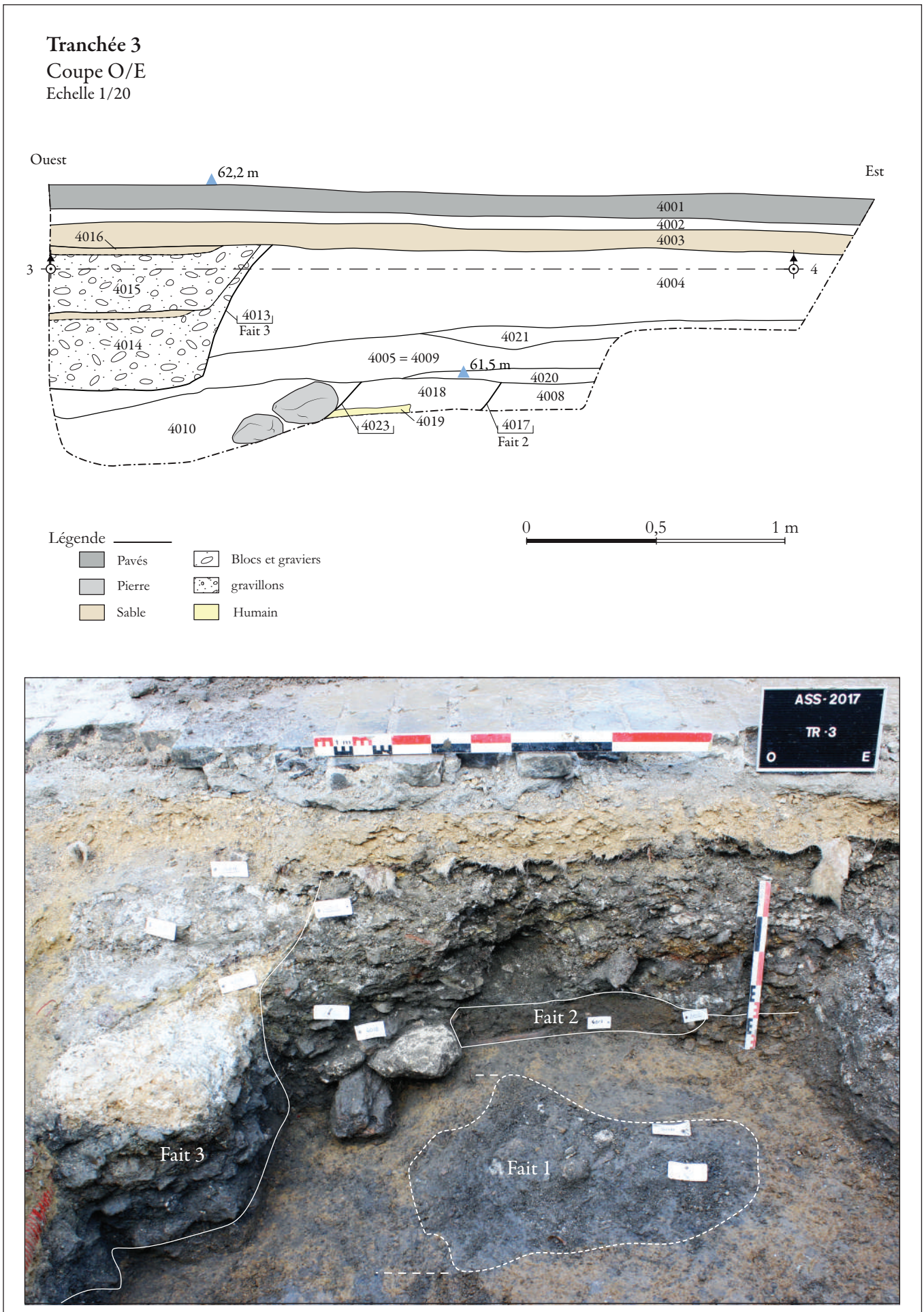


Fig. 47 : relevé stratigraphique et vue oblique de la coupe nord de la tranchée 3.

5.1.1. Le Fait 1

Il s'agit d'une sépulture découverte à 0,88 m sous le niveau actuel de circulation et dont le creusement (US 4011) a été entamé par l'aménagement du mur (Fait 3). Le comblement (US 4012), conservé sur une longueur de 0,81 m et une largeur de 0,40 m, est composé de limon argileux brun foncé, peu compact et homogène, avec des inclusions de blocs de meulière. Une partie des membres inférieurs d'un individu adulte, l'US 4022, et de la terre cuite architecturale ont été collectés, ainsi qu'un petit fragment de panse à pâte grossière daté des XI^e s. - XIII^e s.

Le sujet inhumé de cette sépulture (US 4022), en mauvais état de conservation, est un sujet adulte reposant la tête à l'ouest en décubitus dorsal sur le fond de la fosse, les membres inférieurs en extension et les pieds non joints (**fig. 48**).

Les connexions anatomiques sont strictes, les os du tarse gauche apparaissent en vue frontale et l'on observe le mouvement d'un métatarsien dans le volume du corps. Ces observations sont à la faveur d'une décomposition du corps en espace vide avec un colmatage sédimentaire différé.

5.1.2. Le Fait 2

Cette sépulture, observée sur 0,65 m de longueur dans la coupe nord de la tranchée, a été découverte à 0,75 m sous le niveau actuel de circulation. Non fouillée, son comblement US 4018 est composé de limon argileux brun clair, compact et homogène, avec de rares inclusions de micro-charbons. De la terre cuite architecturale, un fragment de panse à pâte sableuse à décor peint de flammules daté des XII^e s. - XIII^e s et de la faune y ont été prélevés. Un os long (US 4019) d'un individu inhumé en décubitus dorsal est apparu dans la coupe (**cf. fig. 47**).

5.2. Les remblais et comblements

Des niveaux de remblai et de comblement datés entre le XII^e s. et le XVI^e s. ont été identifiés dans la tranchée 3 (**fig. 49**).

Un probable niveau de circulation (US 4010) constitué de blocs calcaires, de fragments de meulière pluridécimétriques, enrobés dans un limon argileux brun gris, compact et hétérogène, contenant des fragments de terre cuite architecturale, du métal et des os apparaît à 1 m sous le niveau de sol actuel. La

céramique collectée est datée entre le début du XII^e s. (pâte sableuse, pâte semi-granuleuse ou grossière) et le XIV^e s. (tasse polylobée à pâte sableuse à glaçure jaune-marron, pâte sableuse à glaçure verte, pâte sableuse à décor peint de flammules).

Les US 4006 et US 4007 sont deux comblements d'une fosse longue d'1,20 m creusée dans les US 4010 et 4008, composés de limons argileux brun moyen et foncé, compacts et homogènes. Aucune datation n'a été déterminée pour cette couche.

Trois remblais (US 4005, 4020 et 4009) composés de limon argileux brun-gris foncé, compact et hétérogène, contenant des micro-charbons, du mortier de chaux, des lits organiques verts, des blocs de meulière décimétriques, des fragments d'os et des tessons de céramique du bas Moyen Âge (XIII^e s. - XIV^e s.) sont apparus à 0,80 m du sol actuel.

Le remblai US 4021, au sommet des remblais précédents, est composé de limon beige et sa datation est indéterminée.

L'US 4004 est un remblai constitué de limon argileux brun foncé, compact et hétérogène, enrobant un mortier de chaux (centimétrique à décimétrique), des blocs de meulière (décimétriques) et des fragments de TCA.

Dans cette couche ont été prélevés des tessons carolingiens dont 1 fond présentant des traces de décor peint, 1 tesson de fine peinte et lissée, 1 fragment de céramique sableuse dense, ainsi que 2 grès et 1 tesson de panse à pâte sableuse datant des XIV^e - XVI^e siècles.

5.3. Un massif de maçonnerie : le Fait 3

Observé dans l'angle nord-ouest de la tranchée 3, à 0,24 m sous le niveau de circulation actuel (US 4000), un élément de maçonnerie (US 4015) composé de blocs calcaires bruts pluridécimétriques, liés par un sable orangé induré, semblent correspondre à un mur dérasé (**cf. fig. 42**).

Sa tranchée de fondation, l'US 4013, présente un creusement à parois obliques et à fond plat. Elle est comblée de moellons calcaires décimétriques liés avec un mortier de chaux beige et blanc (US 4014). L'aménagement de ce mur a recoupé au nord les sépultures Faits 1 et 2.

Comme pour la tranchée 2, en l'absence de vestiges mobiliers, la position stratigraphique de ce mur,

Tranchée 3
Plan et coupe Fait 1
 Echelle 1/20

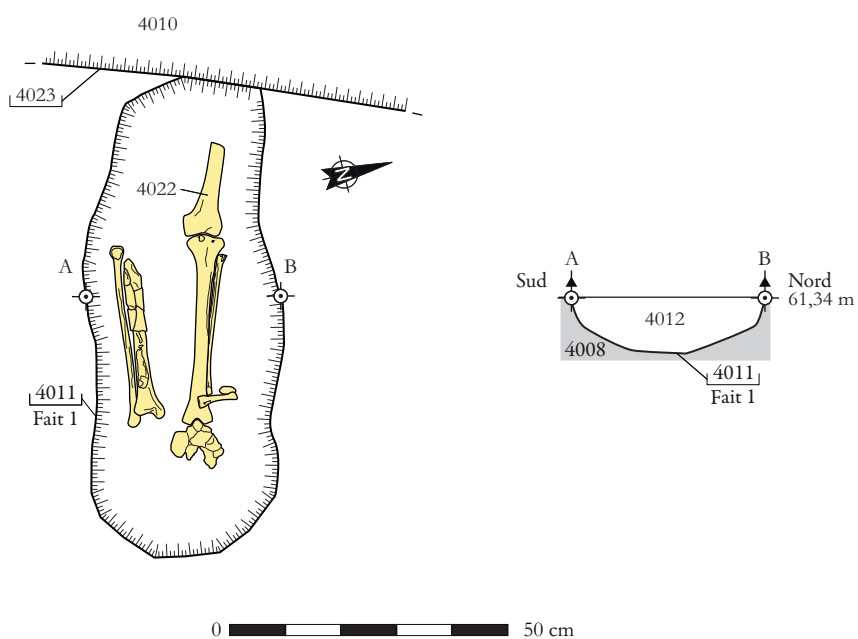
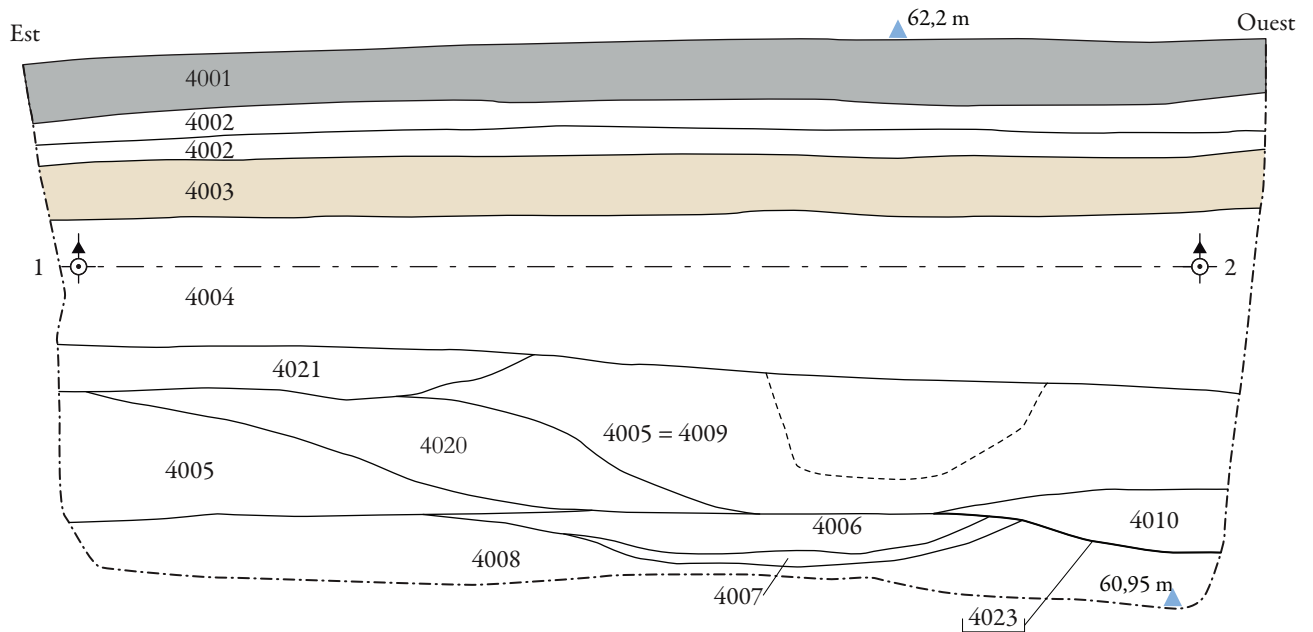

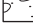



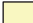


Fig. 48 : relevés et vue oblique de la sépulture Fait 1 de la tranchée 3.

Tranchée 3
Coupe E/O
Echelle 1/20



Légende

	Pavés		Blocs et graviers
	Pierre		gravillons
	Sable		Humain

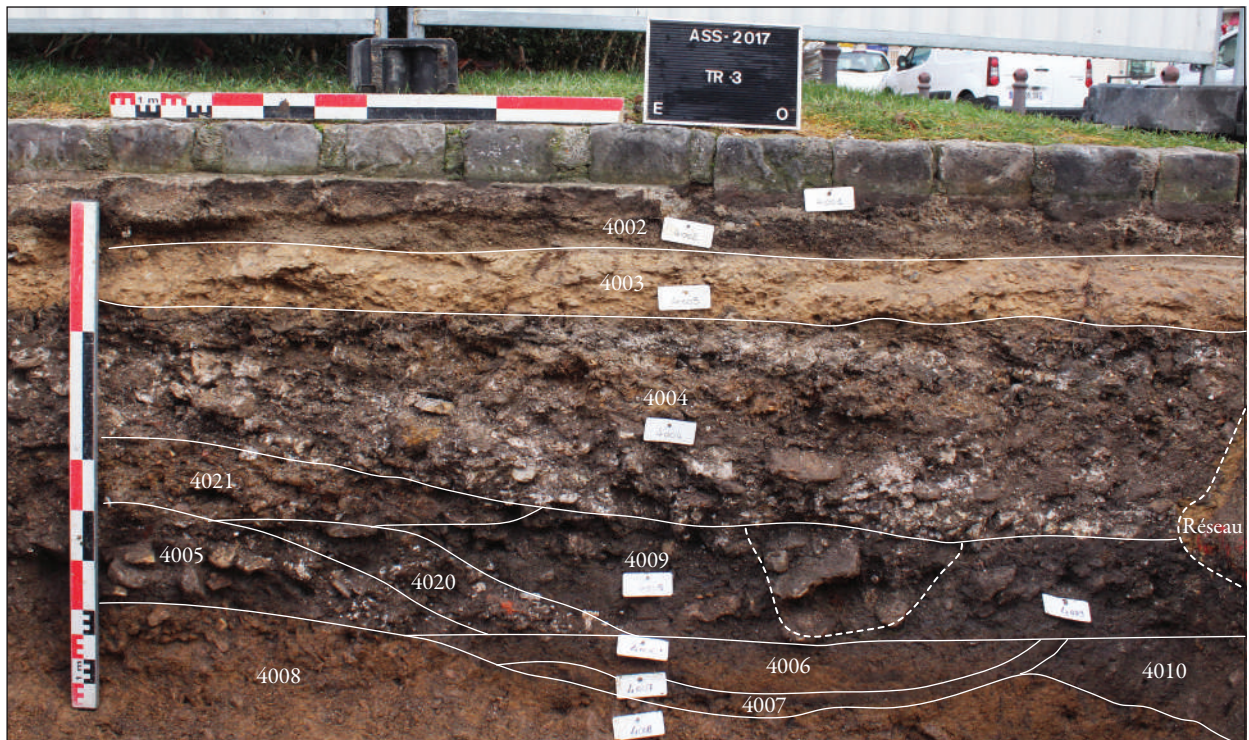
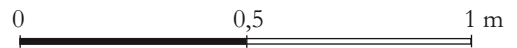


Fig. 49 : relevé stratigraphique et vue de la coupe sud de la tranchée 3.

probablement dérasé (US 4016) lors de l'aménagement de la place-parvis au XIX^e s., pourrait correspondre à l'ancien mur d'un bâtiment indiqué comme l'école des Filles démolie en 1847 (Archives communales d'Antony, 3046 P).

5.4. Conclusion pour la tranchée 3

Située sous plusieurs remblais, fondation de mur et niveaux de circulation allant du bas Moyen Âge à l'Époque contemporaine, la couche sépulcrale apparaît à 0,75 m sous le niveau actuel de circulation, à une altitude de 61,34 m NGF (**fig. 50**).

Observée sur une épaisseur maximale de 0,13 m, la densité des structures funéraires est moins importante que dans la tranchée 2, puisque seules deux sépultures ont pu être identifiées. Aucun recouplement n'a été constaté, cependant elles restent incomplètes et très perturbées en raison des nombreux aménagements postérieurs. Toutefois, le mode d'inhumation observé est identique à celui perçu dans les tranchées précédentes : il s'agit de sépultures à inhumation présentant une même orientation nord-ouest/sud-est et une fosse creusée dans un limon argileux beige sur lequel repose le défunt. Le seul individu fouillé et prélevé est un adulte reposant la tête à l'ouest, placé en décubitus dorsal. La décomposition du corps s'est effectuée en espace vide avec un colmatage sédimentaire différé qui a piégé un mobilier daté entre le XI^e et le XIII^e s.

Tranchée 3
Diagramme stratigraphique

XXX Couche (dépôt)

XXX Négatif

XXX Altération

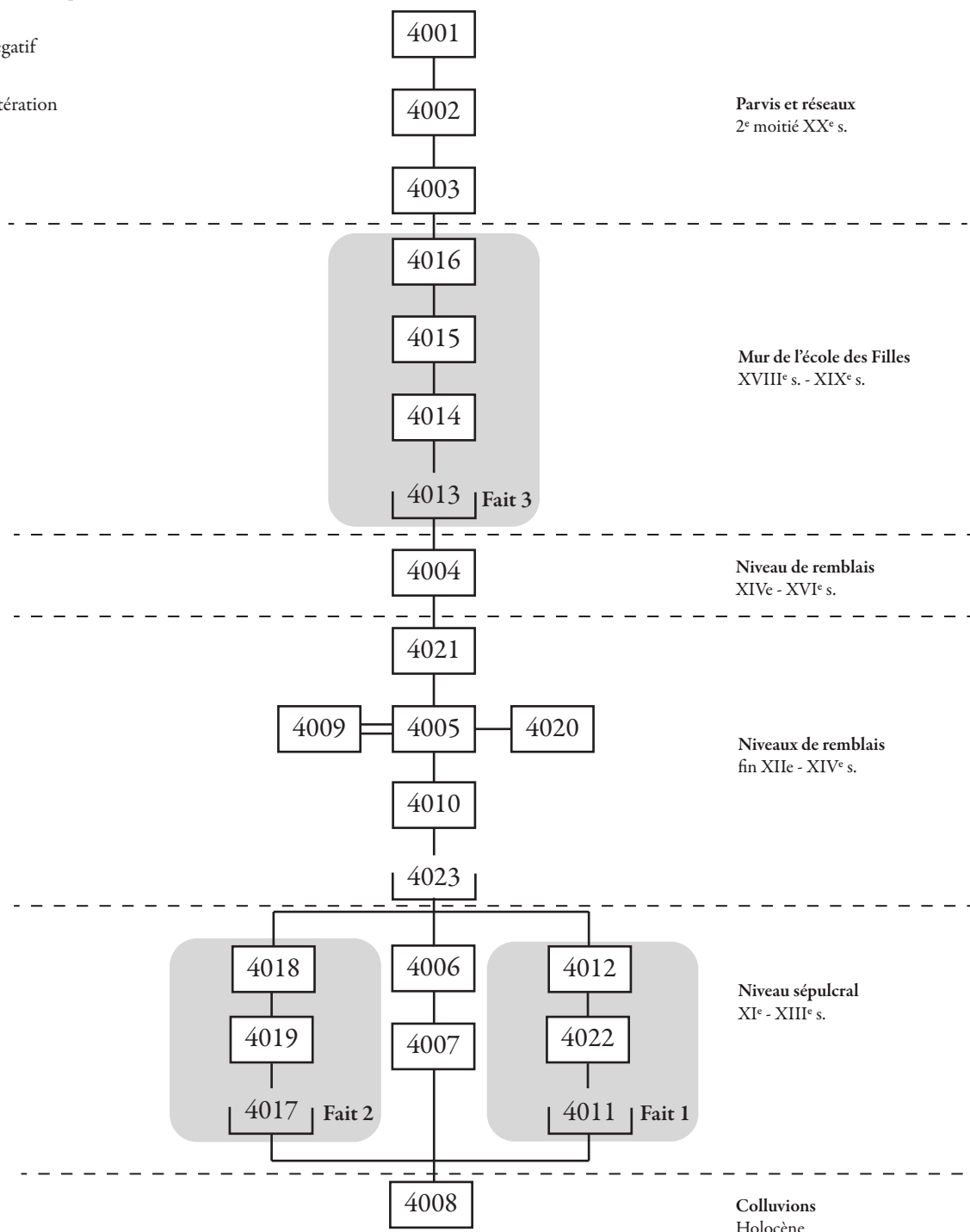


Fig. 50 : diagramme stratigraphique de la tranchée 3.

III . Étude anthropologique (Jean-François Modat)

(DAO : G. B., A. K. et J.-F. M. ; photographies : C. B., A. K. et J.-F. M.)

Une étude anthropologique a été menée sur les restes osseux collectés durant le diagnostic réalisé sur la place de l'église *Saint-Saturnin* d'Antony (Hauts-de-Seine).

Cette étude vise à déterminer l'état de conservation des tissus osseux, identifier les éléments en présence, estimer l'âge au décès et le sexe du sujet, ainsi qu'à enregistrer les pathologies dentaires et osseuses observées.

Le corpus ostéo-archéologique provenant des sépultures à inhumation s'élève à 27 individus dont 21 adultes et 6 immatures. Cette approche a été réalisée à partir des squelettes conservés en position primaire et des éléments osseux remaniés, afin de calculer le NMI de fréquence (fig. 51).

1. Matériel et méthode

Aucune restauration n'a été effectuée sur les os fragmentés afin de ne pas contaminer les échantillons pour une éventuelle datation radiocarbone.

Nous avons procédé à un reconditionnement de ce matériel anthropologique après étude, respectant l'anatomie et permettant d'isoler les éléments ne provenant pas du sujet principal.

En laboratoire, les éléments osseux et organes dentaires ont été observés dans leur intégralité. La méthodologie employée pour cette étude est détaillée ci-après.

Tranchée / US		NR	NMI		NMI total	Poids en g.
			Adulte	Immature		
Tranchée 1	US 2004	70	2	1	9	5591
	US 2011	53	1	2		
	US 2015	7	1			
	US 2018	5	1			
	US 2021	106	1			
Tranchée 2	US 3004	1	1		12	3412
	US 3006	2	1			
	US 3007	7	2			
	US 3009	17	1			
	US 3010	21	1			
	US 3013	9	1			
	US 3015	1	1			
	US 3019	157		1		
	US 3020 (3017 ?)	8	1			
	US 3025	8	1			
	US 3033	19		1		
Tranchée 3	US 4004	1	1		6	640
	US 4010	2	1			
	US 4010	1		1		
	US 4018	3	1			
	US 4019	2	1			
	US 4022	16	1			
TOTAL		516	21	6	27	9643

Fig. 51 : nombre minimum d'individus collectés durant le diagnostic archéologique.

1.1. Indice de conservation anatomique (ICA)

L'état de conservation permet de connaître la qualité et les modalités de conservation du matériel ostéo-archéologique. Déterminant pour connaître la valeur cognitive d'une collection, cet indice quantitatif permet de diminuer les discordances entre l'échantillon ostéologique à disposition et la population originelle, afin d'appréhender les modalités de conservation du tissu osseux (**Bello et al., 2003**).

L'indice de conservation anatomique (ICA), adaptation de la méthode mise au point par Dutour en 1989 (**Dutour, 1989**), traduit le rapport de la somme des scores de conservation (en pourcentage) attribués à chaque élément osseux sur le nombre total d'os du squelette : $ICA = 100 \times \sum C [1, N] / N$. L'état de conservation de chaque pièce osseuse est évalué de la façon suivante :

- 0 : pièce non conservée ;
- 0-25 % : conservation inférieure ou égale au quart de la pièce ;
- 25-50 % : conservation entre un quart et la moitié de l'os ;
- 50 % : conservation de la moitié de l'os ;
- 50-75 % : conservation entre la moitié et trois quarts de la pièce ;
- 75-100 % : conservation entre trois quarts et la totalité de l'os ;
- 100 % : pièce intacte.

Conventionnellement, les os ayant un score de conservation supérieur ou égal à 50 % et les individus ayant une valeur médiane d'ICA supérieure ou égale à 50 % sont considérés comme étant "bien conservés".

L'indice de conservation anatomique donne principalement une idée de la masse osseuse présente, en faisant toutefois mal la distinction entre un squelette quasi complet mais fragmentaire et un squelette incomplet mais dont les os présents sont intacts (**Bello, 2001**). Cependant, son utilisation se justifie car il permet, de manière relativement simple, de quantifier l'état de conservation tant au niveau anatomique (la conservation des différents os) qu'au niveau individuel (la conservation de chaque individu).

1.2. Indice de conservation du matériel dentaire (ICMD)

Cet indice permet de calculer le taux de conservation des organes dentaires au sein de la population inhumée.

Ainsi, l'ICMD est établi par le rapport du nombre de dents présentes (N) et l'effectif total potentiel (N + pertes *post mortem*) :

$$\frac{N}{N + P_{pm \text{ total}}}$$

Un tableau récapitulatif de l'ICMD de la présente collection fournit par individu et par arcade la représentation des organes dentaires, dans leurs alvéoles ou isolés. La cotation et les critères retenus sont les suivants :

- 0 : absence de la dent ;
- 1 : dent présente dans son alvéole ;
- 1 : dent présente mais isolée ;
- *agns* : agénésie ;
- *pam* : perte *ante mortem*.

1.3. Estimation de l'âge au décès

L'estimation de l'âge au décès s'est basée sur l'observation de certains marqueurs dentaires et osseux (**Schmitt, Georges, 2008**), dont quatre caractères morphologiques de la surface sacro-pelvienne iliaque et leur cotation (**Schmitt, 2005**). Cette méthode permet de gérer la variabilité de la sénescence du squelette (**fig. 52 et 53**).

1.4. Diagnose sexuelle

La détermination sexuelle des individus adultes repose sur l'approche morphoscopique des caractères sexuels de l'os coxal (**Bruzek, 2002**). Elle consiste en une évaluation de cinq caractères de l'os coxal, basée sur le principe de l'exclusion, limitant ainsi l'influence de la subjectivité et dont la fiabilité atteint au minimum 95 % (**fig. 54**).

1.5. Estimation de la stature

L'estimation de la stature des adultes est calculée à partir des tables de conversion issues des travaux d'Olivier et Tissier (**Olivier et Tissier, 1975**) et celles de Trotter (**Trotter, 1970**).

La stature des individus sub-adultes et adultes a été déterminée à l'aide des équations établies par Trotter et Gleser (**Olivier et Tissier, 1952**) et redéfinies par Cleuvenot et Houët (**Cleuvenot et Houët, 1993**).

Caractère	Observation et cotation
Organisation transverse (SSPIA)	Ondulations ou stries sur une partie ou sur toute la surface auriculaire (score 1)
	Absence d'ondulation ou de strie (score 2)
Modification de la surface auriculaire (SSPIB)	Absence de granulation, toutefois îlot de granulation fine et porosités isolées possible (score 1)
	Granulation sur la majorité de la surface auriculaire, porosités éparses possibles (score 2)
	Combinaison de granulation grossière et de porosités profondes ou partielles sur aire limitée (score 3)
	Granulation grossière et/ou porosités profondes et nombreuses (score 4)
Modification apicale (SSPIC)	Le bord est fin, au même niveau que la surface articulaire ou légèrement surélevé, forme un angle (score 1)
	Le bord est émoussé, il s'épaissit. Il peut former une lèvre ou une formation osseuse amorphe (score 2)
Modification de la tubérosité iliaque (SSPID)	Surface lisse, aucun signe de remaniement osseux (score 1)
	Remaniement osseux ou enthèses fines (score 2)

Fig. 52 : caractères morphologiques de l'os coxal retenus pour l'estimation de l'âge au décès (d'après Schmitt, 2005).

Région anatomique	Evaluation de la sexualisation	
	Caractère	Forme
Région pré-auriculaire	Absence ou présence de dépression	f- dépression nette
		i- forme intermédiaire
		m- surface plane
	Caractéristique de la dépression	f- circonférence fermée
		i- forme intermédiaire
		m- dépression avec circonférence ouverte
Tubercule	f- absence de tubercule	
	i- forme intermédiaire	
	m- présence de tubercule	
Grande incisure ischiatique	Longueur relative des segments AC et BC	f- segment sup (AC) plus long ou égal au segment inf (BC)
		i- forme intermédiaire
		m- segment sup (AC) plus court que le segment inf (BC)
	Symétrie	f- symétrie par rapport à la ligne de plus grande profondeur
		i- forme intermédiaire
		m- asymétrie par rapport à la ligne de plus grande profondeur
	Position de la perpendiculaire passant par A	f- le contour du segment supérieur ne coupe pas la perpendiculaire
		i- forme intermédiaire
		m- le contour du segment supérieur coupe la perpendiculaire
Arc composé	Incisure et surface auriculaire	f- double courbe
		i- forme intermédiaire
		m- courbe unique
Bord inférieur	Incurvation ou non	f- éversion externe
		i- forme intermédiaire
		m- bord droit
	Crista phallica	f- absence de crista phallica
		i- forme intermédiaire
		m- présence nette de crista phallica
Branche ischio-pubienne	f- gracile	
	i- forme intermédiaire	
	m- robuste	
Longueur relative du pubis et de l'ischium	-	f- pubis plus développé
		i- forme intermédiaire
		m- ischium plus développé que le pubis

Fig. 54 : caractères morphoscopiques de l'os coxal retenus pour la diagnose sexuelle (d'après Bruzek, 2002).

Cette méthode se base sur la longueur maximum des os longs, en mètres, et permet une application sur des individus dont le sexe est indéterminé. Les mesures effectuées sur les fémurs ont été privilégiées, puisque c'est l'os qui présente la plus grande corrélation entre sa longueur et la stature (*ibid.*, 1993).

1.6. Paléopathologies osseuses

Le relatif bon état de conservation du tissu ostéo-archéologique a permis une topographie et une description des lésions élémentaires affectant les os. Cette observation macroscopique décrit la nature et

l'état des lésions osseuses afin d'établir, lorsque cela a est possible, un syndrome ostéo-archéologique. La terminologie employée est celle permettant d'assurer une classification des lésions élémentaires, partant des quatre réactions osseuses fondamentales (ostéolytique, ostéoplastique, mixte et déformation) (*Charon, 2008*).

Score				Probabilités <i>a posteriori</i>					Estimation
SSPIA	SSPIB	SSPIC	SSPID	20-29 ans	30-39 ans	40-49 ans	50-59 ans	>60 ans	
1	1	1	1	0,88	0,09	0,02	0,01	0,00	20-29
1	1	1	2	0,47	0,32	0,13	0,08	0,00	20-49
1	1	2	1	0,83	0,09	0,05	0,04	0,00	20-29
1	1	2	2	0,29	0,21	0,20	0,30	0,00	<60
1	2	1	1	0,42	0,38	0,13	0,06	0,02	20-39
1	2	1	2	0,07	0,39	0,25	0,22	0,08	30-59
1	2	2	1	0,26	0,24	0,21	0,22	0,07	<60
1	2	2	2	0,02	0,13	0,21	0,42	0,22	>40
2	1	1	2	0,23	0,39	0,22	0,16	0,00	20-49
2	1	2	1	0,60	0,16	0,12	0,11	0,00	20-49
2	1	2	2	0,11	0,19	0,27	0,43	0,00	30-59
2	1	1	1	0,73	0,19	0,06	0,02	0,00	20-39
2	2	1	1	0,19	0,41	0,21	0,11	0,08	20-49
2	2	1	2	0,02	0,26	0,24	0,23	0,26	>30
2	2	2	1	0,08	0,18	0,22	0,27	0,26	>30
2	2	2	2	0,00	0,06	0,15	0,31	0,47	>40
1	3	1	1	0,24	0,10	0,32	0,15	0,19	<60
1	3	1	2	0,02	0,05	0,27	0,23	0,44	>40
1	3	2	1	0,07	0,03	0,23	0,25	0,42	>40
1	3	2	2	0,00	0,01	0,12	0,24	0,62	>50
2	3	1	1	0,05	0,06	0,26	0,14	0,49	>40
2	3	1	2	0,00	0,02	0,14	0,13	0,72	>50
2	3	2	1	0,01	0,01	0,12	0,15	0,71	>50
2	3	2	2	0,00	0,00	0,05	0,11	0,84	>60
1	4	1	1	0,00	0,20	0,09	0,28	0,43	>40
1	4	1	2	0,00	0,06	0,05	0,27	0,63	>50
1	4	2	1	0,00	0,04	0,04	0,30	0,62	>50
1	4	2	2	0,00	0,01	0,02	0,24	0,74	>50
2	4	1	1	0,00	0,07	0,05	0,16	0,72	>50
2	4	2	1	0,00	0,01	0,02	0,14	0,83	>60
2	4	1	2	0,00	0,02	0,02	0,12	0,84	>60
2	4	2	2	0,00	0,00	0,01	0,10	0,90	>60

Fig. 53 : intervalle de classe d'âge au décès d'après les cotations obtenues (d'après Schmitt, 2005).

1.7. Paléopathologies dentaires

1.7.1. L'usure dentaire

Cette étude nécessite, en principe, l'observation du processus d'occlusion. En raison de la mauvaise conservation anatomique du squelette crânien, elle s'est limitée ici à l'enregistrement dent par dent des différents stades d'usure.

Pour le codage, nous nous sommes inspirés du schéma adopté d'après les travaux de Brothwell (Brothwell, 1981) pour les molaires (fig. 55) et complété par les travaux de Pot et Perizonius (non publiés) pour le bloc incisivo-canin et les prémolaires.

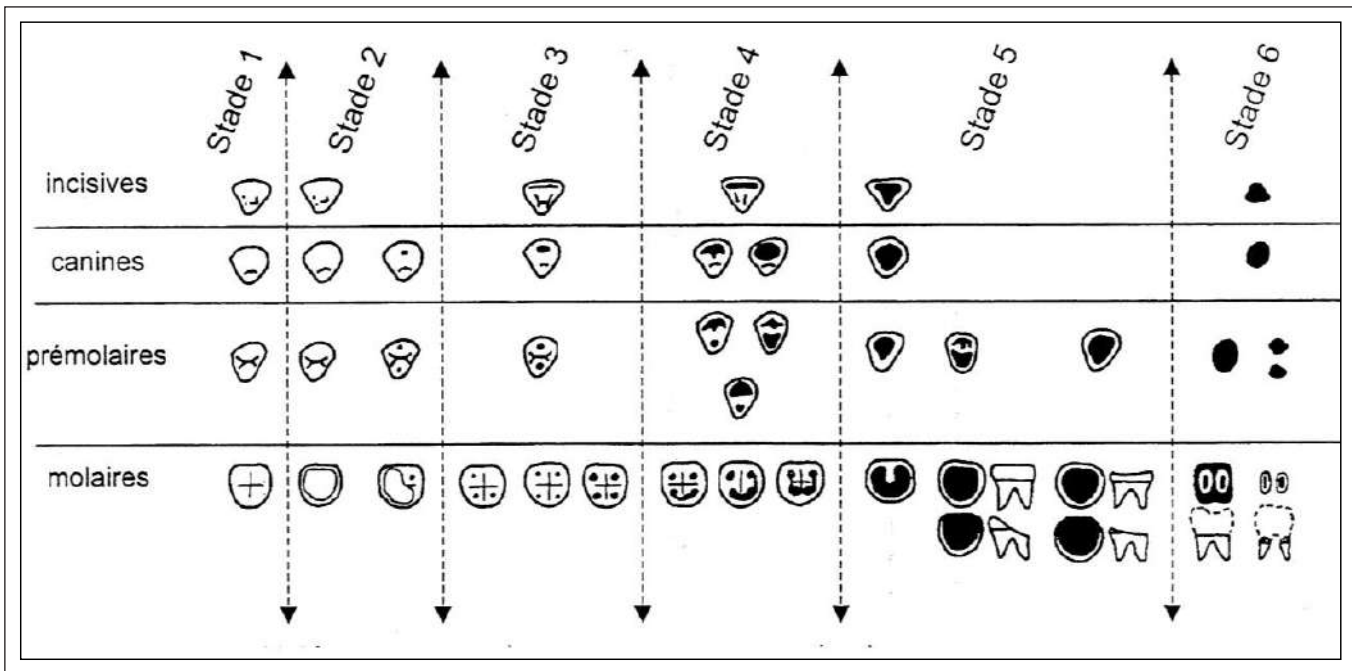


Fig. 55 : stades d'usure dentaire d'après Brothwell (1981).

Les critères retenus pour chaque stade d'usure sont les suivants :

- stade 1 : aucune trace d'usure ;
- stade 2 : facettes d'usure sur l'émail, avec une seule usure pouvant atteindre la dentine ;
- stade 3 : apparition d'îlots dentinaires, nombreux aux molaires, peu étendus au niveau des prémolaires et des canines, apparition d'une ligne étroite de dentine sur les incisives ;
- stade 4 : apparition de coalescences dentinaires sur les molaires, de larges îlots pour les prémolaires et les canines, d'une large ligne de dentine au niveau des incisives ;
- stade 5 : disparition de la face occlusale, les îlots de dentine coïncident avec la forme de la couronne. Aux endroits les plus usés, la jonction amélo-cémentaire est dépassée : l'émail ne borde plus la dentine ;
- stade 6 : ne subsistent que des restes de racines avec une absence totale d'émail. Les racines des dents pluri-radiculées peuvent être indépendantes.

1.7.2. Le tartre

Le tartre se forme en quantité variable selon les individus. Il peut se déposer sur les faces vestibulaires, linguales et particulièrement au voisinage des orifices des canaux salivaires excréteurs. Il est reconnaissable à ses caractéristiques physiques (dureté et consistance de "terre cuite"), à sa structure et à sa composition (Hillson, 2001).

Le tartre subgingival prend la forme d'un fin dépôt et est plus dur, plus minéralisé et plus coloré que le

supragingival. Il ne faut pas le confondre avec les dépôts *post-mortem* purement physico-chimiques, dus aux différents éléments présents dans le colmatage des fosses (Flinn *et al.*, 1987).

Afin d'apprécier le dépôt de tartre, la classification de Dobney et Brothwell (Dobney et Brothwell, 1987) a été utilisée. Nous la rappelons :

- indice 0 : absence de tartre ;
- indice 1 : léger dépôt (0 à 1 mm) ;
- indice 2 : dépôt modéré (1 à 2 mm) ;
- indice 3 : dépôt sévère (2 à 3 mm) ;
- indice 4 : dépôt "monstrueux" (plus de 3 mm).

Un nettoyage soigneux des organes dentaires a été réalisé. Une attention particulière a été portée sur les dépôts tartreux qui n'ont pas été détériorés lors de cette opération.

Les faces généralement situées au voisinage des canaux salivaires sont susceptibles de porter de telles concrétions : les faces linguales des dents antéro-inférieures et les faces vestibulaires des molaires supérieures.

1.7.3. Les lésions carieuses

La formation des caries dentaires, déminéralisation localisée de cavités dans les tissus durs de la dent (émail, dentine et cément), est la conséquence de divers facteurs : l'action des agents biochimiques, la formation de la plaque dentaire, la texture de

l'alimentation, le processus d'usure en relation avec l'occlusion, l'âge et l'hérédité.

L'enregistrement des lésions carieuses a concerné chacune des dents permanentes et déciduales selon la cotation suivante :

- **la présence de caries :**
 - *stade 0* : aucune carie dentaire ;
 - *stade 1* : présence de caries dentaires.
- **la position :**
 - *c* : couronne ;
 - *jac* : jonction amélo-cémentaire (collet).
- **la topographie :**
 - *o* : face occlusale ;
 - *m* : face mésiale ;
 - *d* : face distale ;
 - *md* : faces mésiale et distale ;
 - *la* : face labiale ;
 - *l* : face linguale.
- **la stade d'évolution :**
 - *stade 1* : carie prenant la forme d'un point noir (- 1 mm de diamètre) ;
 - *stade 2* : destruction d'environ 1/4 de la couronne ou du collet ;
 - *stade 3* : destruction de 3/4 de la couronne ou du collet.

1.7.4. Les pathologies alvéolaires

La gingivite est une maladie parodontale. Lorsqu'elle n'est pas soignée, elle évolue en parodontite, une inflammation atteignant l'os et le desmodonte qui entraîne la résorption progressive voire la destruction de l'os alvéolaire. Inspirée des travaux effectués par Aubry (Aubry, 2001), la sévérité des parodontites se distingue par la distance séparant la jonction émail-cément et le sommet du septum osseux interdentaire, dont voici les quatre stades repris pour cette étude :

- *stade 0* : absence de résorption du processus alvéolaire ;
- *stade 1* : légère résorption (< 2 mm) ;
- *stade 2* : résorption modérée (2 à 4 mm) ;
- *stade 3* : sévère résorption (> 4 mm).

Les lésions péri-apicales et péri-radiculaires sont consécutives à une exposition de la chambre pulpaire. Cette exposition est due à une forte usure dentaire ou une lésion carieuse intrusive qui causent l'inflammation du tissu pulpaire. Les germes

responsables de l'infection passent au-delà du foramen apical et atteignent l'os alvéolaire, engendrant l'effacement progressif de la trabéculature osseuse. Le granulome péri-apical, le kyste radiculaire et l'abcès péri-apical sont les atteintes les plus fréquemment rencontrées (Hillson, 1996)¹. La présence d'un abcès est enregistrée lorsqu'une perforation du périoste est observée dans la région péri-apicale, laissant apparaître l'apex des racines dentaires.

L'évolution de cet abcès est enregistrée et codée ainsi :

- *stade 0* : absence d'abcès péri-apical, le processus alvéolaire est sain ;
- *stade 1* : destruction incomplète de l'os alvéolaire, laissant apparaître l'apex de la dent ;
- *stade 2* : destruction importante de l'os alvéolaire, laissant entrevoir une large cavité.

2. Résultats

2.1. La tranchée 1

2.1.1. Le niveau de remblai US

2004

Le remblai contemporain (US 2004) est un limon très argileux gris-brun foncé, peu compact et très hétérogène. Il apparaît à 0,38 m sous le niveau de circulation actuel et atteint une épaisseur comprise entre 0,35 m et 0,50 m. Dans ce niveau ont été collectés 70 restes osseux humains.

Trois individus, deux adultes et un immature, ont été identifiés. Concernant l'immature, seuls les os du crâne (frontal avec suture métopique ouverte) sont conservés, l'âge au décès étant inférieur à 2 ans (Schaefer et al., 2009). L'âge des adultes au décès ne peut être estimé. Toutefois, l'un d'entre eux est probablement âgé de moins de 60 ans car la suture lambdoïde du crâne n'est pas entièrement fusionnée (Masset, 1982).

2.1.2. La sépulture Fait 1

Cette sépulture à inhumation en sarcophage de mortier et de meulière apparaît à 0,29 m sous le niveau actuel de circulation. Elle est en partie

¹ HILLSON, S., 1996. *Dental Anthropology*. New York : Cambridge University Press, 372 p.

recoupée par la reconstruction de la nef. Sa situation stratigraphique et le mobilier céramique permettent de la dater entre le XIII^e s. et le milieu du XIV^e s.

Le sujet principal devait être un sujet adulte gracile, découvert en position secondaire.

Le comblement (US 2011) est un limon gris à gris clair, meuble et hétérogène, contenant de nombreuses inclusions de fragments calcaires et de plâtre. Au sein de ce dernier ont été prélevés des ossements appartenant à deux individus immatures. Il s'agit d'un os pelvien, un ischion gauche, dont le stade de croissance permet d'estimer un âge au décès d'environ un an (Schaefer *et al.*, 2009, p. 234).

Concernant le second sujet immature, dont l'âge est estimé entre 7-14 ans, seul le 1er métatarse gauche et l'épiphyse distale gauche de l'humérus sont conservés.

2.1.3. La sépulture Fait 2

La sépulture Fait 2 est très mal conservée (fig. 56). Seuls les membres inférieurs sont préservés, car une partie de la sépulture a été détruite par les tranchées des réseaux d'eaux usées (fait 5) et électriques (fait 6).

Elle apparaît à 0,61 m sous le niveau de circulation actuel. Elle a livré des restes d'un sujet adulte de sexe indéterminé et d'aspect relativement gracile. L'indice de conservation est de 11 %. La stature de cet

individu, estimée à partir du fémur gauche (L = 0,436 m), est de 1,63 m ± 4,13 cm (Cleuvenot *et al.*, 1993).

Le stade de maturation osseuse est relativement avancé. On observe la présence d'une enthésopathie inflammatoire dans la partie médiane de la fibula droite, d'une arthrose fémoro-patellaire observée sur la patella gauche (ostéophytose marginale et polissage articulaire).

En l'absence de mobilier datant, la position stratigraphique de cette sépulture la situerait autour de la période médiévale ou moderne sans autre précision possible.

2.1.4. La sépulture Fait 3

Apparaissant à une profondeur de 0,56 m sous le niveau actuel de circulation (60,76 m NGF), cette sépulture à inhumation en pleine terre est celle d'un adulte de sexe masculin, d'aspect robuste, âgé entre 30 et 59 ans (fig. 57 et 58). Seuls les membres inférieurs sont conservés (indice de conservation de 9,5 %) (fig. 59), le reste du squelette est perturbé par les tranchées des réseaux contemporains. Sa stature est estimée à 1,65 m ± 4,13 cm (*ibid.*, 1993) à l'aide du fémur gauche (L = 0,442 m).

Quatre tessons de céramique ont été collectés dans la sépulture et donnent un terminus *post quem* compris entre le VIII^e et le IX^e siècle.

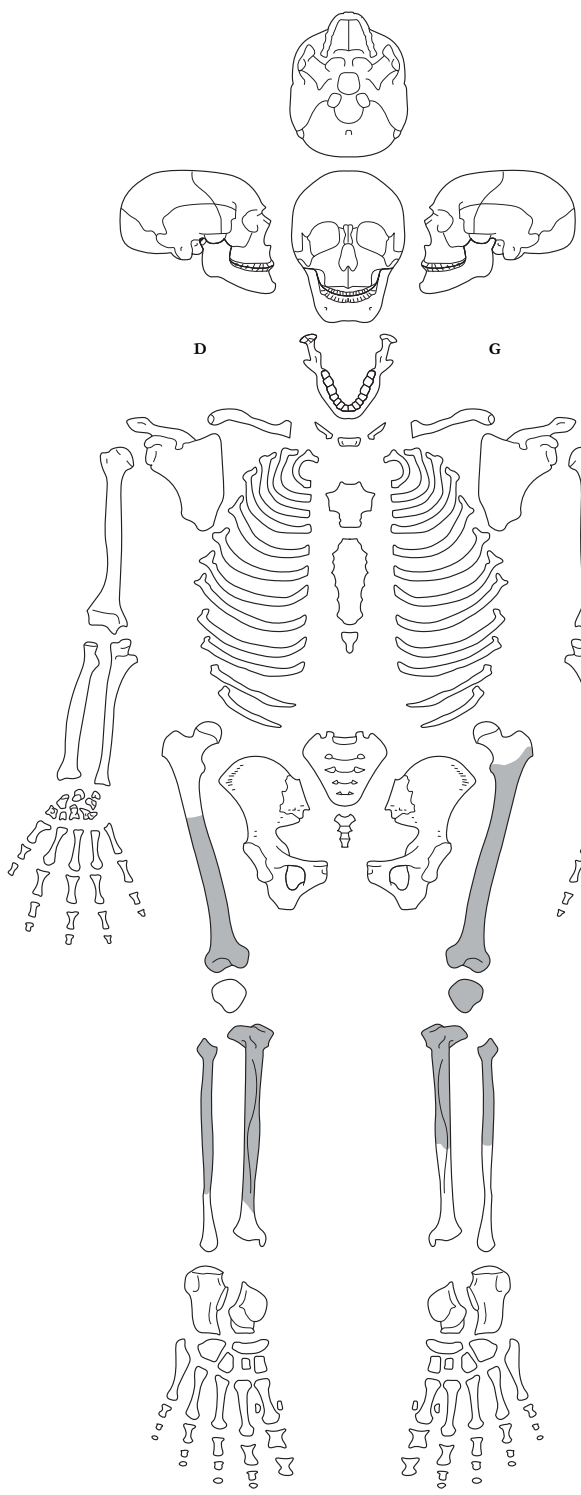
Région anatomique	Evaluation de la sexualisation		Fait 3 - US 2018		Fait 4 - US 2021	
	Caractère	Forme	Evaluation	Diagnose sexuelle	Evaluation	Diagnose sexuelle
Région pré-auriculaire	Absence ou présence de dépression	f- dépression nette	m		m	
		i- forme intermédiaire				
		m- surface plane				
	Caractéristique de la dépression	f- circonférence fermée	m	m	m	m
		i- forme intermédiaire				
		m- dépression avec circonférence ouverte				
Tubercule	f- absence de tubercule	m		m		
	i- forme intermédiaire					
	m- présence de tubercule					
Grande incisive ischiatique	Longueur relative des segments AC et BC	f- segment sup (AC) plus long ou égal au segment inf (BC)	m		m	
		i- forme intermédiaire				
		m- segment sup (AC) plus court que le segment inf (BC)				
	Symétrie	f- symétrie par rapport à la ligne de plus grande profondeur	m	m	f	f
		i- forme intermédiaire				
		m- asymétrie par rapport à la ligne de plus grande profondeur				
Position de la perpendiculaire passant par A	f- le contour du segment supérieur ne coupe pas la perpendiculaire	m		f		
	i- forme intermédiaire					
	m- le contour du segment supérieur coupe la perpendiculaire					
Arc composé	Incisure et surface auriculaire	f- double courbe	m	m	m	m
		i- forme intermédiaire				
		m- courbe unique				
Bord inférieur	Incurvation ou non	f- éversion externe	m		-	
		i- forme intermédiaire				
		m- bord droit				
	Crista phallica	f- absence de crista phallica	m	m	-	m
		i- forme intermédiaire				
		m- présence nette de crista phallica				
Branche ischio-pubienne	f- gracile	i		m		
	i- forme intermédiaire					
	m- robuste					
Longueur relative du pubis et de l'ischium	-	f- pubis plus développé	i	i	-	?
		i- forme intermédiaire				
		m- ischium plus développé que le pubis				
Région anatomique			masculin		masculin	

Fig. 57 : estimation du sexe des sépultures Faits 3 et 4 de la tranchée 1, d'après la morphologie des os coxaux.

FICHE DE CONSERVATION ANATOMIQUE

— SUJET ADULTE —

Données opérationnelles				US associées		Informations complémentaires	
Commune	Antony (92)	Code	ASS 2017	Creusement	2012	Auteur(s) fiche	J.-F. M
Site	Église St-Saturnin	Localisation	Tranchée 1	Mobilier	-	Date	31/01/2018
Type	Diagnostic	Fait	F. 2	Comblement	2014	Conservation	Montigny (78)
Date	décembre 2017	US	2015	Autre	-	Autre	-



Légende des diagrammes dentaires

18 17 16 15 14 13 12 11	21 22 23 24 25 26 27 28	 Élément présent <i>in situ</i>
 Élément isolé et présent (identifié avec certitude)	 Racine seule présente <i>in situ</i>	 Agénésie dentaire
48 47 46 45 44 43 42 41	31 32 33 34 35 36 37 38	 Dent perdue <i>ante mortem</i> (alvéole refermée)
		 Germe présent <i>in situ</i>

Cervicales	Thoraciques	Lombaires
1	1	1
2	2	2
3	3	3
4	4	4
5	5	5
6	6	6
7	7	7
	8	8
	9	9
	10	10
	11	11
	12	12

Légende de conservation osseuse

	Région présente
	Région fragmentée
	Localisation incertaine
	Latéralisation incertaine

Fig. 56 : fiche de conservation anatomique de la sépulture Fait 2 en tranchée 1.

Caractère	Observation et cotation	Fait 3 - US 2018	Fait 4 - US 2021
Organisation transverse (SSPIA)	Ondulations ou stries sur une partie ou sur toute la surface auriculaire (score 1)	1	2
	Absence d'ondulation ou de strie (score 2)		
Modification de la surface auriculaire (SSPIB)	Absence de granulation, toutefois îlot de granulation fine et porosités isolées possible (score 1)	2	2
	Granulation sur la majorité de la surface auriculaire, porosités éparées possibles (score 2)		
	Combinaison de granulation grossière et de porosités profondes ou partielles sur aire limitée (score 3)		
	Granulation grossière et/ou porosités profondes et nombreuses (score 4)		
Modification apicale (SSPIC)	Le bord est fin, au même niveau que la surface articulaire ou légèrement surélevé, forme un angle (score 1)	1	1
	Le bord est émoussé, il s'épaissit. Il peut former une lèvre ou une formation osseuse amorphe (score 2)		
Modification de la tubérosité iliaque (SSPID)	Surface lisse, aucun signe de remaniement osseux (score 1)	2	2
	Remaniement osseux ou enthèses fines (score 2)		
Estimation		30-59 ans	> 30 ans

Fig. 58 : classe d'âge des sujets inhumés dans les sépultures Faits 3 et 4 en tranchée 1.

2.1.5. La sépulture Fait 4

Cette sépulture apparaît à 0,70 m sous le niveau actuel de circulation. Elle est située près de l'angle nord-ouest formé par la nef de l'église *Saint-Saturnin* et recoupée, dans sa moitié inférieure, par le réseau d'eau pluviale (fig. 60 et 61).

L'individu mis au jour est de sexe masculin (cf. fig. 57). En raison du degré de maturation osseuse, l'âge au décès estimé est supérieur à 30 ans avec de fortes présomptions pour un âge plus avancé (50-59 ans) (cf. fig. 58). En effet, le sujet présente un important remodelage des plateaux vertébraux (fig. 62) et un stade d'usure dentaire avancé (fig. 63).

La stature est estimée à 1,67 m ± 4,83 cm à partir de la mesure de l'humérus droit (L = 0,318 m) (Cleuvenot *et al.*, 1993).

Une altération taphonomique due vraisemblablement à un ruissellement d'eau dans la fosse sépulcrale est apparue sur le processus mastoïde droit du crâne. Cette atteinte pseudo-pathologique a altéré le l'os cortical et fait apparaître l'os trabéculaire (fig. 64).

D'un point de vue paléopathologique, d'autres éléments sont apparus. En effet, on observe sur le sternum entièrement fusionné un foramen sternal, une variation anatomique assez rare, ainsi qu'une



Fig. 62 : ostéophytes marginaux des plateaux vertébraux du sujet masculin de la sépulture Fait 4 en tranchée 1.

Diagramme dentaire adulte																			
Fait 4 US 2021	Arcade		Droite								Gauche								
	Maxillaire		18	17	16	15	14	13	12	11	21	22	23	24	25	26	27	28	
	pam		1	1	1	1	1	1	1	1	1	1	1	1	1	1	pam	agns	
Mandibule		48	47	46	45	44	43	42	41	31	32	33	34	35	36	37	38		
pam		1	1	1	1	1	0	1	1	0	1	1	1	1	1	1	1		
Indice de conservation du matériel dentaire																			
Total / arcade		Total	%	dans l'alvéole		Total	%	isolé		Total	%	Agénésie		Perte ante mortem		Perte post mortem			
n sup.	%			n sup.	%			n sup.	%	Total / arcade	Total	%	Total / arcade	Total	%	Total / arcade	Total	%	
13	86,7	26	83,9	8	61,5	18	69,2	5	38,5	8	30,8	1	6,3	2	13,3	3	9,7	0	0
n inf.	%			n inf.	%			n inf.	%			n inf.	%	n inf.	%			n inf.	%
13	81,3			10	76,9			3	23,1			0	0	1	6,7			2	13,3

Fig. 61 : tableau de conservation du matériel dentaire (ICMD) de la sépulture Fait 4 en tranchée 1.

FICHE DE CONSERVATION ANATOMIQUE

SUJET ADULTE

Données opérationnelles				US associées		Informations complémentaires	
Commune	Antony (92)	Code	ASS 2017	Creusement	2016	Auteur(s) fiche	J.-F. M
Site	Église St-Saturnin	Localisation	Tranchée 1	Mobilier	-	Date	31/01/2018
Type	Diagnostic	Fait	F. 3	Comblement	2017	Conservation	Montigny (78)
Date	décembre 2017	US	2018	Autre	-	Autre	-

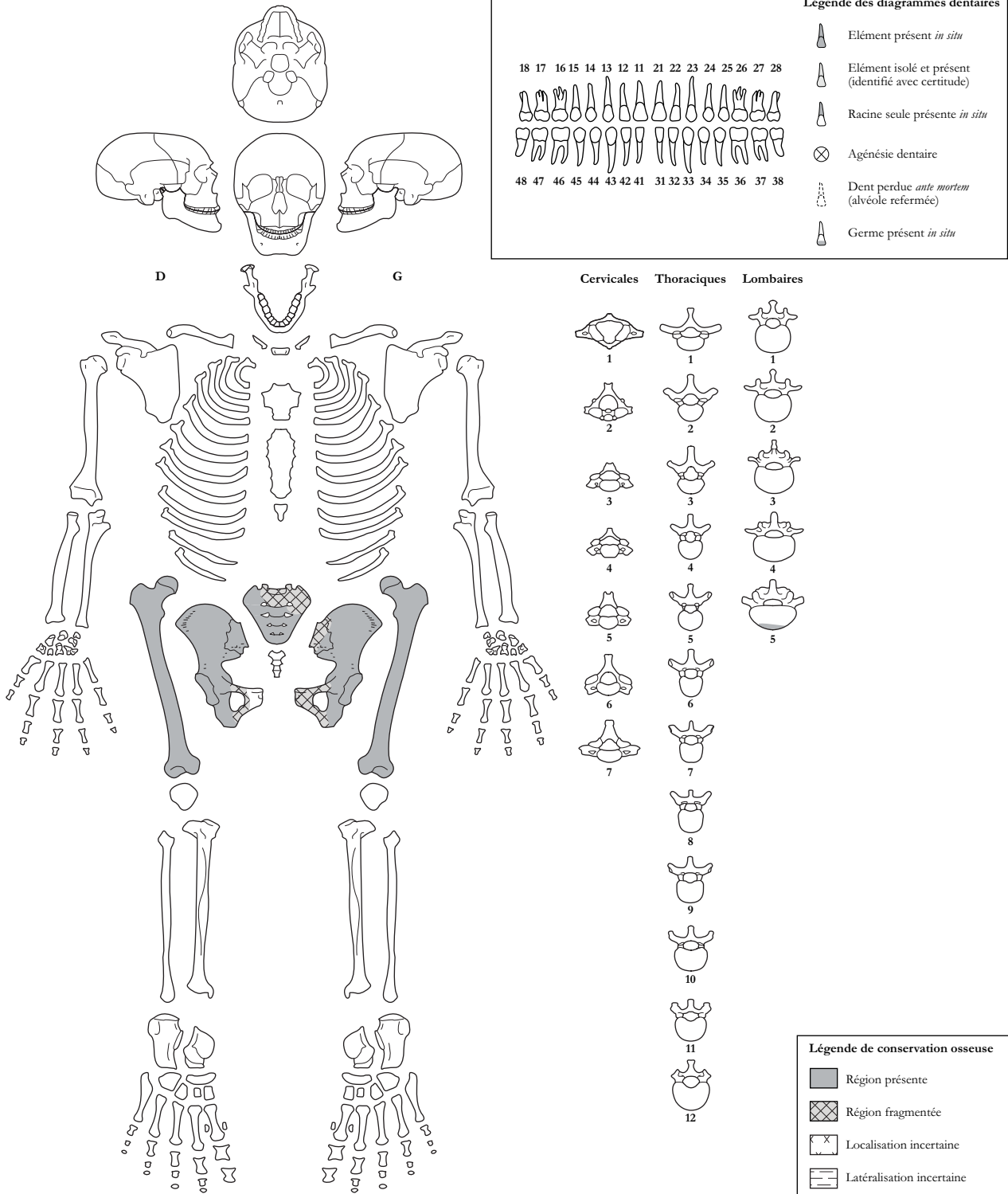
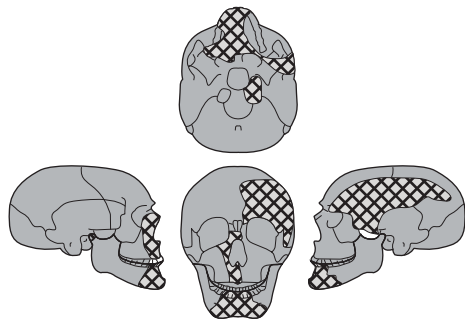


Fig. 59 : fiche de conservation anatomique de la sépulture Fait 3 en tranchée 1.

FICHE DE CONSERVATION ANATOMIQUE

— SUJET ADULTE —

Données opérationnelles				US associées		Informations complémentaires	
Commune	Antony (92)	Code	ASS 2017	Creusement	2019	Auteur(s) fiche	J.-F. M
Site	Église St-Saturnin	Localisation	Tranchée 1	Mobilier	-	Date	18/01/2018
Type	Diagnostic	Fait	F. 4	Comblement	2020	Conservation	Montigny (78)
Date	décembre 2017	US	2021	Autre	-	Autre	-



Légende des diagrammes dentaires

18 17 16 15 14 13 12 11	21 22 23 24 25 26 27 28		<ul style="list-style-type: none"> Élément présent <i>in situ</i> Élément isolé et présent (identifié avec certitude) Racine seule présente <i>in situ</i> Agénésie dentaire Dent perdue <i>ante mortem</i> (alvéole refermée) Germe présent <i>in situ</i>
48 47 46 45 44 43 42 41	31 32 33 34 35 36 37 38		

	Cervicales	Thoraciques	Lombaires
D			
G			

Légende de conservation osseuse

	Région présente
	Région fragmentée
	Localisation incertaine
	Latéralisation incertaine

Fig. 60 : fiche de conservation anatomique de la sépulture Fait 4 en tranchée 1..



Usure dentaire adulte																									
Fait 4 US 2021	Arcade	Droite							Gauche							Stade d'usure moyen / arcade				n	TOTAL				
	Maxillaire	18	17	16	15	14	13	12	11	21	22	23	24	25	26	27	28	n	Dents sup.			n	antér.	n	postér.
	Maxillaire		3	4	3	3	5	4	4	4	3	5	4	4	4			13	4	6	4	7	3,6	26	3,7
	Mandibule	48	47	46	45	44	43	42	41	31	32	33	34	35	36	37	38	n	Dents inf.	n	antér.	n	postér.		
	Mandibule		3	4	3	3		4	4	4	4	4	4	4	4	3	3	13	4	4	4	9	3,4		

Fig. 63 : stades d'usure dentaire de la sépulture Fait 4 en tranchée 1.

inflammation articulaire avec la 1^{ère} côte droite (fig. 65).

Une importante asymétrie de longueur entre l'humérus gauche et le droit est observée. Cette malformation, qui semble isolée, s'exprime par un déplacement disto-médial de la tête humérale associé à un raccourcissement du col anatomique (fig. 66). Ce premier examen, mené sous l'œil de Frédéric Boursier, médecin légiste au centre hospitalier de Pontoise (95), a conduit au diagnostic d'un *humerus varus* (Charlier, 2008, p. 507).

Quelques cas ont été rencontrés dans la littérature (Anderson, 1997 ; Kacki et al., 2013) et plusieurs causes ont été identifiées pour ce type de lésion : traumatisme intra-utérin, traumatisme obstétrical, traumatisme néo-natal ou pédiatrique, ostéomalacie, rachitisme, infection néonatale, thalassémie,

syndrome polymalformatif. Dans ce cas, cette pathologie est congénitale et non handicapante, en attestent les importantes insertions musculaires sur la diaphyse et le remodelage osseux au niveau de l'articulation scapulo-humérale gauche.

Par ailleurs, sur les os du bassin, une sacralisation de la cinquième vertèbre lombaire a été observée (fig. 67), c'est-à-dire une fusion complète entre la dernière vertèbre et le sacrum. Il semblerait que cette lésion congénitale ait pu causer un déséquilibre dans l'anatomie du squelette axial, puisque le plateau vertébral est légèrement incliné vers la droite, côté où l'on retrouve un important ostéophyte marginal.

Aucun mobilier datant n'a été découvert dans cette

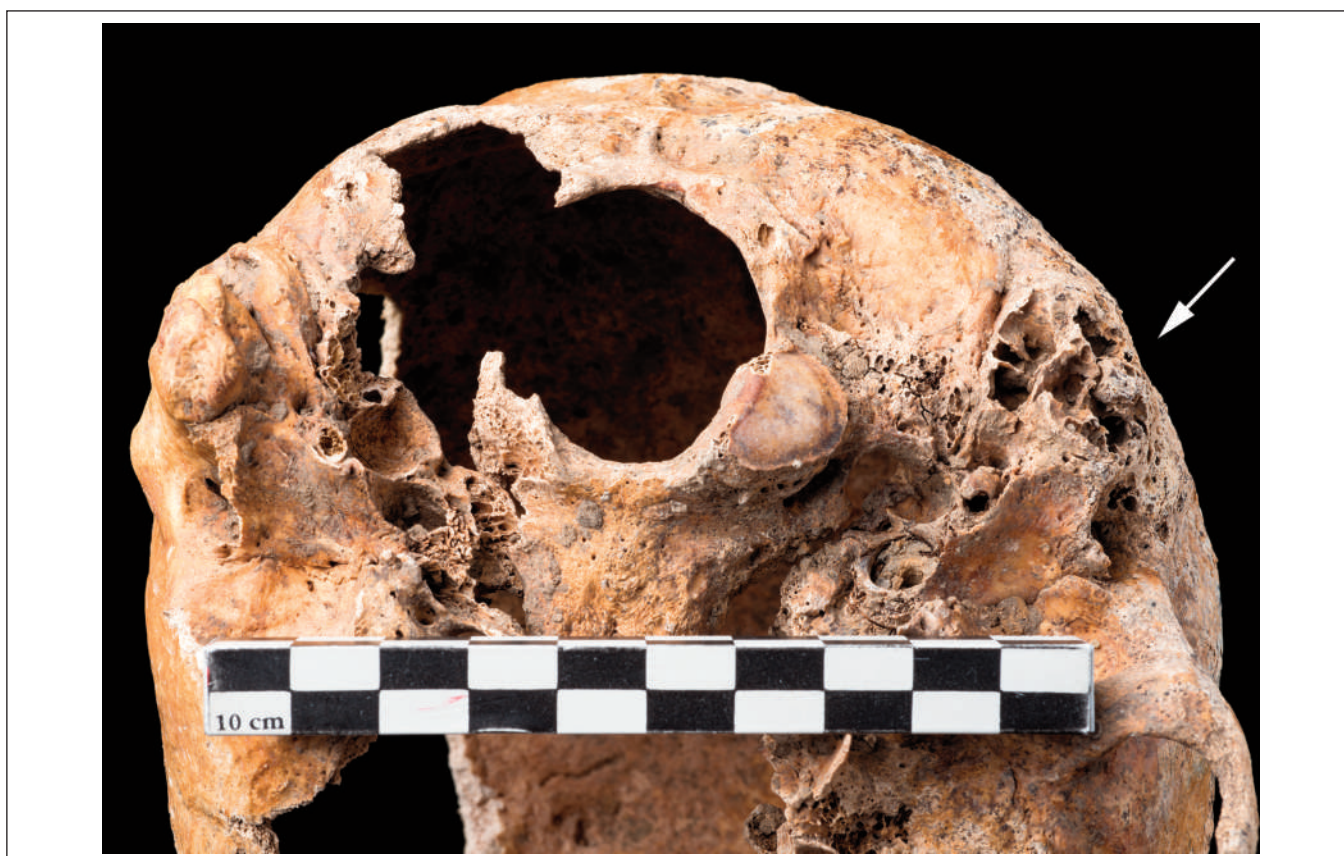


Fig. 64 : altération pseudo-pathologique de la mastoïde droite de la sépulture Fait 4 en tranchée 1.



Fig. 65 : foramen sternal et importante arthrose articulaire entre la 1ère côte droite et le manubrium sternal (flèches blanches) du sujet de la sépulture Fait 4 en tranchée 1.

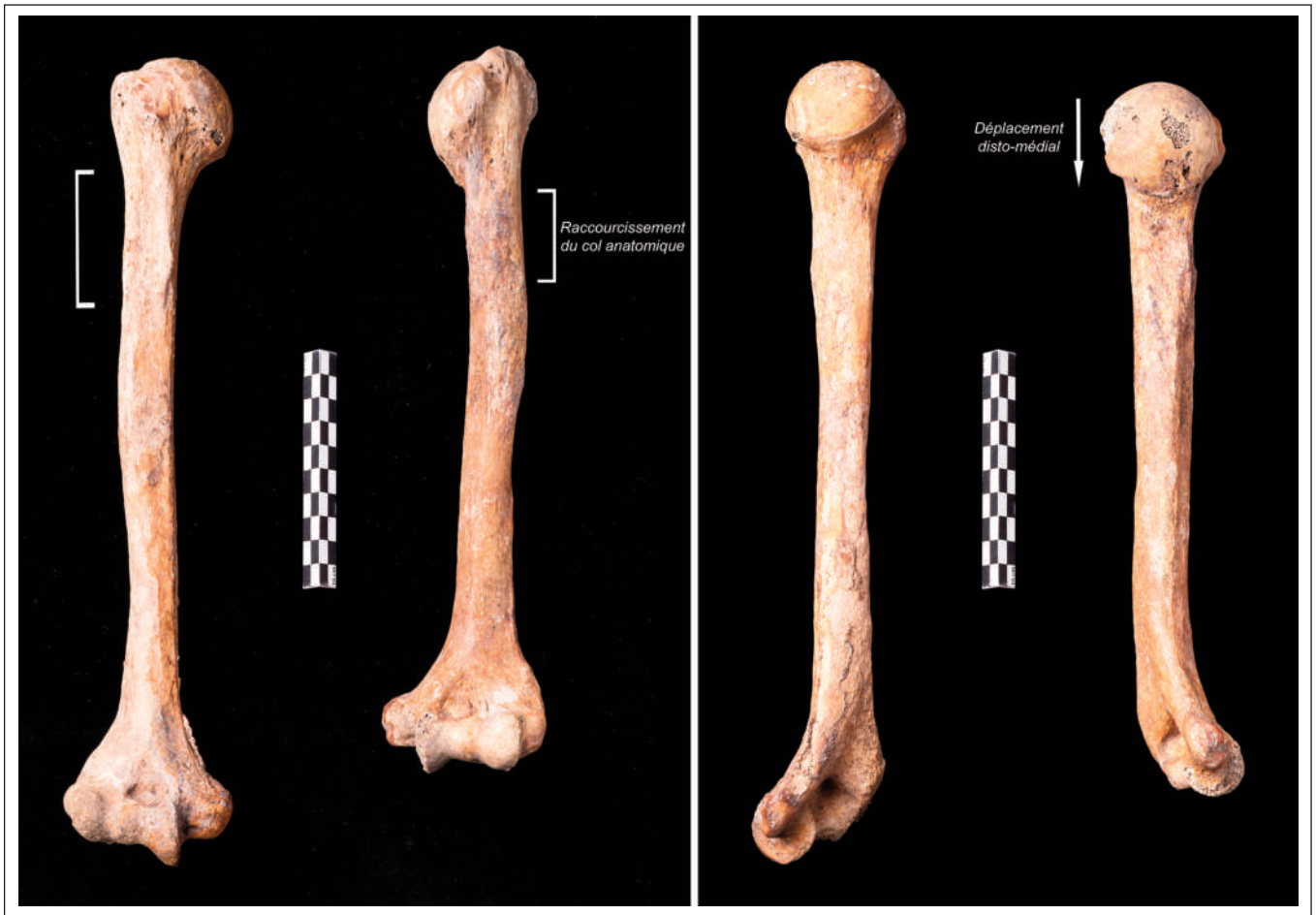


Fig. 66 : *humerus varus* observé sur l'humérus gauche du sujet de la sépulture Fait 4 en tranchée 1.

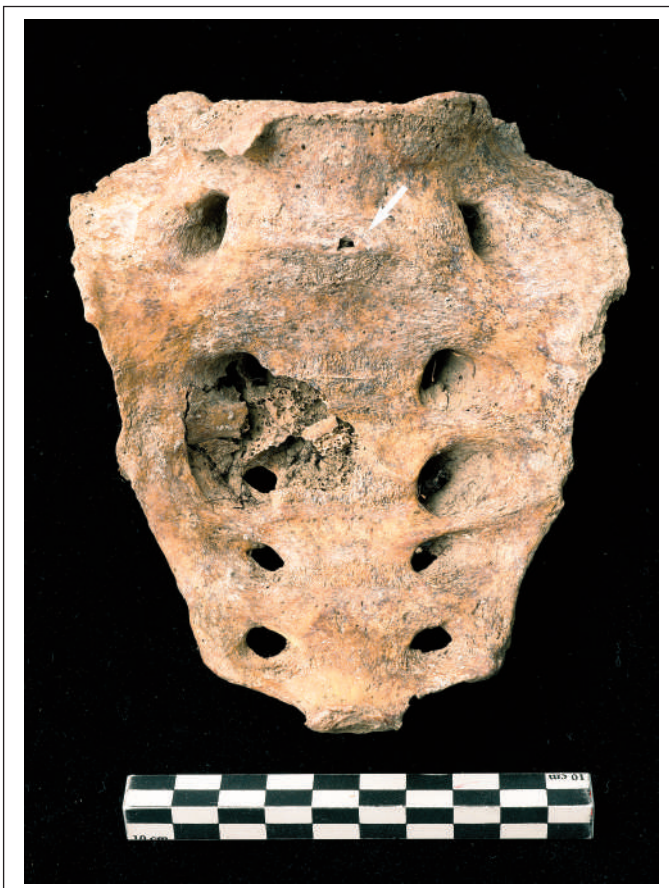


Fig. 67 : sacralisation de la cinquième vertèbre lombaire du sujet de la sépulture Fait 4 en tranchée 1.

sépulture, mais sa position stratigraphique la daterait de la période médiévale sans autre précision possible.

2.2. La tranchée 2

2.2.1. Le niveau de circulation US 3007

Le niveau de circulation médiéval ou moderne (XIII^e et XVII^e siècles) apparaît à 0,65 m sous le niveau de circulation actuel, avec une épaisseur de 0,30 m. Il s'agit d'un limon argileux gris foncé, très compact et hétérogène, au sein duquel ont été collectés 7 restes osseux humains.

Ils appartiennent à deux individus adultes dont l'un est gracile et l'autre robuste. L'âge au décès et la stature n'ont pu être estimés.

2.2.2. Le niveau de remblai US 3010

Le limon argileux gris-brun foncé du remblai US 3010, compact et hétérogène, contient les éléments squelettiques de deux individus : un adulte et un immature.

L'âge au décès du sujet immature se situe dans la tranche des 7-14 ans (Schaefer et al., 2009) dont seuls les os de la main (phalange) et l'épiphyse distale du fémur ont été conservés.

L'âge au décès de l'adulte n'a pu être estimé malgré la présence de la suture lambdoïde (inférieur à 60 ans).

2.2.3. Le niveau de remblai US 3006

L'US 3006 est un remblai épais de 0,50 m. Elle est constituée d'un limon très argileux brun foncé, peu compact et hétérogène, contenant de nombreux charbons de bois et quelques nodules calcaires. Ce niveau est mis en place vraisemblablement à l'Époque moderne. Au total, 38 restes osseux humains y ont été découverts (US 3009 et US 3033). L'US 3033 a livré 19 restes conservés d'un sujet immature. Il s'agit probablement d'un enfant appartenant à la classe d'âge des 4-7ans, estimée grâce à la *pars lateralis* observée sur son occipital droit (Schaefer et al., 2009).

2.2.4. La sépulture Fait 2

En raison du bon état de conservation des ossements (51,8 %) (fig. 68 et 69), les données biologiques de l'individu inhumé dans cette sépulture (US 3019) ont pu être estimées.

À partir de la fermeture complète des apex

dentaires, l'âge au décès de ce sujet immature est basé sur le stade de fusion des points secondaires d'ossification (*ibid.*). L'absence de fusion des crêtes iliaques et de la tubérosité ischiatique permet d'avancer un âge au décès estimé entre 15 et 19 ans. On observe également que les 3^{èmes} molaires sont en cours de croissance.

D'autres points d'ossification secondaire ne sont pas totalement soudés, notamment au niveau de l'épiphyse proximale de l'humérus, de la tubérosité ischiatique de l'os coxal et des épiphyses proximales des phalanges de la main.

En ce qui concerne l'état de santé de cet individu immature, on observe un très léger dépôt de tartre sur les dents permanentes ainsi qu'une lésion carieuse (fig. 70 et 71). Située sur la partie mésiale de la couronne de l'incisive centrale supérieure gauche, son stade d'évolution est relativement avancé, puisque la cavité formée est de 2 mm de diamètre et a atteint la dentine. Aucune pathologie alvéolaire n'est observée, tandis qu'une légère usure dentaire est identifiée (fig. 72).

Quelques hypoplasies linéaires sont visibles sur l'émail des dents du bloc incisivo-canin inférieur (fig. 73).

Des os remaniés sont présents dans le comblement de la sépulture Fait 2 (US 3015). Ils appartiennent à un individu adulte provenant d'une sépulture antérieure (position secondaire). L'observation du coxal gauche permet de sexer le squelette comme étant celui d'un homme (Bruzek, 2002), décédé entre 20 et 39 ans (Schmitt, 2005). Sa taille est estimée à 1,67 m ± 4,83 cm par la longueur du radius droit (L = 0,225 m) (Cleuvenot et al., 1993).

Deux autres individus, un adulte et un immature (US 3020), ont été prélevés. Concernant le sujet

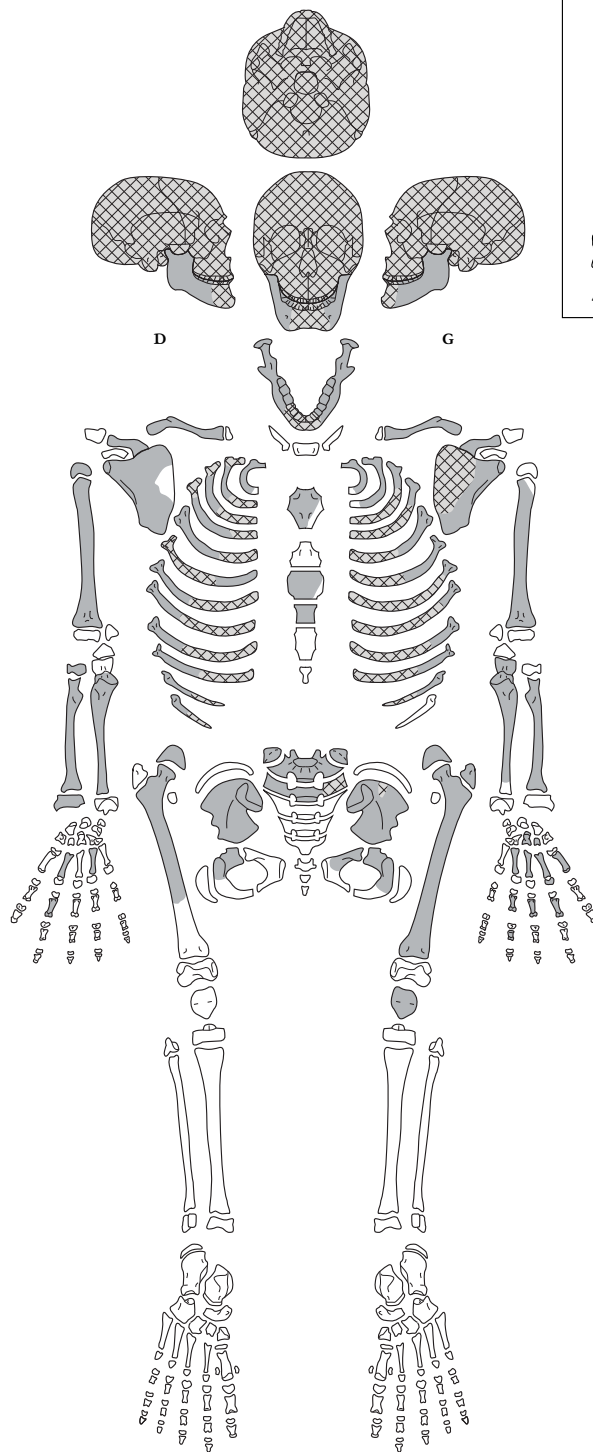
Diagramme dentaire immature																	
Arcade		Doite						Gauche									
Déciduales	Maxillaire																
	Mandibule																
Permanentes	Maxillaire	18	17	16	15	14	13	12	11	21	22	23	24	25	26	27	28
	Mandibule	48	47	46	45	44	43	42	41	31	32	33	34	35	36	37	38
		1	1	1	1	1	1	1	1	0	1	1	1	1	1	1	1
		1	1	1	1	1	1	1	1	1	1	1	1	1	1	1	1
Indice de conservation du matériel dentaire																	
Total / arcade		Total	%	dans l'alvéole		Total	%	isolé		Total	%	Agénésie		Perte ante mortem		Perte post mortem	
n sup.	%			n sup.	%			n sup.	%			n sup.	%	n sup.	%	n sup.	%
15	93,8	31	81,3	12	80	26	83,9	3	20	3	9,7	0	0	0	0	1	6,3
n inf.	%			14	87,5			n inf.	%			0	0	n inf.	%	0	0
16	100																

Fig. 69 : tableau de conservation du matériel dentaire (ICMD) de la sépulture Fait 2 en tranchée 2.

FICHE DE CONSERVATION ANATOMIQUE

SUJET IMMATURE

Données opérationnelles				US associées		Informations complémentaires	
Commune	Antony (92)	Code	ASS 2017	Creusement	3014	Auteur(s)	J.-F. M
Site	Église St-Saturnin	Localisation	Tranchée 2	Mobilier	-	Date	23/01/2018
Type	Diagnostic	Fait	F. 2	Comblement	3015	Conservation	Montigny (78)
Date	décembre 2017	US	3019	Autre	-	Autre	-



US associées		Informations complémentaires	
Creusement	3014	Auteur(s)	J.-F. M
Mobilier	-	Date	23/01/2018
Comblement	3015	Conservation	Montigny (78)
Autre	-	Autre	-

Légende des diagrammes dentaires	
	Élément présent <i>in situ</i>
	Élément isolé et présent (identifié avec certitude)
	Racine seule présente <i>in situ</i>
	Agénésie dentaire
	Dent perdue <i>ante mortem</i> (alvéole refermée)
	Germe présent <i>in situ</i>

Cervicales	Thoraciques	Lombaires
1	1	1
2	2	2
3	3	3
4	4	4
5	5	5
6	6	
7	7	
	8	
	9	
	10	
	11	
	12	

Légende de conservation osseuse	
	Région présente
	Région fragmentée
	Localisation incertaine
	Latéralisation incertaine

Fig. 68 : fiche de conservation anatomique de la sépulture Fait 2 en tranchée 2.



Fig. 70 : léger dépôt de tartre sur les faces mésiales des dents permanentes (flèches blanches) du sujet immature de la sépulture Fait 2 en tranchée 2.

		Usure dentaire immature																				n	TOTAL		
Fait 2 US 3019	Arcade	Droite					Gauche					Stade d'usure moyen / arcade													
	Déciduales											n	Dents sup.	n	antér.	n	postér.								
	Maxillaire																								
	Mandibule																								
	Permanentes	18	17	16	15	14	13	12	11	21	22	23	24	25	26	27	28	n	Dents sup.	n	antér.	n	postér.	31	1,7
		1	1	1	1	1	1	2		3	2	2	2	2	2	1	1	15	2	5	2	10	1,3		
	Mandibule	48	47	46	45	44	43	42	41	31	32	33	34	35	36	37	38	n	Dents inf.	n	antér.	n	postér.		
		1	1	3	2	1	2	2	3	3	2	2	2	1	3	2	1	16	2	6	2	10	1,7		

Fig. 72 : stade d'usure dentaire des dents permanentes du sujet immature de la sépulture Fait 2 en tranchée 2.



Fig. 71 : lésion carieuse sur la face mésiale de l'incisive centrale supérieure gauche du sujet immature de la sépulture Fait 2 en tranchée 2.



Fig. 73 : hypoplasies linéaires observables sur le bloc incisivo-canin inférieur du sujet immature de la sépulture Fait 2 en tranchée 2.

immature, l'âge au décès est estimé dans la classe comprise entre 7 et 14 ans à partir du stade d'ossification secondaire du coxal gauche. L'âge de l'adulte n'a pas pu être déterminé.

2.3. La tranchée 3

□ La sépulture Fait 1

En raison du mauvais état de conservation des ossements (12,2 %) (fig. 74), les données biologiques estimées de l'individu inhumé dans cette sépulture (US 4022) sont faibles.

Il s'agit d'un individu adulte gracile dont la taille est estimée à $1,47\text{ m} \pm 4,04\text{ cm}$ d'après son tibia gauche (*ibid.*, 1993). On note la présence d'arthrose sur les tarsiens gauches (fig. 75).

Le corps vertébral d'un sujet immature était également présent dans le comblement de cette sépulture.

3. Conclusion pour l'étude anthropologique

516 restes osseux humains ont été collectés durant cette opération, correspondant à un poids total de

9,643 kg. Le nombre minimum d'individus (NMI de fréquence) de cette collection anthropologique s'élève à 27, répartis en 21 individus adultes et 6 immatures (cf. fig. 51).

Le taux de conservation des squelettes en position primaire dans les sépultures fouillées est compris entre 9,5 et 51,8 %, soit une moyenne de 25,6 % (fig. 76).

La mauvaise représentation et conservation des squelettes est liée aux nombreuses reconstructions et réaménagements de cette place-parvis depuis la fin du XV^e siècle. En atteste également le nombre important de restes osseux collectés dans les complements des sépultures et l'ensemble des remblais présents dans les trois tranchées : 225 restes provenant de 22 individus.

Une plus forte concentration des vestiges osseux humains est observée en tranchée 2, qu'il s'agisse du nombre de restes ou du nombre de sépultures mises au jour (fig. 77).

Globalement, le recrutement est large et la présence d'individus adultes et immatures est constatée dans les trois tranchées du diagnostic. Cependant, les immatures sont majoritairement découverts dans les secteurs proches de l'église (83 %, soit 5 individus

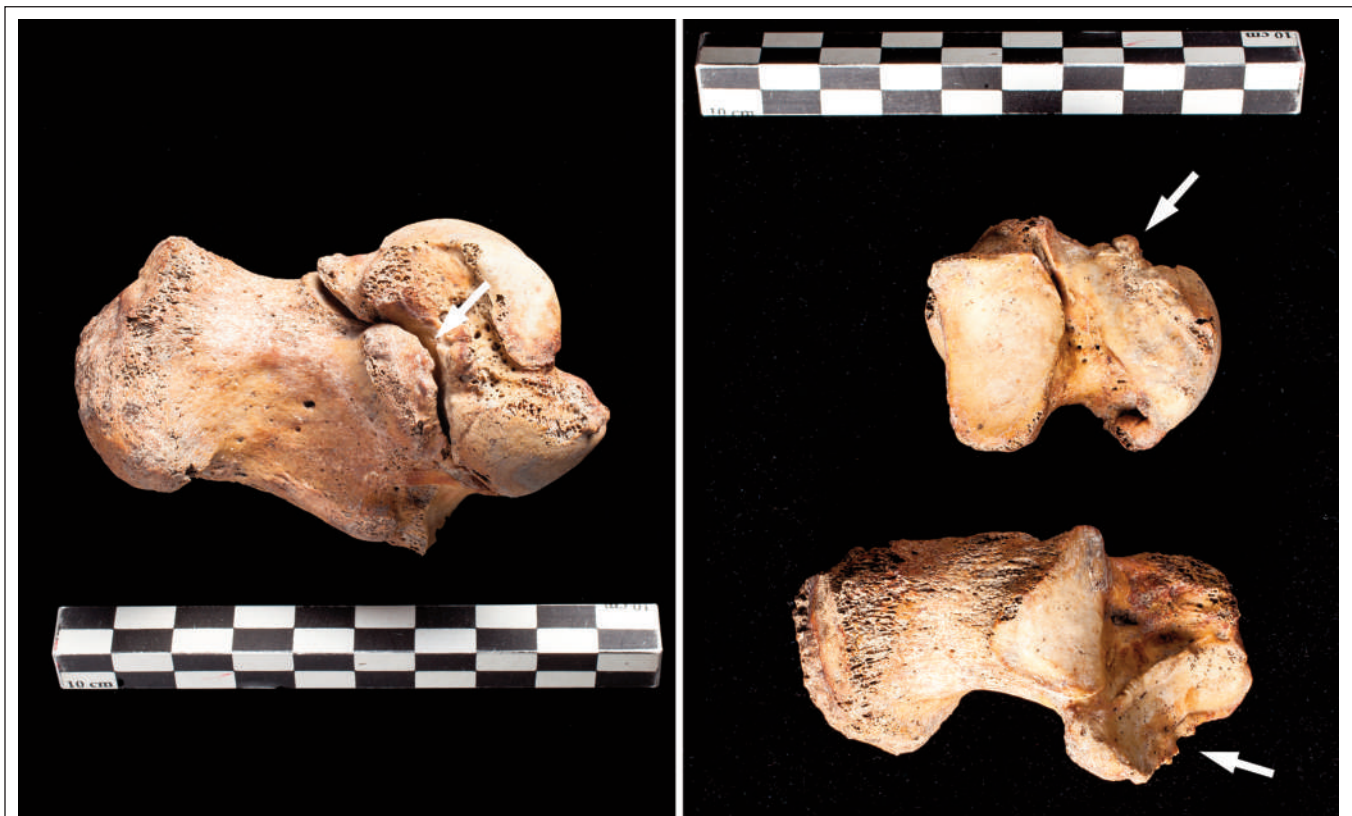


Fig. 75 : arthrose de conservation anatomique de la sépulture Fait 2 en tranchée 2.

FICHE DE CONSERVATION ANATOMIQUE

SUJET ADULTE

Données opérationnelles				US associées		Informations complémentaires	
Commune	Antony (92)	Code	ASS 2017	Creusement	4011	Auteur(s) fiche	J.-F. M
Site	Eglise St-Saturnin	Localisation	Tranchée 3	Mobilier	-	Date	01/02/2018
Type	Diagnostic	Fait	F. 1	Comblement	4012	Conservation	Montigny (78)
Date	décembre 2017	US	4022	Autre	-	Autre	-

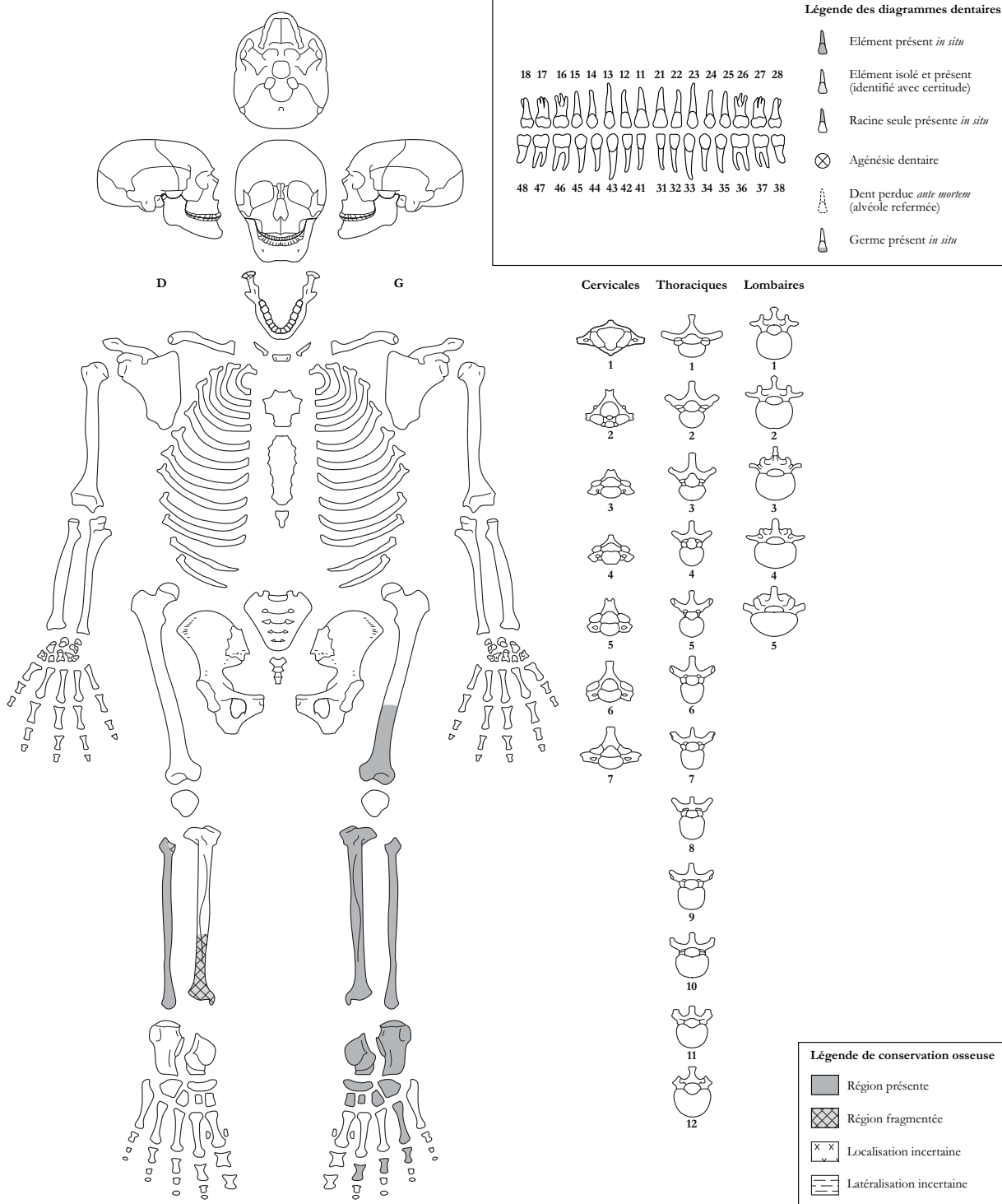


Fig. 74 : fiche de conservation anatomique de la sépulture Fait 2 en tranchée 2.

Région anatomique	Indice (%)				
	TR1			TR2	TR3
	Fait 2 - US 2015	Fait 3 - US 2018	Fait 4 - US 2021	Fait 2 - US 3019	Fait 21 - US 4022
Crâne	0	0	75	75	0
Mandibule	0	0	75	75	0
Hyoïde	0	0	0	0	0
Sternum	0	0	100	50	0
Rachis cervical	0	0	25	75	0
Rachis thoracique	0	0	75	100	0
Rachis lombaire	0	0	100	100	0
Côtes G	0	0	75	75	0
Côtes D	0	0	75	75	0
Coxal G	0		50	75	0
Coxal D	0	75	25	50	0
Sacrum	0	100	100	25	0
Coccyx	0	0	0	0	0
Squelette axial	0,0	14,6	64,6	64,6	0,0
Scapula G	0	0	75	75	0
Clavicule G	0	0	75	75	0
Humérus G	0	0	100	75	0
Ulna G	0	0	75	75	0
Radius G	0	0	100	75	0
Carpies G	0	0	25	25	0
Métacarpiens G	0	0	75	75	0
Phalanges main G	0	0	25	50	0
Scapula D	0	0	75	75	0
Clavicule D	0	0	75	75	0
Humérus D	0	0	100	75	0
Ulna D	0	0	75	75	0
Radius D	0	0	75	100	0
Carpies D	0	0	25	0	0
Métacarpiens D	0	0	100	25	0
Phalanges main D	0	0	25	25	0
Squelette appendiculaire sup.	0,0	0,0	68,8	60,9	0,0
Fémur G	75	100	0	75	50
Patella G	100	0	0	100	0
Tibia G	50	0	0	0	100
Fibula G	50	0	0	0	100
Tarsiens G	0	0	0	0	0
Métatarsiens G	0	0	0	0	0
Phalanges pied G	0	0	0	0	0
Fémur D	50	100	0	75	0
Patella D	0	0	0	0	0
Tibia D	75	0	0	0	25
Fibula D	75	0	0	0	100
Tarsiens D	0	0	0	0	100
Métatarsiens D	0	0	0	0	25
Phalanges pied D	0	0	0	0	
Squelette appendiculaire inf.	33,9	14,3	0,0	17,9	35,7
Indice de conservation total	11,0	9,5	43,6	51,8	12,2

Fig. 76 : indice de conservation des individus conservés en position primaire dans les tranchées du diagnostic.

<i>Os humains remaniés</i>	NR	NMI
Tranchée 1	123	6
Tranchée 2	93	11
Tranchée 3	9	5
TOTAL	225	22

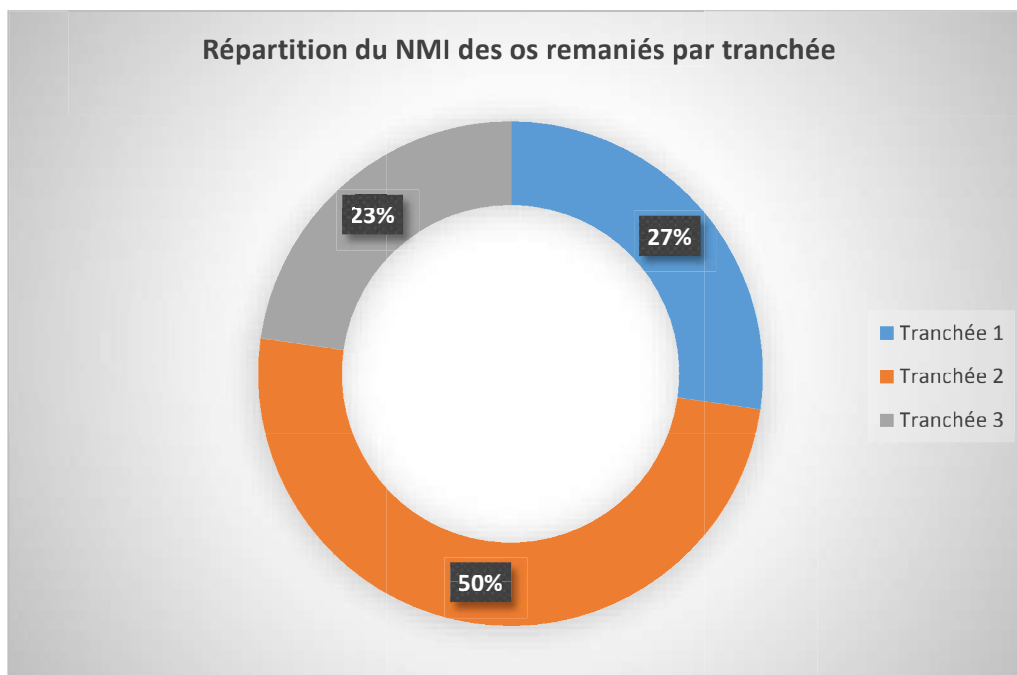


Fig. 77 : répartition des restes osseux humains par nombre de restes et par NMI dans chaque tranchée de diagnostic.

sur 6), une position privilégiée d'inhumation *ad sancto* qui semblerait prévaloir pour les individus les plus jeunes.

En ce qui concerne les données biologiques, seuls les âges au décès de 9 individus ont pu être estimés avec une répartition par classe d'âge entre 1 et 60 ans (**fig. 78**).

Les squelettes de 3 sujets ont pu être sexés à partir de l'observation des os coxaux. Ces individus seraient masculins. Les statures estimées à partir de la mesure des os longs conservés varient entre 1,47 m (\pm 4,04 cm) et 1,67 m (\pm 4,83 cm) (**fig. 79**).

Peu de paléopathologies ont été observées sur cet échantillon de population médiévale, mais il est à noter qu'un individu, le sujet du Fait 4 de la tranchée 1, cumule de nombreuses atteintes congénitales et lésions pathologiques.

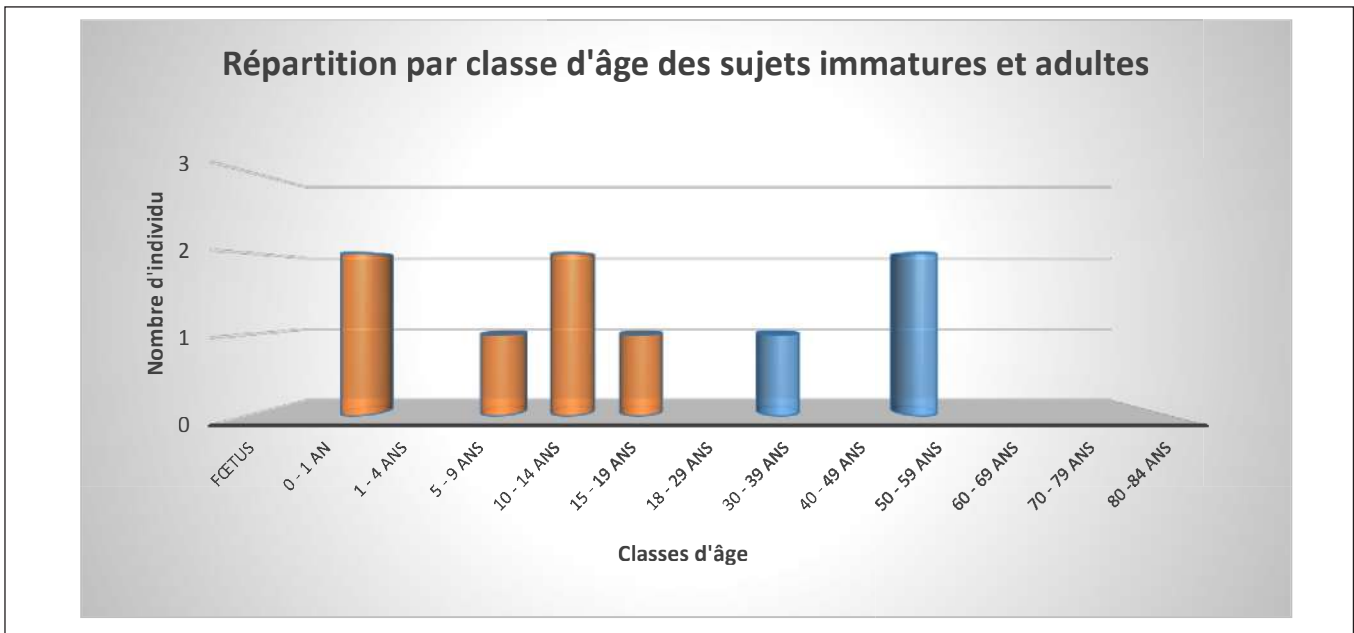


Fig. 78 : répartition par classe d'âge des sujets immatures et adultes.

Estimation stature		Sexe	Os	Dimension	Stature
Tranchée 1	US 2015	masculin ?	fémur gauche	L.= 0,436 m	1,63 m ± 4,13 cm
	US 2018	masculin	fémur gauche	L.= 0,442 m	1,65 m ± 4,13 cm
	US 2021	masculin	humérus droit	L.= 0,318 m	1,67 m ± 4,83 cm
Tranchée 2	US 3015	masculin	radius droit	L.= 0,225 m	1,67 m ± 4,83 cm
Tranchée 3	US 4022	féminin ?	tibia gauche	L.= 0,295 m	1,47 m ± 4,04 cm

Fig. 79 : estimation de la stature à partir des os longs conservés.

IV . Synthèse générale (Jean-François Modat)

(DAO : J.-F. M.)

Les investigations menées sur les 110 m² que couvre le projet de reprise des réseaux et de drainage sous la place de l'église *Saint-Saturnin* d'Antony ont permis de repérer plusieurs structures funéraires sur lesquelles s'appuient des remblais et fondations de maçonnerie.

Plus ou moins bien conservées, ces structures et couches étaient présentes dans chacune des trois tranchées de diagnostic implantées le long du mur ouest de la nef de l'église et sur la voie d'accès menant à la maison paroissiale Sainte-Claire.

La superficie totale d'ouverture atteint 22,5 m² soit plus de 20 % de l'emprise du projet, et 50 % des sépultures mises au jour ont été fouillées et prélevées pour étude.

1. Un mobilier épars de l'Antiquité

Bien qu'aucune structure de cette période n'ait été dégagée, un faible signal archéologique se manifeste par la découverte de tessons de céramique antique dans quelques comblements de fosses sépulcrales. Il s'agit de *Terra Nigra* et d'un bord de sigillée du Bas-Empire mal conservé, probablement un fragment de coupe hémisphérique de type Chenet 320.

2. Des vestiges erratiques du premier Moyen Âge

Du mobilier céramique attribué au premier Moyen Âge a été collecté dans les tranchées 1 et 2 contiguës au mur ouest de l'église, dans des remblais et des comblements de sépultures.

Les productions sont caractéristiques de l'époque carolingienne, avec des pâtes granuleuses à petites et moyennes inclusions de quartz. Les couleurs vont du beige-orangé au gris clair avec un décor de peinture ocre-rouge. Ce sont des céramiques de qualité, généralement destinées au service de table, qui émergent durant le VIII^e s. et perdurent jusqu'au X^e s.

Ces vestiges confirment l'occupation du secteur à l'époque carolingienne connue par des terres et une chapelle mentionnée dès 829 dans les cartulaires d'Antony (*Antoniacum cum ipsa capella*, Arch. nat.,

LL 1040, Cartulaires d'Antony, 1248-1541).

3. Un espace cémétériel au second Moyen Âge

Quatorze sépultures ont été mises au jour entre 0,60 et 0,75 m sous le niveau actuel de circulation. La couche sépulcrale apparaît à une altitude comprise de 61,34 et 60,76 m NGF et est conservée sur une épaisseur allant de 0,13 à 0,55 m. Elle repose sur une épaisse couche de limon beige à blanc, peu compacte et homogène, dans laquelle aucun mobilier n'a été découvert.

Une plus grande densité de sépultures a été observée près du mur pignon ouest de l'église, notamment dans le secteur sud-ouest où de nombreux recouvrements sont apparus. Les nombreux aménagements qu'a connu la place depuis la fin du XV^e s. ont profondément perturbé l'espace cémétériel et beaucoup de sépultures mises au jour sont incomplètes ou très perturbées.

Deux architectures funéraires ont pu être identifiées : des inhumations en pleine terre et un sarcophage en mortier. Les inhumations en pleine terre sont de simples fosses orientées et creusées dans un limon argileux beige orangé contenant des fragments de meulière centimétriques, où le corps est placé en décubitus dorsal, la tête au nord-ouest. Quelques blocs bruts ont pu participer aux aménagements internes de certaines sépultures (calage). Le sarcophage, très mal conservé, était en mortier blanc et en pierre de meulière brute et semblait de forme légèrement trapézoïdale en plan. L'analyse taphonomique indique que la décomposition des corps s'est effectuée en espace vide avec un colmatage sédimentaire plus ou moins différé de la fosse.

Le nombre minimum d'individus estimé provenant des 516 restes osseux humains prélevés durant cette opération s'élève à 27. En ce qui concerne la conservation des squelettes en position, l'indice est faible, 25,6 % en moyenne, et témoigne de profondes perturbations de la couche sépulcrale.

Le recrutement est large puisque 6 sujets immatures et 21 adultes se côtoient ; les hommes sont bien présents, et malgré l'absence d'une détermination

fiable (stature et gracilité), les femmes semblent représentées également. Les inhumations *ad sancto* seraient vraisemblablement privilégiées pour les individus les plus jeunes (83 % du corpus).

Le mobilier céramique présent dans le comblement des sépultures fouillées a permis de dater l'occupation de ce secteur du cimetière entre le VIII^e et le IX^e s. et entre le XI^e s. et le XIV^e s.

4. Des niveaux de circulation et des remblais de l'Époque moderne

Trois niveaux de circulation sont apparus entre 0,80 et 1,10 m sous le niveau de circulation actuel, en tranchée 2 et 3. Constitués de limon argileux gris brun, ils contenaient de nombreux éléments hétéroclites dont des blocs calcaires, de la terre rubéfiée (tranchée 2) ainsi que des os. Le mobilier céramique contenu est daté du début du XII^e jusqu'au XVII^e s., permettant de supposer que leur mise en place s'est déroulée à l'Époque moderne.

Plusieurs niveaux de remblai, observés entre 0,40 et 0,60 m sous le niveau de circulation actuel, contenaient de nombreux restes osseux et de bioturbations racinaires.

L'ensemble de ces remblais, présents dans les trois tranchées, regroupent 225 restes osseux humains (43 % du corpus total) provenant de 22 individus. Leur mise en place est datée entre le bas Moyen Âge et l'Époque moderne (XIV^e - XVII^e s.).

5. Des fondations de maçonneries arasées à l'Époque contemporaine

Des blocs calcaires bruts pluridécimétriques, liés à du sable beige orangé, semblent correspondre à un mur dérasé observé dans l'angle sud-est de la tranchée 2, à 0,26 m sous le niveau de circulation actuel. En l'absence de vestiges mobiliers, la géolocalisation et la position stratigraphique de cet élément bâti peut être assimilé à l'ancien mur de clôture nord du presbytère, encore en élévation à la fin du XVIII^e s.

De même, en tranchée 3, à 0,24 m sous le niveau de circulation actuel, un élément de maçonnerie composé de blocs calcaires bruts pluridécimétriques liés par un sable orangé induré, semble être un

vestige d'un mur dérasé dont la tranchée de fondation a recoupé les deux sépultures observées. Il pourrait correspondre à un bâtiment annexe à l'église *Saint-Saturnin*, détruit lors de l'aménagement de la place-parvis au XIX^e s.

Les opérations archéologiques et surveillances de travaux menées dans ce secteur témoignent d'un espace funéraire vaste qui s'étendrait sans nul doute sur la totalité de l'actuelle place de l'Église. Une question subsiste cependant, celle-là même posée par Pascal Verdin en 1991 : existe-t-il une continuité spatiale et sacrée entre les sépultures du cimetière paroissial mises au jour sous la place-parvis et celles découvertes en 1991 lors de la fouille de l'*institution Sainte-Marie* (fig. 80) ?

Les 54 sépultures mises au jour lors des travaux de l'Institution ont une concordance chronologique avec celles prélevées lors de cette opération. En effet, le mobilier céramique a été daté des XIII^e-XIV^e s. et l'on observe des similitudes dans le traitement des défunts et la gestion de l'espace funéraire (fosse en pleine terre, corps orienté, recrutement large). Sommes-nous en présence d'un seul et même espace cémétériel, comme pourrait le laisser entendre le toponyme de *Grand cymetière* apparaissant sur les plans terriers du XVII^e s. ? Ou bien sont-ce deux pôles d'inhumations cristallisés autour de la chapelle de l'Institution Sainte-Marie et de l'église *Saint-Saturnin* dont les limites se seraient confondues ?

L'emprise du projet de réfection des réseaux sous la place de l'église *Saint-Saturnin* d'Antony fait une longueur totale de 46,40 m environ. Il devrait impacter 27,90 m le long du mur ouest de l'église et 18,50 m le long de la voie d'accès menant à la maison paroissiale Sainte-Claire.

Au vu des résultats obtenus durant ce diagnostic, nous estimons qu'une soixantaine de sépultures sont susceptibles d'être présentes dans l'emprise des travaux concernés avec, bien évidemment, une plus forte concentration à proximité du bâtiment.

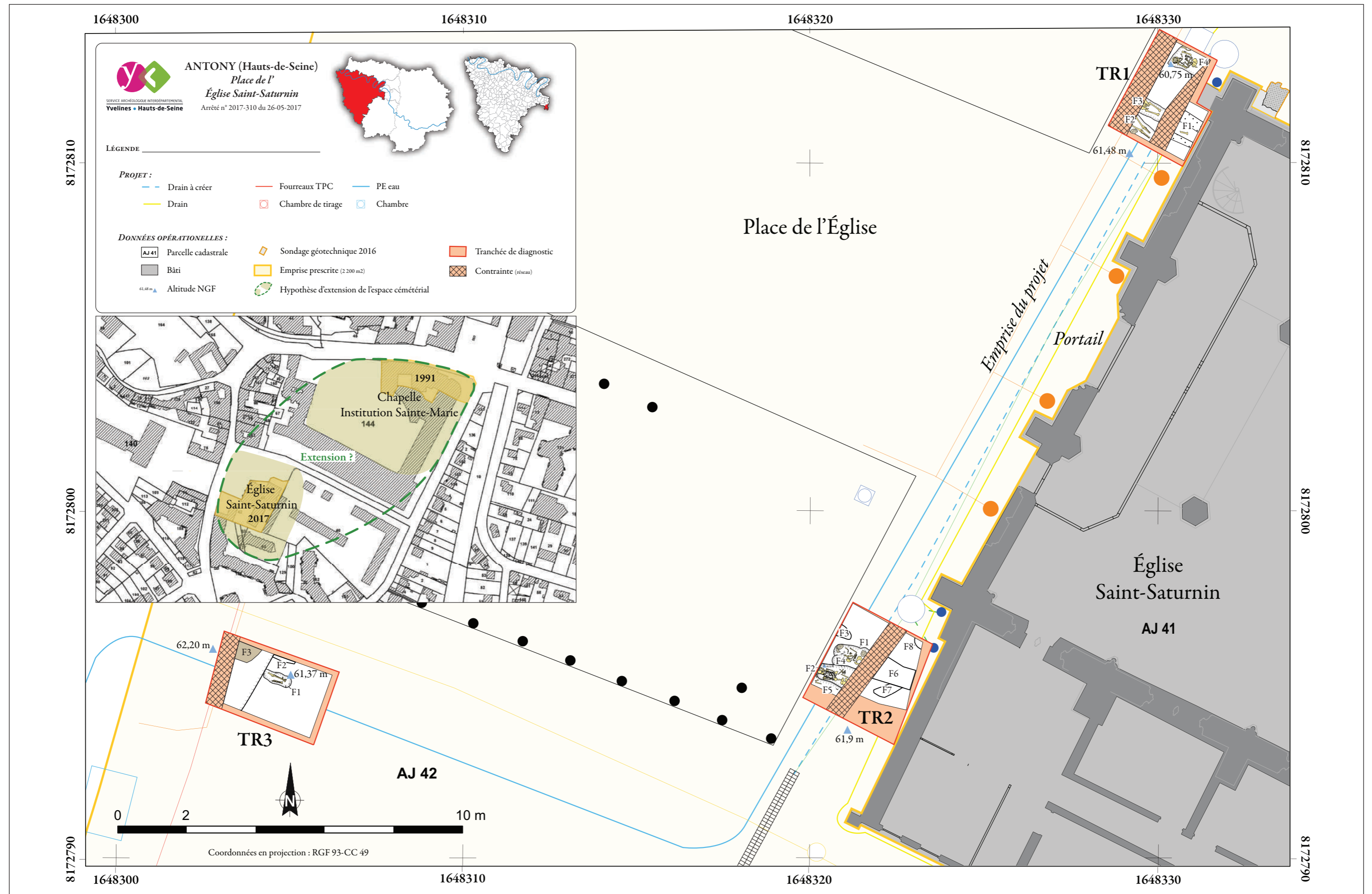


Fig. 80 : plan général des structures mises au jour durant le diagnostic archéologique et hypothèse d'extension du cimetière paroissial en direction de l'institution Sainte-Marie dont le toponyme est Grand Cymetière.

Bibliographie

- ABERT F. (2005) – *Carte archéologique de la Gaule, Hauts-de-Seine*, Gap, édition Académie des Inscriptions et Belles Lettres, 92 p.
- ANGER D. (1906-1909) – *Les dépendances de l'abbaye de Saint-Germain-des-Prés*, Histoire de l'abbaye de Saint-Germain-des-Prés, Collection : Archives de la France monastique, Paris, vve C. Poussielgue, tome 2 : Seine-et-Oise, 92 p.
- ARDAGNA, Y., BIZOT, B. (2006) – Conditionnement, restauration et stockage des restes humains ostéoarchéologiques : quelques éléments pratiques, in *Les collections ostéologiques humaines, Bulletin archéologique de Provence*, supplément 4, p. 113-120.
- AUBRY, M., MAFART, B., CHERID, A., PASQUALINI, M. (2001) – *Pathologie dentaire d'une population de moniales médiévales cisterciennes de l'abbaye Saint-Pierre de l'Almanarre (13°-14° s)*, in HADJOUIS D. et MAFART B., *Paléanthropologie et Paléopathologie osseuse*, Paris, Art'Com édit, 4, p. 138-151.
- BASS, W. M., (1995) – *Human Osteology : A laboratory and field manual of the human skeleton*. Missouri Archeological Society, Columbia, MO, 361 p.
- BELLO S., THOMANN A., RABINO MASSA E. et DUTOUR O. (2005) – Quantification de l'état de conservation des collections ostéoarchéologiques et ses champs d'application en anthropologie, in ARDAGNA Y., *L'homme et ses images : mesures, représentations, constructions*, Marseille, C. Tatilon Service, p. 21-36.
- BILLARD M. (2008) – Altérations articulaires, in CHARLIER P. (dir.), *Ostéo-archéologie et techniques médico-légales : tendances et perspectives. Pour un "manuel pratique de paléopathologie humaine"*, Collection Pathographie-2, Paris, éditions de Boccard, p. 367-382.
- BLAIZOT, F., CASTEX, D. (2005) – Du bon usage des outils anthropologiques à l'étude des sociétés historiques, in DUTOUR O., HUBLIN J.-J. et VANDERMEERSCH B., *Origine et évolution humaine*, Paris, Comité des Travaux historiques et scientifiques, p. 259-279.
- BOUVILLE C. (1978) – Problème de l'identification des dents humaines isolées, *Bull. Mém. Soc. Anthropol. Paris*, t. 5, série XIII, p. 249-259.
- BROTHWELL D. R. (1981) – *Digging up bones. The excavation, treatment and study of human skeletal remains*, London, British Museum (Natural History), Oxford University Press, 3^{ème} édition, 208 p.
- BRULET R., DELAGE R. et VILVORDER F. (2010) – *La céramique romaine en Gaule du nord. Dictionnaire de céramique : la vaisselle à large diffusion*, Turnhout, Brepols, 462 p.
- BRUZEK, J. (2002) – A method for visual determination of sex, using the human hip bone, *Am. J. Phys. Anthropol.*, 117, 2, p. 157-168.
- BURNON F. (1896) – *Antony : notice historique*, Montévrain Impr. typographique de l'École d'Alembert, p. 7-30.
- CHARLIER P. (2008) – Diagnostic des malformations humaines en paléopathologie, in CHARLIER P. (dir.), *Ostéo-archéologie et techniques médico-légales : tendances et perspectives. Pour un "manuel pratique de paléopathologie humaine"*, Collection Pathographie-2, Paris, éditions de Boccard, p. 501-526.
- CHARLIER P. (2008) – Les lésions traumatiques : dénomination, typologie, in CHARLIER P. (dir.), *Ostéo-archéologie et techniques médico-légales : tendances et perspectives. Pour un "manuel pratique de paléopathologie humaine"*, Collection Pathographie-2, Paris, éditions de Boccard, p. 293-300.
- CHARLIER P., TILOTTA E. (2008) – Méthodologie de la paléodontologie, in CHARLIER (P.) (dir.), *Ostéo-archéologie et techniques médico-légales : tendances et perspectives. Pour un "manuel pratique de paléopathologie humaine"*,

- Collection Pathographie-2, Paris, éditions de Boccard, p. 463-490.
- CHARON P. (2008) – Méthodologie du diagnostic rétrospectif, in CHARLIER P. (dir.), *Ostéo-archéologie et techniques médico-légales : tendances et perspectives. Pour un "manuel pratique de paléopathologie humaine"*, Collection Pathographie-2, Paris, éditions de Boccard, p. 29-44.
- CLEUVENOT E., HOUËT F. (1993) – Proposition de nouvelles équations d'estimation de la stature applicables pour un sexe indéterminé et basées sur les échantillons de Trotter et Gleser, *Bull. Mém. Soc. Anthropol. Paris*, 5, p. 245-255.
- CRUBÉZY É. (1988) – *Interactions entre facteurs bioculturels, pathologie et caractères discrets. Exemple d'une population médiévale : Canac (Aveyron)*, thèse de doctorat, université de Montpellier I, faculté de Médecine, 444 p.
- DAVID C. (2008) – *Sceaux, prospection géophysique par la méthode électrique*, Pantin, Institut national de recherches archéologiques préventives, 22 p.
- DE LA MOTTE-COLLAS M. (1957) – Les possessions territoriales de Saint-Germain-des-Prés du début du IX^e au début du XII^e siècle, *Revue d'histoire de l'Église de France*, tome 43, n°140, 1957, Mémorial du XIV^e centenaire de l'abbaye de Saint-Germain-des-Prés. Recueil de travaux sur le monastère et congrégation de Saint-Maur, p. 49-80.
- DE MECQUENEM C. (1999) – *Bourg-la-Reine, inventaire et étude des éléments lapidaires provenant de l'ancienne église paroissiale Saint-Gilles, étude lapidaire*, AFAN, Centre-Île-de-France, 19 p.
- DEROUELLE M. (2013) – *L'église Saint-Saturnin d'Antony. Synthèse historique et architecturale*, rapport d'étude commanditée par l'architecte du patrimoine T. de La Laurencie, 108 p.
- DOBNEY K., BROTHWELL D. R. (1987) – A method for evaluating the amount of dental calculus on teeth from archaeological site, *J. Archaeol. Sci.*, 4 (14), p. 343-351.
- DRWILA G. (1999) – *Bourg-la-Reine, 116 avenue du Général Leclerc, rapport de diagnostic archéologique*, AFAN, SRA Île-de-France, Saint-Denis, 1999.
- DRWILA G. (2000) – *Bourg-la-Reine, ZAC Centre-Ville Îlot Ouest, 116 avenue du Général Leclerc, Rapport d'évaluation archéologique*, AFAN, Centre-Île-de-France, 40 p.
- DRWILA G. (2005a) – *Bourg-la-Reine, ZAC de la Bièvre - 63, avenue du Général Leclerc - 6, rue de la Bièvre, rapport de diagnostic*, Pantin, Institut national de Recherches archéologiques préventives, 29 p.
- DRWILA G. (2005b) – *Bourg-la-Reine, 35 boulevard du Maréchal Joffre, rapport de diagnostic*, Pantin, Institut national de recherches archéologiques préventives, 19 p.
- DRWILA G. (2014) – *Châtenay-Malabry, "Secteur Europe/avenue de la Division Leclerc"*, Pantin, Institut national de recherches archéologiques préventives, 37 p.
- DRWILA G. (2015) – *Antony. Collège René Descartes. Rapport de diagnostic archéologique*, Pantin, Institut national de recherches archéologiques préventives, 43 p.
- DUTOUR O. (1989) – *Hommes fossiles du Sahara : peuplements holocènes du Mali septentrional*, Paris, Éditions du CNRS, 342 p.
- DUTOUR O., SIGNOLI M., PALFY GY. (1998) – How Can We Reconstruct the Epidemiology of Infectious Diseases in the Past ? In GREENBLATT C. and COHEN I., editors, *Archaeology of Emerging Diseases*, Philadelphia, Balaban Publishers, p. 1-23.
- ENJALVIN, ABBÉ (1852) - *Histoire d'Antony : ou recherches faites sur cette localité*, 1852, 143 p. Article en ligne : <http://gallica.bnf.fr/>

ark:/12148/bpt6k65035195

Seine, 71 p.

- FLINN R.M., CORBETT M.E. et SMITH A.J. (1987) – An unusual dental deposit. A taphonomic process ? *J. Archaeol. Sci.*, 14, p. 291-295.
- FONTAINE A. (1987) – *Antony, des origines à nos jours*, Connaissance d'Antony, Antony, 200 p.
- FOTI B., ARDAGNA Y., SIGNOLI M., et DUTOUR O. (2006) – Odontologie en ostéoarchéologie et paléopathologie humaine, in ARDAGNA Y. et al. (dir.), *Les collections ostéologiques humaines : gestion, valorisation et perspectives*, actes de la table ronde de Carry-le-Rouet (Bouches-du-Rhône, France), 25-26 avril 2003, supplément au *Bulletin archéologique de Provence*, 4, p. 157-160.
- GUICHARD P., MAFART B., ORTHLIEB J.-D. (2001) – Comparison of occlusion in medieval and present-day population in southeast France, *American Journal of Orthodontics and Dentofacial Orthopedics*, 120, p. 585-587.
- HADJOUIS D. (1999) – *Les populations médiévales du Val-de-Marne. Dysharmonies cranio-faciales, maladies bucco-dentaires et anomalies du développement dentaire au cours du Moyen Âge*, Collection Paléoanthropologie et paléopathologie osseuse, éditions Artcom', 172 p.
- HADJOUIS D., MAFART B. Y. (2001) – *La Paléodontologie. Analyses et méthodes d'étude*, Collection Paléoanthropologie et Paléopathologie osseuse, éditions Artcom', 182 p.
- HILLSON S. (2001) – Recording dental caries in archeological human remains, *Int. J. Osteoarcheol.*, n° 11, p. 249-289.
- HILLSON S. (1996) – *Dental Anthropology*, New York, Cambridge University Press, 372 p.
- JACOB C. (1973) – *Chantier archéologique de Châtenay-Malabry : pépinières Croux, parcelles cadastrales 154-153 : rapport provisoire*, Châtenay, Lycée E. Meunier.
- LABAT O., VIAND A. (2012) – *Bourg-la-Reine, 5-7, rue Jacques Margotti, rapport de diagnostic*, Nanterre, Conseil général des Hauts-de-
- LABAT O., VIAND A. (2013) – *Antony (92). 80-96, rue Adolphe Pajeaud. Rapport de diagnostic archéologique*, Nanterre, Conseil général des Hauts-de-Seine, 51 p.
- LEBEUF J. (1883-1893) – *Antony. Histoire de la ville et de tout le diocèse de Paris*, Féchoz et Letouzey Paris, tome troisième, p. 534-538.
Article en ligne : <http://gallica.bnf.fr/ark:/12148/bpt6k752543/f535>.
- LEFÈVRE A. (2006) – Les productions céramiques peintes et polies d'Île-de-France (VIII^e-X^e siècles), in HINCKER V. et HUSI P. (coord.), *La céramique du haut Moyen Âge dans le nord-ouest de l'Europe (V^e-X^e siècles). Bilan et perspectives dix ans après le colloque d'Outreau*, actes du colloque de Caen (18, 19 et 20 mars 2004), Condé-sur-Noireau, éditions NEA, p. 221-242.
- LEFÈVRE A. et MAHE N. (2004) – La céramique du haut Moyen Âge en Île-de-France à travers la fouille des habitats ruraux (VI^e – XI^e siècles). État de la question et perspectives de recherches, *Revue archéologique de Picardie*, n°3-4, p. 105-149.
- LEGRIEL J. (2012) – *Antony, 35 avenue de la Division Leclerc, 2-4, avenue du 11 Novembre. Rapport de diagnostic archéologique*, Pantin, Institut national de recherches archéologiques préventives, 38 p.
- MASSET C (1982) – Estimation de l'âge au décès par les sutures crâniennes, *Bulletins et Mémoires de la Société d'anthropologie de Paris*, XIII^e Série, Tome 9, fascicule 4, p. 342-344.
- MODAT J.-F. (2016) – *Île-de-France. Hauts-de-Seine. Antony. Église Saint-Saturnin. Surveillance de travaux*, Nanterre, Conseil général des Hauts-de-Seine, 44 p.
- MOORREES C. F. A., FANNING E. A. and HUNT JR. E. E. (1963) – Age variation of formation stages for ten permanent teeth, *J. dent. Res.*, vol. 42, p. 1490-1502.
- NICOURT J. (1986) – *Céramiques médiévales parisiennes : classification et typologie*, Ermont, J.P.G.F., 1986.

- OLIVIER G., TISSIER H. (1975) – Détermination de la stature et de la capacité crânienne, *Bull. Mém. Soc. Anthropol. Paris*, 13, (2-1), p. 1-11.
- PEIXOTO X. (2007) – *Châtenay-Malabry : 21 rue Henri Marrou : Grande voie des Vignes (Hauts-de-Seine), rapport de diagnostic, octobre 2007*, Pantin, Institut national de recherches archéologiques préventives.
- PERRACHON P. (1930) – *Anthoigny et sa tour d'argent : essai d'histoire locale*, Antony, chez l'auteur, 1930-1987, 9 vol., 1034 p.
- RAVOIRE F. (2006) – Typologie raisonnée des céramiques de la fin du Moyen Âge et du début de l'Époque moderne provenant du Beauvaisis, de Paris et d'ailleurs retrouvées sur les sites de consommation parisiens et franciliens, *Revue archéologique de Picardie*, n°3/4, p.105-202.
- RAVOIRE F. (2009) – Les productions céramiques d'Île-de-France à la fin du Moyen Âge (XIV^e – XVI^e siècles), modalités et formes d'évolution, in RAVOIRE F. et DIETRICH A. (dir.), *La cuisine et la table dans la France de la fin du Moyen Âge*, Caen, CRAHM, p. 249-269.
- RENEL F. (2010) – *Châtenay-Malabry, 27, rue des Vallées*, Pantin, Institut national de recherches archéologiques préventives, 48 p.
- ROBLIN M. (1971) – *Le terroir de Paris aux époques gallo-romaine et franque. Peuplement et défrichement dans la Civitas des Parisii (Seine, Seine-et-Oise)*, Paris, Picard éditions, 491 p.
- ROYER A. (1954) – *Ville d'Antony, Seine : historique d'une commune de banlieue*, Antony, 32 p.
- SCHAEFER M., BLACK S., SCHEUER L. (2009) – *Juvenile osteology : a laboratory and field manual*, Amsterdam, Academic Press, Elsevier Science, 384 p.
- SCHMITT A. (2005) – Une nouvelle méthode pour estimer l'âge au décès des adultes à partir de la surface sacro-pelvienne iliaque, *Bull. Mém. Soc. Anthropol. Paris*, 17 (1-2), p. 89-101.
- SCHMITT A., GEORGES P. (2008) – Quelle démarche suivre pour estimer l'âge au décès à partir du squelette ?, in CHARLIER P. (dir.), *Ostéo-archéologie et techniques médico-légales. Tendances et perspectives. Pour un manuel pratique de paléopathologie humaine*, Paris, De Boccard, Collection de pathographie-2, p. 269-280.
- SMITH B. H. (1991) – Standards of human tooth formation and dental age assessment, in KELLEY M. A. and LARSEN C. S. (eds.), *Advances in Dental Anthropology*, New York, Wiley-Liss, p. 143-168.
- TALIN D'EYZAC S. (1997) – *Sceaux, Secteur de l'église – parc de Sceaux – fouille du petit bassin*, DFS, Direction générale des services techniques : direction des espaces verts, Hauts-de-Seine, 22 p.
- TALIN D'EYZAC S. (2006) – *Bourg-la-Reine, ZAC de la Bièvre - Îlots 2 et 3 - avenue du Général Leclerc, rapport de diagnostic*, Pantin, Institut national de recherches archéologiques préventives, 41 p.
- TROTTER M. (1970) – Estimation of stature from intact long limb bones, in STEWART T.D. (ed.), *Personal Identification in Mass Disasters*, Washington, National Museum of Natural History, p. 71-84.
- TROTTER M., GLESER G. C. (1952) – Estimation of stature from long bones of American Whites and Negroes, *Am J Phys Anthropol*, 10, p. 463-514.
- UBELAKER D. H. (1989b) – *Human skeletal remain. Excavations, analysis, Interpretation*, Washington DC, Smithsonian Institut Press, IInd édition, 172 p.
- VERDIN P. (1991) – *Antony (Hauts-de-Seine). Institution Sainte-Marie (2, rue de l'Abbaye). Fouille de sauvetage*, Vincennes, Ministère de la Culture, de la Communication et des Grands Travaux, 14 p.
- VIAND A. (2011) – *Châtenay-Malabry (92) : 26-30, rue Henri Marrou, rapport de diagnostic archéologique*, Nanterre, Service archéologique départemental des Hauts-de-Seine.
- VIAND A. et LABAT O. (2010a) – *Antony (92). Parc de Tourvoie. 4, avenue du Parc des Sports. Rapport de diagnostic archéologique*, Nanterre,

Conseil général des Hauts-de-Seine, 37 p.

VIAND A., LABAT O. (2010b) – *Antony (92). Croix de Berny, avenue du docteur Ténine, avenue Raymond Aron. Rapport de diagnostic archéologique*, Nanterre, Conseil général des Hauts-de-Seine, 47 p.

VIRÉ M. (2015) – *Sceaux. Église Saint Jean-Baptiste, Bas-côté nord*, rapport de diagnostic, Pantin, Institut national de recherches archéologiques préventives, 80 p.

WOELFEL J. B., SCHEID R. C. (2007) – *Anatomie dentaire. Application à la pratique de la chirurgie dentaire*, Paris, éditions Maloine, 6^e édition traduite en français, 416 p.

Table des figures

- Fig. 1** (p. 15) : localisation de la commune d'Antony en Île-de-France sur fond de modèle numérique de terrain (SRTM 4.1®).
- Fig. 2** (p. 17) : localisation du diagnostic sur un extrait de la carte géologique harmonisée ©BRGM 2004, sur fond de modèle numérique d'ombrage, d'après le RGE ALTI® version 2.0.
- Fig. 3** (p. 19) : topographie des environs de l'emprise diagnostiquée et profil altimétrique du coteau nord de la vallée de la Bièvre (©Institut national de l'information géographique et forestière).
- Fig. 4** (p. 21) : carte de répartition des sites de l'Antiquité sur la commune d'Antony et hypothèses de tracé des voies antiques (d'après **Roblin, 1971** et **Fontaine, 1987**), (©Établissement public interdépartemental Yvelines/Hauts-de-Seine, carte archéologique, 2017).
- Fig. 5** (p. 22) : carte de répartition des opérations archéologiques réalisées sur la commune d'Antony et des sites du Moyen Âge et de l'Époque moderne dans les alentours de l'emprise diagnostiquée (©Établissement public interdépartemental Yvelines/Hauts-de-Seine, carte archéologique, 2017).
- Fig. 6** (p. 24) : emprise des travaux et opérations archéologiques réalisées près de l'église Saint-Saturnin d'Antony (©Établissement public interdépartemental Yvelines/Hauts-de-Seine, carte archéologique, 2017).
- Fig. 7** (p. 25) : vues des restes osseux humains mis au jour lors des travaux réalisés près de l'église *Saint-Saturnin* d'Antony en 1990 (clichés : ville d'Antony, 15 mai 1990).
- Fig. 8** (p. 25) : mobilier céramique mis au jour lors de la fouille de sauvetage réalisée en 1991 par l'AFAN à l'*institution Sainte-Marie*, sise au 2, rue de l'Abbaye à Antony (**Verdin, 1991**).
- Fig. 9** (p. 26) : sépultures à inhumation en pleine terre découvertes lors de la fouille de sauvetage réalisée en 1991 par l'AFAN à l'*institution Sainte-Marie* sise au 2, rue de l'abbaye à Antony (**Verdin, 1991**).
- Fig. 10** (p. 27) : sarcophage maçonné au fond du sondage (à gauche) contenant le squelette d'un individu adulte (à droite), mis au jour lors de la surveillance de travaux réalisée en 2016 à la demande de la ville d'Antony (**Modat, 2016**).
- Fig. 11** (p. 28) : découpage de l'archidiaconé de Josas pour le secteur d'Antony, d'après Nicolas Sanson (1600-1667), auteur, et Abraham Peyrounin (1620-1666), graveur. Source Gallica : <http://gallica.bnf.fr/ark:/12148/btv1b8592367m/f1.item.r=doyenn%C3%A9%20paris.zoom>.
- Fig. 12** (p. 33) : plan général de la zone d'intervention.
- Fig. 13** (p. 32) : vue des espaces diagnostiqués sécurisés à l'aide des clôtures opaques mobiles.
- Fig. 14** (p. 35) : eau pluviale stagnante dans la tranchée 1.
- Fig. 15** (p. 37) : décompte du mobilier céramique par période chronologique.
- Fig. 16** (p. 38) : représentation du mobilier céramique par période chronologique (exprimée en %).
- Fig. 17** (p. 39) : décompte total du mobilier céramique.
- Fig. 18** (p. 38) : dessin du mobilier céramique de l'Antiquité.
- Fig. 19** (p. 41) : dessin du mobilier céramique du Moyen Âge.
- Fig. 20** (p. 40) : col de marmite décoré, daté du milieu du XIII^e - début XIV^e s. (tesson ASS 3025.7).
- Fig. 21** (p. 42) : dé à coudre ASS.4004.1 découvert en tranchée 3.
- Fig. 22** (p. 43) : plan des structures mises au jour en tranchée 1 et sarcophage maçonné découvert lors du sondage géotechnique.
- Fig. 23** (p. 45) : vue oblique de la tranchée 1.
- Fig. 24** (p. 46) : relevé stratigraphique et vue oblique de la berme sud de la tranchée 1.
- Fig. 25** (p. 47) : vue oblique de la sépulture en sarcophage Fait 1, tranchée 1.
- Fig. 26** (p. 48) : vue zénithale de la sépulture en sarcophage Fait 1, tranchée 1.
- Fig. 27** (p. 49) : vue zénithale des sépultures Faits 2 et 3 en tranchée 1.
- Fig. 28** (p. 50) : relevé en plan et en coupe des sépultures Faits 2 et 3 en tranchée 1.
- Fig. 29** (p. 51) : vue zénithale de la sépulture Fait 4 en tranchée 1.
- Fig. 30** (p. 52) : relevé en plan et en coupe de la sépulture Fait 4 en tranchée 1.
- Fig. 31** (p. 53) : diagramme stratigraphique de la tranchée 1.
- Fig. 32** (p. 55) : plan des structures mises au jour en tranchée 2.
- Fig. 33** (p. 54) : relevé stratigraphique et vue oblique de la berme sud de la tranchée 2.
- Fig. 34** (p. 57) : relevé stratigraphique et vue oblique de la berme ouest de la tranchée 2.
- Fig. 35** (p. 58) : vue zénithale de la sépulture Fait 1 en tranchée 2.
- Fig. 36** (p. 58) : relevé en coupe de la sépulture Fait 1 en tranchée 2.
- Fig. 37** (p. 59) : vue oblique de la sépulture Fait 1 en tranchée 2.
- Fig. 38** (p. 60) : vue zénithale de la sépulture Fait 2 en tranchée 2.
- Fig. 39** (p. 61) : relevé en plan et stratigraphique des sépultures Faits 1 à 5 en tranchée 2.
- Fig. 40** (p. 62) : vue zénithale de la sépulture Fait 3 en tranchée 2.

- Fig. 41** (p. 63) : relevé en coupe et vue zénithale de la sépulture Fait 6 en tranchée 2.
- Fig. 42** (p. 65) : vue en coupe du mur arasé en tranchée 2 et plan du village à la fin du XVIII^e s.
- Fig. 43** (p. 67) : vue en coupe et relevé stratigraphique de la coupe nord en tranchée 2.
- Fig. 44** (p. 68) : diagramme stratigraphique de la tranchée 2.
- Fig. 45** (p. 69) : plan des structures mises au jour en tranchée 3.
- Fig. 46** (p. 66) : vue oblique de la tranchée 3.
- Fig. 47** (p. 70) : relevé stratigraphique et vue oblique de la coupe nord de la tranchée 3.
- Fig. 48** (p. 72) : relevés et vue oblique de la sépulture Fait 1 de la tranchée 3.
- Fig. 49** (p. 73) : relevé stratigraphique et vue de la coupe sud de la tranchée 3.
- Fig. 50** (p. 75) : diagramme stratigraphique de la tranchée 3.
- Fig. 51** (p. 76) : nombre minimum d'individus collectés durant le diagnostic archéologique.
- Fig. 52** (p. 78) : caractères morphologiques de l'os coxal retenus pour l'estimation de l'âge au décès (d'après **Schmitt, 2005**).
- Fig. 53** (p. 79) : intervalle de classe d'âge au décès d'après les cotations obtenues (d'après **Schmitt, 2005**).
- Fig. 54** (p. 78) : caractères morphoscopiques de l'os coxal retenus pour la diagnose sexuelle (d'après **Bruzek, 2002**).
- Fig. 55** (p. 80) : stades d'usure dentaire d'après Brothwell (1981).
- Fig. 56** (p. 83) : fiche de conservation anatomique de la sépulture Fait 2 en tranchée 1.
- Fig. 57** (p. 82) : estimation du sexe des sépultures Faits 3 et 4 de la tranchée 1, d'après la morphologie des os coxaux.
- Fig. 58** (p. 84) : classe d'âge des sujets inhumés dans les sépultures Faits 3 et 4 en tranchée 1.
- Fig. 59** (p. 85) : fiche de conservation anatomique de la sépulture Fait 3 en tranchée 1.
- Fig. 60** (p. 86) : fiche de conservation anatomique de la sépulture Fait 4 en tranchée 1.
- Fig. 61** (p. 84) : tableau de conservation du matériel dentaire (ICMD) de la sépulture Fait 4 en tranchée 1.
- Fig. 62** (p. 84) : ostéophytes marginaux des plateaux vertébraux du sujet masculin de la sépulture Fait 4 en tranchée 1.
- Fig. 63** (p. 87) : stades d'usure dentaire de la sépulture Fait 4 en tranchée 1.
- Fig. 64** (p. 88) : altération pseudo-pathologique de la mastoïde droite de la sépulture Fait 4 en tranchée 1.
- Fig. 65** (p. 88) : foramen sternal et importante arthrose articulaire entre la 1^{ère} côte droite et le manubrium sternal (flèches blanches) du sujet de la sépulture Fait 4 en tranchée 1.
- Fig. 66** (p. 89) : *humerus varus* observé sur l'humérus gauche du sujet de la sépulture Fait 4 en tranchée 1.
- Fig. 67** (p. 89) : sacralisation de la cinquième vertèbre lombaire du sujet de la sépulture Fait 4 en tranchée 1.
- Fig. 68** (p. 91) : fiche de conservation anatomique de la sépulture Fait 2 en tranchée 2.
- Fig. 69** (p. 90) : tableau de conservation du matériel dentaire (ICMD) de la sépulture Fait 2 en tranchée 2.
- Fig. 70** (p. 92) : léger dépôt de tartre sur les faces mésiales des dents permanentes (flèches blanches) du sujet immature de la sépulture Fait 2 en tranchée 2.
- Fig. 71** (p. 93) : lésion carieuse sur la face mésiale de l'incisive centrale supérieure gauche du sujet immature de la sépulture Fait 2 en tranchée 2.
- Fig. 72** (p. 92) : stade d'usure dentaire des dents permanentes du sujet immature de la sépulture Fait 2 en tranchée 2.
- Fig. 73** (p. 93) : hypoplasies linéaires observables sur le bloc incisivo-canin inférieur du sujet immature de la sépulture Fait 2 en tranchée 2.
- Fig. 74** (p. 95) : fiche de conservation anatomique de la sépulture Fait 2 en tranchée 2.
- Fig. 75** (p. 94) : arthrose de conservation anatomique de la sépulture Fait 2 en tranchée 2.
- Fig. 76** (p. 96) : indice de conservation des individus conservés en position primaire dans les tranchées du diagnostic.
- Fig. 77** (p. 97) : répartition des restes osseux humains par nombre de restes et par NMI dans chaque tranchée de diagnostic.
- Fig. 78** (p. 98) : répartition par classe d'âge des sujets immatures et adultes.
- Fig. 79** (p. 98) : estimation de la stature à partir des os longs conservés.
- Fig. 80** (p. 101) : plan général des structures mises au jour durant le diagnostic archéologique et hypothèse d'extension du cimetière paroissial en direction de l'*institution Sainte-Marie* dont le toponyme est *Grand Cymetière*.

A - Inventaire des faits

Tr.	Fait	Prof. d'apparition (m)	Description	Long. (m)	Larg. (m)	Prof. / ép. (m)	Orientation	Fouille	Composantes stratigraphiques	Plan	Coupe	Photo	Mobilier	Datation du fait
1	1	0,29	Sépulture avec sarcophage	0,58	0,72	0,17	nord-ouest/sud-est	Oui	2009 ; 2010 ; 2011	?	-	?	os humain	Médiévale
1	2	0,61	Sépulture	0,66	0,48	0,1	nord/sud	Oui	2012 ; 2014 ; 2015	?	-	?	os humain	Médiévale
1	3	0,56	Sépulture	0,64	0,45	0,15	nord-ouest/sud-est	Oui	2016 ; 2017 ; 2018	?	-	?	os humain	Médiévale
1	4	0,7	Sépulture	0,8	0,45	0,13	nord-ouest/sud-est	Oui	2019 ; 2020 ; 2021	?	-	?	os humain	Médiévale
1	5	0,13	Réseau d'eaux pluviales	-	0,5	0,68	nord-est/sud-ouest	-	2005 ; 2006	?	-	?		-
1	6	0,16	Réseau électrique	-	0,5	0,38	nord-est/sud-ouest	-	2007 ; 2008	?	-	?		-
2	1	1	Sépulture	0,8	0,4	0,12	est/ouest	Oui	3012 ; 3013 ; 3018	-	?	?	os humain	Indéterminée
2	2	1,08	Sépulture	0,9	0,5	0,16	est/ouest	Oui	3014 ; 3015 ; 3019	-	?	?	os humain	Indéterminée
2	3	1,02	Sépulture	0,44	0,39	-	nord-est/sud-ouest	-	3016 ; 3017 ; 3020	-	-	?		Indéterminée
2	4	1,1	Sépulture	0,64	0,4	0,19	est/ouest	25%	3021 ; 3022 ; 3023	-	?	?	os humain	Indéterminée
2	5	1,19	Sépulture	0,9	0,45	-	est/ouest	25%	3024 ; 3025	-	-	?	os humain	Indéterminée
2	6	1,15	Sépulture	1,1	0,74	-	est/ouest	-	3026 ; 3027	-	-	?		Indéterminée
2	7	1,15	Sépulture	0,8	0,34	-	est/ouest	-	3028 ; 3029	-	-	?		Indéterminée
2	8	1,15	Sépulture	0,16	0,13	-	Indéterminée	-	3030 ; 3031 ; 3035	-	-	?		Indéterminée
2	9	0,28	Canalisation eaux pluviales	-	1,2	0,6	nord-est/sud-ouest	-	3039 ; 3040 ; 3038	-	-	?		Contemporaine
2	10	0,26	Réseau ancien ou caniveau	-	0,5	0,38	-	-	3042 ; 3041	-	?	?		-
2	11	0,26	Mur	-	-	0,3	-	-	3005 ; 3008	-	?	?		-
3	1	0,88	Sépulture	0,81	0,4	0,1	ouest/est	Oui	4011 ; 4012 ; 4022	-	-	?	os humain	-
3	2	0,75	Sépulture	0,65	-	0,13	ouest/est	-	4017 ; 4018 ; 4019	-	?	?		-
3	3	0,24	Maçonnerie	0,45	0,6	0,56	-	-	4013 ; 4014 ; 4015 ; 4016	-	?	?		-

B - Inventaire des US

Tr.	Fait	US	Nature	Type d'US	Sous	Sur	=	Interprétation	Epaiss. (cm)	Prof. App. (cm)	Dim. (cm)	Description et sédiment	Artefacts	Recoupé par	Recoupe	Rempli par	Remplit	Datation
1	-	2000	Niveau de circulation	Négatif	-	2001	3000 4000	Niveau de circulation sur le parvis de l'église	-	-	-	-	-	-	-	-	-	Contemporaine
1	-	2001	Pavés	Couche	2000	2002	3001 4001	Aménagement du niveau de circulation	10-14	0	-	Pavés en calcaire gris hourdés de sable grossier beige.	-	-	-	-	-	Contemporaine
1	-	2002	Dalle de béton	Couche	2001	2003	3002 4002	Apprêt du niveau de circulation, pour installation des pavés	10	10	-	Béton à la chaux gris clair.	-	-	-	-	-	Contemporaine
1	-	2003	Sable	Couche	2002	2004	3003 4003	Nivellement pour l'installation du niveau de circulation	22	24	-	Sable grossier brun-beige moyen, meuble mais tassé, homogène, avec de nombreux gravillons calcaires.	-	Fait 5 (US 2005)	-	-	-	Contemporaine

Tr.	Fait	US	Nature	Type d'US	Sous	Sur	=	Interprétation	Epaiss. (cm)	Prof. App. (cm)	Dim. (cm)	Description et sédiment	Artefacts	Recoupé par	Recoupe	Rempli par	Remplit	Datation
1	-	2004	Niveau remanié - terre végétale	Couche	2003	2014 2012 2013	-	Niveau de remblais sous le parvis XIXe-XXe siècles	25	38	-	Limon très argileux gris-brun foncé, peu compact et très hétérogène, avec quelques blocs et pierres en calcaire et grès (centimétriques), des petits charbons de bois, des fragments de TCA, des os humains (pas en place) et nombreuses bioturbations racinaires.	Os humain TCA (tuile, tuile ronde) Métal Céramique Charbons de bois Mortier Blocs de grès	Fait 5 (US 2005) Fait 6 (US 2007)	-	-	-	Médiévale/Mode rne
1	5	2005	Creusement	Négatif	2006	2013	-	Trachée du réseau d'évacuation des eaux pluviales	50-68	13	L. 45-50	Réseau orienté nord-est/sud-ouest.	-	-	Fait 1 (US 2009) Fait 2 (US 2012) Fait 3 (US 2016) Fait 4 (US 2019)	2006	-	Contemporaine

T.r.	Fait	US	Nature	Type d'US	Sous	Sur	=	Interprétation	Epaiss. (cm)	Prof. App. (cm)	Dim. (cm)	Description et sédiment	Artefacts	Recoupé par	Recoupe	Rempli par	Remplit	Datation
1	5	2006	Comblement	Couche	2002	2005	-	Comblement de la tranchée du réseau d'évacuation des eaux pluviales	50	20	1. 50	Limons argileux gris-brun foncé, peu compact et très hétérogène, avec des poches de limon argileux brun orangé, quelques inclusions de blocs et pierres calcaires et grès (centimétriques), des petits charbons de bois et de nombreuses bioturbations racinaires.	-	-	Fait 1 (US 2009) Fait 2 (US 2012) Fait 3 (US 2016) Fait 4 (US 2019)	-	2005	Contemporaine
1	6	2007	Creusement	Négatif	2008	2013 2004	-	Tranchée du réseau électrique	38	16	1. 45-50	-	-	-	Fait 2 (US 2012) Fait 3 (US 2016) Fait 4 (US 2019)	-	2008	Contemporaine

Tr.	Fait	US	Nature	Type d'US	Sous	Sur	=	Interprétation	Epais. (cm)	Prof. App. (cm)	Dim. (cm)	Description et sédiment	Artefacts	Recoupé par	Recoupe	Rempli par	Remplit	Datation
1	6	2008	Comblement	Couche	2002	2007	-	Comblement de la tranchée du réseau électrique	38	15	-	Sable beige-orange, meuble et homogène.	-	-	Fait 2 (US 2012) Fait 3 (US 2016) Fait 4 (US 2019)	-	2007	Contemporaine
1	1	2009	Sarcophage	Couche	2003 2010 2011	2004	-	Sarcophage de mortier et blocs de meulière de forme légèrement trapézoïdale, orienté sud-est/nord-ouest	17	29	58 x 72	Mortier et blocs de meulière blanc à rose (L 18 ; l 10 ; H 9 cm), formants deux parois verticales (13 cm) s'appuyant contre le creusement de la fosse, avec un fond plat peu épais, orienté nord-ouest/sud-est, nombreuses bioturbations racinaires.	-	Fait 5 (US 2005)	-	2010 2011 (os)	-	Médiévale

Tr.	Fait	US	Nature	Type d'US	Sous	Sur	=	Interprétation	Epais. (cm)	Prof. App. (cm)	Dim. (cm)	Description et sédiment	Artefacts	Recoupé par	Recoupe	Rempli par	Remplit	Datation
1	1	2010	Comblement	Couche	2003	2009	Synchrone avec US 2011	Comblement à l'intérieur du sarcophage	17	29	-	Limons gris à gris clair, meuble et hétérogène, avec des inclusions de nombreuses éléments calcaires et de plâtre, quelques gravillons et graviers calcaires et rares poches beige sableuses.	Os humain (2011) Céramique	Fait 5 (US 2005)	-	-	2009	Médiévale
1	1	2011	Squelette	Couche	2003	2009	Synchrone avec US 2010	Dépôt funéraire ?	-	-	-	Os humain en vrac, squelette déplacé ?	Os humain TCA (tuile) Céramique	Fait 5 (US 2005)	-	-	2009	Médiévale
1	2	2012	Creusement	Négatif	2004 2015 2005 2007	2013	-	Creusement de la fosse sépulcrale	10	51	66 x 48	Fosse oblongue, orientée N/S.	-	Fait 5 (US 2005) Fait 6 (US 2007)	-	2014 2015 (os)	-	Médiévale/Mode rne?

Tr.	Fait	US	Nature	Type d'US	Sous	Sur	=	Interprétation	Epaiss. (cm)	Prof. App. (cm)	Dim. (cm)	Description et sédiment	Artefacts	Recoupé par	Recoupe	Rempli par	Remplit	Datation	
1	-	2013	Encaissement	Couche	2012 2004	-	-	Niveau d'installation des sépultures	-	54	-	Limon beige orangé, peu compact et homogène.	-	Fait 2 (US 2012) Fait 3 (US 2016) Fait 4 (US 2019) Fait 5 (US 2005) Fait 6 (US 2007)	-	-	-	-	-
1	2	2014	Comblement	Couche	2004 2005 2007	2012	-	Comblement de la sépulture, contenant le squelette 2015.	10	61	-	Limon argileux brun-gris, meuble et homogène, avec des inclusions de gravillons calcaires, des fragments de mortier (sarcophage ?) et de nombreuses bioturbations racinaires.	Os humain (2015)	Fait 5 (US 2005) Fait 6 (US 2007)	-	2015 (os)	2024	Médiévale / Moderne ?	

Tr.	Fait	US	Nature	Type d'US	Sous	Sur	=	Interprétation	Epais. (cm)	Prof. App. (cm)	Dim. (cm)	Description et sédiment	Artefacts	Recoupé par	Recoupe	Rempli par	Remplit	Datation
1	2	2015	Squelette	Couche	2014	2012	-	Squelette de la sépulture 2012 (Fait 2)	-	-	-	Membres inférieurs en décubitus dorsal, coupés par les réseaux (Faits 5 et 6).	Os humain	Fait 5 (US 2005) Fait 6 (US 2007)	-	-	2012	Médiévale/Modérne?
1	3	2016	Creusement	Négatif	2005 2007 2004 2018	2013	-	Creusement de la fosse sépulcrale	15	56	64 x 45	Fosse oblongue à parois verticales et fond plat, orientée NO/SE.	-	Fait 5 (US 2005) Fait 6 (US 2007)	-	2017 2018 (os)	-	Médiévale
1	3	2017	Comblement	Couche	2004 2005 2007	2016	-	Comblement de la sépulture 2016, contenant le squelette 2018	15	56	-	Limons argileux gris foncé, meuble et homogène, avec des poches de limon beige orangé, des inclusions de graviers et gravillons calcaires et nombreuses bioturbations racinaires.	Os humain (2018) Céramique	Fait 5 (US 2005) Fait 6 (US 2007)	-	2018 (os)	2016	Médiévale

Tr.	Fait	US	Nature	Type d'US	Sous	Sur	=	Interprétation	Epais. (cm)	Prof. App. (cm)	Dim. (cm)	Description et sédiment	Artefacts	Recoupé par	Recoupe	Rempli par	Remplit	Datation
1	3	2018	Squelette	Couche	2017	2016	-	Squelette de la sépulture 2016 (Fait 3).	-	-	-	Membres inférieurs, position en décubitus dorsal, recoupés par les réseaux (Faits 5 et 6).	Os humain Céramique	-	-	-	2016	Médiévale
1	4	2019	Creusement	Négatif	2022	2013	-	Creusement de la fosse sépulcrale	13	70 (crâne)	80 x 45	Fosse orienté NO/SE	-	Fait 5 (US 2005) Fait 6 (US 2007)	-	2020 2021 (os)	-	Médiévale/Mode rne?
1	4	2020	Comblement	Couche	2005 2007 2004	2021	-	Comblement de la sépulture	13	70	-	Limon argileux gris foncé, peu compact et homogène, avec de rares gravillons et pierres calcaires, silex et de nombreuses bioturbations racinaires.	Os humain (2021)	Fait 5 (US 2005) Fait 6 (US 2007)	-	2021 (os)	2019	Médiévale/Mode rne?

Tr.	Fait	US	Nature	Type d'US	Sous	Sur	=	Interprétation	Epaiss. (cm)	Prof. App. (cm)	Dim. (cm)	Description et sédiment	Artefacts	Recoupé par	Recoupe	Rempli par	Remplit	Datation
1	4	2021	Squelette	Couche	2020	2019	-	Squelette de la sépulture 2019 (Fait 4)	-	-	-	Squelette en décubitus dorsal avec les bras croisés déposés sur le torse, manques les membres inférieurs.	Os humain	Fait 5 (US 2005) Fait 6 (US 2007)	-	-	2019	Médiévale/Mode rne?
1	-	2022	Couche géologique	Couche	2013	-	-	Niveau géologique	-	104	-	Limon beige clair (carbonaté ?), compact et hétérogène, avec quelques petites poches de limon brun et de très rares inclusions de charbons de bois (bioturbations racinaires).	-	-	-	-	-	-
2	-	3000	Niveau de circulation	Couche	-	3001	2000 4000	Niveau de circulation sur le parvis de l'église	-	-	-	-	-	-	-	-	-	Contemporaine
2	-	3001	Pavés	Couche	3000	3002	2001 4001	Aménagement du niveau de circulation	8 - 14	0	-	Pavés en calcaire gris hourdés de sable grossier beige.	-	-	-	-	-	Contemporaine

Tr.	Fait	US	Nature	Type d'US	Sous	Sur	=	Interprétation	Epaiss. (cm)	Prof. App. (cm)	Dim. (cm)	Description et sédiment	Artefacts	Recoupé par	Recoupe	Rempli par	Remplit	Datation
2	-	3002	Dalle de béton	Couche	3001	3003	2002 4002	Apprêt du niveau de circulation, pour installation des pavés	4	10	-	Béton à la chaux gris clair.	-	-	-	-	-	Contemporaine
2	-	3003	Sable	Couche	3002 3034	3004	2003 4003	Nivellement pour l'installation du niveau de circulation	16	14	-	Sable grossier brun-beige moyen, meuble mais tassé, homogène, avec de nombreux gravillons calcaires.	-	-	-	-	-	Contemporaine
2	-	3004	Remblai de démolition	Couche	3003	3006	-	Terre végétale ou niveau de jardin	24	26	-	Limons sableux gris foncé, peu compact et hétérogène, avec des poches de limon beige clair à brun, de nombreuses inclusions de graviers et gravillons, rares petites pierres calcaires et quelques charbons de bois.	TCA (tuile, carreau de pavement) Ardoise Bloc calcaire Plâtre Céramique Os humain	-	-	-	Médiévale/Mode rne ?	

Tr.	Fait	US	Nature	Type d'US	Sous	Sur	=	Interprétation	Epais. (cm)	Prof. App. (cm)	Dim. (cm)	Description et sédiment	Artefacts	Recoupé par	Recoupe	Rempli par	Remplit	Datation
2	11	3005	Empièrment	Couche	3036	3008	-	Mur ou muret pour clôturer l'ancien cimetière ?	30	26	-	Blocs calcaires pluri décimétriques brut, lié à du sable beige orangé.	-	Fait 10 (US 3041)	3006	-	3008	Indéterminée
2	-	3006	Terre végétale, remblai	Couche	3036 3008 3004	3010 3007	-	Couche de remblai	46	28	-	Limon très argileux brun foncé, peu compact et hétérogène, avec beaucoup de charbons de bois, quelques nodules calcaires et des bioturbations racinaires.	Os humain	Fait 9 (US 3038) Fait 10 (US 3041) Fait 11 (US 3008) US 3009	-	-	-	Indéterminée

Tr.	Fait	US	Nature	Type d'US	Sous	Sur	=	Interprétation	Epaiss. (cm)	Prof. App. (cm)	Dim. (cm)	Description et sédiment	Artefacts	Recoupé par	Recoupe	Rempli par	Remplit	Datation
2	-	3007	Comblement ou remblai	Couche	3010 3006 3040 3043	3011 3032 3017 3013 3015 3025	-	Niveau de circulation	24	70	-	Limons argileux gris foncé, très compact et hétérogène, avec des fragments de mortier de chaux, des éclats de silex, des fragments de TCA, des blocs calcaires ou grès et des petits nodules calcaires.	Céramique TCA (tuile, tomette) Os humain	-	-	-	-	Médiévale/Mode rne ?
2	11	3008	Creusement	Négatif	3005	3006	-	Tranchée de fondation du mur	-	56	-	Creusement à parois verticales et fonds plat.	-	Fait 9 (US 3038) Fait 10 (US 3041)	-	3005	-	Indéterminée
2	-	3009	Réduction	Couche	3037	3007	-	Squelette en vrac, situé dans l'US 3006	22	28	22 x 436	Poche de mobilier située dans l'US 3006.	Os humain Céramique	-	-	-	-	Médiévale

Tr.	Fait	US	Nature	Type d'US	Sous	Sur	=	Interprétation	Epaiss. (cm)	Prof. App. (cm)	Dim. (cm)	Description et sédiment	Artefacts	Recoupé par	Recoupe	Rempli par	Remplit	Datation
2	-	3010	Remblai	Couche	3006	3007 3035 3043	-	Couche de remblai sous l'US 3006	24	80	-	Limons argileux gris-brun foncé, compact et hétérogène, avec de nombreuses inclusions de gravillons et pierres calcaires sous formes de poches très compactes.	Os humain TCA (tuile) Céramique	-	Fait 8 (US 3030)	-	-	Médiévale/Mode rne ?

Tr.	Fait	US	Nature	Type d'US	Sous	Sur	=	Interprétation	Epaiss. (cm)	Prof. App. (cm)	Dim. (cm)	Description et sédiment	Artefacts	Recoupé par	Recoupe	Rempli par	Remplit	Datation	
2	-	3011	Encaissement	Couche	Fait 1 Fait 2 Fait 3 Fait 4 Fait 5 Fait 6 Fait 8	3046	2013	Niveau dans lequel s'installent les sépultures Fait 1, 2 et 3	-	84 - 110	-	Limon beige orangé, compact et homogène, avec des inclusions de petits gravillons éparés.	-	Fait 1 (US 3012) Fait 2 (US 3014) Fait 3 (US 3016) Fait 4 (US 3021) Fait 5 (US 3024) Fait 6 (US 3026) Fait 8 (US 3030)	-	-	-	-	-
2	1	3012	Creusement	Négatif	3018	3011	-	Creusement de la fosse sépulcrale	12	100	80 x 40	Fosse oblongue à parois obliques et irrégulières et fond irrégulier car sur le Fait 4.	-	Fait 2 (US 3014)	Fait 4 (US 3021)	3013 3018 (os)	-	Médiévale/Mode rne ?	

Tr.	Fait	US	Nature	Type d'US	Sous	Sur	=	Interprétation	Epais. (cm)	Prof. App. (cm)	Dim. (cm)	Description et sédiment	Artefacts	Recoupé par	Recoupe	Rempli par	Remplit	Datation
2	1	3013	Comblement	Couche	3007 3014	3018	-	Comblement du Fait 1	28	84	-	Limons légèrement argileux gris foncé à gris clair, avec des inclusions de petits gravillons calcaires et quelques charbons de bois et fragments de TCA.	Os humain (3018) TCA (tuile, tuile ronde) Plâtre Céramique	Fait 2 (US 3014)	-	3012	-	Médiévale/Mode rne ?
2	2	3014	Creusement	Négatif	3019	3011 3012 3021	-	Creusement de la fosse sépulcrale Fait 2	16	108	90 x 50	Fosse oblongue à parois obliques et fond plat.	-	-	Fait 1 (US 3012) Fait 4 (US 3021)	3015 3019	-	Médiévale
2	2	3015	Comblement	Couche	3007	3019	-	Comblement de la sépulture Fait 2	30	96	-	Limons légèrement argileux gris à gris foncé, peu compact et homogène, avec quelques inclusions calcaires et charbons de bois.	Os humain Céramique	-	Fait 1 (US 3012) Fait 4 (US 3021)	3019	3014	Médiévale
2	3	3016	Creusement	Négatif	3017	3011	-	Creusement de la fosse sépulcrale	-	102	44 x 39	Petite fosse	-	-	-	3017	-	Médiévale

Tr.	Fait	US	Nature	Type d'US	Sous	Sur	=	Interprétation	Epaiss. (cm)	Prof. App. (cm)	Dim. (cm)	Description et sédiment	Artefacts	Recoupé par	Recoupe	Rempli par	Remplit	Datation
2	3	3017	Comblement	Couche	3007	3016	-	Comblement du Fait 3	12	92	-	Limon légèrement argileux gris à gris foncé, peu compact et homogène, avec quelques inclusions calcaires et charbons de bois.	Os humain (3020) Céramique	(3007 ?)	-	-	3016	Médiévale
2	1	3018	Squelette	Couche	3013	3012	-	Squelette du Fait 1	-	-	-	-	Os humain (non prélevé)	Fait 2 (US 3014)	Fait 4 (US 3021)	-	3012	Médiévale / Mode rme ?
2	2	3019	Squelette	Couche	3015	3014	-	Sépulture Fait 2 qui recouper le Fait 1	-	-	-	-	Os humain Charbon de bois ?	-	Fait 1 (US 3012) Fait 4 (US 3021)	-	3014	Médiévale
2	3	3020	Squelette	Couche	3017	3016	-	Squelette périnatal ?	-	-	-	-	Os humain	-	-	-	3016	Médiévale
2	4	3021	Creusement	Négatif	3023	3011	-	Creusement de la fosse sépulcrale	19	110	64 x 40	Fosse incomplète.	-	Fait 1 (US 3012) Fait 2 (US 3014)	-	3022 3023 (os)	-	Médiévale ?

Tr.	Fait	US	Nature	Type d'US	Sous	Sur	=	Interprétation	Epaiss. (cm)	Prof. App. (cm)	Dim. (cm)	Description et sédiment	Artefacts	Recoupé par	Recoupe	Rempli par	Remplit	Datation
2	4	3022	Remblai	Couche	3012 3014	3023	-	Comblement de la sépulture Fait 4	10	118	-	Limon argileux gris foncé, peu compact et homogène, avec de nombreuses inclusions de charbons de bois.	Os humain (US 3023 possible mélange avec le Fait 1 US 3014)	Fait 1 (US 3012) Fait 2 (US 3014)	-	3023 (os)	3021	Médiévale ?
2	4	3023	Squelette	Couche	3022	3021	-	Crâne en place ? (sous le squelette 3013 du Fait 1)	-	-	-	Os humain (non prélevé)	Fait 1 (US 3012) Fait 2 (US 3014)	-	-	3021	Médiévale ?	
2	5	3024	Creusement	Négatif	3045	3011	-	Creusement de la fosse sépulcrale	-	119	90 x 45	Relations stratigraphiques illisibles.	-	Fait 9 (US 3038) 3025	Relation illisible avec le Fait 2 (US 3014)	3044 3045	-	Indéterminée

Tr.	Fait	US	Nature	Type d'US	Sous	Sur	=	Interprétation	Epaiss. (cm)	Prof. App. (cm)	Dim. (cm)	Description et sédiment	Artefacts	Recoupé par	Recoupe	Rempli par	Remplit	Datation
2	5	3025	Remblai	Couche	3007	3024	-	Comblement de la sépulture Fait 5	-	-	-	Limons sableux brun foncé, très meuble et homogène, avec des petites poches de limon argileux beige clair, de nombreux inclusions de gravillons calcaires, quelques blocs calcaires et bioturbations racinaires.	TCA (tuile, tomette) Mortier Céramique Os humain (mélange possible avec US 3044)	?	?	-	3024	Moderne/Contemporaine ?
2	6	3026	Creusement	Négatif	3007	3011	-	Creusement de la fosse sépulcrale	-	115	110 x 74	-	-	-	-	3027	-	Médiévale ?
2	6	3027	Comblement	Couche	3007	3026	-	Comblement du Fait 6 (possible sépulture)	10	110	-	Limons argileux brun-gris, relativement compact et hétérogène, avec des poches de limon beige très hétérogène, des inclusions de gravillons calcaires.	-	-	-	-	3026	Médiévale ?

Tr.	Fait	US	Nature	Type d'US	Sous	Sur	=	Interprétation	Epais. (cm)	Prof. App. (cm)	Dim. (cm)	Description et sédiment	Artefacts	Recoupé par	Recoupe	Rempli par	Remplit	Datation
2	7	3028	Creusement	Négatif	3029	3011	-	Creusement de la fosse sépulcrale Fait 7	-	115	80 x 34	Sépulture d'un immature ou d'un prénatal.	-	-	-	3029	-	Médiévale ?
2	7	3029	Comblement	Couche	3007	3028	-	Comblement de la sépulture Fait 7	-	115	-	Limon argileux gris clair, peu compact et hétérogène, avec de nombreuses poches beige clair et des inclusions de charbons de bois.	Os humain (en surface, non prélevé)	-	-	-	3028	Médiévale ?
2	8	3030	Creusement	Négatif	3031	3011	-	Creusement de fosse	-	115	16 x 13	-	-	-	3007	3031 3035	-	Médiévale ?

Tr.	Fait	US	Nature	Type d'US	Sous	Sur	=	Interprétation	Epaiss. (cm)	Prof. App. (cm)	Dim. (cm)	Description et sédiment	Artefacts	Recoupé par	Recoupe	Rempli par	Remplit	Datation
2	8	3031	Comblement	Couche	3035	3030	-	Comblement inférieur de la fosse	20	108	-	Limon argileux brun-gris foncé, peu compact et hétérogène, avec des petits nodules de limon argileux brun clair, quelques inclusions de pierres et gravillons calcaires, rares silex et de rares petits charbons de bois.	-	-	-	-	3030	Médiévale ?
2	2	3032	Remblai	Couche	3007	3019	3015	Couche intermédiaire au dessus des sépultures	30	96	-	Limon légèrement argileux gris à gris foncé, peu compact et homogène, avec quelques inclusions calcaires et charbons de bois.	TCA (tuile, tuile ronde) Mortier Faune	-	Fait 1 (US 3012) Fait 2 (US 3014)	-	3014	Médiévale ?
2	-	3033	Squelette	Couche	3007	3011	-	Apparition d'un fragment de crâne dans la coupe	-	-	-	-	Os humain	-	-	-	3007	Médiévale/Mode rne ?

Tr.	Fait	US	Nature	Type d'US	Sous	Sur	=	Interprétation	Epais. (cm)	Prof. App. (cm)	Dim. (cm)	Description et sédiment	Artefacts	Recoupé par	Recoupe	Rempli par	Remplit	Datation
2	-	3034	Base du mur	Couche	-	3003	-	Fondation du mur	14	0	-	Blocs de grès ou calcaire pluri centimétriques (25 x 15 cm) jointés avec du ciments.	-	-	-	-	-	Indéterminée
2	8	3035	Comblement	Couche	3010	3031	-	Comblement supérieur du Fait 8	19	88	-	Limon argileux brun-gris foncé, compact et homogène, avec de nombreuses pierres calcaires (décimétriques) et des petits gravillons calcaires et silex.	-	-	-	-	3030	Médiévale ?
2	-	3036	Gravier	Couche	3002	3005 3006 3037 3042 3039	-	Nivellement - radier	18	12	-	Gravillons gris clair.	-	-	-	-	-	Indéterminée
2	-	3037	Remblai	Couche	3036	3006	-	Sable du réseau - niveau de préparation	10	20	-	Sable jaune.	-	-	-	-	-	Contemporaine

Tr.	Fait	US	Nature	Type d'US	Sous	Sur	=	Interprétation	Epaiss. (cm)	Prof. App. (cm)	Dim. (cm)	Description et sédiment	Artefacts	Recoupé par	Recoupe	Rempli par	Remplit	Datation
2	9	3038	Creusement	Négatif	3040	3006 3025 3005 3041	-	Creusement du réseau - eaux pluviales	60	28	1.120	-	-	-	Fait 10 (US 3041) ? Fait 11 (US 3008) Fait 5 (US 3024)	3040 3039	-	Contemporaine
2	9	3039	Remblai	Couche	3036	3040	-	Remblai de la canalisation évacuation des eaux pluviales	34	26	-	Limons sableux argileux organique brun-gris foncé, meuble et hétérogène, avec quelques inclusions de pierres et gravillons calcaires, de rares fragments de TCA et d'ardoise.	-	-	Fait 10 (US 3041) ? Fait 11 (US 3008) Fait 5 (US 3024)	-	3038	Contemporaine
2	9	3040	Remblai	Couche	3039	3038	-	Remblai de la canalisation évacuation des eaux pluviales	18	60	-	Sable beige, meuble et homogène.	-	-	Fait 10 (US 3041) ? Fait 11 (US 3008) Fait 5 (US 3024)	-	3038	Contemporaine

Tr.	Fait	US	Nature	Type d'US	Sous	Sur	=	Interprétation	Epaiss. (cm)	Prof. App. (cm)	Dim. (cm)	Description et sédiment	Artefacts	Recoupé par	Recoupe	Rempli par	Remplit	Datation
2	10	3041	Creusement	Négatif	3042	3005 3006 3008	-	Creusement d'une ancienne canalisation, caniveau ?	38	26	l. 50	Creusement à paroi soblique et fond en cuvette.	-	Fait 9 (US 3038)	Fait 11 (US 3008) 3006	3042	-	Moderne/Contemporaine ?
2	10	3042	Comblement	Couche	3036 3038	3041	-	Comblement - remblai	42	26	-	Limons sableux argileux brun foncé, peu compact et hétérogène, avec des inclusions de poches de mortier beige (US 3005), quelques pierres et blocs calcaires ou grès et rares fragments de TCA.	-	Fait 9 (US 3038)	Fait 11 (US 3008) 3007	-	3041	Moderne/Contemporaine ?

Tr.	Fait	US	Nature	Type d'US	Sous	Sur	=	Interprétation	Epais. (cm)	Prof. App. (cm)	Dim. (cm)	Description et sédiment	Artefacts	Recoupé par	Recoupe	Rempli par	Remplit	Datation
2	-	3043	Remblai	Couche	3010	3007	-	Niveau de circulation rubéfié	8	44	-	Limons argileux brun, compact et très hétérogène, avec des inclusions de limon argileux gris-brun foncé à ocre, des poches charbonneuses gris-noir et de terre rubéfiée (rouge-ocre), avec quelques inclusions de charbons de bois épars et rares petits gravillons calcaires.	-	Fait 9 (US 3038)	-	-	-	Indéterminée

Tr.	Fait	US	Nature	Type d'US	Sous	Sur	=	Interprétation	Epaiss. (cm)	Prof. App. (cm)	Dim. (cm)	Description et sédiment	Artefacts	Recoupé par	Recoupe	Rempli par	Remplit	Datation
2	5	3044	Comblement	Couche	3006 3025	3045	-	Comblement de la sépulture	40	82	-	Limons argileux brun-beige foncé, peu compact et hétérogène, avec de rares inclusions de gravillons et pierres calcaires, rares fragments de TCA et de céramique.	(possible mélange avec 3025)	Fait 9 (US 3038) Relation illisible avec le Fait 2 (US 3014)	Relation illisible avec le Fait 2 (US 3014)	-	3024	Indéterminée
2	5	3045	Remblai	Couche	3044	3024	-	Couche inférieure de la sépulture Fait 5 - fond non atteint	10	112	-	Argile limoneux brun-beige, très compact et homogène, avec peu d'inclusions de gravillons calcaires et de rares petits charbons de bois.	-	?	?	-	3024	Indéterminée
2	-	3046	Niveau géologique	Couche	3011	?	-	Niveau géologique	-	130	-	Limons très argileux et peu plastique beige-blanc, compact, massif et homogène.	-	-	-	-	-	-

Tr.	Fait	US	Nature	Type d'US	Sous	Sur	=	Interprétation	Epaiss. (cm)	Prof. App. (cm)	Dim. (cm)	Description et sédiment	Artefacts	Recoupé par	Recoupe	Rempli par	Remplit	Datation
3	-	4000	Niveau de circulation	Négatif	-	4001	-	Niveau de circulation actuel du parvis de l'église	-	-	-	-	-	-	-	-	-	Contemporaine
3	-	4001	Pavés	Couche	4000	4002	2001 3001	Aménagement du niveau de circulation	10 - 13	-	-	Pavés en calcaire gris hourdés de sable grossier beige.	-	-	-	-	-	Contemporaine
3	-	4002	Nivellement	Couche	4001	4003	2002 3002	Apprêt du niveau de circulation, pour installation des pavés	8	12	-	Sable grossier gris, béton.	-	-	-	-	-	Contemporaine
3	-	4003	Nivellement	Couche	4002	4004 4016	2003 3003	Nivellement du niveau de circulation	12	18	-	Sable beige, compact et homogène, avec de la grave siliceuse (centimétrique).	-	-	-	-	-	Contemporaine

Tr.	Fait	US	Nature	Type d'US	Sous	Sur	=	Interprétation	Epaiss. (cm)	Prof. App. (cm)	Dim. (cm)	Description et sédiment	Artefacts	Recoupé par	Recoupe	Rempli par	Remplit	Datation
3	-	4004	Remblai	Couche	4003	4005 4021 4020	-	Remblai	40	30	-	Limon argileux brun foncé, compact et hétérogène, emballant un mortier de chaux centimétrique à décimétrique), des blocs de meulière (décimétriques) et des fragments de TCA.	Métal TCA (tuile) Céramique Os humain	Fait 3 (US 4013)	-	-	-	Médiévale/Mode rne
3	-	4005	Comblement	Couche	4020 4021	4008	4009 ?	Comblement	12 - 24	60 - 70	-	Limon argileux brun-gris foncé, peu compact et hétérogène, avec des inclusions de charbons de bois, des lits organiques verts, quelques graviers et fragments de céramique.	-	Fait 3 (US 4013)	-	-	-	Indéterminée

Tr.	Fait	US	Nature	Type d'US	Sous	Sur	=	Interprétation	Epaiss. (cm)	Prof. App. (cm)	Dim. (cm)	Description et sédiment	Artefacts	Recoupé par	Recoupe	Rempli par	Remplit	Datation
3	-	4006	Comblement	Couche	4005 4020 4010 ?	4007	-	Comblement	8	110	-	Limon argileux brun, intriqué avec un lit de limon argileux beige, compact et hétérogène.	-	-	-	-	-	Indéterminée
3	-	4007	Comblement	Couche	4006 4010 ?	4008	-	Comblement	10	118	-	lit de limon argileux brun, compact et homogène.	-	-	-	-	-	Indéterminée
3	-	4008	Encaissant	Couche	4005 4007 4010 4020	-	-	Niveau géologique	-	104 - 92	-	Meulière décimétrique dans une argile limoneuse beige, compacte et homogène.	-	-	Fait 1 (US 4011) Fait 2 (US 4017)	-	-	Indéterminée
3	-	4009	Comblement	Couche	4004 4021 4013	4006 4010 4020	4005 ?	Comblement	24	60 - 70	-	limon argileux brun-gris, peu compact été hétérogène, avec des lits organiques verts, avec des fragments d'os et de céramique.	Os humain TCA (tuile) Céramique	Fait 3 (US 4013)	-	-	-	Médiévale

Tr.	Fait	US	Nature	Type d'US	Sous	Sur	=	Interprétation	Epaiss. (cm)	Prof. App. (cm)	Dim. (cm)	Description et sédiment	Artefacts	Recoupé par	Recoupe	Rempli par	Remplit	Datation
3	-	4010	Comblement	Couche	4005 = 4009	4006 4007 4008 4018 4012	-	Comblement	24	74	-	Blocs calcaires, meulière pluri décimétrique, dans un limon argileux brun gris, compact et hétérogène avec des fragments de TCA, métal et os.	Os humain Céramique TCA (tuile) Métal	-	Fait 2 (US 4017)	-	-	Médiévale/Mode rne
3	1	4011	Creusement	Négatif	4022	4008	-	Creusement de la fosse sépulcrale	10	88	81 x 40	-	-	4010	-	4012 4022 (os)	-	Médiévale/Mode rne
3	1	4012	Comblement	Couche	4010	4011	-	Comblement de la sépulture	voir alti	72	-	Limon argileux brun foncé, peu compact et homogène, avec des inclusions de blocs de meulière.	Os humain (US 4022) TCA (tuile)	4010	-	4022 (os)	4011	Médiévale/Mode rne
3	3	4013	Creusement	Négatif	4014	4009	-	Massif de fondation	56	24	45 x 60 x 56	Tranchée de fondation à parois obliques et fond plat.	-	4003	4004 4009 (4005)	4016 4015 4014	-	Moderne/Comtemporaine ?

Tr.	Fait	US	Nature	Type d'US	Sous	Sur	=	Interprétation	Epaiss. (cm)	Prof. App. (cm)	Dim. (cm)	Description et sédiment	Artefacts	Recoupé par	Recoupe	Rempli par	Remplit	Datation
3	3	4014	Comblement	Couche	4015	4013	-	Maçonnerie	26	50	-	Moellons calcaires (décimétriques) dans un mortier beige et blanc.	-	-	-	-	4013	Moderne/Contemporaine ?
3	3	4015	Comblement	Couche	4016	4014	-	Fondation du mur	22	22	-	Mortier de chaux blanc dans la maçonnerie (US 4014).	-	-	-	-	4013	Moderne/Contemporaine ?
3	3	4016	Dérasement	Négatif	4003	4015 4014 4013	-	Dérasement de la base de la maçonnerie	-	-	-	-	-	-	Fait 3 (US 4013)	-	-	Moderne/Contemporaine ?
3	2	4017	Creusement	Négatif	4019	4008	-	Creusement de la fosse sépulcrale, le long de la coupe ouest-est	13	75	L. 65	-	-	4010 4020	-	4018 4019	-	Médiévale/Moderne
3	2	4018	Comblement	Couche	4010 4020	4019	-	Comblement de la sépulture	75	72	-	Limon argileux brun clair, compact et homogène, avec de rares inclusions de fragments de fragments de Tact et des petits charbons de bois.	Os humain (US 4019) TCA (tuile) Céramique Faune	4010	-	-	4017	Médiévale/Moderne

Tr.	Fait	US	Nature	Type d'US	Sous	Sur	=	Interprétation	Epaiss. (cm)	Prof. App. (cm)	Dim. (cm)	Description et sédiment	Artefacts	Recoupé par	Recoupe	Rempli par	Remplit	Datation
3	2	4019	Squelette	Couche	4018	4017	-	Squelette, dont seule une partie des membres inférieurs est visible dans la coupe	-	-	-	-	Os humain	4010	-	-	4017	Médiévale/Mode rne
3	-	4020	Comblement	Couche	4009 4005	4018 4008	4004	Remblai	6 - 20	70 - 80	-	Limon argileux brun foncé, compact et hétérogène, avec des inclusions de mortier de chaux (centimétrique à décimétrique), des blocs de meulière (décimétriques) et de fragments de TCA.	Céramique	-	Fait 2 (US 4017) ?	-	-	Médiévale
3	-	4021	Comblement	Couche	4004	4009 4005 4020	4021 ?	Comblement	12	50 - 68	-	Poche de limon beige	-	-	-	-	-	Indéterminée
3	1	4022	Squelette	Couche	4012	4011	-	Squelette, seule une partie des membres inférieurs est conservée.	-	?	-	-	Os humain Céramique	4010	-	-	-	Médiévale/Mode rne

C - Inventaire des céramiques

N° Inv.	Nom	Matériau	Datation	Nb ind.	Fgt.	Pds (g)
ASS.2004.10	FOND ?	Céramique	Indéterminé		1	3
ASS.2004.7	PANSE	Céramique	Haut Moyen Age		2	19
ASS.2004.8	BORD	Céramique	Bas Moyen Age		1	2
ASS.2004.9	PANSE	Céramique	Moyen Age		2	10
ASS.2010.1	BORD	Céramique	Bas Moyen Age		1	6
ASS.2010.2	PANSE	Céramique	Bas Moyen Age		1	3
ASS.2011.2	BORD	Céramique	Bas Moyen Age		1	6
ASS.2017.1	PANSE	Céramique	Haut Moyen Age		4	18
ASS.2018.1	PANSE	Céramique	Antiquité		1	2
ASS.3004.7	PANSE	Céramique	Époque moderne		4	18
ASS.3007.4	BORD ET PANSE	Céramique	Époque moderne	1	3	89
ASS.3007.5	FOND ET PANSE	Céramique	Bas Moyen Age		19	79
ASS.3007.6	PANSE	Céramique	Moyen Age ou moderne		2	8
ASS.3009.1	PANSE	Céramique	Moyen Age classique		6	12
ASS.3009.2	PANSE	Céramique	Bas Moyen Age		1	3
ASS.3010.3	PANSE	Céramique	Moyen Age classique		2	2
ASS.3010.4	PANSE	Céramique	Bas Moyen Age		4	15
ASS.3010.5	BORD ET PANSE	Céramique	Bas Moyen Age		1	3
ASS.3010.6	PANSE	Céramique	Indéterminé		1	1
ASS.3013.4	BORD	Céramique	Antiquité / Bas-Empire		1	5
ASS.3013.5	PANSE	Céramique	Moyen Age classique		2	4
ASS.3015.1	PANSE	Céramique	Haut Moyen Age		2	4
ASS.3015.2	PANSE	Céramique	Bas Moyen Age		1	6
ASS.3016.1	PANSE	Céramique	Moyen Age classique		10	2
ASS.3017.1	PANSE	Céramique	Moyen Age		1	2
ASS.3025.5	BORD ET PANSE	Céramique	Bas Moyen Age	3	24	280
ASS.3025.6	BORD	Céramique	Bas Moyen Age	1	1	45
ASS.3025.7	BORD	Céramique	Bas Moyen Age	1	1	5
ASS.3025.8	PANSE	Céramique	Bas Moyen Age		3	13
ASS.3025.9	PANSE	Céramique	Moyen Age ou moderne		1	4
ASS.4004.6	PANSE	Céramique	Moyen Age ou moderne		3	13
ASS.4004.7	FOND ET PANSE	Céramique	Haut Moyen Age		3	14
ASS.4009.2	PANSE	Céramique	Bas Moyen Age		4	15
ASS.4010.3	BORD ET PANSE	Céramique	Bas Moyen Age		10	56
ASS.4010.4	BORD ET PANSE	Céramique	Moyen Age		2	10
ASS.4018.2	BORD ET PANSE	Céramique	Moyen Age		1	1
ASS.4020.1	PANSE	Céramique	Bas Moyen Age		1	3
ASS.4022.1	PANSE	Céramique	Moyen Age		1	1

D - Inventaire d'autres mobiliers

N° Inv.	Nom	Matériau	Datation	Nb ind.	Fgt.	Pds (g)
ASS.1.1	PRÉLÈVEMENT	Plâtre	Indéterminé		1	374
ASS.2004.1	CLOU	Fer	Indéterminé	2	2	
ASS.2004.11	CHARBON DE BOIS ?	Charbon	Indéterminé		1	3
ASS.2004.12	SQUELETTE HUMAIN	Os	Indéterminé			802
ASS.2004.2	TUILE OU BRIQUE	Céramique	Indéterminé		1	350
ASS.2004.3	PRÉLÈVEMENT	Plâtre	Indéterminé		1	177
ASS.2004.4	TUILE	Céramique	Moyen Age ou moderne		12	495
ASS.2004.5	TUILE RONDE	Céramique	Antiquité ?		2	222
ASS.2004.6	PRÉLÈVEMENT	Mortier	Époque contemporaine		4	822
ASS.2011.1	TUILE	Céramique	Indéterminé		2	8
ASS.2011.3	SQUELETTE HUMAIN	Os	Indéterminé			558
ASS.2015.1	SQUELETTE HUMAIN	Os	Indéterminé			965
ASS.2018.2	SQUELETTE HUMAIN	Os	Indéterminé			1039
ASS.2021.1	SQUELETTE HUMAIN	Os	Indéterminé			1834
ASS.2021.2	SQUELETTE HUMAIN	Os	Indéterminé			393
ASS.3004.1	TUILE	Céramique	Moyen Age ou moderne		5	289
ASS.3004.2	CARREAU DE PAVEMENT	Céramique	Moyen Age ou moderne		4	321
ASS.3004.3	TUILE	Céramique	Antiquité		2	153
ASS.3004.4	PRÉLÈVEMENT	Plâtre	Indéterminé		1	815
ASS.3004.5	ARDOISE	Ardoise	Indéterminé			9
ASS.3004.6	PRÉLÈVEMENT	Pierre	Moyen Age ou moderne		2	264
ASS.3004.8	PANSE	Verre	Époque moderne ou		1	8
ASS.3004.9	SQUELETTE HUMAIN	Os	Indéterminé			51
ASS.3006.1	SQUELETTE	Os	Indéterminé		2	168
ASS.3007.1	TUILE	Céramique	Moyen Age ou moderne		9	161
ASS.3007.2	TUILE	Céramique	Antiquité		3	157
ASS.3007.3	TOMETTE	Céramique	Moyen Age ou moderne		1	188
ASS.3007.7	SQUELETTE HUMAIN	Os	Indéterminé			237
ASS.3009.3	SQUELETTE HUMAIN	Os	Indéterminé			585
ASS.3010.1	TUILE	Céramique	Moyen Age ou moderne		3	94
ASS.3010.2	TUILE	Céramique	Moyen Age ou moderne		3	15
ASS.3010.7	SQUELETTE HUMAIN	Os	Indéterminé			64
ASS.3013.1	TUILE	Céramique	Moyen Age ou moderne		8	118
ASS.3013.2	TUILE RONDE	Céramique	Antiquité ?		3	143
ASS.3013.3	PRÉLÈVEMENT	Plâtre	Indéterminé		1	45
ASS.3013.6	SQUELETTE HUMAIN	Os	Indéterminé			95
ASS.3015.3	SQUELETTE HUMAIN	Os	Indéterminé			261
ASS.3016.2	SQUELETTE HUMAIN	Os	Indéterminé			28
ASS.3019.1	CHARBON DE BOIS ?	Charbon	Indéterminé		1	3
ASS.3019.2	SQUELETTE HUMAIN	Os	Indéterminé			118
ASS.3019.3	SQUELETTE	Os	Indéterminé			1246
ASS.3019.4	SQUELETTE	Os	Indéterminé			387
ASS.3025.1	TOMETTE	Céramique	Moyen Age ou moderne		1	106
ASS.3025.10	SQUELETTE HUMAIN	Os	Indéterminé			153
ASS.3025.2	TUILE	Céramique	Moyen Age ou moderne		5	99
ASS.3025.3	TUILE	Céramique	Antiquité ?		3	296
ASS.3025.4	MORTIER	Mortier	Indéterminé		2	14
ASS.3032.1	TUILE	Céramique	Moyen Age ou moderne		3	210
ASS.3032.2	TUILE RONDE	Céramique	Antiquité ?		2	152
ASS.3032.3	MORTIER	Mortier	Indéterminé		1	31
ASS.3032.4	OS	Os	Indéterminé		2	12
ASS.3033.1	SQUELETTE HUMAIN	Os	Indéterminé			19
ASS.4004.1	DÉ À COUDRE	Alliage cuivreux	Moyen Age ou moderne	1		
ASS.4004.2	CLOU	Fer	Indéterminé	1	1	

N° Inv.	Nom	Matériau	Datation	Nb ind.	Fgt.	Pds (g)
ASS.4004.3	INDÉTERMINÉ	Fer	Indéterminé		4	
ASS.4004.4	TUILE	Céramique	Moyen Age ou moderne		17	706
ASS.4004.5	TUILE	Céramique	Antiquité		1	158
ASS.4004.8	SQUELETTE	Os	Indéterminé		11	77
ASS.4009.1	TUILE	Céramique	Moyen Age ou moderne		1	37
ASS.4009.3	SQUELETTE	Os	Indéterminé		8	8
ASS.4010.1	INDÉTERMINÉ	Fer	Indéterminé	1	1	
ASS.4010.2	TUILE	Céramique	Moyen Age ou moderne		3	209
ASS.4010.5	SQUELETTE HUMAIN	Os	Indéterminé		5	13
ASS.4012.1	TUILE	Céramique	Moyen Age ou moderne		1	4
ASS.4018.1	TUILE	Céramique	Moyen Age ou moderne		1	15
ASS.4018.3	OS	Os	Indéterminé		2	12
ASS.4019.1	SQUELETTE HUMAIN	Os	Indéterminé		2	8
ASS.4022.2	SQUELETTE	Os	Indéterminé			534

E - Inventaire des documents photographiques

FICHER	DATE	OCTETS	TR	FAIT	LEGENDE	AUTEUR
coupe ouest.jpg	08/02/2018 11:21	6 235 ko	2	coupe ouest	coupe, vue vers l'ouest	AK
Fait 4 - TR 1.jpg	08/02/2018 15:43	3 080 ko	1	Fait 4	photo de travail - Squelette - Fait 4	CB
IMG_0089.JPG	08/02/2018 09:00	2 961 ko	1	vue générale	vue vers le sud-est	AK
IMG_0091.JPG	06/12/2017 22:26	3 212 ko	1	vue générale	vue vers le sud-est	AK
IMG_0092.JPG	06/12/2017 22:26	3 067 ko	1	vue générale	vue vers le nord-est	AK
IMG_0094.JPG	08/02/2018 08:53	6 930 ko	1	vue générale	vue vers le nord-est	AK
IMG_0095.JPG	06/12/2017 22:27	3 709 ko	1	vue générale	vue vers le nord-est	AK
IMG_0099.JPG	06/12/2017 22:27	3 201 ko	1	vue générale	vue vers le nord-est	AK
IMG_0100.JPG	06/12/2017 22:27	3 602 ko	1	Fait 1	oblique, vue vers le sud-est	AK
IMG_0101.JPG	06/12/2017 22:27	3 468 ko	1	Fait 1	oblique, vue vers le sud-est	AK
IMG_0103.JPG	06/12/2017 22:27	3 324 ko	1	Fait 1	coupe, vue vers le sud-est	AK
IMG_0104.JPG	06/12/2017 22:27	3 395 ko	1	Fait 1	coupe, vue vers le sud-est	AK
IMG_0107.JPG	06/12/2017 22:34	3 538 ko	1	Fait 2	plan, vue zénithale	AK
IMG_0108.JPG	06/12/2017 22:28	3 936 ko	1	vue générale	vue vers le nord-ouest	AK
IMG_0109.JPG	06/12/2017 22:28	3 704 ko	1	vue générale	vue vers le nord-ouest	AK
IMG_0110.JPG	06/12/2017 22:28	3 253 ko	1	Fait 4	plan, vue zénithale	CB
IMG_0111.JPG	06/12/2017 22:28	3 337 ko	1	Fait 4	plan, vue zénithale	CB
IMG_2282.JPG	07/12/2017 14:51	10 765 ko	1	Fait 1	coupe, vue vers le sud-est	AK
IMG_2283.JPG	07/12/2017 14:52	10 451 ko	1	Fait 1	coupe, vue vers le sud-est	AK
IMG_2284.JPG	07/12/2017 14:52	9 807 ko	1	Fait 1	coupe, vue vers le sud-est	AK
IMG_2285.JPG	07/12/2017 14:52	9 476 ko	1	Fait 1	coupe, vue vers le sud-est	AK
IMG_2286.JPG	07/12/2017 14:52	10 393 ko	1	Fait 1	coupe, vue vers le sud-est	AK
IMG_2287.JPG	07/12/2017 14:52	9 789 ko	1	Fait 1	coupe, vue vers le sud-est	AK
IMG_2289.JPG	07/12/2017 14:55	7 274 ko	1	Fait 1	coupe, vue vers le sud-est	AK
IMG_2290.JPG	07/02/2018 15:50	9 384 ko	1	Fait 1	coupe, vue vers le sud-est	AK
IMG_2291.JPG	09/02/2018 11:02	9 022 ko	1	Fait 1	plan, vue zénithale	AK
IMG_2292.JPG	07/12/2017 14:57	10 336 ko	1	Fait 2	plan, vue zénithale	AK
IMG_2293.JPG	07/12/2017 14:57	10 592 ko	1	Fait 2	plan, vue zénithale	AK
IMG_2294.JPG	07/12/2017 14:58	11 392 ko	1	Fait 2	plan, vue zénithale	AK
IMG_2295.JPG	07/12/2017 14:58	10 075 ko	1	Fait 3	plan, vue zénithale	AK
IMG_2296.JPG	07/12/2017 14:58	7 790 ko	1	Fait 3	plan, vue zénithale	AK
IMG_2297.JPG	07/12/2017 14:59	10 482 ko	1	Fait 3	plan, vue zénithale	AK
IMG_2298.JPG	07/12/2017 14:59	10 882 ko	1	Fait 3	plan, vue zénithale	AK
IMG_2299.JPG	07/12/2017 15:39	8 715 ko	1	Fait 2-3	plan, vue zénithale	AK
IMG_2300.JPG	07/12/2017 15:39	7 078 ko	1	Fait 2-3	plan, vue zénithale	AK
IMG_2301.JPG	07/12/2017 15:39	9 144 ko	1	Fait 2-3	plan, vue zénithale	AK
IMG_2302.JPG	07/12/2017 15:39	9 045 ko	1	Fait 2-3	plan, vue zénithale	AK
IMG_2303.JPG	07/12/2017 15:40	9 429 ko	1	Fait 2-3	plan, vue zénithale	AK
IMG_2304.JPG	07/12/2017 15:40	8 051 ko	1	Fait 2-3	plan, vue zénithale	AK
IMG_2305.JPG	07/12/2017 15:40	9 019 ko	1	Fait 2-3	plan, vue zénithale	AK
IMG_2306.JPG	07/12/2017 15:41	9 363 ko	1	Fait 2-3	plan, vue zénithale	AK
IMG_2307.JPG	07/12/2017 15:45	8 982 ko	1	Fait 2-3	plan, vue zénithale	AK
IMG_2308.JPG	07/12/2017 15:45	9 137 ko	1	Fait 2-3	plan, vue zénithale	AK
IMG_2309.JPG	07/12/2017 15:46	8 581 ko	1	Fait 2-3	plan, vue zénithale	AK
IMG_2310.JPG	08/02/2018 15:38	8 447 ko	1	Fait 2-3	plan, vue zénithale	AK
IMG_2311.JPG	07/12/2017 15:46	8 772 ko	1	Fait 2-3	plan, vue zénithale	AK
IMG_2312.JPG	07/12/2017 15:47	10 216 ko	1	Fait 2-3-4	oblique, vue vers l'est	AK
IMG_2313.JPG	07/12/2017 15:47	10 776 ko	1	Fait 2-3-4	oblique, vue vers l'est	AK
IMG_2314.JPG	07/12/2017 15:47	8 238 ko	1	Fait 2-3-4	oblique, vue vers l'est	AK

FICHIER	DATE	OCTETS	TR	FAIT	LEGENDE	AUTEUR
IMG_2315.JPG	07/12/2017 15:48	9 418 ko	1	Fait 2-3-4	plan, vue zénithale	AK
IMG_2316.JPG	07/12/2017 15:48	9 602 ko	1	Fait 2-3-4	oblique, vue vers le nord-est	AK
IMG_2317.JPG	07/12/2017 15:48	6 754 ko	1	Fait 1	plan, vue zénithale	AK
IMG_2318.JPG	07/12/2017 15:49	7 600 ko	1	Fait 2-3	plan, vue zénithale	AK
IMG_2319.JPG	07/12/2017 15:57	8 167 ko	1	Fait 2-3	plan, vue zénithale	AK
IMG_2320.JPG	08/12/2017 10:37	11 372 ko	3	coupe sud	coupe, vue vers sud	NG
IMG_2321.JPG	08/12/2017 10:37	12 587 ko	3	coupe sud	coupe, vue vers sud	NG
IMG_2322.JPG	08/12/2017 10:38	8 659 ko	3	coupe sud	coupe, vue vers sud	NG
IMG_2323.JPG	08/12/2017 10:38	10 749 ko	3	coupe sud	coupe, vue vers sud	NG
IMG_2324.JPG	08/12/2017 10:38	9 617 ko	3	coupe sud	coupe, vue vers sud	NG
IMG_2325.JPG	08/12/2017 10:39	11 118 ko	3	coupe sud	coupe, vue vers sud	NG
IMG_2326.JPG	08/12/2017 10:39	9 744 ko	3	coupe sud	coupe, vue vers sud	NG
IMG_2327.JPG	08/12/2017 10:39	10 026 ko	3	coupe sud	coupe, vue vers sud	NG
IMG_2328.JPG	08/02/2018 14:48	5 655 ko	3	coupe sud	coupe, vue vers sud	NG
IMG_2329.JPG	08/12/2017 10:45	11 444 ko	2	vue générale	plan, vue vers sud	CB
IMG_2330.JPG	08/12/2017 10:45	11 463 ko	2	vue générale	plan, vue vers sud	CB
IMG_2331.JPG	08/12/2017 10:45	10 205 ko	2	vue générale	plan, vue vers sud	CB
IMG_2332.JPG	08/12/2017 10:46	10 421 ko	2	vue générale	plan, vue vers sud	CB
IMG_2333.JPG	08/12/2017 10:48	11 583 ko	2	vue générale	plan, vue vers nord	CB
IMG_2334.JPG	08/12/2017 10:48	11 939 ko	2	vue générale	plan, vue vers nord	CB
IMG_2335.JPG	08/12/2017 10:48	11 510 ko	2	vue générale	plan, vue vers nord	CB
IMG_2336.JPG	08/12/2017 10:48	11 191 ko	2	vue générale	plan, vue vers nord	CB
IMG_2337.JPG	08/12/2017 10:48	11 242 ko	2	vue générale	plan, vue vers nord	CB
IMG_2338.JPG	08/12/2017 11:11	12 075 ko	3	Fait 1-3	vue d'ensemble Fait 1-3, vue vers nord-ouest	CB
IMG_2340.JPG	08/02/2018 15:11	8 102 ko	3	Fait 1-3	vue d'ensemble Fait 1-3, vue vers nord	CB
IMG_2341.JPG	08/12/2017 11:14	12 120 ko	3	Fait 1-3	vue d'ensemble Fait 1-3, vue vers nord-ouest	CB
IMG_2343.JPG	08/12/2017 11:15	11 317 ko	3	Fait 1-3	vue d'ensemble Fait 1-3, vue vers nord-ouest	CB
IMG_2344.JPG	08/12/2017 11:15	12 776 ko	3	Fait 1-3	vue d'ensemble Fait 1-3, vue vers nord	CB
IMG_2345.JPG	08/12/2017 11:15	12 200 ko	3	Fait 1-3	vue d'ensemble Fait 1-3, vue vers nord	CB
IMG_2346.JPG	08/12/2017 11:33	10 805 ko	3	vue générale	vue d'ensemble TR3, vue vers nord-ouest	CB
IMG_2348.JPG	08/12/2017 11:34	11 375 ko	3	vue générale	vue d'ensemble TR3, vue vers nord-ouest	CB
IMG_2349.JPG	08/12/2017 11:34	10 570 ko	3	vue générale	vue d'ensemble TR3, vue vers ouest	CB
IMG_2350.JPG	08/12/2017 14:20	13 126 ko	3	Fait 1-3	coupe ouest-est, Fait 1-3, vue vers nord	CB
IMG_2356.JPG	08/12/2017 14:22	12 572 ko	3	Fait 1-3	coupe ouest-est, Fait 1-3, vue vers nord	CB
IMG_2357.JPG	08/12/2017 14:22	12 225 ko	3	vue générale	vue d'ensemble TR3, vue vers nord-ouest	CB
IMG_2359.JPG	08/12/2017 16:51	10 841 ko	3	Fait 1	plan Fait 1, vue vers nord	CB/NG
IMG_2360.JPG	08/12/2017 16:51	10 944 ko	3	Fait 1	plan Fait 1, vue vers nord	CB/NG
IMG_2361.JPG	08/12/2017 16:51	11 618 ko	3	Fait 1	plan Fait 1, vue vers nord	CB/NG
IMG_2362.JPG	08/12/2017 16:52	10 744 ko	3	Fait 1	plan Fait 1, vue vers sud	CB/NG
IMG_2363.JPG	08/12/2017 16:52	10 657 ko	3	Fait 1	plan Fait 1, vue vers sud	CB/NG
IMG_2364.JPG	11/12/2017 11:15	10 796 ko	3	Fait 1	plan Fait 1, vue zénithale pour orthophotographie	CB/NG
IMG_2365.JPG	11/12/2017 11:15	8 013 ko	3	Fait 1	plan Fait 1, vue zénithale pour orthophotographie	CB/NG
IMG_2366.JPG	11/12/2017 11:15	7 181 ko	3	Fait 1	plan Fait 1, vue zénithale pour orthophotographie	CB/NG
IMG_2367.JPG	11/12/2017 11:15	7 501 ko	3	Fait 1	plan Fait 1, vue zénithale pour orthophotographie	CB/NG
IMG_2368.JPG	11/12/2017 11:15	7 030 ko	3	Fait 1	plan Fait 1, vue zénithale pour orthophotographie	CB/NG
IMG_2369.JPG	11/12/2017 11:15	8 482 ko	3	Fait 1	plan Fait 1, vue zénithale pour orthophotographie	CB/NG
IMG_2370.JPG	11/12/2017 11:16	8 565 ko	3	Fait 1	plan Fait 1, vue zénithale pour orthophotographie	CB/NG
IMG_2371.JPG	11/12/2017 11:17	9 353 ko	3	Fait 1	détails Fait 1	CB/NG
IMG_2372.JPG	11/12/2017 11:17	9 944 ko	3	Fait 1	détails Fait 1	CB/NG

FICHER	DATE	OCTETS	TR	FAIT	LEGENDE	AUTEUR
IMG_2373.JPG	11/12/2017 11:17	9 805 ko	3	Fait 1	détails Fait 1	CB/NG
IMG_2375.JPG	11/12/2017 11:17	6 820 ko	3	Fait 1	détails Fait 1	CB/NG
IMG_2376.JPG	11/12/2017 11:18	8 642 ko	3	Fait 1	détails Fait 1	CB/NG
IMG_2377.JPG	11/12/2017 11:18	8 067 ko	3	Fait 1	détails Fait 1	CB/NG
IMG_2378.JPG	11/12/2017 11:18	8 052 ko	3	Fait 1	détails Fait 1	CB/NG
IMG_2379.JPG	11/12/2017 11:18	8 112 ko	3	Fait 1	détails Fait 1	CB/NG
IMG_2380.JPG	11/12/2017 11:18	9 428 ko	3	Fait 1	détails Fait 1	CB/NG
IMG_2381.JPG	11/12/2017 11:19	9 492 ko	3	Fait 1	détails Fait 1	CB/NG
IMG_2382.JPG	11/12/2017 11:20	8 957 ko	3	Fait 1	oblique Fait 1, vue vers nord-ouest	CB/NG
IMG_2383.JPG	11/12/2017 11:20	10 982 ko	3	Fait 1	oblique Fait 1, vue vers nord-ouest	CB/NG
IMG_2384.JPG	08/02/2018 15:06	4 066 ko	3	Fait 1	oblique Fait 1, vue vers nord-ouest	CB/NG
IMG_2385.JPG	11/12/2017 11:20	10 716 ko	3	Fait 1	oblique Fait 1, vue vers nord-ouest	CB/NG
IMG_2386.JPG	11/12/2017 11:43	11 571 ko	3	Fait 1	oblique Fait 1, vue vers sud-ouest	CB/NG
IMG_2387.JPG	11/12/2017 11:43	9 926 ko	3	Fait 1	oblique Fait 1, vue vers sud-ouest	CB/NG
IMG_2388.JPG	11/12/2017 11:43	10 453 ko	3	Fait 1	plan Fait 1, vue vers sud-ouest	CB/NG
IMG_2389.JPG	08/02/2018 15:06	5 540 ko	3	Fait 1	plan Fait 1, vue vers sud-ouest	CB/NG
IMG_2390.JPG	11/12/2017 11:44	8 532 ko	3	Fait 1	plan Fait 1, vue vers sud-ouest	CB/NG
IMG_2391.JPG	11/12/2017 11:44	11 566 ko	3	Fait 1	plan Fait 1, vue vers sud-ouest	CB/NG
IMG_2394.JPG	11/12/2017 17:45	7 666 ko	2	Fait 1-2-3-4-5	plan Fait 1-2-3-4, sépultures, vue zénithale	AK
IMG_2397.JPG	11/12/2017 17:47	8 105 ko	2	Fait 1-2-3-4-5	plan Fait 1-2-3-4, sépultures, vue zénithale	CB
IMG_2400.JPG	11/12/2017 17:48	7 901 ko	2	Fait 1-2-3-4-5	plan Fait 1-2-3-4, sépultures, vue zénithale	CB
IMG_2401.JPG	11/12/2017 17:49	7 391 ko	2	Fait 1-2-3-4-5	plan Fait 1-2-3-4, sépultures, vue zénithale	CB
IMG_2405.JPG	11/12/2017 17:50	8 807 ko	2	Fait 1-2-3-4-5	plan Fait 1-2-3-4, sépultures, vue zénithale	CB
IMG_2406.JPG	11/12/2017 17:50	8 118 ko	2	Fait 1-2-3-4-5	plan Fait 1-2-3-4, sépultures, vue zénithale	CB
IMG_2407.JPG	11/12/2017 17:51	8 580 ko	2	Fait 1	plan Fait 1, sépulture, vue zénithale	AK
IMG_2409.JPG	11/12/2017 17:51	8 978 ko	2	Fait 2	plan Fait 2, sépulture, vue zénithale	AK
IMG_2410.JPG	11/12/2017 17:51	9 585 ko	2	Fait 2	détails Fait 2, sépulture, vue zénithale	AK
IMG_2412.JPG	11/12/2017 17:51	9 105 ko	2	Fait 1	détails Fait 2, sépulture, vue zénithale	AK
IMG_2414.JPG	11/12/2017 17:52	8 636 ko	2	Fait 2	détails Fait 2, sépulture, vue zénithale	AK
IMG_2417.JPG	11/12/2017 17:54	7 001 ko	1	Fait 4	plan, vue zénithale	CB
IMG_2418.JPG	11/12/2017 17:54	7 747 ko	1	Fait 4	plan, vue zénithale	CB
IMG_2419.JPG	11/12/2017 17:54	5 827 ko	1	Fait 4	plan, vue zénithale	CB
IMG_2420.JPG	11/12/2017 17:55	7 786 ko	1	Fait 4	plan, vue zénithale	CB
IMG_2421.JPG	11/12/2017 17:55	6 739 ko	1	Fait 4	détails Fait 4, vue vers nord-est	CB
IMG_2422.JPG	11/12/2017 17:55	8 549 ko	1	Fait 4	détails Fait 4, vue vers nord-est	CB
IMG_2423.JPG	11/12/2017 17:56	7 188 ko	1	Fait 4	détails Fait 4, vue vers nord-est	CB
IMG_2424.JPG	11/12/2017 17:56	7 334 ko	1	Fait 4	détails Fait 4, vue vers nord-est	CB
IMG_2425.JPG	11/12/2017 17:56	6 374 ko	1	Fait 4	détails Fait 4, vue vers nord-est	CB
IMG_2426.JPG	11/12/2017 17:56	7 664 ko	1	Fait 4	détails Fait 4	CB
IMG_2427.JPG	11/12/2017 17:57	6 953 ko	1	Fait 4	détails Fait 4	CB
IMG_2428.JPG	11/12/2017 17:57	8 046 ko	1	Fait 4	détails Fait 4	CB
IMG_2429.JPG	11/12/2017 17:57	6 764 ko	1	Fait 4	détails Fait 4	CB
IMG_2430.JPG	11/12/2017 17:57	7 040 ko	1	Fait 4	détails Fait 4	CB
IMG_2431.JPG	11/12/2017 17:58	7 885 ko	1	Fait 4	plan Fait 4, vue vers nord-est	CB
IMG_2432.JPG	08/02/2018 15:44	9 815 ko	1	Fait 4	plan Fait 4, zénithale	CB
IMG_2433.JPG	11/12/2017 17:58	7 868 ko	1	Fait 4	plan Fait 4, zénithale	CB
IMG_2434.JPG	11/12/2017 17:58	7 141 ko	1	Fait 4	plan Fait 4, zénithale	CB
IMG_2435.JPG	11/12/2017 17:58	7 112 ko	1	Fait 4	plan Fait 4, orthophoto	CB
IMG_2436.JPG	11/12/2017 18:00	6 953 ko	1	Fait 4	plan Fait 4, orthophoto	CB

FICHIER	DATE	OCTETS	TR	FAIT	LEGENDE	AUTEUR
IMG_2437.JPG	11/12/2017 18:00	6 701 ko	1	Fait 4	plan Fait 4, orthophoto	CB
IMG_2438.JPG	11/12/2017 18:00	6 665 ko	1	Fait 4	plan Fait 4, orthophoto	CB
IMG_2439.JPG	11/12/2017 18:01	7 357 ko	1	Fait 4	plan Fait 4, orthophoto	CB
IMG_2440.JPG	11/12/2017 18:01	7 268 ko	1	Fait 4	plan Fait 4, orthophoto	CB
IMG_2441.JPG	11/12/2017 18:01	6 712 ko	1	Fait 4	plan Fait 4, orthophoto	CB
IMG_2442.JPG	11/12/2017 18:01	6 607 ko	1	Fait 4	plan Fait 4, orthophoto	CB
IMG_2443.JPG	11/12/2017 18:01	7 493 ko	1	Fait 4	plan Fait 4, orthophoto	CB
IMG_2444.JPG	11/12/2017 18:01	7 107 ko	1	Fait 4	plan Fait 4, orthophoto	CB
IMG_2445.JPG	11/12/2017 18:02	6 862 ko	1	Fait 4	plan Fait 4, orthophoto	CB
IMG_2446.JPG	11/12/2017 18:02	6 471 ko	1	Fait 4	plan Fait 4, orthophoto	CB
IMG_2447.JPG	11/12/2017 18:02	7 370 ko	1	Fait 4	plan Fait 4, orthophoto	CB
IMG_2448.JPG	11/12/2017 18:02	7 720 ko	1	Fait 4	plan Fait 4, orthophoto	CB
IMG_2449.JPG	12/12/2017 09:53	8 821 ko	1	Fait 1	coupe, vue vers le sud-est	AK
IMG_2450.JPG	12/12/2017 09:53	8 953 ko	1	Fait 1	coupe, vue vers le sud-est	AK
IMG_2451.JPG	12/12/2017 09:53	9 911 ko	1	Fait 1	coupe, vue vers le sud-est	AK
IMG_2452.JPG	12/12/2017 09:53	9 853 ko	1	Fait 1	coupe, vue vers le sud-est	AK
IMG_2459.JPG	12/12/2017 09:55	10 051 ko	1	Fait 1	coupe, vue vers le sud-est	AK
IMG_2460.JPG	12/12/2017 09:55	9 806 ko	1	Fait 1	vue vers le nord-est	AK
IMG_2461.JPG	09/02/2018 10:59	12 482 ko	1	Fait 1	vue vers le sud-est	AK
IMG_2462.JPG	12/12/2017 09:56	10 162 ko	1	Fait 1	vue vers le sud-est	AK
IMG_2463.JPG	12/12/2017 10:02	8 859 ko	1	Fait 4	plan Fait 4, orthophoto	CB
IMG_2464.JPG	12/12/2017 10:03	8 919 ko	1	Fait 4	plan Fait 4, orthophoto	CB
IMG_2465.JPG	12/12/2017 10:03	9 699 ko	1	Fait 4	plan Fait 4, orthophoto	CB
IMG_2466.JPG	12/12/2017 10:03	9 389 ko	1	Fait 4	plan Fait 4, orthophoto	CB
IMG_2467.JPG	12/12/2017 10:03	10 423 ko	1	Fait 4	plan Fait 4, orthophoto	CB
IMG_2468.JPG	12/12/2017 10:04	10 172 ko	1	Fait 4	plan Fait 4, orthophoto	CB
IMG_2469.JPG	12/12/2017 10:04	8 794 ko	1	Fait 4	plan Fait 4, orthophoto	CB
IMG_2470.JPG	12/12/2017 10:04	9 841 ko	1	Fait 4	plan Fait 4, orthophoto	CB
IMG_2472.JPG	10/01/2018 14:52	9 943 ko	2	vue générale	vue d'ensemble TR 2, vue vers nord	
IMG_2475.JPG	12/12/2017 12:14	10 066 ko	2	vue générale	plan TR 2, vue zénithale	
IMG_2479.JPG	12/12/2017 12:18	9 754 ko	2	vue générale	plan TR 2, vue zénithale	
IMG_2482.JPG	08/02/2018 14:43	5 172 ko	2	vue générale	vue d'ensemble TR 2, vue vers sud	
IMG_2487.JPG	12/12/2017 12:23	8 735 ko	2	coupe sud	coupe, vue vers le sud	CB
IMG_2488.JPG	08/02/2018 11:02	5 458 ko	2	coupe sud	coupe, vue vers le sud	CB
IMG_2489.JPG	12/12/2017 12:23	8 976 ko	2	coupe sud	coupe, vue vers le sud	CB
IMG_2490.JPG	12/12/2017 12:23	10 007 ko	2	coupe sud	coupe, vue vers le sud	CB
IMG_2491.JPG	12/12/2017 12:24	9 067 ko	2	coupe nord	coupe, vue vers le nord	AK
IMG_2492.JPG	12/12/2017 12:24	9 187 ko	2	coupe nord	coupe, vue vers le nord	AK
IMG_2493.JPG	12/12/2017 12:24	8 611 ko	2	coupe nord	coupe, vue vers le nord	AK
IMG_2494.JPG	12/12/2017 12:25	8 641 ko	2	coupe nord	coupe, vue vers le nord	AK
IMG_2495.JPG	12/12/2017 12:25	10 269 ko	2	coupe nord	coupe, vue vers le nord	AK
IMG_2496.JPG	12/12/2017 12:26	10 057 ko	2	coupe est	coupe, vue vers l'est	AK
IMG_2497.JPG	08/02/2018 14:07	5 890 ko	2	coupe est	coupe, vue vers l'est	AK
IMG_2498.JPG	12/12/2017 12:26	10 344 ko	2	coupe est	coupe, vue vers l'est	AK
IMG_2499.JPG	12/12/2017 12:26	8 933 ko	2	coupe est	coupe, vue vers l'est	AK
IMG_2500.JPG	12/12/2017 12:26	6 494 ko	2	coupe est	coupe, vue vers l'est	AK
IMG_2501.JPG	12/12/2017 12:27	9 908 ko	2	berme centrale	coupe centrale, vue vers l'est	AK
IMG_2502.JPG	12/12/2017 12:27	9 769 ko	2	berme centrale	coupe centrale, vue vers l'est	AK
IMG_2503.JPG	12/12/2017 12:28	10 310 ko	2	berme centrale	coupe centrale, vue vers l'est	AK

FICHER	DATE	OCTETS	TR	FAIT	LEGENDE	AUTEUR
IMG_2504.JPG	12/12/2017 12:28	9 772 ko	2	berme centrale	coupe centrale, vue vers l'est	AK
IMG_2505.JPG	08/02/2018 14:05	6 634 ko	2	berme centrale	coupe centrale, vue vers l'est	AK
IMG_2506.JPG	12/12/2017 12:29	10 971 ko	2	coupe ouest	coupe, vue vers l'ouest	AK
IMG_2507.JPG	12/12/2017 12:29	10 579 ko	2	coupe ouest	coupe, vue vers l'ouest	AK
IMG_2508.JPG	12/12/2017 12:29	8 424 ko	2	coupe ouest	coupe, vue vers l'ouest	AK
IMG_2509.JPG	12/12/2017 12:29	8 370 ko	2	coupe ouest	coupe, vue vers l'ouest	AK
IMG_2510.JPG	09/02/2018 11:18	8 500 ko	2	coupe ouest	coupe, vue vers l'ouest	AK
IMG_2511.JPG	12/12/2017 12:29	6 707 ko	2	coupe ouest	coupe, vue vers l'ouest	AK
IMG_2512.JPG	12/12/2017 12:30	7 954 ko	2	coupe ouest	coupe, vue vers l'ouest	AK
IMG_2513.JPG	12/12/2017 12:30	7 890 ko	2	coupe ouest	coupe, vue vers l'ouest	AK
IMG_2514.JPG	12/12/2017 12:30	10 522 ko	2	coupe ouest	coupe, vue vers l'ouest	AK
IMG_2515.JPG	12/12/2017 12:30	10 451 ko	2	coupe ouest	coupe, vue vers l'ouest	AK
IMG_2516.JPG	12/12/2017 12:30	10 573 ko	2	coupe ouest	coupe, vue vers l'ouest	AK
IMG_2517.JPG	12/12/2017 12:30	10 374 ko	2	coupe ouest	coupe, vue vers l'ouest	AK
IMG_2518.JPG	12/12/2017 12:30	11 645 ko	2	coupe ouest	coupe, vue vers l'ouest	AK
IMG_2520.JPG	08/02/2018 14:35	6 739 ko	2	Fait 1	plan Fait 1, sépulture, vue zénithale	AK
IMG_2521.JPG	12/12/2017 12:34	9 536 ko	2	Fait 2	plan Fait 2, sépulture, vue zénithale	AK
IMG_2523.JPG	09/02/2018 11:27	6 703 ko	2	Fait 1-4	détails Fait 1-4, sépultures, vue vers nord-est	AK
IMG_2524.JPG	12/12/2017 12:35	10 814 ko	2	Fait 1-4	détails Fait 1-4, sépultures, vue vers nord-est	AK
IMG_2525.JPG	12/12/2017 12:35	10 225 ko	2	Fait 2	plan Fait 2, sépulture, vue zénithale	AK
IMG_2526.JPG	12/12/2017 15:07	8 240 ko	2	coupe est	coupe, vue vers l'est	CB
IMG_2527.JPG	12/12/2017 15:07	9 353 ko	2	coupe est	coupe, vue vers l'est	CB
IMG_2529.JPG	12/12/2017 15:09	9 378 ko	2	coupe sud	coupe, vue vers sud	CB
IMG_2532.JPG	12/12/2017 15:10	9 151 ko	2	coupe ouest	coupe, vue vers l'ouest	CB
IMG_2533.JPG	12/12/2017 15:10	9 222 ko	2	coupe ouest	coupe, vue vers l'ouest	CB
IMG_2534.JPG	12/12/2017 15:10	9 340 ko	2	coupe ouest	coupe, vue vers l'ouest	CB
IMG_2535.JPG	12/12/2017 15:16	9 674 ko	2	Fait 1-2-3-4-5	plan, Fait 1-2-3-4, sepultures, vue zénithale	J-F.M
IMG_2536.JPG	08/02/2018 10:56	5 148 ko	2	Fait 1-2-3-4-5	plan, Fait 1-2-3-4, sepultures, vue zénithale	J-F.M
IMG_2537.JPG	10/01/2018 14:54	7 684 ko	2	Fait 1-2-3-4-5	plan, Fait 1-2-3-4, sepultures, vue zénithale	J-F.M
IMG_2538.JPG	12/12/2017 15:17	7 721 ko	2	Fait 1-2-3-4-5	plan, Fait 1-2-3-4, sepultures, vue zénithale	J-F.M
IMG_2539.JPG	10/01/2018 14:54	10 012 ko	2	Fait 1-3	plan, Fait 1-4, sepultures, vue zénithale	J-F.M
IMG_2541.JPG	12/12/2017 15:17	9 769 ko	2	Fait 2	plan, Fait 2, sepultures, vue zénithale	J-F.M
IMG_2554.JPG	13/12/2017 11:01	10 246 ko	3	coupe est	coupe, vue vers l'est	CB
IMG_2555.JPG	13/12/2017 11:01	9 964 ko	3	coupe est	coupe, vue vers l'est	CB
IMG_2556.JPG	13/12/2017 11:01	10 040 ko	3	coupe est	coupe, vue vers l'est	CB
IMG_2557.JPG	13/12/2017 11:01	8 822 ko	3	coupe est	coupe, vue vers l'est	CB
IMG_2558.JPG	08/02/2018 14:58	4 679 ko	3	vue générale	oblique, vue vers sud	AK
IMG_2559.JPG	13/12/2017 11:01	8 430 ko	3	vue générale	oblique, vue vers sud	AK
IMG_2560.JPG	13/12/2017 11:01	9 426 ko	3	vue générale	oblique, vue vers est	AK
IMG_2561.JPG	13/12/2017 11:01	8 590 ko	3	vue générale	oblique, vue vers l'ouest	AK
IMG_2562.JPG	13/12/2017 11:01	8 147 ko	3	vue générale	oblique, vue vers l'ouest	AK
IMG_2563.JPG	13/12/2017 11:02	8 771 ko	3	vue générale	oblique, vue vers nord	AK
IMG_2564.JPG	13/12/2017 11:02	8 834 ko	3	vue générale	oblique, vue vers nord	AK
IMG_2581.JPG	14/12/2017 09:47	7 030 ko	1	coupe sud	coupe, vue vers sud	CB
IMG_2582.JPG	14/12/2017 09:47	7 546 ko	1	coupe sud	coupe, vue vers sud	CB
IMG_2583.JPG	14/12/2017 09:48	8 585 ko	1	coupe sud	coupe, vue vers sud	CB
IMG_2584.JPG	14/12/2017 09:49	8 307 ko	1	coupe sud	coupe, vue vers sud	CB
IMG_2585.JPG	14/12/2017 09:49	8 644 ko	1	coupe sud	coupe, vue vers sud	CB
IMG_2586.JPG	14/12/2017 09:50	7 683 ko	1	coupe sud	coupe, vue vers sud	CB

FICHIER	DATE	OCTETS	TR	FAIT	LEGENDE	AUTEUR
IMG_2587.JPG	14/12/2017 09:50	8 035 ko	1	coupe sud	coupe, vue vers sud	CB
IMG_2588.JPG	14/12/2017 09:51	8 040 ko	1	coupe sud	coupe, vue vers sud	CB
IMG_2589.JPG	14/12/2017 09:51	8 307 ko	1	coupe sud	coupe, vue vers sud	CB
IMG_2590.JPG	09/02/2018 11:15	14 709 ko	2	coupe nord	coupe/log, vue vers nord	J-F.M
IMG_2591.JPG	14/12/2017 10:36	10 235 ko	2	coupe nord	coupe/log, vue vers nord	J-F.M
IMG_2592.JPG	14/12/2017 10:36	9 883 ko	2	coupe nord	coupe/log, vue vers nord	J-F.M
IMG_2593.JPG	14/12/2017 10:36	9 612 ko	2	coupe nord	coupe/log, vue vers nord	J-F.M
IMG_2594.JPG	14/12/2017 10:36	9 572 ko	2	coupe nord	coupe/log, vue vers nord	J-F.M
IMG_2595.JPG	14/12/2017 11:08	7 131 ko	1	coupe est	coupe, vue vers nord-est	J-F.M
IMG_2596.JPG	14/12/2017 11:08	7 174 ko	1	coupe est	coupe, vue vers nord-est	J-F.M
IMG_2597.JPG	14/12/2017 11:08	9 726 ko	1	coupe est	coupe, vue vers nord-est	J-F.M
IMG_2598.JPG	14/12/2017 11:08	10 739 ko	1	coupe est	coupe, vue vers nord-est	J-F.M
IMG_2599.JPG	14/12/2017 11:08	8 482 ko	1	coupe est	coupe, vue vers nord-est	J-F.M
IMG_2600.JPG	14/12/2017 11:08	9 414 ko	1	coupe est	oblique/coupe, vue vers nord-est	J-F.M
IMG_2601.JPG	14/12/2017 11:08	9 451 ko	1	coupe est	oblique/coupe, vue vers nord-est	J-F.M
IMG_2602.JPG	09/02/2018 10:58	13 085 ko	1	coupe est	coupe, vue vers nord-est	J-F.M
IMG_2603.JPG	14/12/2017 11:10	11 152 ko	1	coupe sud	coupe, vue vers sud	CB
IMG_2604.JPG	14/12/2017 11:10	11 113 ko	1	coupe sud	coupe, vue vers sud	CB
IMG_2605.JPG	08/02/2018 09:08	6 480 ko	1	coupe sud	coupe, vue vers sud	CB
IMG_2606.JPG	14/12/2017 11:10	10 697 ko	1	coupe sud	coupe, vue vers sud	CB
IMG_2607.JPG	14/12/2017 11:10	10 285 ko	1	coupe sud	oblique, vue vers sud	CB
IMG_2608.JPG	14/12/2017 11:10	9 915 ko	1	coupe sud	oblique, vue vers sud	CB
TR1F2-3.jpg	07/02/2018 13:02	1 396 ko	1	Fait 2-3	photo détails squelettes Fait 2 et 3	J-F.M
TR1F4.jpg	07/02/2018 11:41	803 ko	1	Fait 4	photo détails squelette Fait 4	J-F.M
TR2F2.jpg	08/02/2018 10:43	3 349 ko	2	Fait 2	photo détails squelette Fait 2	J-F.M
TR3F1.jpg	08/02/2018 15:03	3 655 ko	3	Fait 1	photo détails squelette Fait 1	J-F.M
_DSC4852.JPG	26/01/2018 15:00	3 498 ko	1	Fait 4 - Anthropologie	détails mandibule	C.T.
_DSC4853.JPG	26/01/2018 15:00	4 190 ko	1	Fait 4 - Anthropologie	détails mandibule	C.T.
_DSC4854.JPG	26/01/2018 15:01	4 538 ko	1	Fait 4 - Anthropologie	détails mandibule	C.T.
_DSC4855.JPG	26/01/2018 15:01	5 153 ko	1	Fait 4 - Anthropologie	détails mandibule	C.T.
_DSC4855.TIF	08/02/2018 16:13	91 511 ko	1	Fait 4 - Anthropologie	détails mandibule	C.T.
_DSC4856.JPG	26/01/2018 15:01	4 466 ko	1	Fait 4 - Anthropologie	détails mandibule	C.T.
_DSC4857.JPG	26/01/2018 15:09	5 113 ko	1	Fait 4 - Anthropologie	détails crâne	C.T.
_DSC4858.JPG	26/01/2018 15:09	4 923 ko	1	Fait 4 - Anthropologie	détails crâne	C.T.
_DSC4859.JPG	26/01/2018 15:09	5 099 ko	1	Fait 4 - Anthropologie	détails crâne	C.T.
_DSC4859.TIF	30/01/2018 16:42	106 018 ko	1	Fait 4 - Anthropologie	détails crâne	C.T.
_DSC4860.JPG	26/01/2018 15:10	5 073 ko	1	Fait 4 - Anthropologie	détails crâne	C.T.
_DSC4861.JPG	26/01/2018 15:11	5 189 ko	1	Fait 4 - Anthropologie	détails crâne	C.T.
_DSC4861.TIF	08/02/2018 16:15	105 354 ko	1	Fait 4 - Anthropologie	détails crâne	C.T.
_DSC4862.JPG	08/02/2018 16:21	7 226 ko	1	Fait 4 - Anthropologie	détails sternum	C.T.
_DSC4863.JPG	26/01/2018 15:14	5 315 ko	1	Fait 4 - Anthropologie	détails sternum	C.T.
_DSC4863.TIF	30/01/2018 16:43	102 069 ko	1	Fait 4 - Anthropologie	détails sternum	C.T.
_DSC4864.JPG	26/01/2018 15:15	5 436 ko	1	Fait 4 - Anthropologie	détails sternum	C.T.
_DSC4865.JPG	26/01/2018 15:15	5 589 ko	1	Fait 4 - Anthropologie	détails sternum	C.T.
_DSC4865.TIF	30/01/2018 16:43	103 963 ko	1	Fait 4 - Anthropologie	détails sternum	C.T.
_DSC4866.JPG	26/01/2018 15:18	4 632 ko	1	Fait 4 - Anthropologie	détails humérus	C.T.
_DSC4867.JPG	26/01/2018 15:19	4 606 ko	1	Fait 4 - Anthropologie	détails humérus	C.T.
_DSC4868.JPG	08/02/2018 16:24	4 915 ko	1	Fait 4 - Anthropologie	détails humérus	C.T.
_DSC4869.JPG	26/01/2018 15:28	5 357 ko	1	Fait 4 - Anthropologie	détails sternum	C.T.

FICHER	DATE	OCTETS	TR	FAIT	LEGENDE	AUTEUR
_DSC4870.JPG	26/01/2018 15:28	5 483 ko	1	Fait 4 - Anthropologie	détails sternum	C.T.
_DSC4871.JPG	08/02/2018 16:28	6 200 ko	1	Fait 4 - Anthropologie	détails sternum	C.T.
_DSC4871.TIF	30/01/2018 16:43	99 206 ko	1	Fait 4 - Anthropologie	détails sternum	C.T.
_DSC4872.JPG	26/01/2018 15:29	2 419 ko	1	Fait 4 - Anthropologie	détails sternum	C.T.
_DSC4873.JPG	26/01/2018 15:30	2 504 ko	1	Fait 4 - Anthropologie	détails sternum	C.T.
_DSC4874.JPG	26/01/2018 15:30	2 434 ko	1	Fait 4 - Anthropologie	détails sternum	C.T.
_DSC4875.JPG	26/01/2018 15:30	3 042 ko	1	Fait 4 - Anthropologie	détails sternum	C.T.
_DSC4875.TIF	08/02/2018 16:30	90 664 ko	1	Fait 4 - Anthropologie	détails sternum	C.T.
_DSC4876.JPG	26/01/2018 15:36	4 685 ko	1	Fait 4 - Anthropologie	détails humérus	C.T.
_DSC4877.JPG	08/02/2018 16:50	4 580 ko	1	Fait 4 - Anthropologie	détails humérus	C.T.
_DSC4877.TIF	30/01/2018 16:43	84 143 ko	1	Fait 4 - Anthropologie	détails humérus	C.T.
_DSC4878.JPG	26/01/2018 15:38	4 649 ko	1	Fait 4 - Anthropologie	détails humérus	C.T.
_DSC4878.TIF	08/02/2018 16:53	90 193 ko	1	Fait 4 - Anthropologie	détails humérus	C.T.
_DSC4879.JPG	26/01/2018 15:42	3 184 ko	1	Fait 4 - Anthropologie	détails humérus	C.T.
_DSC4880.JPG	08/02/2018 16:56	6 101 ko	1	Fait 4 - Anthropologie	détails humérus	C.T.
_DSC4880.TIF	30/01/2018 16:44	96 419 ko	1	Fait 4 - Anthropologie	détails humérus	C.T.
_DSC4881.JPG	26/01/2018 15:46	3 388 ko	1	Fait 4 - Anthropologie	détails mandibule	C.T.
_DSC4882.JPG	26/01/2018 15:46	3 520 ko	1	Fait 4 - Anthropologie	détails mandibule	C.T.
_DSC4883.JPG	26/01/2018 15:46	3 546 ko	1	Fait 4 - Anthropologie	détails mandibule	C.T.
_DSC4883.TIF	08/02/2018 16:59	90 229 ko	1	Fait 4 - Anthropologie	détails mandibule	C.T.
_DSC4884.JPG	09/02/2018 09:32	3 743 ko	1	Fait 4 - Anthropologie	détails dents	C.T.
_DSC4884.TIF	30/01/2018 16:44	85 956 ko	1	Fait 4 - Anthropologie	détails dents	C.T.
_DSC4885.JPG	09/02/2018 09:37	9 616 ko	1	Fait 4 - Anthropologie	détails sacrum	C.T.
_DSC4885.TIF	30/01/2018 16:44	105 950 ko	1	Fait 4 - Anthropologie	détails sacrum	C.T.
_DSC4886.JPG	26/01/2018 15:49	5 520 ko	1	Fait 4 - Anthropologie	détails sacrum	C.T.
_DSC4887.JPG	26/01/2018 15:49	5 819 ko	1	Fait 4 - Anthropologie	détails sacrum	C.T.
_DSC4888.JPG	26/01/2018 15:52	5 665 ko	1	Fait 4 - Anthropologie	détails vertèbres	C.T.
_DSC4889.JPG	26/01/2018 15:52	5 568 ko	1	Fait 4 - Anthropologie	détails vertèbres	C.T.
_DSC4890.JPG	09/02/2018 09:35	11 229 ko	1	Fait 4 - Anthropologie	détails vertèbres	C.T.
_DSC4890.TIF	30/01/2018 16:45	102 743 ko	1	Fait 4 - Anthropologie	détails vertèbres	C.T.
_DSC4891.JPG	26/01/2018 15:53	6 054 ko	1	Fait 4 - Anthropologie	détails vertèbres	C.T.
_DSC4891.TIF	30/01/2018 16:45	105 950 ko	1	Fait 4 - Anthropologie	détails vertèbres	C.T.
IMG_9232.TIF	09/02/2018 09:41	39 815 ko	2	Fait 2 - Anthropologie	détails dents	C.T.
IMG_9234.TIF	09/02/2018 09:43	28 572 ko	2	Fait 2 - Anthropologie	détails dents	C.T.
IMG_9236.TIF	09/02/2018 09:39	37 565 ko	2	Fait 2 - Anthropologie	détails dents	C.T.
IMG_9275.TIF	30/01/2018 16:45	40 144 ko	3	Fait 1 - Anthropologie	détails squelette	C.T.
IMG_9279.TIF	30/01/2018 16:45	26 628 ko	3	Fait 1 - Anthropologie	détails squelette	C.T.
IMG_9283.TIF	30/01/2018 16:45	24 751 ko	3	Fait 1 - Anthropologie	détails squelette	C.T.
IMG_9286.TIF	08/02/2018 16:05	15 143 ko	1	Fait 4 - Anthropologie	détails squelette	C.T.
IMG_9288.TIF	08/02/2018 15:59	15 635 ko	1	Fait 4 - Anthropologie	détails squelette	C.T.
IMG_9165.TIF	09/02/2018 10:35	46 485 ko	2	ASS.3025.6 - Mobilier	bord céramique - ASS.3025.6	C.T.
IMG_9166.TIF	09/02/2018 10:35	61 777 ko	1	ASS.2004.3 - Mobilier	détails prélèvement plâtre - ASS.2004.3	C.T.
IMG_9171.TIF	09/02/2018 10:36	61 789 ko	1	ASS.2004.3 - Mobilier	détails prélèvement plâtre - ASS.2004.3	C.T.
IMG_9220.TIF	09/02/2018 10:36	58 852 ko	3	ASS.4004.1 - Mobilier	dé à coudre - ASS.4004.1	C.T.
IMG_9223.TIF	09/02/2018 10:12	41 696 ko	3	ASS.4004.1 - Mobilier	dé à coudre - ASS.4004.1	C.T.

F - Inventaire de la documentation graphique

Sujet	Support	Nature du support	Type	Auteur
Tr. 1 Coupe Est-Ouest	Minute 3	papier milimétré	relevé	C. Bustos
Tr. 1 Fait 1 à 6	Minute 3	papier milimétré	relevé plan	A. Konopka
Tr. 1 Objet ASS.2010.1	Minute 5	papier calque	dessin	A. Konopka
Tr. 2 Coupe Est (berme centrale)	Minute 1	papier milimétré	relevé	A. Konopka
Tr. 2 Coupe Est-Ouest	Minute 1	papier milimétré	relevé	A. Konopka
Tr. 2 Coupe Nord-Sud	Minute 1	papier milimétré	relevé	A. Konopka
Tr. 2 Coupe Ouest-Est	Minute 4	papier milimétré	relevé	C. Bustos
Tr. 2 Coupe Sud-Nord	Minute 1	papier milimétré	relevé	A. Konopka
Tr. 2 Objet ASS.3013.4	Minute 5	papier calque	dessin	A. Konopka
Tr. 2 Objet ASS.3025.6	Minute 5	papier calque	dessin	A. Konopka
Tr. 2 Objet ASS.3025.7	Minute 5	papier calque	dessin	A. Konopka
Tr. 3 Coupe Est-Ouest	Minute 2	papier milimétré	relevé	A. Konopka
Tr. 3 Coupe Nord-Sud	Minute 2	papier milimétré	relevé	A. Konopka
Tr. 3 Coupe Ouest-Est	Minute 2	papier milimétré	relevé	A. Konopka

G - Inventaire de la documentation écrite

1 cahier d'enregistrement des Faits et des US

1 classeur d'enregistrement des Faits et des US

1 cahier d'enregistrement anthropologie

1 cahier d'enregistrement des photos

4 minutes (papier) format A3

1 minute (calque) format A4